

# MICROGASTERINAE (HYMENOPTERA APOCRITA)

Fam. BRACONIDAE

PAR

H. DE SAEGER (Bruxelles)

---

## AVANT-PROPOS

La collection de Braconides récoltés par la Mission G. F. DE WITTE au Parc National Albert compte un peu plus de 18.000 exemplaires. C'est là un résultat que jamais aucune mission scientifique n'a obtenu. Précédemment ces insectes ne furent capturés qu'en nombre restreint et les récoltes furent surtout constituées par des spécimens d'une certaine taille. Les espèces connues, parmi les petites formes, proviennent de récoltes fragmentaires ou d'élevages et un grand nombre d'entre elles n'est encore connu que par l'unique spécimen ayant servi à la description de l'espèce. La collection DE WITTE ne renferme, au contraire, que quelques rares exemplaires de taille moyenne et aucun de grande taille. La faune du Parc National Albert est donc représentée, presque exclusivement, par les petites formes que l'on pourrait dénommer Microbraconides. Il semble donc — cette seule expérience ne permettant pas d'être plus affirmatif à ce sujet — que les grandes formes (10 mm. et au-dessus), fréquentes dans les parties basses, disparaissent ou, tout au moins, voient leur pullulation décroître dans une forte proportion avec l'altitude. Il est peu vraisemblable que, si ces formes existent dans les régions hautes, elles aient échappé aux méthodes utilisées au cours de cette exploration.

La sous-famille des *Microgasterinae*, qui fait l'objet du présent travail, compte 3.815 exemplaires, dont 81 % appartiennent au seul genre *Apanteles*.

Il est évident que parmi ces Hyménoptères encore relativement peu

étudiés, de nombreuses formes nouvelles apparaissent, mais la réalité dépasse largement toutes les prévisions qui auraient pu être faites. L'étude de cette sous-famille a permis de séparer 150 formes, dont 128 nouvelles, représentant 6 genres dont 3 sont nouveaux pour la faune éthiopienne. La répartition est la suivante :

Microgasterinæ	Collection de Witte				Autres espèces congolaises	Espèces éthiopiennes non congolaises	Total des formes éthiopiennes connues
	Espèces nouvelles	Aberrations ou sous-espèces nouvelles	Espèces déjà décrites	Total des formes			
<i>Paroligoneurus</i> .	4	—	—	4	—	Fn. nov.	4
<i>Adelius</i> . . . .	1	—	—	1	—	Fn. nov.	1
<i>Mirax</i> . . . . .	1	—	—	1	1	1	3
<i>Microplitis</i> . . .	5	1	—	6	—	Fn. nov.	6
<i>Microgaster</i> . .	29	4	3	36	4	6	46
<i>Apanteles</i> . . .	57	26	19	102	27	34	163
	97	31	22	150	32	41	223

Il est intéressant de retrouver en Afrique le genre *Paroligoneurus*, connu par un seul exemplaire originaire des États-Unis, et très voisin de *Oligoneurus*, genre brésilien également monotypique.

Les 102 formes que compte le genre *Apanteles* ne représentent pas la totalité de celles figurant dans la collection; plusieurs motifs, repris aux commentaires sur le genre, dans le cours du travail, n'ont pas permis la détermination de toutes les formes.

La contribution apportée par cette collection est donc fort importante et elle fait ressortir l'intense pullulation de ces Hyménoptères en Afrique. Toutefois, partant de cet exemple, on ne peut en tirer la conclusion que cette pullulation est aussi intense partout. Il y a lieu de souligner ici que, si la majorité des récoltes fut faite dans une aire de quelque 100 km. de long sur 50 de large, peu de contrées présentent une aussi grande variété de formations botaniques et de conditions climatiques dans un espace si limité. L'inventaire, dans des conditions semblables, de régions ne bénéficiant pas de tels avantages, permettra de déterminer si l'abondance de ces Bracônides dans la faune éthiopienne est supérieure à celle des autres faunes.

Plus encore par la diversité des formes que par l'abondance du matériel, les récoltes de la Mission DE WITTE présentent de l'intérêt. On peut, en effet, constater par le tableau faisant suite à ces préliminaires, qu'en réalité, il est exceptionnel que les espèces ou leurs aberrations soient représentées par un grand nombre d'individus. Parmi les formes déterminées, 96 sont

représentées par moins de 10 individus et seulement 10 par plus de 50. Toutes celles comptant plusieurs exemplaires furent toujours trouvées dans des stations différentes. Cette multiplicité n'est pas sans créer un doute quant à l'authenticité spécifique de ces formes. Les bases morphologiques servant à leur détermination ont-elles un caractère réellement spécifique ? Le nombre de formes offrant une extrême affinité donne l'impression que l'on se trouve, dans un grand nombre de cas, en présence de races biologiques plutôt que d'espèces. Cette impression reste du domaine de l'hypothèse, tant qu'elle ne pourra être étayée de données concrètes et celles-ci pourront seulement être fournies par l'étude des faits biologiques.

Le présent travail va quelque peu à l'encontre des tendances actuelles qui se sont plutôt attachées, ces dernières années, à ne créer de nouvelles espèces parmi les Hyménoptères parasites que lorsque les hôtes — au moins — de ceux-ci sont connus. Il y avait lieu de se conformer ici au programme envisagé par l'Institut des Parcs Nationaux du Congo Belge, qui est d'établir préalablement un inventaire de la faune de ses domaines. Comme le dit M. VAN STRAELEN dans sa magistrale introduction au fascicule 33 des publications de l'Institut, sur l'exploration du Parc National Albert, « la détermination des composants d'une communauté biologique n'est seulement qu'une étape qui, de l'inventaire et de la description, conduit à la science des populations végétales et animales dans la multiplicité de leurs relations et amène à découvrir leurs compétitions passives, la densité des peuplements, les variations que ceux-ci éprouvent tant du fait des périodicités biologiques, climatiques et pédologiques que de l'interférence des mouvements de flux et de reflux auxquels obéissent tous les organismes ».

Le but de la Mission DE WITTE concernait principalement des recherches herpétologiques et la contribution qu'elle a apportée dans les autres domaines zoologiques n'en est, par conséquent, que plus remarquable.

Les récoltes des Hyménoptères qui font l'objet de cette étude, faites au filet-fauchoir, ne furent donc qu'accessoires. Dans ces conditions, il est évident qu'il n'était pas possible à M. DE WITTE de compléter ses captures par des renseignements sur le milieu dans lequel l'insecte avait été trouvé ou par des données biologiques. Il n'est donc pas possible de préciser le biotope de ces Braconides, mais l'importance du rôle économique qu'ils jouent, justifie que le cadre de la région dont ils sont originaires soit tout au moins tracé en grandes lignes. Il reviendra aux observations ultérieures d'apporter les matériaux écologiques indispensables pour compléter leur connaissance.

La plus grande partie des *Microgasterinae* étudiés dans le présent travail provient de la région des volcans qui comprend les secteurs 6 et 7 du Parc National Albert, mais englobe également les régions voisines de Rutshuru au Nord et de Ruhengeri, dans le Ruanda, à l'Est. Un nombre beaucoup

moins élevé d'exemplaires est originaire du secteur 5, situé au Sud du lac Édouard. Une espèce fut récoltée dans une région très différente du Haut-Uelé.

Il est difficile, vu le petit nombre de spécimens représentant généralement chaque forme, d'établir s'il y a localisation; plusieurs cependant furent trouvées dans des stations différentes situées toutes dans les forêts de Bambous, et plusieurs de ces stations ont fourni un matériel abondant, telle celle de Rweru (52 formes). Il y a lieu de remarquer que les peuplements de Bambous offrent des associations très particulières parmi les parasites, mais plus particulièrement parmi ceux de « borers ». D'autre part, on doit tenir compte que les peuplements botaniques, même dans les forêts de Bambous, ne se présentent jamais à l'état pur. Il n'est donc pas possible de préciser si ces Braconides appartiennent à une faunule déterminée.

Tandis que la région du secteur 5 du Parc National Albert est constituée d'une façon assez uniforme de savanes à *Themeda*, la région des volcans se présente en une succession d'étages botaniques en relation avec les facteurs du milieu, dont l'altitude et l'édaphisme sont les principaux, allant de la limite supérieure de la forêt ombrophile équatoriale de transition, à la flore afro-alpine.

Par suite du passage insensible d'une flore à l'autre, la démarcation entre la forêt ombrophile et la forêt de montagne qui lui fait suite, n'est jamais nettement établie. On peut toutefois prendre comme limite de l'horizon inférieur de cette dernière, l'altitude de 1.600 m., qui se trouve déjà hors de la région des volcans proprement dite. De 1.600 à 2.400 m. s'étend l'étage de la forêt de montagne qui a fourni les plus abondantes récoltes de *Microgasterinae*. Cet étage est constitué de forêts et broussailles sclérophylles pouvant occuper des niveaux très variables et de forêts à caractère mésophile, qui sont toutes deux des formations botaniques très hétérogènes (Pl. V, fig. 9-10; Pl. VII, fig. 13-14; Pl. VIII, fig. 15-16; Pl. IX, fig. 18; Pl. X, fig. 20; Pl. XI, fig. 21-22). De 2.200 à 2.600 m., et parfois depuis 2.000 m., apparaissent les Bambous, en formations mixtes dans les parties inférieures, presque pures au delà de 2.400 m. (Pl. VI, fig. 11; Pl. IX, fig. 17; Pl. XI, fig. 21). Ce sous-étage des Bambous est suivi par celui des *Hagenia*, allant de 2.400 à 3.000 m. (Pl. XII, fig. 24), où les récoltes furent beaucoup moins nombreuses et ensuite par le sous-étage des Bruyères, où elles furent rares. Ces trois sous-étages constituent l'étage subalpin. L'étage alpin est limité aux sommets dépassant 3.200 m., tels celui du Gahinga, du Karisimbi et du Visoke (Pl. XIII, fig. 25-26), où les récoltes furent exceptionnelles mais ne paraissent, cependant, pas accidentelles, puisque plusieurs individus d'une même espèce y furent capturés (*Microgaster psilocnema* et *wittei*, *Apanteles gahinga*, *intricatus*, *nkuli*, *simus*, *thespis* et *wittei*).

Tandis que peu de *Microgaster* furent trouvés au-dessus de 2.400 m.,

20 formes d'*Apanteles* figurent parmi les récoltes dans les stations situées entre 2.400 et 3.700 m.

Deux espèces d'*Apanteles* (*Ap. pelops* et *Ap. triptolemus*), semblent localisées uniquement aux hautes altitudes; elles sont représentées par un bon nombre de spécimens provenant respectivement de 11 et 12 stations différentes, situées toutes à plus de 1.800 m.

Deux autres régions, de la partie explorée, se caractérisent par des formations particulières; elles se trouvent, d'ailleurs, en dehors des limites du Parc et à une altitude inférieure à 2.000 m. C'est, d'une part, la région de Rutshuru, constituée de savanes d'altitude et de prairies au Sud et de savanes à *Imperata* au Nord; de l'autre, la région des lacs Mokoto, constituée de savanes à *Acanthus*, qui rejoint la région précédente à l'Ouest de celle-ci (Pl. II, fig 3; Pl. III, fig. 5; Pl. IV, fig. 7-8). Enfin, il y a lieu de mentionner la région de Ruhengeri, dans le Ruanda, qui peut être considérée comme zone de cultures (Pl. II, fig. 4; Pl. III, fig. 6).

Cent vingt et une formes furent capturées dans ces dernières régions, soit à une altitude inférieure à 2.000 m.; parmi elles, 14, qui furent trouvées dans plusieurs stations, paraissent localisées exclusivement aux régions inférieures, tandis que les autres — tout au moins celles récoltées dans plusieurs stations — se rencontrent également dans les régions plus élevées.

Les photographies accompagnant ce travail donnent un aspect de ces différentes régions et notamment de quelques stations où les *Microgasterinae* furent récoltés en grand nombre.

La carte annexée permettra de localiser les différentes stations signalées.

Dans les conditions où les récoltes furent faites, l'importance numérique des espèces dans les différentes stations et leur rapport avec le milieu sont impossibles à établir, car les données fournies par la collection sont influencées par au moins quatre facteurs importants : 1° l'époque; 2° l'altitude; 3° la flore et 4° la durée ou la répétition des récoltes dans une même station.

Le présent travail, étant destiné à servir de base à l'étude ultérieure de la sous-famille des *Microgasterinae*, groupe tous les renseignements y compris les principales données biologiques en notre possession à ce jour, concernant la faune éthiopienne.

\*

\*\*

CLASSIFICATION. — Le nombre d'espèces connues s'élevant dans un même genre, il est nécessaire, pour en faciliter l'étude, de recourir à la subdivision. Le groupement par affinité morphologique est la méthode indiquée pour arriver à ce but. Elle a pour autre avantage de détacher et de mettre en relief des caractères dominants qui resteraient noyés dans la masse. Ce groupement aboutit généralement à la création de sous-genres. Le genre étant, par essence, un groupe d'espèces étroitement semblables, il est

évident que s'il présente plusieurs groupes, ceux-ci représentent chacun une subdivision, si, bien entendu, leurs caractères ne les font pas sortir du cadre des caractéristiques du genre lui-même.

Parmi les *Microgasterinae*, le genre *Apanteles*, représenté par un nombre élevé d'espèces, avait déjà nécessité précédemment une subdivision, mais jusque maintenant aucun auteur n'avait estimé nécessaire d'ériger ces groupements en sous-genres<sup>(1)</sup>. Je ne crois pas, non plus, que le moment soit venu de le faire, car ces groupements renferment des formes hétérogènes qui ne permettent pas de préciser encore exactement les limites qu'il faudra leur attribuer. C'est cette hétérogénéité qui a conduit le spécialiste anglais D. S. WILKINSON à constituer, dans le cadre de ces groupes, des sous-groupes, qui serrent ainsi de plus en plus près des formes d'une très étroite affinité. C'est dans cette voie qu'il y a lieu de continuer, en multipliant les sous-groupes autant que faire se peut.

Un excellent caractère taxonomique que j'ai pu mettre en évidence, et qui démontre la valeur de la classification en groupes effectuée par WILKINSON d'après les caractères plastiques externes, est fourni par l'appareil génital femelle. Toutes les espèces des groupes A et F ont les valves de la tarière fixées à la base des « plaques oblongues », tandis que celles des groupes U et S ont ces valves fixées à la partie distale de ces plaques (fig. 1 et 2). Ce groupement est donc beaucoup moins artificiel qu'il pourrait paraître à première vue. Le groupe M n'a pas encore un statut bien établi et fut destiné surtout à recevoir provisoirement les formes ne se plaçant pas dans les autres groupes. D'autre part, WILKINSON, se basant sur la présence d'une suture inhabituelle des sternites abdominaux chez deux espèces : *Ap. circumscriptus* (NEES) et *Ap. olivierellae* WILKN., prévoyait<sup>(2)</sup> la nécessité de créer pour elles un groupe spécial. Un autre caractère permettant d'appuyer la valeur de cette subdivision est également donné par le point d'insertion des valves de la tarière, qui pour ces deux espèces n'est ni au sommet, ni à la base des « plaques oblongues » comme dans les groupes cités plus haut, mais à mi-hauteur de celles-ci.

L'étude des genitalia des femelles s'avère donc très intéressante chez ces Braconides, car elle permet de déterminer, avec certitude, l'existence de subdivisions.

L'étude d'un abondant matériel seul permet d'arriver à constituer le cadre d'un sous-groupe, mais un tel matériel présente, cependant, certains inconvénients comme nous le verrons plus loin. J'ai pu établir plusieurs sous-groupes pour les *Microgaster* et les *Apanteles*, mais beaucoup d'autres formes restent encore isolées. Parmi celles-ci, trois autres sous-groupes auraient pu encore être constitués par le rapprochement de formes affines de *Ap. intricatus* n. sp. et *propylae* DE S. dans le groupe A, et de *luteo-*

(1) Certains, cependant, créèrent pour plusieurs groupes, des genres différents, mais ceux-ci, furent mis en synonymie par la suite.

(2) *Proc. R. Ent. Soc. Lond.*, VII, 1938, p. 50.

*cinctus* DE S. dans le groupe S; toutefois, j'estime que pour le moment il est encore difficile de bien les définir. Le groupement d'après la composition de la 2<sup>e</sup> cellule cubitale des ailes antérieures, chez les *Microgaster*, ainsi que celui en sous-groupes, sont des subdivisions nouvelles.

Les sous-groupes créés dans ce travail, sont établis non sur la base d'un caractère commun, mais sur le facies général. Dans une collection telle que celle récoltée par la Mission DE WITTE on peut, en effet, constater des ensembles présentant une apparence d'une extrême analogie dans les caractères généraux. Dans les limites de ces ensembles il devient de plus en plus difficile de séparer les formes et l'on est conduit à supposer qu'ils représentent peut-être l'espèce vraie dont les éléments actuellement considérés comme espèce ne seraient en réalité que les variantes ou, comme je le disais

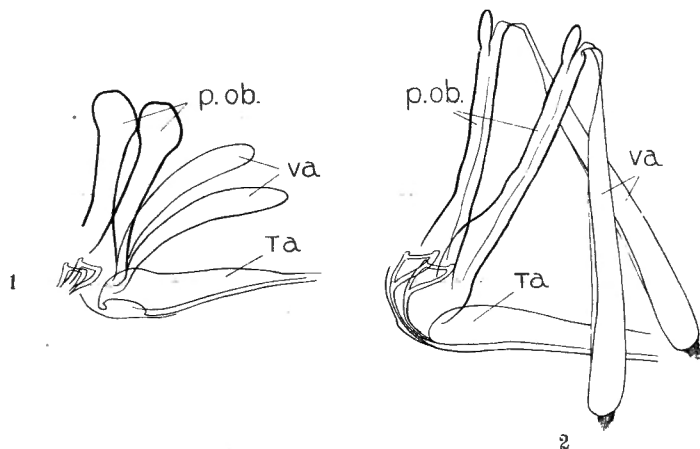


FIG. 1. — *Apanteles intricatus* sp. n. FIG. 2. — *Apanteles cato* sp. n.

Détail partiel de la structure des pièces génitales (♀) :

p.ob., plaques oblongues; va., valves de la tarière; Ta., tarière.

La figure 2 est plus réduite que la figure 1.

plus haut, des races biologiques. Il serait particulièrement important, pour vérifier cette hypothèse, d'étudier la biologie de tels groupements de formes.

D'autre part, on peut constater, comme je l'ai fait pour certaines espèces telles que *Ap. cinyras* et *intricatus* dans le groupe A <sup>(1)</sup>, *Ap. nycteus* et *transutus* dans le groupe F (sous-groupe *ruficrus*), *Ap. cato* et *subaltus* dans le groupe S (sous-groupe *coxalis*), l'existence de formes possédant le facies du sous-groupe, mais dont les caractères, considérés comme spécifiques par les auteurs, paraissent « affolés », terme de génétique que je crois absolument approprié ici. Ces formes présentent une telle confusion des caractères qu'on ne parvient pas à réaliser une séparation satisfaisante. Est-on en

(<sup>1</sup>) Ces espèces ainsi que *Ap. amenophis*, *nkuli* et *ninus*, pourront probablement constituer un sous-groupe ainsi, peut-être, que *Ap. gahinga*, *melissus* et *argus*.

présence de formes se trouvant à un stade très actif d'évolution ou d'un ensemble d'aberrations d'une même forme dues à l'influence de facteurs écologiques particuliers ? Ici encore nous sommes dans le séduisant domaine de l'hypothèse; c'est encore à la biologie que doit revenir le soin d'éclairer cette question. Ces formes, nombreuses, constituent la majorité du reliquat de la collection, restant spécifiquement indéterminé. Je me suis efforcé, pour les *Apanteles*, de ne décrire que des formes nouvelles bien caractérisées, afin d'éviter d'apporter de la confusion dans un genre déjà fort encombré. Malgré cela, la sélection des formes fut une tâche très ardue, que je ne suis pas toujours convaincu d'avoir pu mener à tout à fait bonne fin et le reliquat indéterminé, très élevé, est déconcertant. Cependant d'autres auteurs, étudiant les Hyménoptères parasites, ont rencontré la même difficulté lorsqu'ils se trouvaient devant un grand nombre de spécimens. A ce propos, je ne puis mieux faire que transcrire ce que dit CHARLES FULLER BAKER dans son étude sur les *Cheloninae* indo-australiens (1) et j'aboutis à la même conclusion que lui : « This group presents an excellent example of the fact that a classification of sorts may be a very ready possibility when but a few species are known, but that often it becomes very difficult with large series of specimens and species. Such series may show at once that some of the characters previously used for separation of species and even genera are highly variable, and cannot be employed for such purposes ».

VARIATIONS. — Les espèces précédemment décrites comptaient peu de séries; elles provenaient, pour une bonne partie, de récoltes isolées, plus rarement d'élevages. Il n'était donc guère possible de se faire une idée du degré de variation que ces insectes pouvaient présenter. La collection DE WITTE n'offre non plus, à ce point de vue, les éléments qu'on aurait pu escompter, sauf pour les groupements dont j'ai parlé plus haut. Cependant plusieurs espèces présentent des variantes, que je considère pour l'instant comme des aberrations, en attendant que d'autres matériaux permettent de confirmer ou d'infirmer ce point de vue. Ces divisions mineures n'avaient pas encore été enregistrées chez ces Braconides. Quelques espèces ne présentent qu'une seule variation, mais, parmi les *Apanteles*, il en est cinq qui en présentent plusieurs. Très souvent les formes aberrantes proviennent de la même localité que l'espèce elle-même et leur variation porte surtout sur les caractères chromatiques. Une espèce, *Ap. simus*, présente cinq variantes, chez lesquelles les formes à stigma hyalin paraissent seulement propres aux stations dont l'altitude est supérieure à 2.000 m.; ce caractère n'est rencontré chez aucune des formes de la même espèce originaires de stations inférieures à cette altitude.

L'intensité des colorations testacées est également variable; cela peut être dû au degré de maturité des insectes, comme à d'autres causes; de

(1) CH. F. BAKER, *Philipp. Journ. Sci.*, XXXI, 1926, p. 451.

plus, ces tonalités offrant une gamme allant du jaune pâle au rouge brunâtre, il est souvent difficile de les définir. J'estime qu'il n'y a pas lieu d'attacher une importance particulière à ces tonalités, sauf dans des cas exceptionnels, et c'est pourquoi, bien souvent dans les clefs, je me suis contenté d'employer le terme général de testacé, ou, dans les descriptions, celui de rouge testacé. Ces variations démontrent que peu de valeur taxonomique doit être attribuée à la coloration. Dans cet esprit, je me suis efforcé de ne considérer la coloration que comme un caractère tout à fait accessoire dans les clefs analytiques.

L'emploi de ces caractères chromatiques dans une clef aboutit à éloigner des espèces qui sont cependant très voisines par les caractères plastiques. On a certainement plus de chance, en utilisant ces derniers, de rapprocher des formes biologiquement affines — encore que cela ne soit pas toujours certain — que par le recours à la coloration.

La table analytique que j'ai établie pour les *Apanteles* s'inspire principalement de ce but, peut-être aux dépens de la possibilité de développement de la clef par des adjonctions ultérieures. Elle est basée, en ordre principal, sur les proportions et la sculpture de deux premiers tergites abdominaux, caractères qui participent le plus à la constitution du faciès spécifique chez ces Braconides.

DIAGNOSES. — Les descriptions des anciens auteurs, et parfois même des auteurs modernes, sont le plus souvent notoirement insuffisantes dès que le nombre d'espèces connues se multiplie; on est amené, actuellement, à recourir au plus grand nombre de caractères possibles afin de posséder des éléments de discrimination en suffisance. Cela rend les déterminations bien souvent laborieuses par suite de la nécessité où se trouve le déterminateur de confronter tous les caractères signalés. Lorsque les caractéristiques d'un sous-groupe auront été bien établies, les éléments inutiles seront facilement distingués et pourront être négligés, mais tant qu'on n'a pu aboutir à la constitution du sous-groupe, il est nécessaire — en vertu du principe exigeant que toute structure présentée par l'insecte soit prise en considération <sup>(1)</sup> — que les descriptions soient aussi complètes que possible. On ne doit donc pas, comme précédemment, partir du simple pour aboutir au complexe, mais, au contraire, disposer de diagnoses abondamment fournies en caractères variés (un caractère paraissant de prime abord superflu, pouvant, par la suite, devenir très important), pour arriver peu à peu à la simplification en abandonnant l'inutile en cours de route.

Mes descriptions sont établies sur la forme de celles du spécialiste anglais D. S. WILKINSON. Je me suis efforcé, notamment pour les tergites

---

(<sup>1</sup>) Dixit G. F. FERRIS, *The principles of systematic Entomology*, Stanf. Univ. Publ., V, 3, 1928, p. 58.

abdominaux, de conserver le même ordre chronologique des détails afin de faciliter la comparaison et la compréhension.

**RAPPORT DES SEXES.** — Pour l'ensemble des *Microgasterinae*, le taux des individus mâles est de 60,3 % et celui des femelles de 39,7 %. Ces chiffres sont également ceux présentés par les *Apanteles*, qui influencent évidemment cette moyenne par leur nombre. Mais nous voyons que le taux est sensiblement voisin pour les *Microgaster* (68 et 32 %) et pour les *Microplitis* (63 et 37 %). Les autres genres sont représentés par un trop petit nombre de spécimens pour qu'ils puissent fournir un renseignement positif. On peut donc considérer que les chiffres arrondis de 60 % pour les mâles et 40 % pour les femelles reflètent assez exactement la réalité. Dans cette considération, il y a toutefois lieu de ne pas perdre de vue que le taux des sexes est chez beaucoup d'espèces — sinon toutes — très influencé par les facteurs saisonniers.

**MENSURATIONS.** — Les mensurations renseignées dans les descriptions furent faites au moyen du micromètre-oculaire, à un grossissement de  $\times 64$  (oculaire  $\times 8$ , objectif  $\times 8$ ). Ces mensurations n'ont qu'une valeur de rapport entre les espèces, la taille pouvant varier pour les spécimens d'une même espèce, mais pour ceux-ci le rapport paraît assez constant.

La largeur est toujours entendue en tant que plus grande largeur de la pièce considérée. Les dimensions des articles des pattes sont prises de l'apex d'un article à l'apex de l'article suivant, l'article apical est mesuré sans l'onychium. Les proportions des fémurs postérieurs surtout paraissent présenter un caractère intéressant. Pour les tergites abdominaux, les dimensions sont toujours indiquées, afin de permettre une reconstitution, quoique presque chaque espèce nouvelle soit accompagnée d'un dessin de ces pièces.

**DESSINS.** — Les dessins qui accompagnent cette étude furent exécutés : 1° à la chambre claire pour les antennes, têtes, pattes et l'apex de l'abdomen pour certaines espèces qui ne firent pas l'objet d'une préparation (généralement par insuffisance de matériel); 2° au micro-projecteur pour les ailes et les genitalia; 3° à main libre pour les tergites abdominaux.

Chaque pièce est agrandie dans les mêmes proportions, c'est-à-dire que toutes les ailes présentent le même rapport, toutes les antennes le leur, etc., sauf mention spéciale.

La présente étude fut réalisée sous les auspices de l'Institut des Parcs Nationaux du Congo Belge et subsidiée par la Fondation pour favoriser l'Étude scientifique des Parcs Nationaux du Congo Belge.

Je tiens à exprimer ici ma vive gratitude à M. le Dr H. SCHOUTEDEN, qui a très obligeamment mis à ma disposition le matériel du Musée colonial de Tervueren, pour me permettre de réaliser cette étude.

LISTE DES LOCALITÉS OU DES *MICROGASTERINAE*  
FURENT RÉCOLTÉS <sup>(1)</sup>.

## B

- Bikwi* (rivière torrent), versant Sud du Karisimbi, Ruanda; récoltes effectuées entre 3.100 et 3.200 m. d'altitude, zone à *Hagenia*, *Hypericum*, *Senecio* et *Lobelia*.
- Bishakishaki* (rivière), forêt à tendance mésophile au Sud de Ngesho, région du Kamatembe, alt. 2.100 m.
- \**Bitale* (village), près de Burambi, au bord du lac Bulero, Ruanda, alt. 1.862 m.
- \**Bitashimwa* (village), au Nord de Lulenga, au pied du mont Sesero, alt. 1.950 m.
- Bitashimwa*, vers le mont Sesero, vers la limite inférieure de l'étage des Bambous. sous-bois encombré d'Acanthacées et d'Urticacées, alt. 2.000 m.
- Bitshumbi* (ancien village), rive Sud du lac Edouard, alt. 925 m.
- Bulero* (lac), au Sud-Est du volcan Muhavura, Ruanda, alt. 1.862 m.
- \**Bulengo* (village).
- Bunyoni* (lac), district du Kigezi, Uganda, alt. 1.974 m.
- \**Burambi* (village), au pied du volcan Muhavura, versant Est, vers le lac Bulero, Ruanda, alt. 2.325 m.
- \**Burunga Mokoto* (village), à l'Ouest du Kamatembe, vers les lacs Mokoto, alt. 2.190 m., forêt sclérophylle à tendance mésophile, sous-bois fort encombré d'herbacées diverses et notamment de Fougères.

## G

- Gahinga* (volcan), récoltes effectuées sur le versant Ouest, Ruanda, alt. 3.475 m., forêt de Bambous jusqu'à 3.000 m., puis *Hypericum* et ensuite zone de *Senecio*, *Lobelia* et Bruyères, à partir de 3.200 m.
- Gahinga-Sabinjo* (col).
- Gando* (lac), versant Sud du volcan Karisimbi, Ruanda, cratère adventif à la base du Karisimbi, entouré d'une ceinture de forêt à *Brillantaisia*, alt. 2.400 m.
- Gihorwe* (lieu-dit), versant Sud du volcan Karisimbi, Ruanda, alt. 2.400 m.
- Gitebe* (petit volcan éteint), îlot de forêt de montagne dans la plaine de lave à l'Est du volcan Nyamuragira, alt. 2.324 m.

## I

- Ilega* (lieudit), versant Sud du volcan Karisimbi et au Nord-Est du lac Gando. Ruanda, clairière avec mares dans une forêt de Bambous, *Hypericum* et *Hagenia*. alt. 2.400 m.

(<sup>1</sup>) Les stations marquées d'un astérisque sont situées dans des régions où existent des cultures.

## K

- Kabare* (selle), col Mikeno-Karisimbi, forêt à *Hagenia* et *Hypericum*, alt. 3.200 m.
- Kabasha* (escarpement), monts Mitumba, au Sud-Ouest du lac Edouard, altitude au sommet 1.760 m., forêt sèche climatique à *Euphorbia nyikae* et savane à *Terminalia*.
- \**Kalondo* (village), lac Ndaraga, Mokoto, alt. 1.750 m., végétation herbeuse remaniée, à *Pennisetum purpureum*.
- Kamatembe* (région), au Sud de Ngesho, forêt sclérophylle sur plaine de lave ancienne avec îlots de forêt de montagne, herbacées vivaces, fougères, épiphytes nombreuses, atmosphère humide et confinée; alt. 2.100-2.300 m. au mont Kamatembe.
- \**Kanyabayongo* (village), au sommet de l'escarpement de Kabasha, alt. 1.750 m.
- Kanyamenoni* (lac), ancien cratère dans la forêt de Bambous, près de Tshamugussa vers le volcan Musule, région du Bweza, alt. 2.300 m.
- Kanzenze* (marais), entre Nyabirehe et Ilega, versant Sud du volcan Karisimbi, Ruanda; Bambous, *Hypericum*, *Hagenia* et forêt secondaire, alt. 2.400 m.
- Karisimbi* (volcan), versant Sud, Ruanda; zone à *Hagenia*, *Senecio*, *Lobelia* et Bruyères arborescentes, alt. des récoltes 3.800 m.; alt. au sommet 4.507 m.
- Kashwa* (étang), entre Ngesho et la rivière Bishakishaki, alt. 2.000 m.
- Kibga* (lieu-dit), versant Sud du volcan Visoke, Ruanda, à la lisière de la forêt de Bambous, alt. 2.400 m.
- \**Kinyamahura* (village), région du Djomba à l'Est de Rutshuru, alt. 1.800 m.
- \**Kirii* (sources), près de Ruhengeri, Ruanda, alt. 1.800-1.825 m.
- Kitondo* (marais), vers Gandjo, au pied du mont Kamatembe, alt. 2.000 m.
- Kundhuru-ya-Tshuve* (col), entre le Gahinga et le Sabinyo, au Nord de Ruhengeri, Ruanda, alt. 2.600 m., zone à Bambous.

## L

- \**Luofu* (poste), entre Kanyabayongo (Kabasha) et Lubero, alt. 1.700 m.

## M

- Magera* (lac), au pied du mont Kirorirwe et à l'Ouest du volcan Nyamuragira, alt. 2.000 m.; marais à Typha, Papyrus, berges à végétation clairsemée et colline de végétation remaniée.
- Mayumbu* (petit volcan éteint), îlot de forêt de montagne dans la plaine de lave, volcan Nyamuragira, alt. 2.100 m.
- May ya Moto* (sources chaudes sulfureuses) au pied du massif du Kasali et sur la rive gauche de la rivière Rutshuru, alt. 950 m.
- Molindi* (rivière), affluent de la Rutshuru, entre Kirumba et le lac Kibuga, savane, alt. 1.000-1.200 m.
- Mubiliba* (lieu-dit), forêt sclérophylle à tendance mésophile sur lave désagrégée, au Nord-Est du volcan Nyamuragira, alt. 2.000 m.
- Mugara Kigombe*, rivière au Sud-Ouest de Ruhengeri, alt. 2.000 m.
- Munagana* (village), région du Djomba à la frontière de l'Uganda, route Kabale-Rutshuru, alt. 2.000 m.
- Mugunga* (lac), ancien cratère près de Nzulu, lac Kivu, forêt sclérophylle à lianes nombreuses, alt. 1.500 m.
- Mushumangabo* (ancien cratère), versant Est du volcan Nyamuragira, taillis sclérophylle; sur les berges de cendrée, forêt mésophile où domine l'*Entandophragma spinosum*, alt. 2.075 m.

## N

- \**Ndaraga* (lac), un des quatre lacs Mokoto, végétation remaniée et cultures, alt. 1.725 m.  
 \**Ngesho* (plantations européennes et village), à l'Ouest de Rutshuru, vers les lacs Mokoto, alt. 1.725 m.  
*Nyabirehe* (lieu-dit), sur la route Kisenyi-Ruhengeri, Ruanda, au Sud-Est du volcan Karisimbi, alt. 2.000 m.  
*Nyabitsindi* (marais), entre les volcans Visoke et Musule, Ruanda, dans la forêt de Bambous, alt. 2.450 m.  
 \**Nyakibumba* (village et colline), région du Kibumba, versant Ouest du volcan Mikeno, alt. 2.000 m.  
 \**Nyarusambo* (village et colline), région du Kibumba, versant Ouest du volcan Mikeno, alt. 2.000 m.  
*Nyashoke* (petit volcan éteint), flot de forêt de montagne, dans la plaine de lave à l'Est du volcan Nyamuragira, alt. 2.000 m.  
 \**Nyongera*, près de Rutshuru.  
 \**Nzulu* (village), lac Kivu, passe de Sake, alt. 1.500 m.

## P

- \**Penge* (rivière), près de Ruhengeri, Ruanda, alt. 1.800-1.825 m.

## R

- \**Ruhengeri* (chef-lieu de territoire), région du Mulera, Ruanda, alt. 1.800-1.825 m.  
 \**Ruhengeri Moruguhu* (marais), au Sud-Est de Ruhengeri, Ruanda, alt. 1.800 m.  
*Rutabagwe* (marais), situé au Kundhuru-ya-Tshuve, col Gahinga-Sabinyo, vers Ruhengeri, Ruanda, alt. 2.600 m.  
 \**Rutshuru* (chef-lieu de territoire), récoltes aux environs du poste, alt. 1.150-1.285 m.  
*Rutshuru* (rivière), prend sa source au Nord du Djomba, se jette dans le lac Édouard près de Kabare.  
*Rutshuru*, rivière *Lubirizi*, au Sud-Est de Rutshuru, alt. 1.285 m.  
*Rutshuru*, rivière *Fuku*, petit affluent de la Rutshuru au Sud-Ouest de Rutshuru.  
*Rutshuru*, rivière *Kanzarue*, affluent de la rivière Rodahira, au Sud de Rutshuru.  
*Rutshuru*, rivière *Musugereza*, affluent de la rivière Kabaraza au Nord de Rutshuru.  
*Rutshuru*, rivière *Rodahira*, affluent de la Rutshuru, au Sud de Rutshuru.  
*Rweru* (lieu-dit), volcans Mikeno et Karisimbi, versant Ouest, étage des *Hagenia* sur le Mikeno, formation assez claire avec sous-bois encombré de plantes herbacées diverses où dominent surtout les Ombellifères, nombreuses épiphytes, récoltes dans la forêt de Bambous, alt. 2.400 m.  
*Rwebeya* (vallée), au Nord de Ruhengeri.  
*Rwindi* (rivière), prend sa source à l'Est des Mokoto, se jette dans le lac Édouard entre Kamande et Bitshumbi, récoltes aux environs du camp, alt. moyenne 1.000 m.

## S

- \**Sake* (poste), rive du lac Kivu, baie, marais de Papyrus, alt. 1.460 m.  
*Sesero* (mont), au Nord du volcan Mikeno, forêt de Bambous et forêt secondaire, alt. 2.000 m.  
*Shamuheru* (petit volcan éteint), forêt sclérophylle à tendance mésophile sur lave partiellement désagrégée, versant Est du volcan Nyamuragira, sous-bois dense tapissé d'herbacées bien développées, alt. 1.845 m.

**T**

- Tamira* (région et mont), au Nord du lac Gando, Ruanda, alt. 2.600 m.  
*Tshamugussa* (région du Bweza), au Nord du volcan Visoke et à l'Ouest du volcan Musule, vers le lac Kahungukero, lisière de l'étage de Bambous, alt. 2.250 m.  
*Tshamugussa*, vers le lac Kanyamenoni, intérieur du massif de Bambous, sous-bois à herbacées nombreuses : Acanthacées, Labiées, Urticacées, etc., alt. 2.250 m.  
*Tshegera* (île), au Nord du lac Kivu, près de Nzulu, alt. 1.460 m.  
*Tshengelero* (marais), au Nord de Munagana, alt. 1.750 m.  
\**Tshumba* (village), région du Mushari, au Nord du volcan Nyamuragira et Sud-Ouest de Rutshuru, végétation remaniée avec trace de forêt sclérophylle, alt. 2.100 m.

**V**

- Visoke* (volcan), altitude au sommet 3.711 m.
-

RELEVÉ DES ALTITUDES OU LES CAPTURES  
FURENT FAITES  
ET DU NOMBRE D'EXEMPLAIRES CAPTURÉS.

	Altitudes		Nombre de stations	Nombre d'exemplaires		
	Minima	Maxima		Total	♂♂	♀♀
<b>Paroligoneurus :</b>						
<i>aethiopicus</i> sp. n. ... ..	1.825	—	1	2	—	2
<i>convexus</i> sp. n. ... ..	1.825	—	1	1	1	—
<i>kivuensis</i> sp. n. ... ..	1.200	—	1	1	—	1
<i>witlei</i> sp. n. ... ..	1.000	2.324	15	33	14	19
<b>Adelius :</b>						
<i>stenoculus</i> sp. n. ... ..	2.400	—	1	2	2	—
<b>Mirax :</b>						
<i>mubilibana</i> sp. n. ... ..	1.200	2.600	13	37	7	30
<b>Microplitis :</b>						
<i>aethiopica</i> sp. n. ... ..	1.750	2.100	6	8	1	7
<i>aethiopica nigra</i> ab. n. ...	1.250	2.400	20	23	22	1
<i>bambusana</i> sp. n. ... ..	1.800	2.400	9	35	19	16
<i>congensis</i> sp. n. ... ..	1.000	—	1	1	1	—
<i>isis</i> sp. n. ... ..	1.285	—	1	1	1	—
<i>niger</i> sp. n. ... ..	1.218	1.285	4	6	2	4
sp. ... ..	—	—	—	2	2	—
<b>Microgaster :</b>						
<i>agama</i> sp. n. ... ..	1.750	—	1	1	1	—
<i>anandra</i> sp. n. ... ..	2.000	—	1	1	—	1
<i>atropa</i> sp. n. ... ..	1.750	2.226	6	11	3	8
<i>austrina</i> WILKINSON ... ..	1.250	2.000	7	9	1	8
<i>cincticornis</i> sp. n. ... ..	1.820	2.324	5	19	14	5
<i>coronata</i> sp. n. ... ..	1.100	1.285	3	7	4	3
<i>coxalis</i> sp. n. ... ..	1.285	2.000	5	8	6	2
<i>epectina</i> sp. n. ... ..	1.820	2.000	2	3	—	3

	Altitudes		Nombre de stations	Nombre d'exemplaires		
	Minima	Maxima		Total	♂♂	♀♀
<i>epectinopsis</i> sp. n. ... ..	1.200	1.750	2	2	—	2
<i>fasciipennis</i> GAHAN... ..	1.250	—	1	2	2	—
<i>glaphyra</i> sp. n. ... ..	2.400	—	1	1	—	1
<i>heterocera</i> sp. n. ... ..	1.100	2.000	8	40	34	6
<i>homocera</i> sp. n. ... ..	1.820	2.324	6	52	49	3
<i>kivuana</i> sp. n. ... ..	1.000	—	1	1	—	1
<i>laurae</i> sp. n. ... ..	1.000	1.500	2	3	—	3
<i>laurae nyamuragira</i> ab. n.	1.820	2.400	3	9	8	1
<i>megaulax</i> sp. n. ... ..	1.200	1.285	2	4	3	1
<i>mikeno</i> sp. n. ... ..	2.250	2.400	2	7	4	3
<i>neglecta</i> sp. n. ... ..	1.100	1.285	6	17	6	11
<i>nigromacula</i> sp. n. ... ..	1.800	2.400	9	9	—	9
<i>nigromacula obscurior</i> ab. n.	2.000	2.075	2	4	3	1
<i>palpicolor</i> sp. n. ... ..	1.100	1.285	4	7	—	7
<i>pluto</i> sp. n. ... ..	2.000	2.400	4	9	6	3
<i>psilocnema</i> sp. n. ... ..	2.000	3.300	4	10	10	—
<i>pteroloba</i> sp. n. ... ..	1.000	1.500	4	9	5	4
<i>ruandana</i> sp. n. ... ..	2.400	2.600	3	9	2	7
<i>semirufa</i> sp. n. ... ..	1.100	1.800	3	4	—	4
<i>stenoterga</i> sp. n. ... ..	2.324	—	1	2	—	2
<i>sulcata</i> sp. n. ... ..	1.820	2.400	1	4	3	1
<i>superba</i> sp. n. ... ..	2.100	—	1	3	—	3
<i>sylleptae</i> DE SAEGER ... ..	1.100	2.600	26	75	50	25
<i>vacillatropsis</i> sp. n. ... ..	1.285	—	1	1	—	1
<i>vulcana</i> sp. n. ... ..	2.000	2.400	4	6	3	3
<i>wittei</i> sp. n. ... ..	1.843	3.300	13	57	40	17
<i>wittei xanthostigma</i> ab. n.	2.250	2.400	2	9	4	5
<i>wittei major</i> ab. n. ... ..	2.300	2.600	2	3	3	—
spp. divers... ..	—	—	—	—	10	5
spp. divers ap. <i>wittei</i> ...	—	—	—	—	24	—
spp. s.-gr. <i>fasciipennis</i> ...	—	—	—	—	15	—
spp. s.-gr. <i>bastmacula</i> ...	—	—	—	—	35	9
spp. divers ap. <i>sylleptae</i> ...	—	—	—	—	2	—
<b>Apanteles :</b>						
<i>achaeus</i> n. sp. ... ..	1.800	1.825	2	4	—	4
<i>aethiopicus</i> WILKINSON ...	1.800	1.825	5	7	1	6
<i>agynus</i> sp. n. ... ..	1.000	—	1	1	1	—
<i>alastor</i> sp. n. ... ..	1.285	1.750	4	19	10	9

	Altitudes		Nombre de stations	Nombre d'exemplaires		
	Minima	Maxima		Total	♂♂	♀♀
<i>alastor nyongera</i> ab. n. ...	1.218	1.800	3	3	—	3
<i>amenophis</i> sp. n. ... ..	1.750	2.400	7	16	13	3
<i>anubis</i> sp. n. ... ..	1.285	—	2	2	—	2
<i>argus</i> sp. n. ... ..	1.820	3.300	—	16	15	1
<i>arundinariae</i> sp. n. ... ..	2.000	2.400	2	31	23	8
<i>bellatulus</i> sp. n. ... ..	1.800	2.400	7	21	19	2
<i>bellatulus simulator</i> sp. n.	2.400	—	1	1	1	—
<i>bifissus</i> sp. n. ... ..	1.285	2.324	5	7	—	7
<i>bitalensis</i> sp. n. ... ..	1.100	1.862	3	4	—	4
<i>burunganus</i> sp. n. ... ..	2.000	2.250	3	5	—	5
<i>cato</i> sp. n. ... ..	1.100	2.600	20	179	126	53
<i>circinus</i> sp. n. ... ..	2.400	—	1	1	—	1
<i>cinyras</i> sp. n. ... ..	1.800	3.300	6	19	10	9
<i>conspicabilis</i> sp. n. ... ..	1.285	1.825	2	10	—	10
<i>cuspidalis</i> sp. n. ... ..	1.285	2.324	4	4	1	3
<i>cyclorhaphus</i> sp. n. ... ..	1.500	—	1	3	—	3
<i>elaeodes</i> sp. n. ... ..	1.750	2.400	2	2	—	2
<i>epaphus</i> sp. n. ... ..	1.285	2.400	11	26	—	26
<i>eucosmae</i> WILKINSON ... ..	1.285	—	1	1	—	1
<i>eutelus</i> DE SAEGER ... ..	1.000	2.000	5	6	4	2
<i>eutelus lacteipennis</i> ab. n.	1.800	—	1	1	1	—
<i>fallax</i> sp. n. ... ..	1.100	1.285	6	11	10	1
<i>fontinalis</i> sp. n. ... ..	1.760	2.600	7	22	8	14
<i>furax</i> sp. n. ... ..	1.750	2.400	5	22	16	6
<i>fuscinerwis</i> CAMERON ? ... ..	2.200	—	1	1	—	1
<i>gahinga</i> sp. n. ... ..	3.000	3.475	2	10	7	3
<i>gandoensis</i> sp. n. ... ..	2.400	—	1	1	—	1
<i>geometrivorus</i> DE SAEGER ...	1.750	2.300	2	2	—	2
<i>ghesquierei rufipes</i> ab. n. ...	1.800	—	1	1	—	1
<i>gitebe</i> sp. n. ... ..	1.750	—	1	1	—	1
<i>gowdeyi</i> GAHAN ... ..	1.750	—	1	1	1	—
<i>henicopus</i> sp. n. ... ..	1.285	1.820	4	6	3	3
<i>hiero</i> sp. n. ... ..	1.285	—	1	3	1	2
<i>horus</i> sp. n. ... ..	1.000	2.400	14	48	36	12
<i>hyperion</i> sp. n. ... ..	1.285	1.800	5	15	5	10
<i>insolens</i> WILKINSON ... ..	1.800	—	1	1	1	—
<i>intricatus</i> sp. n. ... ..	1.750	3.475	29	170	148	22
<i>langerburgensis</i> SZÉPLIGETI	1.500	2.400	15	34	16	18
<i>laxus</i> sp. n. ... ..	1.000	1.285	4	13	9	4

	Altitudes		Nombre de stations	Nombre d'exemplaires		
	Minima	Maxima		Total	♂♂	♀♀
<i>lissopleurus</i> sp. n. ... ..	1.000	1.285	2	7	7	—
<i>longistylus</i> sp. n. ... ..	1.750	2.300	9	24	21	3
<i>longistylus kashwa</i> ab. n.	1.900	—	1	1	—	1
<i>luteocinctus</i> DE SAEGER ...	1.100	2.000	7	20	—	20
<i>luteocinctus kirii</i> ab. n. ...	1.200	1.845	5	6	—	6
<i>luteocinctus kabasha</i> ab. n.	1.750	1.825	4	4	—	4
<i>luteocinctus rutshuru</i> ab. n.	1.285	—	1	1	—	1
<i>megagaster</i> sp. n. ... ..	950	1.825	3	11	6	5
<i>melanotus</i> sp. n. ... ..	1.000	1.820	3	5	3	2
<i>melanotus rubens</i> ab. n. ...	1.285	—	1	2	1	1
<i>melissus</i> sp. n. ... ..	1.285	2.600	3	4	4	—
<i>mlanje</i> WILKN. <i>mimus</i> ab. n.	2.000	2.400	5	15	1	14
<i>mlanje metus</i> ab. n. ... ..	1.218	2.400	18	42	16	26
<i>mlanje nox</i> ab. n. ... ..	1.200	2.400	8	16	11	5
<i>montanus</i> sp. n. ... ..	1.820	2.200	4	9	4	5
<i>neavei</i> WILKINSON ... ..	1.285	—	1	1	—	1
<i>neleus</i> sp. n. ... ..	1.285	2.600	3	2	1	1
<i>ninus</i> sp. n. ... ..	2.250	—	1	6	3	3
<i>nitidus</i> sp. n. ... ..	1.800	—	1	1	—	1
<i>nkuli</i> DE SAEGER ... ..	2.325	3.475	5	8	7	1
<i>nycteus</i> sp. n. ... ..	1.100	2.400	17	66	49	17
<i>ostris</i> sp. n. ... ..	1.820	2.400	15	107	87	20
<i>parvicornis</i> sp. n. ... ..	1.800	—	1	4	—	4
<i>pelops</i> sp. n. ... ..	1.843	3.200	11	62	44	18
<i>pelops nigricoxis</i> ab. n. ...	1.218	2.400	6	6	2	4
<i>pistrinariae nyasaensis</i> WLK.	1.862	—	1	1	—	1
<i>propylae</i> DE SAEGER ... ..	1.200	1.285	4	19	17	2
<i>propylae rutshuruensis</i> ab.	1.285	—	1	3	1	2
<i>propylae punctulatus</i> ab. n.	1.100	2.400	6	19	15	4
<i>pyrodercetus</i> DE SAEGER ...	1.800	—	1	1	—	1
<i>sarpedon</i> sp. n. ... ..	1.750	2.400	5	7	1	6
<i>schoutedeni</i> DE SAEGER ...	(Uelé)	450	1	7	6	1
<i>simulissimus</i> sp. n. ... ..	1.100	2.300	4	4	—	4
<i>simus</i> sp. n. ... ..	2.250	2.600	5	27	7	20
<i>simus moko</i> ab. n. ... ..	2.000	3.711	7	32	29	3
<i>simus mibale</i> ab. n. ... ..	1.800	2.600	7	20	18	2
<i>simus misatu</i> ab. n. ... ..	1.218	1.500	4	4	—	4
<i>simus mine</i> ab. n. ... ..	1.285	2.000	3	4	4	—
<i>simus mitanu</i> ab. n. ... ..	1.218	2.324	9	15	15	—

	Altitudes		Nombre de stations	Nombre d'exemplaires		
	Minima	Maxima		Total	♂♂	♀♀
<i>spilosomae</i> DE SAEGER ... ..	1.000	2.000	5	6	3	3
<i>subaltus</i> sp. n. ... ..	1.100	2.250	20	86	43	43
<i>subaltus nigrifemur</i> ab. n.	1.285	1.750	3	8	—	8
<i>sylvaticus</i> sp. n. ... ..	1.800	2.400	6	11	3	8
<i>tereus</i> sp. n. ... ..	2.600	—	1	1	—	1
<i>thespis</i> sp. n. ... ..	2.000	3.300	3	6	3	3
<i>transutus</i> sp. n. ... ..	1.760	2.400	21	36	23	13
<i>triptolemus</i> sp. n. ... ..	2.000	2.600	12	73	30	43
<i>triptolemus pullus</i> ab. n. ...	2.400	2.600	4	18	14	4
<i>ugandaensis</i> GAHAN ... ..	1.100	2.400	7	14	5	9
<i>uroxys</i> DE SAEGER ... ..	1.700	2.325	2	3	—	3
<i>valvatus</i> sp. n. ... ..	1.800	—	1	2	—	2
<i>valvatus rwindicus</i> ssp. n.	1.000	—	1	1	—	1
<i>venustus</i> sp. n. ... ..	1.285	2.000	5	4	2	2
<i>vivax</i> sp. n. ... ..	1.800	1.820	2	14	12	2
<i>wittei</i> sp. n. ... ..	2.000	1.300	4	9	2	7
<i>wittei anthracomerus</i> ab. n.	1.760	2.400	6	7	—	7
<i>wittei kamatembe</i> ab. n. ...	1.750	2.400	8	13	—	13
<i>wittei sake</i> ab. n. ... ..	1.460	2.400	7	9	6	3
<i>xanthopholis</i> sp. n. ... ..	1.500	2.400	12	25	8	17
spp. gr. A ap. <i>intricatus</i> ...	—	—	—	—	90	98
spp. gr. F s.-gr. <i>ruficrus</i> ...	—	—	—	—	113	83
spp. gr. F s.-gr. <i>mlanje</i> ...	—	—	—	—	82	41
spp. divers groupe U ... ..	—	—	—	—	47	42
spp. divers groupe S ... ..	—	—	—	—	323	266
spp. gr. S s.-gr. <i>cozalis</i> ...	—	—	—	—	185	22
spp. groupe G .. ..	—	—	—	—	2	3

## Superfamille ICHNEUMONOIDEA

### Famille BRACONIDAE

#### Sous-famille MICROGASTERINAE.

Tête transverse, rebord occipital généralement absent; clypeus non échancré; palpes habituellement longs, toujours composés de plus de deux articles; antennes variables, le nombre d'articles étant généralement constant dans chaque genre; thorax fort; notaules habituellement absents; nervation alaire réduite; nervure radiale des ailes antérieures abrégée ou absente, jamais complète; cellule radiale toujours ouverte et jamais très étroite; deuxième cellule cubitale, si elle est présente, confluant souvent avec la troisième, indiquée seulement à la base ou, si elle est complète, toujours petite, à 3 ou 4 côtés; deuxième nervure transverso-cubitale absente ou courte; pattes normales, hanches postérieures parfois très grandes; fémurs postérieurs plus larges au milieu et tibias à l'apex; éperons des tibias de longueur variable, constante dans chaque espèce; abdomen sessile à 2<sup>e</sup> suture généralement distincte; tarière de longueur variable.

L'auteur américain MUESEBECK a très bien précisé les caractères de cette sous-famille, qui se distingue de toutes les autres sous-familles de Braconides par les caractères de la nervation alaire. Nervure radiale plus ou moins abrégée, jamais complète, et 2<sup>e</sup> cellule cubitale petite, incomplète ou absente. Ces caractères, combinés à ceux cités ci-dessus, permettent de séparer les *Microgasterinae* des groupes voisins.

La sous-famille des *Microgasterinae* compte actuellement douze genres, dont trois seulement étaient connus de la faune éthiopienne; récemment j'en ai décrit un quatrième <sup>(1)</sup>. L'étude de la collection de Braconides récoltée au Parc National Albert par la mission G. F. DE WITTE permet d'augmenter ce nombre de trois genres : *Paroligoneurus*, *Adelius* et *Microplitis*, dont les deux premiers peu connus.

La plupart des genres composant cette sous-famille sont en général peu représentés, par contre les genres cosmopolites *Apanteles* et *Microgaster* se distinguent par leur abondance de formes et leur extrême dispersion. Ces deux genres avec le genre *Microplitis* faisaient partie du genre *Microgaster*, au sens de LATREILLE; en fait, ils constituent un groupe naturel, distinct des autres genres de la sous-famille.

En tant que parasites au premier degré, les Microgasterines offrent un très grand intérêt au point de vue économique. La plupart sont des para-

(1) *Rev. Zool. Bot. afr.*, XXXVI, 1942, p. 313.

sites de Lépidoptères, plus rarement de Diptères, de Coléoptères et d'Hyménoptères. Les *Apanteles* notamment ont fait l'objet de nombreuses études biologiques et l'indéniable intérêt qu'ils présentent a incité nombre d'entomologistes à tenter la propagation de ces insectes dans des régions cultivées.

#### CLEF DES GENRES <sup>(1)</sup>.

1. Nervulus interstitiel; par suite, les cellules basales aux ailes antérieures sont d'égale longueur; les deux nervures transverso-cubitales absentes ..... 2
- Nervulus postfurcal ou subpostfurcal, jamais complètement interstitiel; la deuxième cellule basale, par suite, plus longue que la première; au moins la 1<sup>re</sup> nervure transverso-cubitale présente en tout ou en partie ..... 4
2. Antennes de 28 articles ..... *Oligoneurus* SZÉPLIGETI
- Antennes ayant moins de 28 articles, mais toujours plus de 18 ..... 3
3. Antennes de 24 articles; mésonotum portant une fosse arrondie sur le disque ..... *Mesocoelus* SCHULTZ
- Antennes de 19-20 articles; mésonotum normal, sans fosse sur le disque ..... **Paroligoneurus** MUESEBECK
4. Première transverso-cubitale insérée directement au stigma; 1<sup>re</sup> abcisse de la radiale seule présente et généralement courte ..... 5
- Première transverso-cubitale pas insérée au stigma; nervure radiale composée de deux abcisses, la 2<sup>e</sup> ordinairement formée par une ligne de soies plus étroitement placées ..... 9
5. Antennes de 14 articles; 1<sup>re</sup> abcisse de la cubitale souvent incomplète ..... **Mirax** HALIDAY
- Antennes de 20 articles; 1<sup>re</sup> abcisse de la cubitale toujours complète 6
6. Première transverso-cubitale et 1<sup>re</sup> abcisse de la radiale partant du stigma en des points éloignés l'un de l'autre ..... 7
- Première transverso-cubitale et 1<sup>re</sup> abcisse de la radiale contiguës à leur origine au stigma ..... *Myriola* SHESTAKOW
7. Tergites abdominaux de la base, lisses; 1<sup>er</sup> tergite plus long que large; sutures fines ou obsolètes ..... **Adelius** HALIDAY
- Tergites abdominaux de la base, coriacés et sculptés; 1<sup>er</sup> tergite, court, plus large que long; sutures fortes, fovéolées **Paradelius** DE SAEGER
8. Antennes de 21 articles; 2<sup>e</sup> abcisse de la radiale pas complètement absente ..... *Dirrhope* FOERSTER
- Antennes de 18 articles; 2<sup>e</sup> abcisse de la radiale, si elle est présente, toujours extrêmement courte, participant à la délimitation d'une 2<sup>e</sup> cel-

(1) Les genres représentés dans la faune éthiopienne figurent en caractères gras.

- lule cubitale petite (aréole), ou sinon réduite à un tronçon et continuée tout au plus par une ligne de soies plus étroitement placées ..... 9
9. Deux cellules cubitales; la 2<sup>e</sup> ouverte vers l'extérieur, les nervures présentes seulement à la base ..... **Apanteles** FOERSTER
- Trois cellules cubitales; la 2<sup>e</sup> généralement petite (aréole), séparée de la 3<sup>e</sup> par la 2<sup>e</sup> transverso-cubitale qui est souvent très courte et peut être plus ou moins hyaline ..... 10
10. Tête très petite; antennes comprimées; prépectus à bord caréné; mésonotum portant une courte carène médiane à la base .....  
*Snellenius* WESTWOOD
- Tête et antennes normales; prépectus non bordé; mésonotum sans courte carène médiane à la base ..... 11
11. Éperons des tibias postérieurs très courts, le plus long ne dépassant généralement pas le tiers de la longueur des métatarses; métacarpe rarement aussi long que le stigma; sternaules presque toujours présents et crénelés ..... **Microplitis** FOERSTER
- Éperons des tibias postérieurs plus longs, l'éperon interne toujours plus long que le tiers de la longueur des métatarses; métacarpe au moins aussi long que le stigma; sternaules très rarement présents et crénelés  
**Microgaster** LATREILLE

## ÉTUDE DES GENRES ET ESPÈCES (1).

### Genre **PAROLIGONEURUS** MUESEBECK.

*Paroligoneurus* MUESEBECK, Proc. U. S. Nat. Mus., vol. LXXIX, art. 16, p. 7, 1931.

Tête transverse, quoique peu fortement, un peu plus large que le thorax, sans rebord occipital; yeux pratiquement glabres; antennes insérées inhabituellement haut sur la face et largement séparées à la base; front court, légèrement incliné antérieurement; notaulices absents; prépectus non bordé; hanches postérieures petites, éperons des tibias postérieurs très courts; cellule radiale ouverte, nervure radiale représentée seulement par un court tronçon de nervure; les deux nervures transverso-cubitales absentes; toutes les cellules sont, par suite, confluentes; nervures cubitale et basale séparées à la base, quittant séparément le parastigma; 1<sup>re</sup> cellule brachiale ouverte en dessous; nervulus interstitiel avec la nervure basale; abdomen court, les

(1) Les espèces placées entre crochets ne figurent pas dans la collection DE WITTE; celles numérotées en chiffres romains appartiennent à la faune congolaise.

plaques chitinisées des 1<sup>er</sup> et 2<sup>e</sup> tergites semblables à celles de certains *Apanteles*.

Génotype : *Paroligoneurus johnsoni* MUES.

Ce genre est très voisin du genre monotypique brésilien *Oligoneurus* SZÉPL.; il s'en différencie par un plus petit nombre d'articles aux antennes et l'absence de pilosité sur les yeux.

#### CLEF DES ESPÈCES ÉTHIOPIENNES.

1. Propodeum lisse ou ponctué, sans trace de carènes ..... 2
- Propodeum portant une ou plusieurs carènes longitudinales complètes ou non ..... 3
2. Propodeum lisse et brillant; tegulae jaune testacé; stigma diaphane; pattes III entièrement jaune testacé; valves de la tarière très courtes ...
  1. *P. wittei* sp. n., ♂ ♀ (p. 25).
- Propodeum rugoso-ponctué; tegulae sombres à noires, stigma opaque; 2/3 apicaux des tibias et tarses des pattes III, brun noirâtre; valves de la tarière 1,5 fois plus longues que les métatarses III .....
  2. *P. aethiopicus* sp. n., ♀ (p. 29).
3. Propodeum portant une forte carène longitudinale médiane complète; joues et propodeum modérément convexes; métacarpe plus long que le stigma ..... 3. *P. kivuensis* sp. n., ♂ (p. 28).
- Propodeum portant plusieurs carènes faibles, limitées à la moitié apicale; joues et propodeum fortement convexes; métacarpe de même longueur que le stigma ..... 4. *P. convexus* sp. n., ♂ (p. 29).

#### 1. — *Paroligoneurus wittei* sp. n.

(Fig. 3, 4 et 5.)

♂ ♀ : brun rougeâtre; mésonotum et plaques chitinisées des tergites I et II ainsi que le stemmaticum, presque noirs; parties buccales (sauf l'apex des mandibules), face (parfois), joues, tempes, scapes et parfois pédicelles, propleures, tegulae, parties sclérifiées de la base des ailes, bords membraneux des tergites I et II, rouge testacé, propleures parfois très foncés; palpes, prosternum (parfois), toutes les pattes y compris les hanches (les tarses de teinte légèrement plus foncée), jaune testacé; flagellum et onychium, brun foncé; ailes hyalines, nervation brune, excepté aux ailes II où elle est presque incolore; stigma diaphane. La coloration de la face et du vertex paraît des plus variables.

♂ ♀. *Tête* : face brillante, finement ponctuée et sétuleuse sauf sur le clypeus; partie médiane de la face largement proéminente, cette proéminence s'achevant, avant l'insertion des antennes, par un petit tubercule allongé; clypeus non différencié de la face, à bord antérieur arrondi et

déprimé; tempes moitié aussi larges que les yeux; ceux-ci  $1/5$  plus longs que larges; joues et tempes convexes (fig. 5 B); vertex lisse et brillant; stemmaticum un peu proéminent; ligne oculo-ocellaire 2,5 fois l'espace séparant les ocelles postérieurs; occiput brillant, ponctué comme la face et les tempes, légèrement échancré; antennes minces, effilées au sommet, un peu plus longues que le corps et de 19 articles; scapes deux fois plus longs que les pédicelles; les 17 articles du flagellum, longs, bien séparés, portant des soies pâles et courtes; 1<sup>er</sup> article du flagellum 6 fois plus long que large et environ 1,5 fois plus long que le 2<sup>e</sup>; article terminal effilé, près de 4 fois plus long que sa plus grande largeur.

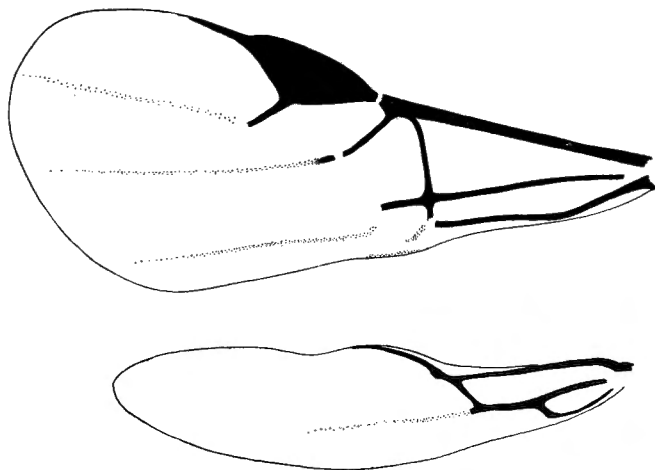


FIG. 3. — Ailes de *Paroligoneurus wittei* sp. n. ♀.

*Thorax* : mésonotum plat, lisse et brillant, portant une faible ponctuation assez régulièrement placée; sillon préscutellaire bien marqué, droit antérieurement, faiblement arqué postérieurement, non crénelé; disque du scutellum ponctué comme le mésonotum, légèrement convexe, arrondi à l'apex; propodeum lisse et brillant, faiblement et courtement ruguleux près du bord apical, ailleurs portant quelques fines soies distinctement plus longues latéralement; pro- et mésopleures lisses et brillants, ces derniers sans sillon; métapleures lisses antérieurement au sillon médian, finement ponctués et convexes postérieurement.

*Pattes* : hanches III petites, un peu moins de deux fois plus longues que leur plus grande largeur; tibias III, dix fois plus longs que leur largeur apicale; éperons des tibias III très courts, le plus long n'atteignant pas le quart de la longueur des métatarses.

*Ailes* (fig. 3 et 4) : pilosité des ailes assez dense; métacarpe ordinairement plus court que le stigma; tronçon de la nervure radiale quittant le stigma un peu après le milieu et de longueur un peu moindre que la plus grande

largeur de ce dernier; nervure cubitale fenestrée, la partie au delà de la fenêtre environ trois fois plus longue que large (fig. 4), la nervure est ensuite obsolète; nervulus interstitiel; récurrente absente, cependant parfois marquée par une ligne plus sombre de la membrane; nervure parallèle obsolète.

*Abdomen* : plus étroit que le thorax, lisse et brillant; 1<sup>er</sup> tergite portant une plaque chitinisée allongée, rétrécie à l'apex, plus large au tiers basal, où les stigmates sont très apparents; de la base partent deux carènes longitudinales, placées près des bords latéraux, mais laissant les stigmates à l'extérieur, elles rejoignent ces bords au delà de ces derniers; cette plaque est très faiblement excavée à la base, ensuite plate ou faiblement convexe;

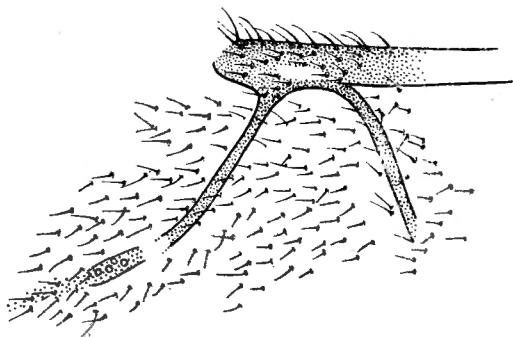


FIG. 4. — Détail des nervures basale et cubitale de *Paroltigoneurus wittei* sp. n. ♀.

longueur médiane du 1<sup>er</sup> tergite généralement double de sa plus grande largeur et un peu plus de 3 fois sa largeur apicale; 2<sup>e</sup> tergite portant une plaque médiane triangulaire de même largeur à la base que l'apex du 1<sup>er</sup> tergite et habituellement 2 fois plus longue que cette largeur; 2<sup>e</sup> suture effacée; 3<sup>e</sup> tergite environ les  $\frac{3}{4}$  de la longueur du 2<sup>e</sup> et portant comme les suivants une rangée de fines soies situées au tiers apical; hypopygium grand, aigu, dépassant l'extrémité de l'abdomen; valves de la tarière courtes, dépassant l'apex de l'hypopygium d'environ le tiers de la longueur des métatarses III.

Longueur : 2 à 2,75 mm.

DISTRIBUTION GÉOGRAPHIQUE : Rutshuru (alt. 1.285 m., 29-30.XII.1933, 7.VI.1935, 2.VII.1935); riv. Bweza, Rutshuru (alt. 1.200 m., 1.VII.1935); riv. Musugereza, Rutshuru (alt. 1.100 m., 8.VII.1935, 4.VII.1935); riv. Lubirizi, Rutshuru (alt. 1.285 m., 13.VII.1935); riv. Fuku, Rutshuru (alt. 1.250 m., 5.VII.1935); Nyongera, près de Rutshuru (Butumba) (alt. 1.218 m., 22.VII.1935); Tshengelero, près de Munagana (alt. 1.750 m., 21.VIII.1934); Rwindi (alt. 1.000 m., 20-24.XI.1934); Gitebe, volcan Nyamuragira (alt. 2.324 m., 14-26.VI.1935); Sake, lac Kivu (alt. 1.460 m., 19-22.II.1934); Shamuheru, volcan Nyamuragira (alt. 1.843 m., 15.VI.1935); Nyasheke, volcan Nyamuragira (alt. 1.820 m., 14-26.VI.1935); Mushumangabo, volcan Nyamuragira (alt.

2.075 m., 14-26.VI.1935); Tshamugussa, Bweza, forêt de Bambous (alt. 2.250 m., 10.VIII.1934); mont Sesero, près de Bitashimwa, forêt de Bambous (alt. 2.000 m., 1-2.VIII.1934); 33 exemplaires : 14 ♂♂, 19 ♀♀.

Ces spécimens présentent une certaine variation dans la coloration, notamment de la tête et des propleures. Variables également, la longueur du

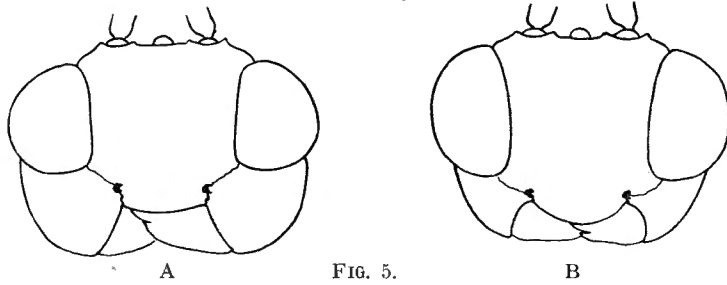


FIG. 5.  
A. Tête vue de face de *Paroligoneurus convexus* sp. n. ♂.  
B. Idem de *Paroligoneurus wittei* sp. n. ♂.

métacarpe et les proportions de la plaque chitinisée du 1<sup>er</sup> tergite. Il est possible que certains exemplaires représentent une sous-espèce, mais il est impossible d'effectuer une séparation sur la base de ces variations. Les récoltes futures permettront peut-être une discrimination plus exacte.

## 2. — *Paroligoneurus kivuensis* sp. n.

Semblable aux caractères décrits ci-dessus de *P. wittei*, à l'exception des suivants :

♂ : face, joues, tempes, pièces buccales (excepté l'apex des mandibules), scapes et pédicelles, rouge testacé; propleures noirs comme le thorax; tegulae, brun rougeâtre; hanches III un peu plus sombres que le restant des pattes; bords latéraux membraneux des tergites I et II, brun rougeâtre; stigma, brun subopaque.

♂ : flagellum de 18 articles; 1<sup>er</sup> article à peine plus long que le 2<sup>e</sup>; propodeum plus ou moins mat, portant latéralement de faibles stries et une forte carène longitudinale médiane complète; métacarpe un peu plus long que le stigma; plaque chitinisée du tergite I, environ 2,5 fois sa largeur médiane, les bords presque parallèles s'incurvent seulement près de l'apex; les carènes latérales longues, rejoignant les bords au tiers apical du tergite; cette plaque chitinisée porte, en outre, une carène longitudinale médiane partant de la base et disparaissant vers le centre; tergites I et II sensiblement de même longueur; plaque chitinisée du II différenciée des bords membraneux seulement par la coloration.

Longueur : 2,3 mm.; ♀ inconnue.

DISTRIBUTION GÉOGRAPHIQUE : Rutshuru, riv. Rodahira (alt. 1.200 m., 1.VII. 1935), 1 exemplaire holotype ♂.

3. — **Paroligoneurus convexus** sp. n.

(Fig. 5 et 6.)

Semblable aux caractères décrits de *P. wittei* et *P. kivuensis*, à l'exception des suivants :

♂ : coloration semblable à celle de *P. kivuensis*; 1<sup>er</sup> et 2<sup>e</sup> articles du flagellum subégaux; joues très convexes et environ égales aux 3/4 de la plus grande largeur des yeux (fig. 5 A); propodeum très convexe discalement, plus ou moins mat, portant dans la moitié apicale plusieurs carènes courtes et faibles, les plus rapprochées de la ligne médiane entourent une aire mal définie; propodeum ailleurs plus ou moins rugueux; longueur du métacarpe=stigma; plaque chitinisée du 1<sup>er</sup> tergite mate, à bords latéraux subparallèles, incurvés juste avant l'apex; tergites I et II de même longueur médiane.

Longueur : 2,3 mm.; ♀ inconnue.

DISTRIBUTION GÉOGRAPHIQUE : Rutshuru (alt. 1.285 m., 12.VII.1935), 1 exemplaire holotype ♂.

4. — **Paroligoneurus aethiopicus** sp. n.

Semblable à la description de *P. wittei*, à l'exception des caractères suivants :

♀ : brun rougeâtre à noir; mandibules, pédicelles, joues faiblement, rouge testacé; pattes y compris les hanches, jaune testacé, à l'exception des tarsi II qui sont rouge testacé, des 2/3 apicaux des tibias et des tarsi III qui sont brun noirâtre; stigma brun opaque; ailes I présentant une faible enfumure le long de l'emplacement de la récurrente et une tache en un point situé à l'extrémité de la 2<sup>e</sup> abscisse de la nervure médiane et de la base de la parallèle.

♀ : flagellum de 18 articles, 1<sup>er</sup> article environ moitié plus long que le 2<sup>e</sup>; propodeum moins convexe que dans l'espèce précédente, finement rugoso-ponctué, notamment sur le disque; longueur du métacarpe=aux 5/6 de celle du stigma; longueur médiane de la plaque chitinisée du tergite I, 3 fois sa largeur basale et 2,5 fois sa largeur apicale, sa plus grande largeur située au tiers basal à hauteur des stigmates et égale à la moitié de la longueur du tergite; carènes latérales à peu près droites; plaque chitinisée du tergite I un peu convexe, celle du tergite II presque rectangulaire, un peu évasée vers l'apex, sa longueur un peu moindre que le double de la largeur apicale du 1<sup>er</sup> et égale à celle du tergite III; valves de la tarière plus longues et plus larges que chez *P. wittei*, environ 1,5 fois plus longues que les métatarses, à pilosité longue.

Longueur : 2,25 mm.; ♂ inconnu.

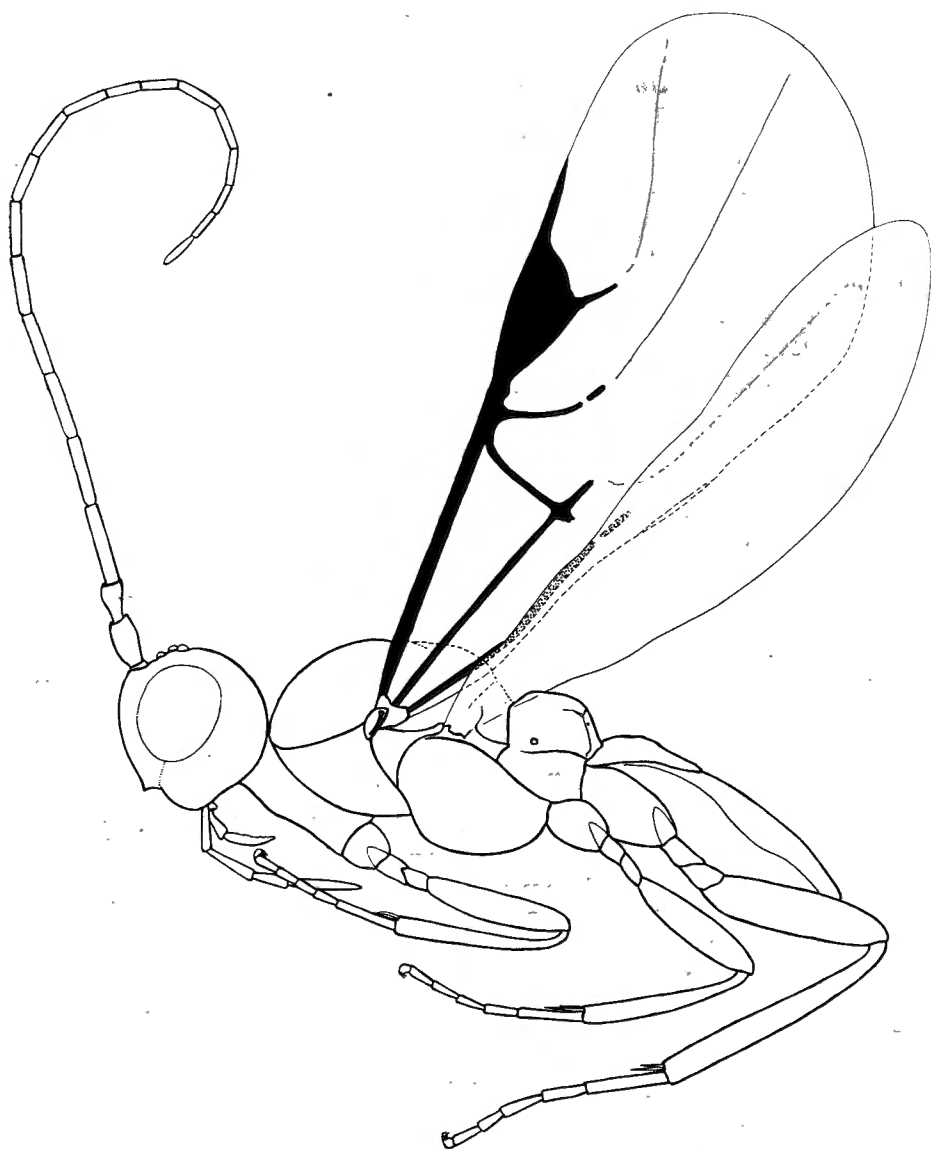


FIG. 6. — *Paroligoneurus convexus* sp. n. ♂.

DISTRIBUTION GÉOGRAPHIQUE : Rutshuru (alt. 1.285 m., 3.VII.1935), 2 exemplaires ♀♀ dont 1 holotype.

Il est curieux de retrouver ce genre monotypique américain en Afrique où, d'après le nombre de spécimens recueillis, il ne doit pas être des plus rares, tout au moins au Kivu. Il est à remarquer que le génotype possède

18 articles aux antennes, tandis que la majorité des spécimens recueillis au Parc National Albert en possèdent 19 (*P. wittei*) et les autres 20.

Ces espèces africaines diffèrent peu des caractères décrits du génotype. Les plus évidents sont la brièveté de la 2<sup>e</sup> abcisse de la cubitale et la longueur des valves de la tarière.

La biologie de ces insectes est inconnue.

#### Genre **ADELIUS** HALIDAY.

*Adelius* HALIDAY, Entom. Mag., vol. I, 1833, p. 262.

*Acaelius* HALIDAY, Entom. Mag., vol. II, 1834, p. 231 (emend.).

*Pleiomerus* (WESMAEL) RATZEBURG, Ichn. v. Forstins., vol. 3, 1852, p. 65.

*Acoelius* FOERSTER, Verh. naturh. Ver. press. Rheinl., vol. XIX, 1862, p. 244; MARSHALL, Trans. Ent. Soc. London, 1885, p. 153 (emend.).

*Anomopterus* ROHWER, Psyché, vol. XXI, 1914, p. 80.

*Acoelius* MARSHALL, Spec. Hymén. Europe Alg., vol. IV, 1889, p. 393.

*Acoelius* SZÉPLIGETI, Genera Insectorum, fasc. 22, 1904, p. 103.

*Adelius* MUESEBECK, Proc. U. S. Nat. Mus., vol. LXI, 1922, art. 15, p. 12.

*Acoelius* FAHRINGER, Opusc. Bracon., Pal. reg., Bd III, 1937, p. 16.

Tête presque subcarrée; vertex long et plat; yeux à pilosité courte; antennes de 20 articles; occiput bordé; notaulices absents; stigma en ovale allongé; nervure radiale très incomplète, émise au delà du milieu du stigma d'un point éloigné de l'origine de la 1<sup>re</sup> nervure transverso-cubitale; 2<sup>e</sup> abcisse de la cubitale non interstitielle avec la 1<sup>re</sup>, la base de la 2<sup>e</sup> cellule cubitale étant, par suite, plus ou moins contiguë à la cellule discoidale; hanches postérieures petites; tibias de la même paire arrondis à l'apex, leurs éperons courts; abdomen sessile, déprimé; 1<sup>er</sup> tergite abdominal aussi ou plus long que les suivants réunis; tarière à peine saillante.

Génotype : *Adelius subfasciatus* HALIDAY.

#### 5. — **Adelius stenoculus** sp. n.

(Fig. 7-8.)

♂ : noir; palpes, pattes (excepté les hanches) y compris les éperons des tibias I et III, brun foncé; costale, bord antérieur du stigma et parastigma, brun noirâtre; nervures dans la partie médiane de l'aile, brunes comme le stigma, ailleurs incolores; palpes, brun rougeâtre; éperons des tibias II, pâles.

♂. *Tête* : subtransverse, 1,75 fois plus longue que large; face brillante, petitement et superficiellement ponctuée, transversalement et faiblement striée sous les torules, portant une petite proéminence médiane, allongée, au-dessus du clypéus; clypéus convexe, ponctué, fortement séparé de la face, à bord antérieur relevé; ostioles faciales grandes et profondes; yeux

étroits, subelliptiques, deux fois plus longs que larges, la largeur égale à celle des tempes (fig. 7), bord externe droit, même faiblement échancré; vertex, occiput, tempes et joues, rugoso-punctués; le vertex porte une aire lisse entre l'ocelle antérieur et les antennes, entre ces dernières se trouve une petite carène mal définie; espace oculo-ocellaire 1,5 fois la distance séparant les ocelles postérieurs; antennes un peu plus longues que le corps; scapes allongés; pédicelles aussi longs que larges; 1<sup>er</sup> article du flagellum quatre fois plus long que large et 1/4 plus long que le 2<sup>e</sup>, ces deux articles plus grêles que les suivants.

*Thorax* : mésonotum convexe, rugoso-punctué, plus ou moins rugoso-aciculé à la base; sillon préscutellaire droit, fovéolé; disque du scutellum en

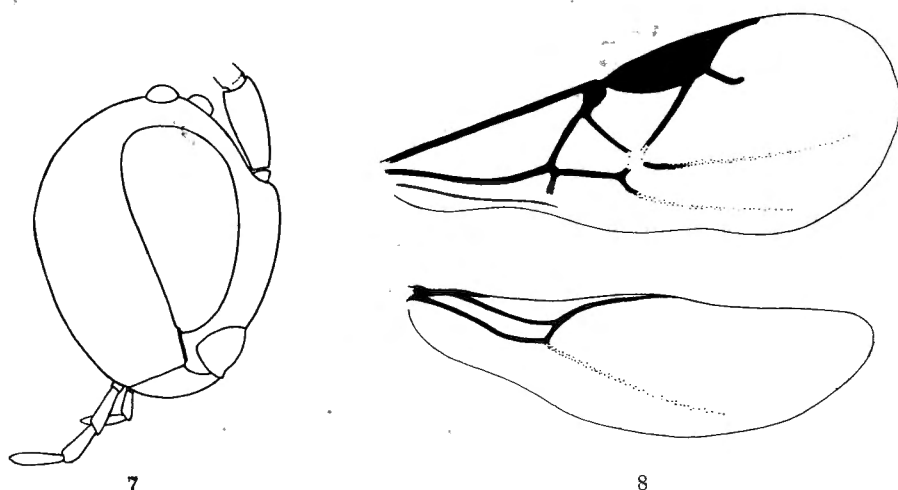


FIG. 7-8. — *Adelius stenoculus* sp. n. ♂.  
FIG. 7. — Tête vue de profil. FIG. 8. — Ailes.

triangle équilatéral, assez mat, peu densément et superficiellement punctué; axillae petitement réticulée antérieurement, partie postérieure étroite, lisse et brillante; propodeum brillant, portant des carènes formant plutôt une réticulation qu'une aréolation régulière, le tégument entre les carènes faiblement rugueux, presque lisse; mésopleures convexes, assez mats, portant de petits pointillés superficiels, presque lisses; sillon mésopleural large et crénelé, un sillon droit et fovéolé sépare l'angle huméral du restant du mésopleure.

*Ailes* (fig. 8) : les ailes I sont marquées d'une bande brunâtre transversale très faible, allant du parastigma à l'insertion de la transverso-cubitale, jusqu'au bord postérieur; cette bande est elle-même divisée par une étroite raie claire partant de la base du stigma et coupant le point de rencontre de la cubitale, de la 1<sup>re</sup> transverso-cubitale et de la récurrente.

*Pattes III* : hanches lisses, polies, brillantes, fortement sétuleuses à la face inférieure; tibias grêles à la base, 6 fois plus longs que leur plus grande largeur; le plus long éperon des tibias égal à la moitié de la longueur des métatarses.

*Abdomen* : sutures indistinctes; tergite I (I, II, III connés) large, occupant un peu plus de la moitié de la longueur de l'abdomen et portant quelques petits pointillés sétigères; à la base, ce tergite est divisé par un large sillon médian lisse.

Longueur : 1,75 mm.; ♀ inconnue.

DISTRIBUTION GÉOGRAPHIQUE : Ilega, volcan Karisimbi, Ruanda (alt. 2.400 m., 12.III.1935), 1 holotype ♂; lac Gando, volcan Karisimbi, Ruanda (alt. 2.400 m., 8.III.1935), 1 paratype ♂; 2 exemplaires.

*Ad. stenoculus* se différencie des espèces connues par la rugosité de la tête et du mésonotum, il se rapproche assez bien des caractères de *Ad. hyalinipennis* FOERST., mais en est séparé notamment par la sculpture du propodeum et la coloration des palpes.

[Genre **PARADELIUS** DE SAEGER.]

*Paradelius* DE SAEGER, Rev. Zool. Bot. Afr. XXXVI, 1942, p. 313.

Tête presque subcarrée; vertex long et plat; occiput rebordé; yeux poilus plus fortement que *Adelius*, mais moins fortement que *Microgaster*; antennes de 20 articles; notaulices absents; mésopleures portant un sillon; stigma en ovale large, nervure radiale réduite à une abcisse, émise au quart apical du stigma, loin de l'origine de la 1<sup>re</sup> transverso-cubitale; 1<sup>re</sup> abcisse de la nervure cubitale et nervure basale partant du parastigma mais séparées l'une de l'autre; la première de ces nervures subinterstitielle avec la récurrente; 1<sup>re</sup> cellule brachiale ouverte en dessous; hanches postérieures grandes; éperons des tibias postérieurs petits; abdomen sessile, large et déprimé à la base; deux premiers tergites larges, chitinisés, à sutures fortement fovéolées; 3<sup>e</sup> tergite court.

Génotype : *Paradelius ghesquièrei* DE SAEGER.

[I. — **Paradelius ghesquièrei** DE SAEGER.]

*Paradelius ghesquièrei* DE SAEGER, Rev. Zool. Bot. Afr., XXXVI, 1942, p. 314.  
CONGO BELGE : Rutshuru (Kivu).

*Hôte* : probablement *Enarmonia* sp. (Eucosmidae), dont les chenilles sont foreuses des fruits de la Cucurbitacée *Melothria punctata*. Ces chenilles se trouvent parfois en compagnie de larves du Trypetide *Dacus mormodice* BEZZI, d'après Ghesquière.



des tergites abdominaux I et II et sternites basilaires, rouge testacé; antennes et valves de la tarière (excepté celles-ci à la base qui est testacée), brunes; tarses brun rougeâtre, excepté l'apex de l'article apical et l'onychium; palpes et éperons des tibias, pâles; ailes hyalines à soies pâles; costale brunâtre, sauf à la base; base de la costale, stigma et nervures, jaune testacé pâle; yeux parfois verdâtres.

La coloration est variable, notamment pour la tête et les tergites I et II de l'abdomen, la première est parfois entièrement jaune-rouge testacé, parfois presque entièrement sombre, surtout la face, les seconds ont leur plaque médiane rouge testacé ou brun rougeâtre foncé.

♂ ♀. *Tête* : face, vertex et occiput très finement ponctués, brillants; tempes lisses; face avec une faible proéminence médiane se terminant près

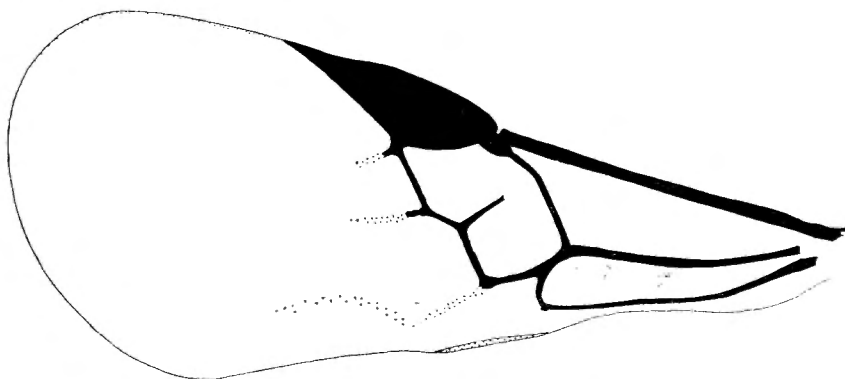


FIG. 9. — Aile de *Mirax mubilibana* sp. n. ♀.

des antennes par un petit tubercule brillant; yeux un tiers plus longs que larges; vertex étroit, convexe, orné d'une fossette assez superficielle devant l'ocelle antérieur; longueur du triangle ocellaire environ égale à la distance qui le sépare de chaque œil; antennes environ de la longueur du corps, premier article du flagellum un peu plus long et plus grêle que les suivants.

*Thorax* : mésonotum régulièrement et petitement ponctué, plus densément que la face, plus éparsément sur les côtés et sur le disque du scutellum; ligne des notaulices présente antérieurement; sillon préscutellaire faiblement arqué, étroit et fovéolé; l'apex du disque du scutellum porte deux très petites fossettes arrondies; propodeum vaguement ruguleux, orné de carènes disposées comme chez *M. leucopterae* WILKN., mais la carène médiane est plus large, plus ou moins divisée, l'aire apicale comprend environ le tiers de la longueur du propodeum et les aires basales portent quelques fines soies, sans ponctuation perceptible; pleures lisses, la protubérance humérale des mésopleures et une petite aire près du bord coxal des métapleures sont les seules parties portant une fine ponctuation dense.

*Ailes* (fig. 9) : à noter l'obliquité de la partie distale de la 1<sup>re</sup> abcisse de la cubitale et l'absence presque complète de la nervure radiale.

*Pattes* : éperons des tibias II et III distinctement plus courts que la moitié des métatarses.

*Abdomen* : plaque chitinisée du tergite I fortement rétrécie dans le tiers basal, s'élargissant régulièrement jusqu'au quart apical, pour se rétrécir à nouveau vers l'apex, 2,5 fois plus longue que sa plus grande largeur, striolée ou ruguleuse; tergite II lisse et brillant portant au milieu de la base un petit tubercule lisse et brillant, la plaque discale finement et longitudinalement aciculée, souvent faiblement différenciée des bords latéraux membraneux qui portent une aciculation divergente; tergites II et III de même longueur médiane; ce dernier portant également une aciculation longitudinale un peu plus forte que celle du II et une rangée de fines soies au quart apical; hypopygium aigu; valves de la tarière un peu plus courtes que les métatarses III.

Longueur : 2 à 3 mm.

**DISTRIBUTION GÉOGRAPHIQUE** : Mubiliba, volcan Nyamuragira (alt. 2.000 m., 14-26.VI.1935), holotype ♀; Tshamugussa (Bweza), forêt de Bambous (alt. 2.250 m., 10.VIII.1934), allotype ♂; Nyabirehe, versant Sud du volcan Karisimbi, Ruanda, limite de la forêt de Bambous (alt. 2.000 m., 22.II.1935); Kundhuru ya Tshuve, col Gahinga-Sabinyo, Ruanda, forêt de Bambous (alt. 2.600 m., 15.IX.1934); mont Sesero, près de Bitashimwa, forêt de Bambous (alt. 2.000 m., 1-2.VII.1934); riv. Rodahira, Rutshuru (alt. 1.200 m., 1.VII.1935); lac Gando, volcan Karisimbi, Ruanda (alt. 2.400 m., 6.III.1935); Nyasheke, volcan Nyamuragira, îlot de forêt de montagne au pied du volcan (alt. 1.820 m., 14-26.VI.1935); Rweru, volcan Mikeno, forêt de Bambous (alt. 2.400 m., 26-27.VII.1934); Ilega, versant Sud du volcan Karisimbi, Ruanda, clairières avec mares dans une forêt de Bambous (alt. 2.400 m., 12.III.1935); forêt près du mont Kamatembe (alt. 2.200 m., 12.IV.1934); mont Tamira, près du lac Gando, Ruanda (alt. 2.600 m., 11.III.1935); riv. Bishakishaki (alt. 2.100 m., 11-22.IV.1934); 37 exemplaires : 7 ♂♂, 30 ♀♀.

Cette espèce est étroitement affine de *M. leucopterae* WILKN.; elle s'en différencie par les caractères repris dans la clef. Il y a lieu de noter que la coloration de cette espèce paraît assez variable. Certains spécimens ont la tête entièrement jaune testacé, d'autres seulement la face, d'autres encore à peine une bande orbitale de cette teinte. Je ne crois, cependant, pas utile de les séparer, les caractères taxonomiques sont identiques. La taille présente également des écarts relativement grands.

C'est la troisième espèce éthiopienne décrite pour ce genre. L'hôte parasite est seulement connu pour *M. leucopterae*, qui s'attaque aux larves de la mineuse des feuilles de Caféiers *Leucoptera coffeina* WSHBN. (= *Leuc. coffeella* auct. p.p. nec GUÉRIN; = *Leuc. daricella* RITCHIE nec MEYER.). Ces Lyonetiades furent récoltées avec leur parasite sur *Pavetta ternifolia* et un

*Leucoptera* sp. sur *Cremaspora africana* (WILKINSON 1936). Une espèce néotropicale, *Mirax insularis* MUES., a été obtenue de *Leucoptera coffeella* GUÉR. (MUESEBECK 1937), mineuse ayant une grande affinité avec *Leuc. coffeina*, avec laquelle elle a été longtemps confondue. D'autres espèces de *Mirax* sont inféodées à des Lithocolletides et des Lyonetiades endophylles; il est donc probable que les deux autres espèces éthiopiennes sont également parasites de mineuses de feuilles.

[II. — **Mirax leucopterae** WILKINSON.]

*Mirax leucopterae* WILKINSON, Bull. Ent. Res., XXVII, 1936, p. 385, ♂ ♀.

DISTRIBUTION GÉOGRAPHIQUE : Tanganyika Territory, Congo Belge : Bambesa (Uele), 1938 (J. VRYDAGH, n° V. A. 37).

Hôte : Obtenu au Tanganyika Territory de *Leucoptera coffeina* WSHBN. (= *Leuc. coffeella* auct p.p. nec GUÉRIN = *Leuc. daricella* RITCHIE nec MEYR.), récoltés sur *Pavetta ternifolia* et *Cremaspora africana*.

[**Mirax africana** BRUES.]

*Mirax africana* BRUES, Proc. Amer. Acad. Art. Sci., LXI, 1926, p. 292.

DISTRIBUTION GÉOGRAPHIQUE : Natal.

Hôte et cocons : inconnus.

Genre **MICROPLITIS** FOERSTER.

*Microplitis* FOERSTER, Verh. Naturh. Ver. preuss. Rheinl., vol. XIX, 1862, p. 245.

*Microplitis* MARSHALL, Spec. Hymen. Europe Alg., vol. IV, 1890, p. 494.

*Microplitis* THOMSON, Opusc. Entom., XX, 1895, p. 2246.

*Microplitis* SZÉPLIGETI, Genera Insectorum, fasc. 22, 1904, p. 114.

*Microplitis* SCHMIEDEKNECHT, Hymen. Mitteleuropas, 1907, p. 520; 1930, p. 339.

*Microplitis* MUESEBECK, Proc. U. S. Nat. Mus., vol. LXI, 1922, art. 15, p. 43.

*Microplitis* FAHRINGER, Opusc. Bracon., Pal. reg., Bd III, 1937, p. 259.

Les caractères des *Microplitis* sont ceux du genre *Microgaster*; ils se différencient de ceux-ci par la présence d'un sillon bien marqué à la base des mésopleures (sternaulices), par les hanches postérieures petites et surtout par les éperons des tibias postérieurs toujours très courts, rarement aussi longs que la moitié des métatarses. Les valves de la tarière sont toujours très courtes, souvent cachées, ce qui rend la différenciation des sexes souvent difficile.

Génotype : *Microgaster sordipes* NEES.

Certaines espèces nécessitent un examen très minutieux pour être attribuées à ce genre et parmi elles, nombreuses sont celles qui ne peuvent être séparées sans l'aide de renseignements biologiques. Leurs cocons sont généralement quelque peu différents de ceux d'*Apanteles* et de *Microgaster*. Ils sont ordinairement parcheminés, sans soies lâches, souvent cannelés ou ridés longitudinalement, jamais complètement blanchâtres, bruns, chamois, gris ou verdâtres.

Les *Microplitis* sont des parasites solitaires ou sociaux de larves de Lépidoptères et également de larves de Tenthredinides, qu'ils parasitent en endophages. Parmi les Lépidoptères, les *Microplitis* semblent plus particulièrement inféodés aux chenilles de Noctuides.

Le genre *Microplitis* est, sans aucun doute, cosmopolite. Il n'avait pas encore été signalé pour la faune éthiopienne et jusque maintenant une seule espèce du continent africain (*M. tunetensis* MARSH.) avait été décrite. Toutefois, BISHARA (1932) renseigne un *Microplitis* sp. en Égypte, abondant dans certaines localités où il parasite la « Greasy Cutworm » *Agrotis ypsilon* ROTT.

Il y a lieu de remarquer que la Noctuelle ubiquiste *Chloridea armigera* HBN., si largement répandue en Afrique, est parasitée en Australie par *Microplitis demolitor* WILKN., et aux États-Unis par *M. croceipes* (GRESS.); l'existence de *Microplitis* au nombre des parasites africains de cet Héliothide éminemment polyphage est donc très possible.

#### CLEF DES ESPÈCES ÉTHIOPIENNES.

1. Longueur médiane du 1<sup>er</sup> tergite abdominal toujours plus de 1,5 fois sa largeur apicale; 2<sup>e</sup> tergite égal ou plus long que la largeur apicale du 1<sup>er</sup>, orné d'une aire médiane; apex du disque du scutellum non excavé; palpes jaune testacé ..... 3
- Longueur médiane du 1<sup>er</sup> tergite abdominal toujours moins de 1,5 fois sa largeur apicale; 2<sup>e</sup> tergite plus court que la largeur apicale du 1<sup>er</sup>, sans aire médiane; apex du disque du scutellum excavé en auget; palpes partiellement ou entièrement sombres ..... 2
2. Ailes antérieures enfumées irrégulièrement; 1<sup>re</sup> abcisse de la radiale égale à la largeur du stigma; propodeum aréolé; 2<sup>e</sup> tergite entièrement lisse; espèce de forte taille, 4,00 mm. 7. *M. congensis* sp. n., ♂ (p. 39).
- Ailes antérieures hyalines; 1<sup>re</sup> abcisse de la radiale plus courte que la largeur du stigma; propodeum pas aréolé mais pourvu d'une carène longitudinale médiane; 2<sup>e</sup> tergite rugueux; espèce de petite taille : 2,2 mm. .... 8. *M. isis* sp. n., ♂ (p. 42).
3. Premier tergite abdominal à bords latéraux plus ou moins parallèles, pas distinctement plus large ou plus étroit à l'apex qu'à la base et

- ordinairement plus long que 2 fois sa largeur apicale; 2<sup>e</sup> tergite lisse et brillant, ne portant que deux sillons discaux convergents vers l'apex et quelques petits pointillés apicaux .....
9. *M. bambusana* sp. n., ♂ ♀ (p. 43).
- Premier tergite abdominal distinctement plus étroit ou plus large à l'apex qu'à la base, sa longueur médiane n'atteignant pas deux fois sa plus grande largeur; 2<sup>e</sup> tergite plus ou moins mat et sculpté, tout au moins latéralement à une aire médiane en relief .....
- 4
4. Tegulae rouge testacé; 1<sup>er</sup> tergite abdominal plus large au sommet qu'à la base; tubercule apical de ce tergite dépassant l'apex; fémurs postérieurs rouge testacé avec une bande foncée sur la partie supérieure 5
- Tegulae rouge noirâtre; 1<sup>er</sup> tergite abdominal rétréci à l'apex; tubercule apical de ce tergite ne dépassant pas son apex; fémurs postérieurs entièrement brun foncé ou noirs, excepté l'extrême base .....
10. *M. niger* sp. n., ♂ ♀ (p. 46).
5. Deuxième tergite abdominal, excepté discalement, et 3<sup>e</sup> tergite sauf parfois le disque et le bord apical, orange testacé; stigma des ♀ ♀ avec une éclaircie basale .....
11. *M. aethiopica* sp. n., ♂ ♀ (p. 48).
- Deuxième et troisième tergites abdominaux entièrement noirs; stigma des ♀ ♀ sans éclaircie basale .....
- a) *M. aethiopica nigra* ab. n., ♂ ♀ (p. 50).

7. — **Microplitis congensis** sp. n.

(Fig. 10-11.)

♂ : noir; tiers basal et tiers apical des antennes brun roussâtre, tiers médian roux pâle; trois articles apicaux des palpes maxillaires et article apical des palpes labiaux, rouge testacé, les autres articles brunâtres; pattes I et II y compris les hanches, rouge testacé orangé (hanches et fémurs plus foncés); tibias et tarsi III, brunâtres, ces derniers tendant au rougeâtre distalement; trochanters, trochantelles III et bords latéraux membraneux des tergites I et II, rougeâtres; ailes hyalines, les antérieures enfumées irrégulièrement dans la moitié distale, avec une tache très foncée englobant la 1<sup>re</sup> abscisse de la radiale et la moitié antérieure de la 2<sup>e</sup> cellule cubitale; stigma brun opaque; nervures brun plus ou moins foncé.

♂. *Tête* : face large, mate et rugueuse, à stries transversales, proéminente médialement; clypéus à peine différencié de la face, échancré antérieurement; ostioles faciales grandes, circulaires, placées plus près des yeux que de l'apex du clypéus; espace oculo-malaire égal à la moitié de la largeur de l'œil; vertex, occiput et tempes, mats et rugueux; espace oculo-oculaire plus court que la distance séparant les ocelles postérieurs (8 : 11); palpes maxillaires légèrement plus longs que les fémurs I; antennes fortes, épaisses, plus courtes que le corps; articles du flagellum fortement juxtaposés, le 1<sup>er</sup> environ 2,7 fois plus long que large (18 : 6,5), les apicaux 2 fois.

*Thorax* : mésonotum assez mat, rugueux, à ponctuation plus profonde et distincte le long des lignes des notaulices, excavation en auget posttégulaire, aires transcutales transformées en une petite aire rugueuse entre le sillon préscutellaire et l'auget posttégulaire, largement excavé en dessous; sillon préscutellaire droit, large et profond, divisé irrégulièrement par quelques carènes fortes; disque du scutellum triangulaire, mat, grossièrement rugueux, excavé en auget à l'apex qui est bordé, proéminent médialement

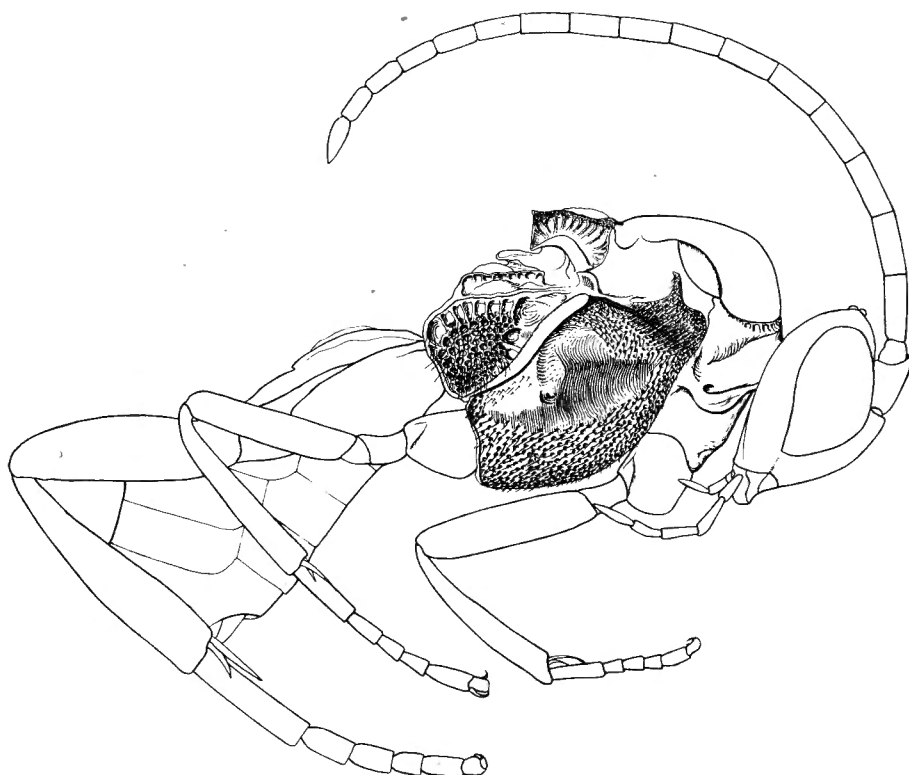


FIG. 10. — *Microplitis congensis* sp. n. ♂.

et légèrement déprimé près des bords, partie apicale du disque épaisse, verticale, beaucoup plus élevée que le métanotum (fig. 10); ce dernier portant au milieu une aire rugueuse, prolongée en apophyse et excavée à la base; mésopleures largement déprimés longitudinalement (cette dépression est fortement striolée transversalement), petitement rugueux et à pilosité dense dans l'angle huméral, lisses près de la suture méso-métapleurale et portant une excavation arrondie reliée à cette suture par un sillon large et lisse; excavation métapleurale grande, placée près de la suture antérieure; métapleurales grossièrement rugueux, à forte pilosité; propodeum portant une aréole en forme de U à l'apex, les costules, beaucoup plus fortes que les carènes de

l'aréole, ferment celle-ci environ au tiers basal du propodeum en se réunissant au centre pour former un court tronçon de carène médiane jusqu'à la base du propodeum, tégument brillant, lisse principalement dans les aires latéro-postérieures et portant quelques carènes secondaires près des autres.

*Ailes* (fig. 11) : 1<sup>re</sup> abcisse de la radiale forte, à peu près perpendiculaire au bord antérieur du stigma, égale à la largeur de celui-ci; 2<sup>e</sup> abcisse de la radiale à peine plus longue que la 2<sup>e</sup> transverso-cubitale; partie pigmentée

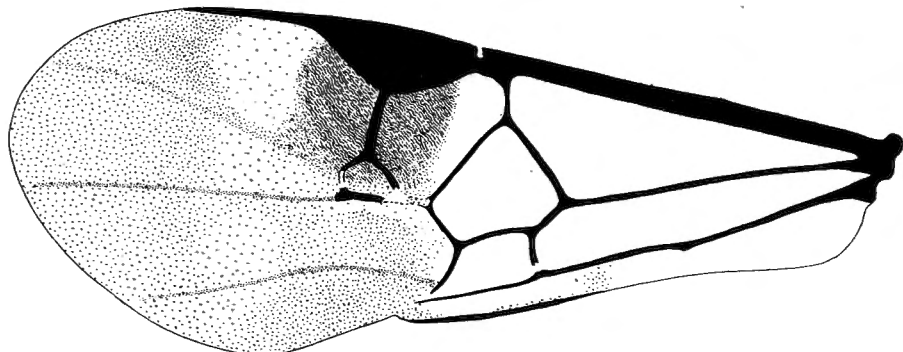


FIG. 11. — Aile antérieure de *Microplitis congenis* sp. n. ♂.

de la 1<sup>re</sup> transverso-cubitale égale au sommet de la basale, environ 2 fois plus longue que la partie apicale de la 1<sup>re</sup> abcisse de la cubitale et plus courte que la récurrente; stigma plus long que le métacarpe.

*Pattes III* : hanches rugueuses, n'atteignant pas l'apex du tergite II; fémurs petitement rugoso-punctués; articles des tarses épais et courts, onychiums petits. Proportions : hanches, 25/40; fémurs, 17/58; tibias, 14/65; tarses : I, 32; II, 13; III, 10; IV, 6; V, 10; le plus long éperon des tibias la moitié et le plus court le tiers de la longueur des métatarses; éperon interne des tibias II égal à la moitié de la longueur des métatarses correspondants.

*Abdomen* : longueur médiane du tergite I, 2 fois sa largeur basale et 1,4 fois sa largeur apicale (32 : 16 : 22), ses bords latéraux presque droits, divergents de la base à l'apex, celui-ci un peu échancré et à angles non arrondis, ce tergite est faiblement courbé au tiers apical, légèrement excavé à la base, à tégument lisse et brillant, irrégulièrement strié latéralement; longueur médiane du tergite II, 1,37 fois la largeur apicale du I et 1,25 fois plus court que le III (16 : 22 : 20), lisse et brillant, rectangulaire, plat, avec une petite protubérance médiane à l'extrême base, présentant de faibles stries à peine apparentes sur le disque et dépourvu totalement de ponctuation comme le tergite III, celui-ci lisse et brillant comme les suivants; 2<sup>e</sup> suture obsolète, à peine décelable par une légère dépression médiane.

Longueur : 4 mm.; ♀ inconnue.

DISTRIBUTION GÉOGRAPHIQUE : Rwindi (alt. 1.000 m., 20-24.XI.1934); 1 exemplaire holotype ♂.

C'est avec une certaine hésitation que je place cette espèce dans le genre *Microplitis*. En effet, si elle présente le clypéus peu différencié de la face, l'éperon interne des tibias II plus court que les métatarses correspondants et le métacarpe plus court que le stigma, caractères propres à ce genre, elle ne possède pas l'habituel sillon crénelé des mésopleures et les hanches ne sont pas spécialement petites. Elle ne présente pas la carène longitudinale médiane habituellement présente au propodeum, mais celui-ci est aréolé comme dans le groupe S des *Apanteles*; en outre, elle présente une forme et une disposition très particulières du disque du scutellum. Néanmoins, comme cette espèce présente plus de caractères propres aux *Microplitis* qu'aux *Microgaster*, je crois ne pouvoir mieux faire que de la placer dans le premier de ces genres.

C'est une espèce robuste, caractérisée par des antennes épaisses et une forte sculpture thoracique.

#### 8. — *Microplitis isis* sp. n.

(Fig. 16.)

♂ : noir; palpes noir brunâtre; scapes partiellement, apex des fémurs, tibias et tarses des pattes I (excepté l'article terminal des tarses), extrême apex des fémurs, base et apex des tibias et tarses des pattes II (excepté l'article terminal des tarses), confusément extrême base des tibias et extrême base des métatarses des pattes III, rouge testacé; pattes ailleurs, brunâtres à noires, excepté l'apex des tibias, éperons et tarses des pattes III qui sont rougeâtre sombre; flagellum brun en dessus et à l'apex, roussâtre en dessous avec la séparation des articles et leur étranglement médian sombres; nervures brunâtres plus ou moins foncées; stigma brun opaque; ailes hyalines.

♂. *Tête* : face mate et petitement rugueuse, striée transversalement à la partie supérieure, proéminente médialement; ostioles faciales un peu plus près des yeux que de l'apex du clypéus; vertex transversalement strié; occiput et tempes, mats et rugueux; espace oculo-ocellaire à peine plus grand que la distance qui sépare les ocelles postérieurs; 1<sup>er</sup> article du flagellum 2,5 fois plus long que large (10 : 4).

*Thorax* : mésonotum assez mat, rugueux; sillon préscutellaire droit, large et régulièrement crénelé; disque du scutellum plus grossièrement rugueux que le mésonotum, assez convexe, à apex prolongé et largement excavé en auget (l'apex du disque, vu de profil, surplombe fortement le mésonotum); mésopleures rugueux antérieurement, lisses ailleurs, marqués d'une fossette médiane, sternaules absent, remplacé par une large dépression un peu striée antérieurement; métapleures grossièrement rugueux, excavation métapleurale contiguë au bord antérieur; propodeum brillant, divisé par une carène longitudinale médiane et une carène transversale au tiers basal, ailleurs rugueux et portant quelques carènes secondaires.

*Ailes* (fig. 16) : 1<sup>re</sup> abcisse de la radiale de moitié plus courte que la largeur du stigma et de même longueur que la 1<sup>re</sup> transverso-cubitale, toutes

deux égales aux  $\frac{2}{3}$  de la longueur de la récurrente; 2° transverso-cubitale égale au sommet de la basale et plus longue que la 2° abscisse de la radiale; longueur du stigma égale à celle du métacarpe.

*Pattes III* : hanches finement rugueuses. Proportions : hanches, 13/20; fémurs, 10/32; tibias, 7/41; tarsi : I, 16; II, 7; III, 6; IV, 5; V, 5; le plus long éperon des tibias la moitié et le plus court le tiers de la longueur des métatarses; éperon interne des tibias II, égal aux  $\frac{3}{5}$  de la longueur des métatarses correspondants.

*Abdomen* : tergite I courbé à la moitié, un peu plus long que sa largeur apicale, celle-ci à peine plus courte que la largeur basale (18 : 16 : 14), téguement rugoso-réticulé, légèrement excavé et lisse au milieu dans la moitié basale; tergite II rectangulaire, à angles latéro-antérieures arrondis et orné d'un tubercule médian à la base qui épouse l'échancrure du bord apical du tergite I, sa longueur médiane 1,77 fois plus courte que la largeur apicale du I et 2,2 fois sa propre largeur apicale (9 : 16 : 20), entièrement rugueux avec tendance à stries longitudinales; 2° suture droite et bien marquée; tergite III, brillant, portant une petite aciculation transversale faible et irrégulière, sa longueur médiane à peine plus courte que celle du II (8 : 9).

Longueur : 2,2 mm.; ♀, inconnue.

DISTRIBUTION GÉOGRAPHIQUE : Rutshuru (alt. 1.285 m., 1-6.VI.1935); 1 exemplaire holotype ♂.

#### 9. — *Microplitis bambusana* sp. n.

(Fig. 12-13.)

♀ : noire; palpes, tegulae, pattes I, sauf les tarsi, pattes II excepté tibias et tarsi, apex des hanches, trochanters, trochantelles, fémurs sauf la face supérieure et éperons des tibias des pattes III, jaune testacé; tarsi I et bords membraneux des tergites ainsi que les sternites des segments I et II et parfois aussi les bords du tergite III, tibias II, sauf la face supérieure vers l'apex, jaune-rouge testacé; tibias III, sauf la face supérieure et la base des métatarses, rouge testacé; nervation alaire, tibias II ailleurs et tarsi bruns; métacarpe, tibias III ailleurs et tarsi, brun foncé; ailes hyalines, stigma jaune diaphane, brun près du bord postérieur.

♂ : de coloration semblable à celle de la ♀, excepté : tibias III presque entièrement sombres et stigma brun, subopacé.

♂ ♀. *Tête* : face finement rugueuse et terne, plutôt étroitement ponctuée que rugueuse chez le ♂; clypéus moins rugueux et plus brillant; front lisse et brillant; vertex avec une ponctuation microscopique; occiput étroitement ponctué, pilifère, sauf une bande médiane lisse et brillante; espace oculo-oculaire égal à deux fois la distance séparant les ocelles postérieurs; antennes plus longues que le corps, un peu plus longues et plus épaisses chez le ♂; 1<sup>er</sup> article du flagellum quatre fois plus long que large chez la ♀, 3,5 fois

chez le ♂, l'article apical plus long et plus grêle chez ce dernier dont la striation longitudinale des articles et leur étranglement médian sont plus accusés.

*Thorax* : mésonotum mat, finement ponctué, plus densément antérieurement et le long des lignes des notaulices, cette ponctuation plus longuement sétigère postérieurement; sillon préscutellaire large, profond, légèrement arqué, fortement crénelé; disque du scutellum en triangle allongé, assez terne, petitement ponctué, plus densément sur les bords, à soies plus longues

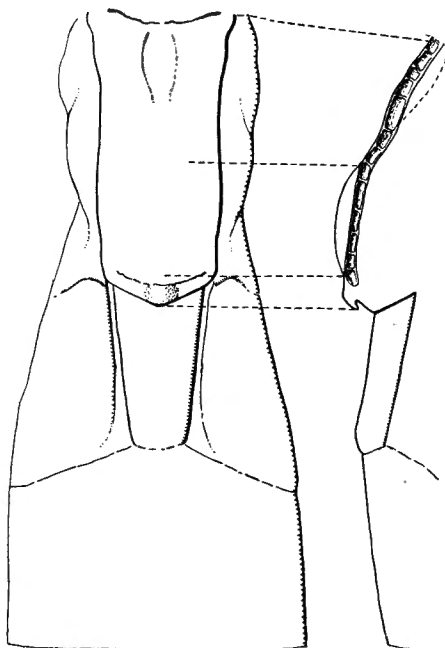


FIG. 12. — *Microplitis bambusana* sp. n.  
détail des trois premiers tergites abdominaux, face et profil.

et plus denses à l'apex; axillae brillantes, fortement carénées antérieurement; métanotum brillant, sauf une petite aire médiane précédée d'une fossette bordée de carènes; propodeum faiblement brillant, portant une carène longitudinale médiane, étroite et élevée, de laquelle partent de nombreuses carènes transversales secondaires, plus ou moins fortes, formant une réticulation sur les côtés; entre ces carènes, le propodeum est ponctué plus ou moins distinctement; mésopleures lisses et brillants jusqu'aux sternaules, ponctués et mats antérieurement; sternaules bien marqués et crénelés; mésosternum ponctué et mat.

*Ailes* : (v. fig. 13).

*Pattes III* : hanches plus longues que le 1<sup>er</sup> tergite, finement et densément ponctuées, 1,66 fois plus longues que leur plus grande largeur; fémurs peu épais, 4,5 fois plus longs que leur plus grande largeur; tibias près de 9 fois plus longs que larges; le plus long éperon des tibias le tiers de la longueur des métatarses.

*Abdomen* (fig. 12) : tergite I rugueux et mat, lisse et brillant à la base (qui est excavée au milieu) et à l'extrême apex où il porte un tubercule médian dont une partie dépasse légèrement l'extrémité du tergite et forme, vu de profil, une sorte de bec; ce tergite est épais, son niveau est beaucoup plus élevé que celui du II, ses bords sont parallèles, faiblement convergents à l'apex qui est arrondi et un peu évasé; sa longueur médiane un peu plus de deux fois sa largeur (24 : 11); tergite II lisse et brillant, ne portant que quelques petits pointillés latéralement près de l'apex et deux sillons discaux lisses, étalés vers l'apex, qui partent des angles apicaux du tergite I et limitent une aire longuement trapézoïdale (parfois presque rectangulaire), plus ou moins plate, environ 1,5 fois plus longue que large (12 : 8) à la base (la largeur apicale de cette aire est un peu variable); 2<sup>e</sup> suture assez faiblement marquée et latéralement oblique; tergite III, lisse et brillant comme les suivants, portant quelques petits pointillés latéraux dans la moitié apicale, sa longueur médiane 1,5 fois celle du 2<sup>e</sup> tergite (18 : 12); hypopygium aigu, valves de la tarière très courtes.

Longueur : 3,5 à 3,75 mm.

**DISTRIBUTION GÉOGRAPHIQUE** : Rweru, volcan Mikeno, forêt de Bambous (alt. 2.400 m., 26-27.VII.1934), holotype ♀, allotype ♂ et paratypes; volcan Mikeno : vers Rweru, forêt de Bambous (alt. 2.400 m., 3.VII.1934); Gitebe, volcan Nyamuragira (alt. 2.324 m., 14-16.VI.1935); Tshamugussa, Bweza, forêt de Bambous (alt. 2.250 m., 10.VIII.1934); lac Gando, volcan Karisimbi, Ruanda (alt. 2.400 m., 6.III.1935); Mubiliba, volcan Nyamuragira (alt., 2.000 m., 14-26.VI.1935); Nyakibumba, près de Kikere (alt. 2.250 m., 5.VII.1934); Tshumba, Mushari (alt. 2.100 m., 28.IV-1.V.1934); Ruhengeri, riv. Penge, Ruanda (alt. 1.800 m., 29.IX.1934); 35 exemplaires : 19 ♂♂, 16 ♀♀.

Dans la clef de WILKINSON (1930, pp. 23-27) des espèces indo-australiennes, ainsi que dans celle de FAHRINGER (1937, p. 263) des espèces paléarctiques, cette espèce se place en même temps que *M. mediana* RUTHE avec laquelle elle présente une grande affinité. Elle s'en sépare, toutefois, par la forme du 1<sup>er</sup> tergite abdominal qui n'est pas sensiblement rétréci à l'apex. Elle présente également quelques divergences dans la coloration : les antennes sont toujours noires entièrement, les hanches postérieures ne sont pas entièrement noires et surtout, le stigma est jaune diaphane chez la ♀ et sombre chez le ♂.

10. — *Microplitis niger* sp. n.

(Fig. 15-17.)

♂ ♀ : noirs; palpes, pattes I et II (excepté leurs tarsi et une tache sombre à l'apex des fémurs II), apex des hanches III, trochanters, trochantelles et extrême base des fémurs III, bords latéraux membraneux des tergites I et II

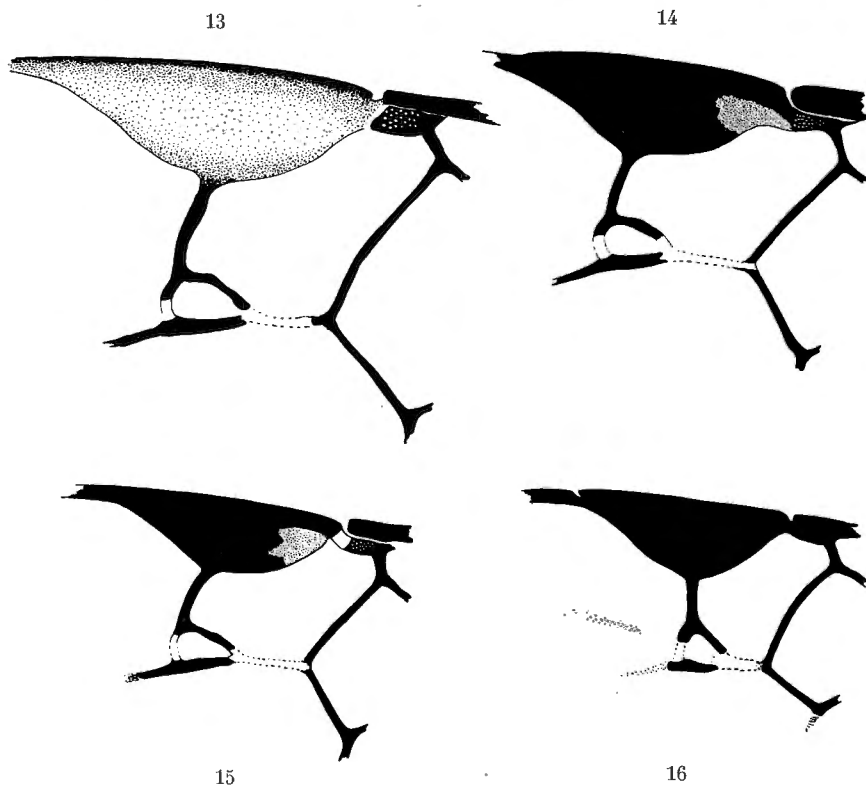


FIG. 13. — *Microplitis bambusana* sp. n.      FIG. 14. — *M. aethiopica* sp. n.  
FIG. 15. — *M. niger* sp. n.      FIG. 16. — *M. isis* sp. n.

Détails de la nervation des ailes antérieures.

et parfois les bords latéraux du III, sternites basilaires, jaune à jaune-rouge testacé; tegulae rouge noirâtre; base des tibias III et extrême base des métatarses III, rouge testacé; tarsi I et II brun rougeâtre, ces derniers plus foncés; nervures et stigma bruns, le stigma présentant une éclaircie dans l'angle proximal chez la ♀.

♂ ♀. *Tête* : face et clypéus étroitement ponctués, un peu ternes; front lisse et brillant; vertex finement ponctué presque lisse; occiput rugoso-ponctué, bande médiane lisse et étroite; espace oculo-ocellaire 1,8 fois plus long que la distance séparant les ocelles postérieurs; 1<sup>er</sup> article du flagellum un peu plus de quatre fois plus long que large chez la ♀, trois fois chez le ♂.

*Thorax* : mésonotum rugoso-punctué, mat; sillon préscutellaire large, irrégulièrement crénelé; disque du scutellum mat, à peine moins punctué que le thorax, aussi fortement toutefois à l'apex; propodeum brillant avec un lacis réticulaire de carènes fortes de part et d'autre d'une carène longitudinale médiane plus forte, le tégument dans les intervalles porte une petite ponctuation un peu rugueuse; mésopleures discalement lisses et polis jusqu'aux sternaules, ailleurs mats et à ponctuation rugueuse; en dessous des sternaules les pleures sont moins ternes et moins densément punctués que chez les espèces précédentes.

*Ailes* (fig. 15) : nervation semblable à celle de *M. aethiopica*, mais le stigma est plus étroit, la 1<sup>re</sup> abcisse de la radiale plus oblique et la récurrente plus courte.

*Pattes III* : hanches mates, 1,5 fois plus longues que larges, finement punctuées en dessus et portant une petite aire lisse et brillante sur la face externe; fémurs 4,4 fois plus longs que larges et tibias près de 7 fois, par conséquent ces derniers sont un peu moins grêles que chez les espèces précédentes; éperons des tibias le tiers de la longueur des métatarses.

*Abdomen* (fig. 17) : tergite I assez brillant, ruguleux presque réticulé, excavé, lisse et brillant à la base, apex droit un peu plus étroit que la base,

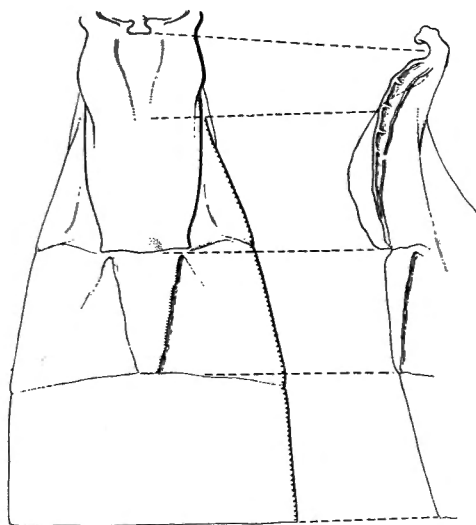


FIG. 17. — *Microplitis niger* sp. n.  
détail des trois premiers tergites abdominaux, face et profil.

moitié apicale proéminente, moins fortement que chez *M. aethiopica*, sa longueur médiane près de 2,5 fois sa largeur apicale; tergite II un peu terne, orné d'une aire médiane en relief plus ou moins triangulaire, largement ruguleux latéralement avec quelques petites soies apicales, cette sculpture va en s'élargissant vers l'apex, le tubercule médi-apical est peu apparent,

mat et ne surplombant pas la base du tergite II; longueur médiane du tergite II près de 1,4 fois la largeur apicale du I et un peu plus court que le III; 2<sup>e</sup> suture très faiblement oblique latéralement; tergites III et suivants, lisses et brillants avec l'habituelle petite ponctuation; valves de la tarière courtes.

Longueur : 2,5 mm.

DISTRIBUTION GÉOGRAPHIQUE : Rutshuru (alt. 1.285 m., 1-6.VI.1935), holotype ♀ et allotype ♂; Rutshuru, riv. Musugereza (alt. 1.100 m., 10.VII.1935); Rutshuru, riv. Fuku (alt. 1.250 m., 2.VII.1935); Nyongera, près de Rutshuru, Butumba (alt. 1.218 m., 22.VII.1935); 6 exemplaires : 2 ♂♂, 4 ♀♀.

Cette espèce se rencontre avec *M. manilae* ASHM. dans la clef de WILKINSON, elle ne peut toutefois lui être confondue. Dans la clef de FAHRINGER, *M. niger* se place avec *M. testaceicornis* NIEZ., dont elle diffère notablement.

#### 11. — *Microplitis aethiopica* sp. n.

(Fig. 14 et 18.)

♂ ♀ : noirs; palpes, hanches des pattes I et II, éperons des tibias, jaune testacé; tegulae, pattes I et II ailleurs (excepté les quatre articles apicaux des tarsi I et tous les articles des tarsi II), apex des hanches III, trochanters,

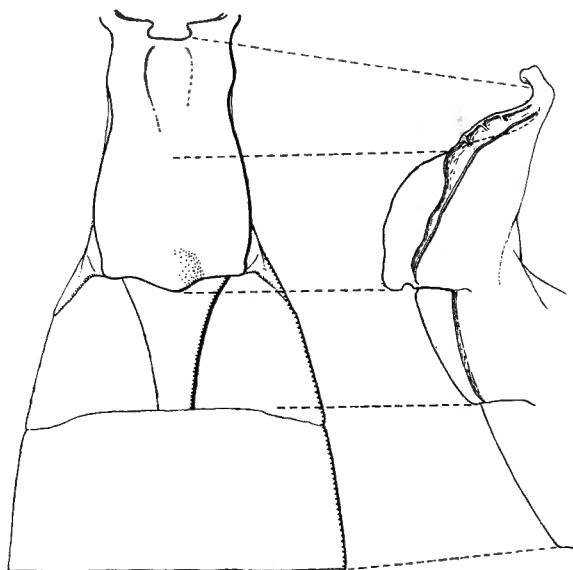


FIG. 18. — *Microplitis aethiopica* sp. n.

détail des trois premiers tergites abdominaux, face et profil.

trochantelles, la partie inférieure des fémurs, l'extrême base des tibias des pattes III, sternites basilaires, rouge testacé; parties latérales du tergite abdominal II et majeure partie du III (coloration d'étendue variable chez ce dernier, la partie noire formant généralement une aire carrée), orange testacé; pattes ailleurs brunes; tibias et tarsi III brun noirâtre; ailes hyali-

nes; nervures et stigma bruns, un peu plus foncés chez le ♂, stigma légèrement plus clair à la base chez la ♀.

♂ ♀. *Tête* : face assez brillante, finement et densément ponctuée; clypéus très convexe, échancré antérieurement, plus brillant que la face et plus faiblement ponctué; vertex petitement ponctué; espace oculo-ocellaire près de 1,5 fois plus long que la distance qui sépare les ocelles postérieurs (7 : 5); occiput assez terne, rugoso-ponctué, sauf au milieu, moins pilifère que chez l'espèce précédente; antennes un peu plus longues que le corps; 1<sup>er</sup> article du flagellum 3 fois plus long que large chez le ♂, 4 fois chez la ♀.

*Thorax* : mésonotum rugoso-ponctué et sétigère, plus fortement le long des lignes des notauciles qui confluent à la base, et sur une ligne médiane antérieure; sillon préscutellaire très large, divisé par 5 carènes plus ou moins régulièrement placées, les augets lisses et brillants; disque du scutellum en triangle allongé, rugoso-ponctué, plus densément à l'apex; axillae lisses et brillants, carénés antérieurement; propodeum brillant, divisé par une carène longitudinale médiane portant latéralement des carènes transversales assez courtes, sauf au tiers apical où deux carènes plus fortes atteignent les carènes latérales, basalement à celles-ci le propodeum est grossièrement réticulé, moins fortement ainsi à l'apex; mésopleures comme chez l'espèce précédente.

*Ailes* : (voir fig. 14).

*Pattes III* : hanches finement ponctuées, plus densément sur la face supérieure, 1,4 fois plus longues que larges; fémurs 4,5 fois plus longs que larges et tibias 9 fois; éperons des tibias subégaux, atteignant un peu plus du tiers de la longueur des métatarses.

*Abdomen* (fig. 18) : tergite I brillant, portant une réticulation ruguleuse dans les 2/3 apicaux, excavé au milieu à la base où il est ruguleux, proéminent dans la partie apicale, le tubercule médian seul, lisse et brillant à l'apex et moins surplombant que chez *M. bambusana*; sa longueur médiane 1,8 fois la largeur apicale qui est 1,2 fois plus étroite que celle-ci, ses bords latéraux déprimés se rapprochent faiblement au tiers basal pour s'écarter vers le tiers apical où le tergite est le plus large (22 : 12 : 12 : 11 : 13,5), angles apicaux à peine arrondis; tergite II plus terne que le I, portant une aire médiane triangulaire en relief, moitié moins large à l'apex qu'à la base et atteignant la 2<sup>e</sup> suture, plus ou moins largement ruguleux latéralement à l'aire médiane, lisse ailleurs et portant quelques petites ponctuations dans le tiers apical, sa longueur médiane égale à la largeur apicale du I (un peu moins chez le ♂ dont le tergite I est légèrement plus large) et un peu plus courte que celle du III (12 : 14); 2<sup>e</sup> suture droite, à peine oblique latéralement; tergite III comme les suivants, lisse et brillant, avec l'habituelle petite ponctuation apicale; valves de la tarière courtes.

Longueur : 2,7 à 3 mm.

DISTRIBUTION GÉOGRAPHIQUE : Tshumba, Mushari (alt. 2.100 m., 28.IV au I.V.1934), holotype ♀; Ruhengeri, riv. Penge (alt. 1.800 m., 29.IX.1934), allotype ♂; Kalondo, lac Ndaraga, Mokoto (alt. 1.750 m., 22-27.III.1934); vers le mont Kamatembe (alt. vers 2.300 m., 7-22.I.1935); Kamatembe, riv. Bishakishaki (alt. 2.100 m., 11-22.IV.1934); Kitondo, près de Gandjo (alt. 2.000 m., 7-22.I.1935); 8 exemplaires : 1 ♂, 7 ♀.

a) **Microplitis aethiopica nigra** ab. n.

♂ ♀ : caractères identiques à ceux de l'espèce, seule la coloration est un peu différente.

Tergites abdominaux II et III entièrement noirs; bords membraneux des tergites I et II, brun rougeâtre à noir; fémurs III parfois unicolores, rouge testacé ou brunâtres.

Chez la ♀, le stigma est entièrement brun, sans éclaircie dans l'angle proximal.

Longueur : 2,5 à 3 mm.

DISTRIBUTION GÉOGRAPHIQUE : Kanyabayongo, Kabasha (alt. 1.760 m., 11.XII.1934), holotype ♀; Tshumba, Mushari (alt. 2.100 m., 28.IV au I.V.1934), allotype ♂; Rweru, volcan Mikeno, forêt de Bambous (alt. 2.400 m., 26-27.VII.1934); Kinyamahura, Djomba (alt. 1.800 m., 23.VIII.1934); Ngesho (alt. 2.000 m., 3-6.IV.1934); Nyarusambo (alt. 2.000 m., 2.VII.1934); Kitondo près de Gandjo (alt. 2.000 m., 7-22.I.1935); Tshengelero, près de Munagana (alt. 1.750 m., 17.VIII.1934); Mushumangabo, volcan Nyamuragira (alt. 2.075 m., 14.VI.1935); Nyabitsindi, entre volcans Visoke et Musule, Ruanda (alt. 2.450 m., 18.II.1935); Mubiliba, volcan Nyamuragira (alt. 2.000 m., 14-26.VI.1935); Shamuhuru, volcan Nyamuragira (alt. 1.843 m., 15.VI.1935); pied du volcan Karisimbi (alt. 2.400 m., 22.II.1935); lac Gando, volcan Karisimbi, Ruanda (alt. 2.400 m., 6.III.1935); Rutshuru (alt. 1.825 m., 22.V au 4.VI.1934); Rutshuru, riv. Fuku (alt. 1.250 m., 5.VII.1935); Rutshuru, riv. Rodahira (alt. 1.200 m., 1.VII.1935); forêt près du mont Kamatembe (alt. 2.200 m., 12.IV.1934); vers le mont Kamatembe (alt. 2.300 m., 7-23.I.1935); Ngesho (alt. 2.000 m., 3-6.IV.1934); 23 exemplaires : 22 ♂♂, 1 ♀.

Genre **MICROGASTER** LATREILLE.

*Microgaster* LATREILLE, Hist. Nat. Crust. Ins., vol. XIII, 1805, p. 189.

*Hygroplitis* THOMSON, Opusc. Entom., fasc. XX, 1895, pp. 2238, 2244.

*Hypomicrogaster* ASHMEAD, Proc. Ent. Soc. Wash., vol. IV, 1898 (1897), p. 166; Smith's Insects N. J., 1900, p. 594.

*Protomicroplitis* ASHMEAD, Proc. Ent. Soc. Wash., vol. IV, 1898 (1897), p. 167.

*Diolcogaster* ASHMEAD, Smith's Ins. New Jersey (mars) 1900, p. 594; Proc. U. S. Nat. Mus., vol. XXIII, (octobre) 1900, p. 132.

*Xanthomicrogaster* CAMERON, Timehri Journ. Roy. Agr. Com. Soc. British Guiana, vol. I, 1911, p. 325.

*Microgaster* SZÉPLIGETI, Genera Insectorum, fasc. 22, 1904, p. 111.

*Microgaster* MARSHALL, Species Hymen. Eur. Alg., vol. IV, 1890, p. 514.

*Microgaster* SCHMIEDEKNECHT, Hymen. Mitteleuropas, 1907, p. 520; 1930, p. 339.

*Microgaster* MUESEBECK, Proc. U. S. Nat. Mus., vol. LXI, 1922, art. 15, p. 20.

*Microgaster* FAHRINGER, Opusc. Bracon., Pal. reg., Bd III, 1937, p. 311.

Tête transverse; clypéus généralement bien différencié, yeux poilus; antennes de 18 articles; notaulices absents; mésopleures rarement marqués d'un sillon crénelé, à dépression cochléariforme toujours apparente; stigma jamais plus long que le métacarpe; ailes antérieures toujours pourvues d'une deuxième cellule cubitale petite, la 2<sup>e</sup> transverso-cubitale étant toujours présente mais habituellement punctiforme et hyaline, ce qui la rend parfois peu visible; le plus long éperon des tibias postérieurs ordinairement plus long que la moitié des métatarses correspondants, jamais beaucoup plus court; abdomen sessile, les deux premiers segments et parfois le troisième possédant une plaque tergale plus fortement chitinisée; tarière toujours apparente et de longueur variable.

Génotype : *Ichneumon deprimator* FABRICIUS.

Comme les *Microplitis*, les *Microgaster* sont des parasites endophages, solitaires ou sociaux, essentiellement de chenilles de Lépidoptères. Quelques auteurs ont signalé des cas de parasitisme d'Hyménoptères et de Diptères, mais ils semblent exceptionnels. Le plus grand nombre d'espèces paraît être à parasitisme solitaire, dans les cas de gréganisme les sociétés ne sont jamais d'un nombre aussi élevé d'individus que chez certaines espèces d'*Apanteles*.

Les cocons de *Microgaster* sont blancs, blanchâtres ou jaunes, à consistance assez parcheminée, jamais cannelés ou ridés comme chez les *Microplitis* et ne présentant pas une apparence extérieure cotonneuse comme c'est souvent le cas pour les cocons d'*Apanteles*.

Le genre *Microgaster* se rencontre dans toutes les parties du monde, mais paraît présenter une variété de formes moindre que les *Apanteles*. On en compte une bonne centaine d'espèces décrites et si l'on considère que de 13 formes connues de la faune éthiopienne, ce chiffre est porté par le présent travail à 46, on jugera de l'importance de la contribution apportée par les matériaux récoltés par la mission G. F. DE WITTE. Ce chiffre se rapproche du nombre d'espèces appartenant à la faune paléarctique — la mieux connue — dont 54 sont citées par FAHRINGER dans ses *Opuscula Braconologica* (1937) et dépasse largement le chiffre de toutes les autres faunes. Ce genre doit donc être abondamment représenté en Afrique car, somme toute, les récoltes de la mission furent faites dans une région assez limitée mais présentant, cependant, des caractères floristiques très particuliers.

Pour la classification du genre *Microgaster*, FAHRINGER (*op. cit.*) adopte le point de vue de BENGSSON et le divise en deux sous-genres : *Lissogaster* BENGSS. et *Microgaster* s. str. Cette coupe est uniquement basée sur l'aspect lisse et brillant du 2<sup>e</sup> tergite abdominal pour la division *Lissogaster*. Je ne puis m'y rallier, car ce caractère présente des transitions et ce sous-genre englobe ainsi des formes qui, par ailleurs, sont morphologiquement très différentes. Entre autres, nous voyons que parmi les espèces réunies par FAHRINGER dans ce sous-genre, certaines présentent un 2<sup>e</sup> tergite entièrement lisse, chez d'autres il est orné de sillons latéraux convergents ou divergents, la longueur du 2<sup>e</sup> tergite est variable par rapport au 3<sup>e</sup>, certaines espèces ont le propodeum orné d'une carène longitudinale médiane, d'autres en sont dépourvues, enfin les valves de la tarière sont ou longues ou très courtes. Ce sont là quelques exemples, ils démontrent qu'une telle subdivision ne tient pas.

Le rôle de toute division ou subdivision systématique, si artificiel que puisse être son caractère, est de simplifier la classification dans le but de faciliter la détermination des espèces décrites, c'est là un principe directeur. Cependant, si l'on se borne à classer toutes les formes d'un groupe seulement d'après un ou quelques caractères préétablis et toujours les mêmes, il est naturel qu'on rapprochera des formes qui sont spécifiquement très différentes. Une coupe ne doit donc être établie que sur un ou des caractères propres reflétant aussi exactement que possible la physionomie de l'ensemble qu'elle représente.

Les spécimens examinés comprennent 526 exemplaires dont 100 divers non classés; les autres se répartissent en 29 espèces et 4 aberrations nouvelles ainsi que 3 espèces déjà décrites. Ces *Microgaster* furent récoltés dans 50 stations différentes situées entre 1.000 et 3.300 m. d'altitude, il faut cependant considérer que rares sont les exemplaires récoltés au delà de 2.400 m., altitude qui peut donc être considérée comme un plafond pour ces Hyménoptères. Certaines espèces montrent une localisation évidente, tandis que d'autres se retrouvent aux différentes altitudes prospectées et sont vraisemblablement largement répandues, probablement par suite de leur polyphagie. Les différentes espèces relevées ne sont jamais représentées, dans la collection, par un grand nombre d'individus, la série la plus importante n'en compte que 74 et 5 séries seulement ont plus de 20 représentants (v. tableau p. 17).

#### CLEF DES ESPÈCES ÉTHIOPIENNES.

1. Deuxième cellule cubitale (aréole), constituée par trois nervures, la 2<sup>e</sup> abcisse de la cubitale, la 1<sup>re</sup> transverso-cubitale et la 2<sup>e</sup> transverso-cubitale, celle-ci généralement hyaline et s'insérant à la précédente en un point quelconque de sa longueur; origine de la 2<sup>e</sup> abcisse de la radiale distinctement dégagée; ponctuation du mésonotum parfois accompagnée

d'une petite aciculation intervallaire; disque du scutellum souvent bordé à l'apex; valves de la tarière pourvues ou non d'un appendice préapical.

(groupe *Trias*). 2

- Deuxième cellule cubitale (aréole), constituée par quatre nervures, la 2<sup>e</sup> abcisse de la radiale, plus ou moins courte, participant toujours à sa formation et recevant la 2<sup>e</sup> transverso-cubitale généralement hyaline; ponctuation du mésonotum jamais accompagnée d'une petite aciculation intervallaire; disque du scutellum non bordé à l'apex; valves de la tarière jamais pourvues d'un appendice préapical (groupe *Tetra*). 28

### Groupe TRIAS.

2. Les trois tergites de la base de l'abdomen fortement chitinisés, paraissant ne former qu'une seule pièce rigide à sculpture caractéristique; 2<sup>e</sup> suture fortement crénelée; apex du 3<sup>e</sup> tergite tronqué; tergites suivants souvent peu apparents; hanches postérieures particulièrement grandes ..... (sous-groupe *basimacula*). 18
- Les trois tergites de la base de l'abdomen ne présentant pas cette conformation; hanches postérieures fortes, mais toujours moins développées ..... 3
3. Deuxième tergite abdominal de longueur égale ou à peine plus courte que celle du 3<sup>e</sup> tergite, sans aire médiane et présentant deux courts sillons basilaires, entièrement lisse ailleurs ..... (sous-groupe *fasciipennis*). 11
- Deuxième tergite abdominal ne présentant pas cette combinaison de caractères ..... 4
4. Deuxième tergite abdominal marqué de deux sillons discaux généralement bien distincts, délimitant une aire médiane occupant toute sa longueur, celle-ci égale ou un peu plus courte que celle du 3<sup>e</sup> tergite; valves de la tarière courtes ..... (sous-groupe *kivuana*). 9
- Deuxième tergite abdominal sans aire médiane, pourvu de sillons latéraux plus ou moins bien marqués et de longueur médiane plus courte, parfois beaucoup plus courte, que celle du 3<sup>e</sup> tergite; valves de la tarière longues ..... 5
5. Premier tergite abdominal distinctement plus étroit à l'apex qu'à la base, excavé à la base, mais sans sillon médian ..... 6
- Premier tergite abdominal, à la base, égal ou plus large qu'à l'apex, divisé à la base par un sillon médian qui se divise en deux tronçons à obliquité antéro-postérieure ..... (sous-groupe *bumbana*). 8
6. Face rouge testacé; flagellum (♀) divisé par un anneau blanchâtre; premier tergite abdominal mat, finement rugueux, ses bords latéraux régulièrement convergents et un peu incurvés depuis le tiers basal jusqu'à l'apex ..... 7

- Face noire; flagellum (♂ ♀) pas divisé par un anneau blanchâtre; 1<sup>er</sup> tergite abdominal, brillant, lisse à la base, très finement sculpté apicalement, ses bords latéraux parallèles jusqu'au tiers apical, ensuite convergents jusqu'à l'apex ..... [III. *M. vacillatrix* WILKINSON] (p. 61).
7. Thorax, tergites I et II, tibias III et base des valves de la tarière, rouge testacé ..... 12. *M. Laurae* sp. n., ♀ (p. 61).
- Mésonotum noir entièrement (♂) ou partiellement (♀); tibias III, rouge brunâtre; tergites I, II et valves de la tarière noirs .....  
a) *M. Laurae nyamuragira* ab. n., ♂ ♀ (p. 63).

## Sous-groupe spécifique BUMBANA.

8. Thorax et tegulae, rouge testacé; 1<sup>re</sup> abcisse de la radiale très oblique et formant un angle accusé avec la 1<sup>re</sup> transverso-cubitale; tibias et tarsi III, rouge testacé ..... [IV. *M. bumbana* DE SAEGER, ♀] (p. 64).
- Thorax noir, tegulae brun sombre; 1<sup>re</sup> abcisse de la radiale faiblement oblique et formant un angle plus large qu'un angle droit avec la 1<sup>re</sup> transverso-cubitale; tibias et tarsi III, brun rougeâtre à noir .....  
13. *M. pteroloba* sp. n., ♂ ♀ (p. 65).

## Sous-groupe spécifique KIVUANA.

9. Premier tergite plus large à l'apex qu'à la base; longueur médiane du 2<sup>e</sup> tergite plus courte que la largeur apicale du 1<sup>er</sup>; sillons discaux du 2<sup>e</sup> tergite parallèles; tegulae noires; fémurs rouge testacé seulement à l'extrême base ..... 14. *M. kivuana* sp. n., ♀ (p. 67).
- Premier tergite à peu près aussi large à l'apex qu'à la base; longueur médiane du 2<sup>e</sup> tergite égale ou plus longue que la largeur apicale du 1<sup>er</sup>; sillons discaux du 2<sup>e</sup> tergite convergents vers l'apex; tegulae jaune testacé; tout au plus la moitié basale des fémurs III jaune-rouge testacé 10
10. Propodeum, sauf à la base, densément ponctué; longueur médiane du 2<sup>e</sup> tergite plus courte que celle du 3<sup>e</sup>; aire médiane de ce tergite large à la base, plus ou moins rétrécie à l'apex, ses sillons discaux bien marqués; valves de la tarière sans appendice .....  
15. *M. vulcana* sp. n., ♂ ♀ (p. 70).
- Propodeum superficiellement ponctué; longueur médiane du 2<sup>e</sup> tergite environ égale à celle du 3<sup>e</sup>; aire médiane de ce tergite étroite, effilée vers l'apex, ses sillons discaux assez superficiels; valves de la tarière pourvues d'un appendice ..... 16. *M. pluto* sp. n., ♂ ♀ (p. 72).

## Sous-groupe spécifique FASCIIPENNIS.

11. Toutes les hanches très sombres ou noires ..... 12
- Hanches I rouge testacé, II rouge testacé ou fortement noircies, III noires ..... 17

12. Palpes partiellement ou entièrement et éperons des tibias III, sombres ..... 13  
 — Palpes et éperons des tibias III pâles ou tout au plus rouge testacé 14
13. Ailes enfumées seulement à l'apex; tiers apical du 3<sup>e</sup> tergite de coloration plus claire que le restant; valves de la tarière environ 4,5 plus longues que leur plus grande largeur .....  
 17. *M. palpicolor* sp. n., ♀ (p. 74).
- Ailes enfumées à l'apex ainsi que dans la partie inférieure de la 2<sup>e</sup> cellule brachiale, de chaque côté de la 1<sup>re</sup> abcisse de la radiale et au voisinage des nervures à la base de la 2<sup>e</sup> abcisse de la médiane; 3<sup>e</sup> tergite unicolore; valves de la tarière environ 3,6 fois plus longues que leur plus grande largeur ..... [*M. turneri* WILKINSON (1), ♂ ♀] (p. 77).
14. Valves de la tarière sans appendice ..... 15  
 — Valves de la tarière pourvues d'un appendice ..... 16
15. Ailes antérieures au moins bifasciées, parfois presque entièrement enfumées; moitié basale des antennes en grande partie et moitié basale des tibias III, rouge testacé; valves de la tarière environ de la longueur des métatarses III ..... [*V. M. carina* WILKINSON, ♂ ♀] (p. 77).  
 — Ailes antérieures enfumées seulement à l'apex; antennes entièrement noires, seuls les scapes un peu rougeâtres; tiers basal des tibias III, rouge testacé; valves de la tarière beaucoup plus courtes que les métatarses III ..... 18. *M. anandro* sp. n., ♀ (p. 76).
16. Fémurs II de la ♀ sombres; 1<sup>re</sup> abcisse de la radiale plus courte que la largeur du stigma; valves de la tarière pas effilées et quatre fois plus longues que l'appendice préapical .....  
 19. *M. fasciipennis* GAHAN, ♂ ♀ (p. 77).  
 — Fémurs II de la ♀, rouge testacé; 1<sup>re</sup> abcisse de la radiale environ égale à la largeur du stigma; valves de la tarière effilées, 6 fois plus longues que l'appendice préapical ... [*M. persimilis* WILKINSON, ♂ ♀] (p. 78).
17. Éperons des tibias III sombres à noirs; hanches I et II rouge testacé, parfois noires à l'extrême base; hanches III fortes (30/50); abdomen entièrement noir ..... 20. *M. coxalis* sp. n., ♂ ♀ (p. 78).  
 — Éperons des tibias III jaune testacé; hanches I rouge testacé, II presque entièrement noires; hanches III plus petites (22/36); 2<sup>e</sup> tergite abdominal (parfois en partie) et 3<sup>e</sup> rouge testacé. 21. *M. semirufa* sp. n., ♀ (p. 79).

(1) Quoique WILKINSON, dans sa clef des espèces indo-australiennes et éthiopiennes (1929), attribue à *M. turneri* une aréole à quatre côtés, tous les autres caractères rapportent bien cette espèce au sous-groupe *fasciipennis*, motif pour lequel je la fais figurer ici.

## Sous-groupe spécifique BASIMACULA.

18. Largeur apicale du 2° tergite au moins 1,5 fois plus grande que sa longueur médiane ..... 19
- Largeur apicale du 2° tergite moins de 1,5 fois plus grande que sa longueur médiane ..... 22
19. Tegulae jaune ou rouge testacé; 3/4 basilaires des fémurs III rouge testacé; 3° tergite ne présentant pas une surélévation médiane et à peu près entièrement lisse ..... 22. *M. glaphyra* sp. n., ♀ (p. 81).
- Tegulae sombres à noires; fémurs III en grande partie ou entièrement noirs; 3° tergite présentant toujours une surélévation médiane et strié ou striolé latéralement ..... 20
20. Trochanters et éperons des tibias des pattes III, ainsi que toutes les hanches, sombres à noirs; palpes sombres; 1<sup>re</sup> abcisse de la radiale et 1<sup>re</sup> transverso-cubitale formant un angle plus petit qu'un angle droit ...  
23. *M. agama* sp. n., ♂ (p. 83).
- Trochanters et éperons des tibias des pattes III, jaune ou rouge testacé; au moins les hanches II jaune testacé; palpes pâles ou faiblement colorés; 1<sup>re</sup> abcisse de la radiale formant un angle presque droit, ou beaucoup plus large, avec la 1<sup>re</sup> transverso-cubitale ..... 21
21. Antennes (♀) rouge clair, assombries distalement; hanches I noires, II jaune testacé; un anneau clair dans le tiers basal des tibias III (♀), dans la moitié basale (♂); tergites I et II jaune testacé entièrement; espace oculo-ocellaire plus petit que la distance séparant les ocelles postérieurs ..... [VI. *M. basimacula* (CAMERON), ♂ ♀] (p. 84).
- Antennes (♂ ♀) noires, excepté le scape antérieurement; un anneau clair dans la moitié basale des tibias III; tergite I rouge testacé ou sombre partiellement ou entièrement; tergite II toujours noir au milieu; espace oculo-ocellaire généralement plus grand que la distance séparant les ocelles postérieurs ..... 24. *M. neglecta* sp. n., ♂ ♀ (p. 85).
22. Tegulae sombres à noires ..... 23
- Tegulae jaune testacé ..... 24
23. Scapes brunâtres entièrement; fémurs III à peine jaune testacé à l'extrême base; 1<sup>re</sup> transverso-cubitale plus longue que la 1<sup>re</sup> abcisse de la radiale, recevant la 2° transverso-cubitale au milieu ou avant, point de jonction des deux premières de ces nervures bien distinct .....  
25. *M. coronata* sp. n., ♂ ♀ (p. 86).
- Scapes partiellement rouge testacé; fémurs III jaune testacé dans les 2/3 ou 3/4 de la base; 1<sup>re</sup> transverso-cubitale à peu près de longueur égale à la 1<sup>re</sup> abcisse de la radiale, recevant la 2° transverso-cubitale un peu au delà de son milieu, point de jonction des deux premières de ces nervures difficile à déterminer ..... [*M. integra* WILKINSON, ♂] (p. 88).



- un peu plus forte dans la partie inférieure au milieu des ailes antérieures, alors la basale et la plus grande partie de la 1<sup>re</sup> abcisse de la cubitale sont aussi décolorées que la médiane et l'anale à la base; tergites I et II plus ou moins fortement sculptés ..... 32
- Première nervure transverso-cubitale plus courte que la 1<sup>re</sup> abcisse de la cubitale; 2<sup>e</sup> cellule cubitale petite; ailes antérieures irrégulièrement enfumées, mais pas fortement; tergites I et II entièrement lisses, polis, brillants ..... 30. *M. vacillatropsis* sp. n., ♀ (p. 96).
32. Largeur apicale du tergite I considérablement plus grande que la largeur basale (♀) ou plus ou moins égale (♂); fémurs III rouge testacé entièrement ..... 31. *M. atropa* sp. n., ♂ ♀ (p. 97).
- Largeur apicale du tergite I plus ou moins égale à la largeur basale (♀) parfois plus étroite (♂); au moins l'extrême apex des fémurs III noir. 33
33. Face très convexe, rugueuse; longueur médiane du tergite I trois fois sa plus petite largeur; palpes maxillaires plus longs que les fémurs I; 2/3 basilaires des valves de la tarière rouge testacé ..... 32. *M. mikenno* sp. n., ♂ ♀ (p. 100).
- Face normale à petite ponctuation, jamais rugueuse; longueur médiane du tergite I moins de trois fois sa plus petite largeur; palpes maxillaires plus courts que les fémurs I; valves de la tarière entièrement noires ou noir brunâtre ..... 34
34. Mésonotum, toutes les hanches et les 5/6 basilaires des tibias III, rouge testacé; hanches III à peine noires à l'extrême base; stigma avec une faible éclaircie dans l'angle proximal. 33. *M. superba* sp. n., ♀ (p. 103).
- Mésonotum noir, hanches I et II, rouge testacé; au moins le quart basal des hanches III, noir; stigma uniformément opaque ..... 35
35. Palpes pâles; tergite I fortement excavé et lisse médialement à la base; sillons latéraux du tergite II très divergents, plus ou moins en arc de cercle, disque assez lisse et brillant; article apical des pattes III normal, onychiums petits ..... 34. *M. sylleptae* DE SAEGER, ♂ ♀ (p. 105).
- Palpes plus ou moins assombris; tergite I à peine excavé à la base, entièrement rugueux; sillons latéraux du tergite II, faiblement divergents, tégument entièrement rugueux; article apical des tarse plus fortement développé que la normale ainsi que l'onychium ..... 35. *M. ruandana* sp. n., ♂ ♀ (p. 106).

#### Sous-groupe BICOLOR.

36. Thorax rouge testacé excepté mésonotum et propodeum; mésonotum à ponctuation dense, presque rugueux; tergite I deux fois plus long que sa plus grande largeur; longueur médiane du tergite II égale ou un peu plus longue que la largeur apicale du I ..... [ *M. bicolor* SZÉPLIGETI, ♀ ] (p. 109).

- Thorax noir entièrement; mésonotum brillant portant une forte ponctuation largement espacée; longueur médiane du tergite II un peu plus de la moitié de la largeur apicale du I .....  
36. *M. austrina* WILKINSON, ♂ ♀ (p. 109).

## Sous-groupe LEPPELEYI.

37. Largeur apicale du tergite I trois fois plus courte que sa longueur médiane; tergite I lisse entièrement excepté une petite aire rugoso-ponctuée de chaque côté vers la base du tiers apical; toutes les hanches noires ..... [*M. leppeleyi* WILKINSON, ♂ ♀] (p. 111).
- Largeur apicale du tergite I environ 2 fois plus courte que la longueur médiane; sculpture du tergite I différente; hanches I et II rouge testacé, III partiellement noires ..... 38
38. Sillon préscutellaire particulièrement grand, formé de 4 ou 5 augets; disque du scutellum très convexe; ailes faiblement mais distinctement enfumées localement (plus faiblement chez le ♂); tibias III faiblement rougeâtres à la base, noirs ailleurs, à face externe droite .....  
37. *M. megaulax* sp. n., ♂ ♀ (p. 111).
- Sillon préscutellaire normal; disque du scutellum à faible convexité; ailes hyalines ou très faiblement enfumées entièrement et régulièrement; tibias III rouge testacé beaucoup plus largement ou entièrement noirs, plus ou moins renflés à la face externe ..... 39
39. Thorax noir, marqué de rougeâtre, principalement une aire basale sur le mésonotum et le long des lignes des notaules; fémurs III rouge testacé excepté près de l'apex; flagellum (♂ ♀) entièrement noir, tout au plus brunâtre à la base ..... 40
- Thorax noir entièrement, si une coloration rougeâtre est apparente, elle est localisée aux aires transcutales et à la protubérance humérale des mésopleures; fémurs III rouge testacé dans la moitié basale ou entièrement noirs; flagellum (♀) avec un anneau blanchâtre ..... 41
40. Stigma opaque, avec une éclaircie dans l'angle proximal (♀) .....  
38. *M. wittei* sp. n. (p. 113).
- A. — Tibias postérieurs (sauf une enfumure apicale) testacés; 2° tergite 1,5 fois plus long que la largeur apicale du 1<sup>er</sup> et un peu plus court que le 3°; longueur : 3,0 à 3,5 mm. .... *M. wittei* s. str., ♂ ♀.
- Tibias postérieurs entièrement brun noirâtre; 2° tergite 1,2 fois plus long que la largeur apicale du 1<sup>er</sup> et 1,5 fois plus court que le 3°; longueur : 3,9 mm. .... b) *M. wittei major* ab. n., ♂.
- Stigma jaune diaphane (♂ ♀)... a) *M. wittei xanthostigma* ab. n., ♂ ♀.

41. Tegulae jaune testacé; mésonotum satiné, à petite ponctuation (degré 2-3); aire médiane du tergite II bien délimitée, vaguement striolée; sillons basilaires plus ou moins excurvés et assez courts .....  
 39. *M. cincticornis* sp. n., ♂ ♀ (p. 117).
- Tegulae rouge sombre ou noires; mésonotum brillant, plus fortement ponctué (degré 4); aire médiane du tergite II peu en relief, aussi fortement sculptée que les parties latérales, sillons basilaires presque droits, plus divergents ..... 42
42. Tegulae rouge testacé; palpes pâles; environ la moitié basale des fémurs III rouge testacé; base du flagellum noire; tergite III entièrement noir ..... 40. *M. homocera* sp. n., ♂ ♀ (p. 120).
- Tegulae noires; palpes sombres; extrême base des fémurs III à peine rouge testacé; base du flagellum (♀) blanc sale à roussâtre; tergite III en grande partie rouge testacé (♀) 41. *M. heterocera* sp. n., ♂ ♀ (p. 121).

#### Sous-groupe STENOTERGA.

43. Palpes maxillaires distinctement plus courts que les fémurs I; fémurs III rouge testacé sauf à l'apex; ponctuation du disque du scutellum faible; bords latéraux du tergite I parallèles jusqu'au tiers apical, ensuite convergents; tergite II sans aire médiane, ses sillons latéraux atteignant la 2<sup>e</sup> suture, celle-ci droite ..... 42. *M. stenoterga* sp. n., ♀ (p. 124).
- Palpes maxillaires aussi longs que les fémurs I; environ la moitié basale des fémurs III rouge testacé; disque du scutellum plus fortement ponctué que le mésonotum; bords latéraux du tergite I évasés à la base, convergents ensuite vers l'apex; tergite II orné d'une aire médiane fusiforme; 2<sup>e</sup> suture très oblique latéralement .....  
 43. *M. psilocnema* sp. n., ♂ (p. 126).

*M. eurygaster* (CAM.), espèce de l'Afrique du Sud, n'est pas compris dans cette clef par suite de l'absence de description du 2<sup>e</sup> tergite abdominal dans la description de CAMERON ainsi que dans la redescription de WILKINSON; ce dernier auteur l'a probablement omis à cause du mauvais état de l'unique spécimen connu.

#### Groupe TRIAS.

Deuxième cellule cubitale (aréole), constituée par trois nervures, la 2<sup>e</sup> abcisse de la cubitale, la 1<sup>re</sup> transverso-cubitale et la 2<sup>e</sup> transverso-cubitale, celle-ci s'insérant à la précédente en un point quelconque de sa longueur; origine de la 2<sup>e</sup> abcisse de la radiale distinctement dégagée; ponctuation du mésonotum parfois accompagnée d'une petite aciculation intervallaire; disque du scutellum souvent bordé à l'apex; valves de la tarière pourvues ou non d'un appendice préapical.

[III. — *Microgaster vacillatrix* WILKINSON.]

*Microgaster vacillatrix* WILKINSON, Bull. Ent. Res., XXI, 1930, p. 155, ♂ ♀ ; WILKINSON, Bull. Ent. Res., XXII, 1931, p. 82; DE SAEGER, Rev. Zool. Bot. afr., XXXV, 1942, p. 338.

BIOGÉOGRAPHIE : Uganda, parasite de *Filodes productalis* HMPS. (Pyraustidae).

CONGO BELGE : Dembia (Uelé), parasite de *Dichocrocis crocodora* MEYR. (Pyraustidae); Élisabethville (Katanga), parasite du Notodontide *Phaeosina insigniata* GDE; Nord Kivu, riv. Kabarazo, hôte : inconnu; cocons : blancs.

12. — *Microgaster laurae* sp. n.

(Fig. 19-22.)

♀ : rouge testacé; yeux, espace interocellaire plus ou moins, scapes et pédicelles du côté externe, articles du flagellum I à IV et 1/2 basale du V, ainsi que les articles apicaux IX à XVI, le tiers distal et parfois la tranche supérieure des valves de la tarière jusque près de la base, onychiums, noirs; tergites apicaux plus ou moins irrégulièrement assombris; ailes faiblement enfumées entièrement et régulièrement; nervures et stigma bruns, ce dernier éclairci basalement; costale brun noirâtre; tarses III un peu plus sombres que le restant des pattes; anneau des antennes blanchâtre.

♀. *Tête* : face assez densément et régulièrement ponctuée (degré 3), faiblement proéminente médialement; clypéus faiblement différencié de la face; vertex et occiput brillants à ponctuation petite, peu dense (degré 1); espace oculo-ocellaire égal à la distance séparant les ocelles postérieurs; antennes fortes, un peu plus longues que le corps, un peu plus épaisses apicalement, à striation sensillaire peu apparente; 1<sup>er</sup> article du flagellum à peine plus long que le scape et 2,4 fois plus long que large (12 : 5), les sept articles préapicaux subégaux, environ 1,5 fois plus longs que larges (9 : 6) (fig. 19).

*Thorax* : mésonotum brillant, ponctué assez irrégulièrement (degré 3 et 4) et faiblement aciculé dans les intervalles de la ponctuation, sauf au milieu dans la moitié apicale; lignes des notaulices faiblement déprimées; sillon préscutellaire faiblement arqué et crenelé; disque du scutellum brillant, plat, ponctué comme le mésonotum, mais plus éparsément et superficiellement, presque lisse à l'apex, celui-ci est tronqué, 2,33 fois plus étroit que la largeur basale; partie lisse des axillae étroite; mésopleures lisses et brillants, ne portant que quelques pointillés dans l'angle huméral, cochléar marqué d'une courte dépression sulciforme; métapleures lisses et brillants; propodeum brillant à la base des deux aires latérales, mat ailleurs, divisé par une forte carène longitudinale médiane portant de chaque côté quelques courtes carènes transversales secondaires; cette carène médiane est plus ou moins divisée près de la base et distinctement divisée au quart apical

en deux branches divergentes qui rejoignent la carène apicale de part et d'autre de la lunule médi-apicale; latéralement le propodeum est pourvu d'un sillon délimitant une aire où se trouve le stigmate, mais ce sillon est peu distinct.

*Ailes* (fig. 20) : 1<sup>re</sup> abcisse de la radiale en arc de cercle, environ égale à la largeur du stigma; la 1<sup>re</sup> transverso-cubitale 1/5 plus longue, légèrement

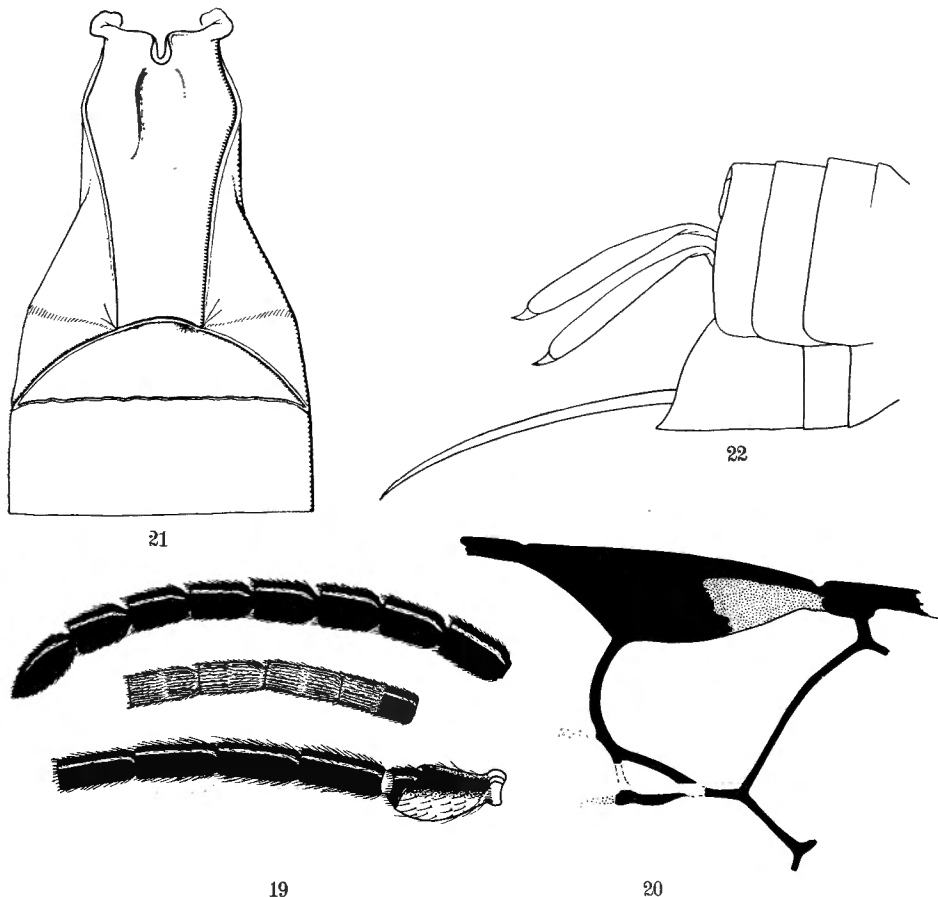


FIG. 19-22. — *Microgaster laurae* sp. n. ♀.

FIG. 19. — Antenne. FIG. 20. — Détail de la nervation des ailes antérieures.

FIG. 21. — Détail des trois premiers tergites abdominaux.

FIG. 22. — Apex de l'abdomen.

coudée un peu au delà du 1/3 apical où elle reçoit la 2<sup>e</sup> transverso-cubitale punctiforme, la partie apicale pigmentée de la 1<sup>re</sup> abcisse de la cubitale égale à la moitié de la longueur de la récurrente; point de jonction des abcisses cubitales I et II et 1<sup>re</sup> transverso-cubitale, fenestré : stigma plus court que le métacarpe.

*Pattes III* : hanches longues et brillantes, atteignant l'apex du tergite III, portant quelques gros pointillés irréguliers sur la face supérieure à la base et une grande aire lisse sur la face externe, ailleurs avec une petite ponctuation plus ou moins dense. Proportions : hanches, 22/40; fémurs, 14/48; tibias, 10/60; tarses : I, 25; II, 10; III, 8; IV, 6; V, 10; le plus long éperon des tibias la 1/2, et le plus court les 2/5 de la longueur des métatarses.

*Abdomen* (fig. 21) : tergite I mat, finement rugueux à la base, faiblement brillant et ponctué peu densément (degré 3) apicalement, excavé au milieu à la base, assez plat à l'apex, sa longueur médiane un peu plus de 3 fois sa largeur apicale, 2,6 fois sa largeur basale et 1,8 fois sa plus grande largeur située au quart basal (26 : 8 : 10 : 14), ses bords latéraux divergents jusqu'au quart basal et, après une incurvation, presque parallèles jusqu'à l'apex échancré; tergite II brillant, un peu rugueux sauf dans la partie médiane, portant deux rangées de pointillés irrégulièrement placés et peu distincts, dans la moitié apicale, sa longueur médiane égale aux 3/4 de la largeur apicale du I et environ le 1/4 de sa propre largeur apicale (6 : 8 : 25), ses sillons latéraux légèrement courbés atteignant la 2<sup>e</sup> suture peu avant le bord latéral du tergite; tergite III brillant, avec un pointillé microscopique latéralement dans les 2/3 apicaux, 1,66 fois plus long que le II; tergites suivants lisses et brillants portant l'habituelle petite ponctuation; hypopygium à apex aigu; valves de la tarière à bords parallèles, égales à la moitié de la longueur des tibias III et environ 8 à 9 fois plus longues que larges, dépourvues d'appendice apical (fig. 22).

Longueur : 3 mm.; ♀, inconnue.

DISTRIBUTION GÉOGRAPHIQUE : Rwindi (alt. 1.000 m., 20-24.XI.1934), holotype ♀; escarpement de Kabasha (alt. 1.500 m., 12.XII.1934); 3 exemplaires.

Je dédie cette belle espèce à la mémoire de ma sœur Laure.

Par sa coloration cette espèce se rapproche de l'espèce australienne *M. rixosa* WILKN. avec laquelle elle se rencontre dans la clef de WILKINSON, mais ne peut lui être confondue. *M. laurae* se particularise non seulement par sa coloration, mais aussi par l'anneau blanchâtre des antennes et la forme allongée du 1<sup>er</sup> tergite abdominal.

a) ***Microgaster laurae nyamuragira* ab. n.**

♀ : anneau blanchâtre des antennes allant de la base du 6<sup>e</sup> article du flagellum à la moitié basale du 8<sup>e</sup>; mésonotum portant des marques noires antérieurement et latéralement; apex des tarses I et II rouge testacé foncé; tibias, éperons et tarses des pattes III, bruns; tergite I, mais pas ses bords latéraux membraneux et tergite II, noirs; tergite III rougeâtre foncé : tergites suivants noir brunâtre; éclaircie basale du stigma à peine distincte.

♂ : noir; pièces buccales, palpes, face, joues, propectus, pattes I et II, macules sur les pleures; hanches (sauf parfois une petite tache à l'extrême base), trochanters, trochantelles et fémurs (excepté l'apex de ceux-ci) des pattes III, bords membraneux latéraux du tergite I et sternites basilaires, rouge testacé; tegulae sombres; ailes hyalines faiblement enfumées dans la moitié distale, nervures et stigma bruns; antennes sans anneau blanchâtre; certaines parties telles l'occiput et le métonotum présentent une tendance au rougeâtre.

♂ : antennes 1,5 fois plus longues que le corps; articles du flagellum un peu comprimés, fortement striés, le 1<sup>er</sup>, 2,66 fois plus long que large (16 : 6), articles préapicaux 3 fois; ponctuation du mésonotum légèrement plus forte; tergite I un peu plus long et plus étroit à l'apex (28 : 7), plus rugueux et mat sur toute sa longueur, plus étroitement excavé à la base; largeur apicale du tergite II plus courte, mais longueur médiane un peu plus longue (23 : 8), sillons latéraux, par suite, moins divergents et droits; tergite III, 1,5 fois plus long que le II.

Tous les autres caractères étant ceux de l'espèce.

DISTRIBUTION GÉOGRAPHIQUE: Mayumbu, volcan Nyamuragira (alt. 2.400 m., 14-26.VI.1935), holotype ♀; Nyasheke, volcan Nyamuragira (alt. 1.820 m., 14-26.VI.1935), allotype ♂ et paratypes; Shamuheru, volcan Nyamuragira (alt. 1.843 m., 14-26.VI.1935); 9 exemplaires : 8 ♂♂, 1 ♀.

#### Sous-groupe spécifique BUMBANA.

Premier tergite abdominal divisé à la base par un sillon longitudinal médian qui se divise avant la moitié apicale en deux branches latérales à obliquité antéro-postérieure, les deux parties basilaires du tergite plus ou moins développées latéralement en lobes et inclinées vers l'axe; 2<sup>e</sup> tergite plus court que la largeur apicale du 1<sup>er</sup> et que la longueur médiane du 3<sup>e</sup>, marqué de sillons latéraux divergents; ponctuation du mésonotum généralement bien séparée, plus petite ou presque absente à la base, pouvant être accompagnée d'une petite aciculation intervallaire; disque du scutellum à faible convexité, peu ponctué et non rebordé à l'apex; propodeum orné d'une carène longitudinale médiane; valves de la tarière longues, non pourvues d'un appendice préapical.

#### [IV. — *Microgaster bumbana* DE SAEGER.]

*Microgaster bumbana* DE SAEGER, Rev. Zool. Bot. afr., XXXV, 1942, p. 332. ♀.

DISTRIBUTION GÉOGRAPHIQUE : Congo Belge, Bumba (Congo Ubangi); Bambesa (Uelé). *Hôte* et *cocon*, inconnus.

13. — **Microgaster pteroloba** sp. n.

(Fig. 23-25.)

♂ ♀ : noirs; parties buccales (parfois très sombres), palpes, scapes et pédicelles (sauf la face externe, parfois très sombres chez le ♂), pattes I et II, fémurs III (excepté l'apex généralement un peu assombri, fortement chez le ♂), bords latéraux membraneux du tergite abdominal I, partie inférieure de l'abdomen y compris l'hypopygium, rouge testacé; hanches III, rouge testacé assez foncé, excepté l'extrême base; tegulae, brun sombre; tibias et tarsi III, brun rougeâtre; ailes faiblement enfumées entièrement; nervures brunes.

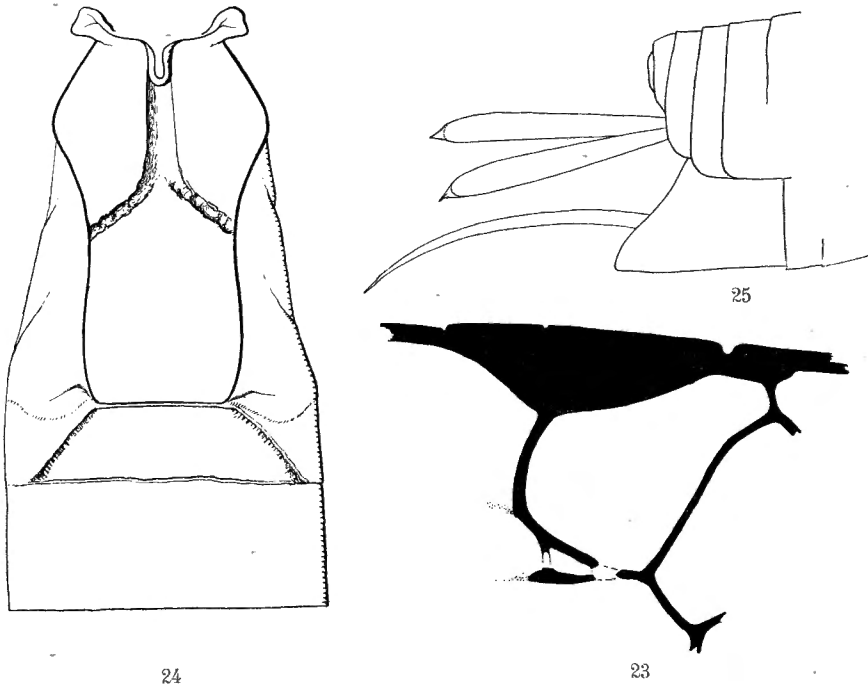
♂ ♀. *Tête* : face brillante, aciculée et petitement ponctuée d'aspect assez rugueux, faiblement carénée longitudinalement au milieu; clypéus assez bien différencié; ostioles faciales à égale distance des yeux et de l'apex du clypéus; vertex et occiput petitement ponctués; tempes et joues plus fortement et plus densément; espace oculo-ocellaire un peu plus grand que la distance séparant les ocelles postérieurs; 1<sup>er</sup> article du flagellum 2,5 fois plus long que large, articles apicaux plus longs et plus effilés chez le ♂.

*Thorax* : mésonotum assez régulièrement ponctué (degré 3 et 4), les pointillés séparés par environ leur propre diamètre, petitement aciculé dans les intervalles, excepté à l'apex où le mésonotum est plus brillant; lignes des notaulices très faiblement déprimées; sillon préscutellaire droit, large, fortement crénelé; disque du scutellum brillant, ponctué à peu près comme l'apex du mésonotum (en général plus finement chez le ♂), à faible convexité et apex aigu; partie lisse des axillae étroite, faiblement carénée antérieurement; mésopleures lisses et brillants, densément ponctués seulement dans l'angle huméral, cochléar marqué d'une fossette médiane; métapleures lisses et brillants; propodeum brillant, traversé par une très forte carène longitudinale médiane portant de part et d'autre des carènes transversales secondaires plus longues apicalement, où elles rejoignent parfois des carènes secondaires, ailleurs lisse, ruguleux autour des stigmates.

*Ailes* (fig. 23) : 1<sup>re</sup> abcisse de la radiale un peu plus longue que la largeur du stigma, légèrement incurvée et formant un angle presque droit avec la 1<sup>re</sup> transverso-cubitale; celle-ci est droite et reçoit la 2<sup>e</sup> transverso-cubitale un peu au delà du milieu; partie apicale de la 1<sup>re</sup> abcisse de la cubitale courte, environ de même longueur que la 2<sup>e</sup> transverso-cubitale et beaucoup plus courte que la récurrente; stigma plus court que le métacarpe.

*Pattes III* : hanches petitement et éparsement ponctuées sur la face supérieure, plus densément à la base, très finement ponctuées presque lisses sur la face externe. Proportions : hanches, 22/38; fémurs, 17/50; tibias, 11/60; tarsi : I, 24; II, 11; III, 9; IV, 6; V, 8; le plus long éperon des tibias 3/5 et le plus court un peu moins de 2/5 de la longueur des métatarses.

*Abdomen* (fig. 24) : tergite I divisé à la base par un profond sillon médian plus ou moins lisse, se divisant avant la moitié en deux sillons divergents, moins bien marqués, plus ou moins crénelés; la base du tergite est ainsi divisée en deux lobes latéraux, développés latéralement et fortement inclinés vers le sillon médian (en coupe les deux plans forment presque un angle droit), ces lobes sont brillants et lisses sauf sur les bords externes un peu ruguleux, tandis que la partie apicale du tergite, qui est fortement replié à la moitié de sa longueur, est brillante, rugueuse avec quelques pointillés; apex tronqué, précédé d'une petite aire triangulaire lisse occu-



24

23

FIG. 23-25. — *Microgaster pteroloba* sp. n.

FIG. 23 — Détail de la nervation des ailes antérieures.

FIG. 24. — Détail des trois premiers tergites abdominaux.

FIG. 25. — Apex de l'abdomen.

pant toute sa largeur; longueur médiane du tergite I environ 2,8 fois sa largeur apicale qui est égale à la largeur basale, et 1,72 fois sa plus grande largeur située au  $\frac{1}{4}$  basal; tergite II brillant, marqué d'une petite rugosité faible et superficielle et portant quelques petits pointillés sétigères dans la moitié apicale, sillons latéraux peu marqués, droits ou légèrement courbés, sa longueur médiane 1,57 fois plus petite que la largeur apicale du I et environ le  $\frac{1}{3}$  de sa propre largeur apicale; 2<sup>e</sup> suture droite, faiblement mais distinctement marquée; tergite III, 1,57 fois plus long que le II, bril-

lant et portant quelques soies éparses, absentes près du bord basal et sur une aire triangulaire médiane; hypopygium grand, à apex aigu; valves de la tarière longues, un peu élargies vers l'apex, égales à la longueur des deux articles basilaires des tarsi III et sans appendice (fig. 25).

Longueur : 3 mm.

DISTRIBUTION GÉOGRAPHIQUE : Rutshuru (alt. 1.285 m., 7.VI.1935), holotype ♀, allotype ♂, 1 paratype; escarpement de Kabasha (alt. 1.500 m., 12.XII.1934); Rwindi (alt. 1.000 m., 20-24.XI.1934); Nyongera, près de Rutshuru, Butumba (alt. 1.218 m., 18.VII.1935); 9 exemplaires : 5 ♂♂, 4 ♀♀.

AFFINITÉS : Cette espèce se place, dans la clef de WILKINSON, avec l'espèce malaise *M. psarae* WILKN., dont elle se sépare au premier abord par la coloration noire du 1<sup>er</sup> tergite abdominal, la forme de ce tergite ainsi que de nombreux autres caractères. Elle ne peut non plus être confondue avec *M. vacillatrix* WILKN. espèce éthiopienne qui se classe en même temps que *M. psarae* dans cette clef. Elle ne s'introduit pas dans la clef de FAHRINGER des espèces paléarctiques. Elle montre, notamment par la structure du 1<sup>er</sup> tergite, une grande affinité avec *M. bumbana* DE S., dont elle s'éloigne, cependant, par la coloration générale.

#### Sous-groupe spécifique KIVUANA.

Premier tergite abdominal au moins deux fois plus long que large à l'apex, celui-ci parfois plus large ou plus étroit que la base, mais jamais fortement, ses bords latéraux à peu près parallèles, divisé par un sillon longitudinal médian sur presque toute sa longueur, sa sculpture est localisée dans le tiers ou le quart apical où il est proéminent; 2<sup>e</sup> tergite marqué de deux sillons discaux parallèles ou convergents bordant une aire médiane et de deux sillons basilaires courts et divergents; 2<sup>e</sup> suture généralement plus ou moins sinuée, bien marquée; mésonotum et disque du scutellum à forte ponctuation, parfois accompagnée d'une petite aciculation intervallaire, ce dernier à apex bordé; propodeum orné d'une carène longitudinale médiane; valves de la tarière courtes, pourvues ou non d'un appendice préapical.

#### 14. — *Microgaster kivuana* sp. n.

(Fig. 26-27.)

♀ : noire; pattes I et II à l'exception des hanches I qui sont brunâtres presque entièrement, extrême base des hanches, trochanters, trochantelles, extrême base des fémurs, 3/5 basilaires des tibias, et extrême base des métatarses des pattes III, tergite abdominal I entièrement, bords latéraux membraneux des tergites I, II et III et le bord apical du III, sternites basilaires, jaune-rouge testacé; palpes et éperons des tibias III, jaune testacé pâle; tegulae rouge sombre à noirâtre; parties buccales rougeâtres; scapes bruns;

environ la 1/2 basale du flagellum roussâtre; stigma et nervures, bruns, excepté la médiane et l'anale dans le 1/3 basal des ailes I incolores et la basale presque entièrement faiblement colorée; aux ailes II seuls la 2<sup>e</sup> abcisse de la sous-costale et le métacarpe sont pigmentés; ailes enfumées, aux I enfumure peu intense comprenant l'apex de l'aile et une fascie sous le stigma qui s'élargit dans la moitié postérieure de l'aile, aux ailes II enfumure plus mal définie, mais plus localisée vers le bord antérieur au 1/3 distal (fig. 26).

♀. *Tête* : face brillante, densément ponctuée (degré 5) partagée par une ligne longitudinale médiane lisse et brillante; clypéus non différencié de la face; ostioles faciales plus près de l'apex du clypéus que des yeux; vertex et occiput brillants, moins densément ponctués que la face (degré 4), tempes plus finement ponctuées; stemmaticum lisse; espace oculo-ocellaire égal à la distance séparant les ocelles postérieurs; 1<sup>er</sup> article du flagellum 5 fois plus long que large (15 : 3), les cinq articles préapicaux très amincis, au moins 3 fois plus longs que larges.

*Thorax* : mésonotum à ponctuation dense et régulière (degré 5); sillon présutellaire droit, divisé par quelques fortes carènes; disque du scutellum à ponctuation semblable, mais un peu plus espacée que sur le mésonotum, à apex bordé; mésopleures fortement ponctués sauf une grande aire médiane lisse; partie antérieure des métapleures étroite et lisse; propodeum brillant, divisé par une forte carène longitudinale médiane à bords crénelés, téguement lisse dans le 1/4 basal, irrégulièrement et peu densément ponctué ailleurs (degrés 2-5) à réticulation latérale vague sous les stigmates.

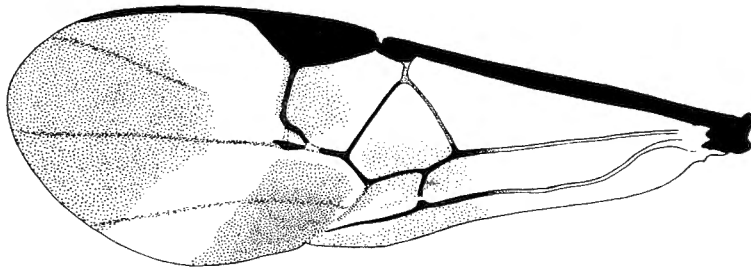


FIG. 26. — Aile antérieure de *Microgaster kivuana* sp. n. ♀.

*Ailes* (fig. 26) : 1<sup>re</sup> abcisse de la radiale presque perpendiculaire au stigma et un peu plus longue que la largeur de celui-ci; 1<sup>re</sup> transverso-cubitale égale aux 3/4 de la longueur de la 1<sup>re</sup> abcisse de la radiale sans tronçon à leur point de jonction, la 2<sup>e</sup> transverso-cubitale punctiforme, étroite et peu distincte, reçue au 1/4 apical; récurrente légèrement plus courte que la partie apicale de la 1<sup>re</sup> abcisse de la cubitale, elle-même deux fois plus longue que le sommet de la basale; le point de jonction abcisses cubitales I et II et 1<sup>re</sup> transverso-cubitale, largement fenestré; stigma un peu plus court que le métacarpe.

*Pattes III* : hanches rugueuses en dessus, avec une grosse ponctuation primaire peu dense et une ponctuation secondaire dans les intervalles sur la face externe; fémurs ponctués à peu près comme le mésonotum. Proportions : hanches, 23/35; fémurs, 13/46; tibias, 10/50; tarses : I, 26; II, 11; III, 9; IV, 7; V, 8; le plus long éperon des tibias environ  $\frac{3}{4}$  et le plus court un peu plus de la  $\frac{1}{2}$  de la longueur des métatarses.

*Abdomen* (fig. 27) : tergite 1,2 fois plus long que sa largeur apicale qui est à peine plus large que la base (23 : 11; 10), ses bords latéraux droits faiblement divergents et incurvés près de l'apex, celui-ci échancré et à angles arrondis, tégument lisse et brillant jusqu'au  $\frac{1}{3}$  apical ensuite rugu-

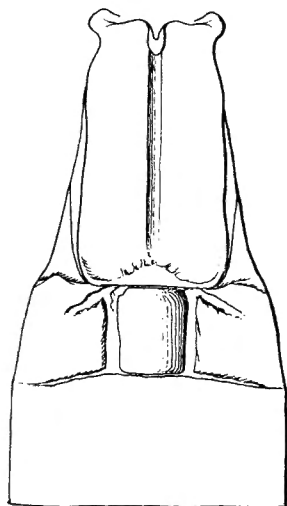


FIG. 27. — *Microgaster kivuana* sp. n. ♀.  
détail des trois premiers tergites abdominaux.

leux et ponctué, divisé de la base à l'apex par un fort sillon médian; longueur médiane du tergite II  $\frac{3}{4}$  de la largeur apicale du I et  $\frac{3}{4}$  de la longueur médiane du III (8 : 11; 11), ce tergite porte une aire médiane rectangulaire, lisse et convexe, environ  $\frac{1}{3}$  plus longue que large, délimitée par de forts sillons parallèles, à la base il est marqué de deux sillons courts et très divergents, ailleurs lisse sauf pour quelques très petits pointillés sétigères; 2<sup>e</sup> suture bien marquée, à peu près droite; tergites III et suivants ornés de l'habituelle petite ponctuation placée latéralement; apex de l'hypopygium à angle droit; valves de la tarière courtes pourvues d'un appendice préapical.

Longueur : 3 mm.; ♂, inconnu.

DISTRIBUTION GÉOGRAPHIQUE : Rwindi (alt. 1.000 m., 20-24.XI.1934), holotype ♀; 1 exemplaire.

15. — *Microgaster vulcana* sp. n.

(Fig. 28-30.)

♂ ♀ : noirs; pattes I et II, extrême apex des hanches, trochanters, trochantelles, fémurs (excepté l'apex), tibias (excepté le tiers apical) et l'extrême base des métatarses des pattes III, chez la ♀, chez le ♂, moitié basale des fémurs et moitié basale des tibias à l'exception de l'extrême base de ceux-ci, tegulae et base de la nervure basale, jaune-rouge testacé; article apical des tarsi II, apex des fémurs, tiers apical des tibias et tarsi des pattes III (chez le ♂, fémurs et tibias III ailleurs, noirs), brun rougeâtre: parties

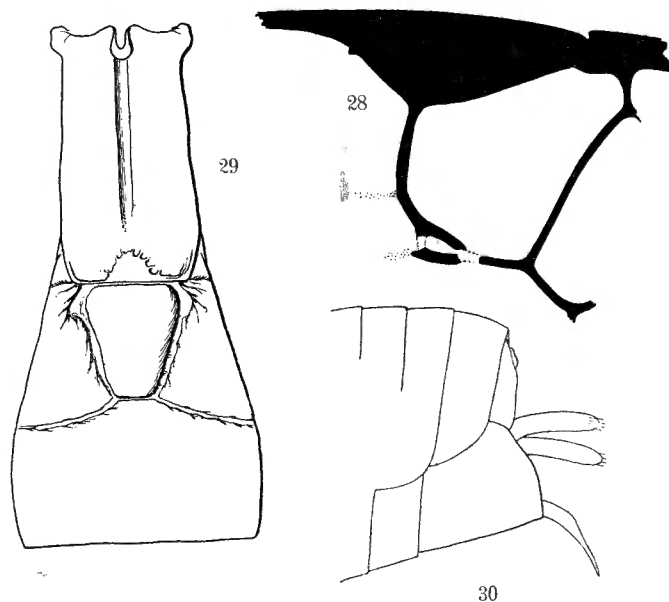
FIG. 28-30. — *Microgaster vulcana* sp. n.

FIG. 28. — Détail de la nervation de l'aile antérieure.

FIG. 29. — Détail des trois premiers tergites abdominaux.

FIG. 30. — Apex de l'abdomen.

buccales rougeâtres; palpes et éperons des tibias III, jaune testacé; bords latéraux des tergites I, II et III et parfois le tiers apical du III, sternites sauf vers l'apex de l'abdomen, rouge testacé, parfois jaune testacé, très sombres chez le ♂; ailes hyalines ou faiblement enfumées entièrement et régulièrement; stigma et nervures bruns, sauf la médiane et l'anale, incolores à la base.

♂ ♀. *Tête* : face ponctuée (degré 2-3) assez densément et superficiellement aciculée, légèrement proéminente médialement, plus aciculée chez le ♂; espace malaire fortement ponctué (degré 4); clypéus différencié de la

face; ostioles faciales plus près de l'apex du clypéus que des yeux; vertex, occiput et tempes, très faiblement ponctués, virtuellement lisses (un peu plus fortement ponctués chez le ♂); espace oculo-ocellaire un tiers plus long que la distance qui sépare les ocelles postérieurs (6 : 8); 1<sup>er</sup> article du flagellum 4 fois (16 : 4), les articles préapicaux 2,5 fois plus longs que larges, ceux-ci à peine plus minces que les basilaires chez la ♀; articles du flagellum du ♂ légèrement comprimés, le 1<sup>er</sup> 2,8 fois plus long que large (14 : 5), les préapicaux 3 fois.

*Thorax* : mésonotum fortement ponctué (degré 5), ponctuation assez régulière, les pointillés séparés par un peu moins que leur propre diamètre, excepté le long des lignes des notaulices où ils sont presque contigus, les intervalles marqués par une petite aciculation moins apparente chez le ♂; sillon présutellaire large, divisé irrégulièrement par quelques fortes carènes; disque du scutellum convexe, bordé à l'apex, avec une ponctuation de même intensité que le mésonotum, peut-être un peu moins serrée; mésopleures avec une forte ponctuation bien séparée, à l'exception d'une grande aire médiane lisse; partie antérieure des métapleures lisse; propodeum divisé par une carène longitudinale médiane assez faible, plus ou moins crénelée sur ses bords latéraux principalement vers l'apex, tégument lisse près de la base, densément ponctué ailleurs.

*Ailes* (fig. 28) : 1<sup>re</sup> abcisse de la radiale à peine plus longue que la largeur du stigma, formant un léger coude avec la 1<sup>re</sup> transverso-cubitale, sans tronçon à leur point de jonction; la deuxième de ces nervures un peu plus courte que la première et faiblement sinuée, recevant la 2<sup>e</sup> transverso-cubitale courte et à peine distincte, un peu au delà de son milieu; partie apicale de la 1<sup>re</sup> abcisse de la cubitale à peine plus courte que la récurrente; le point de jonction abcisses cubitales I, II et 1<sup>re</sup> transverso-cubitale, fenestré; stigma plus court que le métacarpe.

*Pattes III* : hanches fortement et irrégulièrement ponctuées, plus éparpillées sur la face externe où elles présentent une petite ponctuation secondaire dans les intervalles; ponctuation des fémurs petite, les pointillés reliés entre eux par un réseau d'acicules. Proportions : hanches, 22/40; fémurs, 13/40; tibias, 9/52; tarses : I, 28; II, 12; III, 11; IV, 8; V, 8; le plus long éperon des tibias les 5/7 et le plus court presque les 2/7 de la longueur des métatarses.

*Abdomen* (fig. 29) : tergite I, 2,5 fois plus long que sa largeur apicale, celle-ci à peine plus étroite que la largeur basale et 2 fois sa plus grande largeur (25 : 10 : 11 : 12,5), ses bords latéraux faiblement divergents jusqu'au 1/4 apical, ensuite légèrement incurvés vers l'apex, ce dernier est droit, ses angles un peu arrondis; ce tergite est entièrement lisse et brillant dans les 3/4 basilaires, brillant et réticulé dans le 1/4 apical, au milieu à l'apex il porte un petit tubercule lisse et brillant auquel aboutit un profond sillon longitudinal médian, également un peu réticulé dans le 1/4 apical, lisse

ailleurs; tergite II marqué de deux forts sillons convergents, plus ou moins lisses, délimitant une aire médiane lisse, cintrée au milieu (chez le ♂, les sillons discaux sont droits), latéralement le tégument est lisse et porte quelques fines soies, sa longueur médiane égale à la largeur apicale du I, aire médiane plus étroite à la base que cette largeur; 2° suture bien marquée, latéralement inclinée vers l'arrière, moins fortement chez le ♂; tergite III, 1,3 fois plus long que le II (13 : 10), brillant et portant comme les suivants l'habituelle petite ponctuation sétigère, localisée latéralement, la partie médiane, subtriangulaire et lisse, est faiblement en relief; apex de l'hypopygium à angle droit (fig. 30); valves de la tarière courtes, sans appendice, mais portant quatre soies apicales incolores.

Longueur : 3 mm.

DISTRIBUTION GÉOGRAPHIQUE : Vers Rweru, volcan Mikeno, forêt de Bambous (alt. 2.400 m., 15.VI.1935), holotype ♀; lac Gando, volcan Karisimbi, Ruanda (alt. 2.400 m., 9.III.1935); Burunga, Mokoto (alt. 2.000 m., 15-16.III.1934), allotype ♂; 6 exemplaires : 3 ♂♂, 3 ♀♀.

AFFINITÉS : *M. vulcana* se place dans la clef de WILKINSON (1929) en même temps que l'espèce australienne *M. perniciosa* WILKN., dont, entre autres caractères, il se différencie plus particulièrement par les sillons du 2° tergite abdominal.

#### 16. — *Microgaster pluto* sp. n.

(Fig. 31-32.)

♂ ♀ : coloration semblable à celle de *M. vulcana*, sauf que l'enfumure apicale des fémurs et des tibias III est un peu plus faible et qu'il n'existe pas de bande apicale rouge testacé au tergite III. Les autres caractères par lesquels cette espèce se sépare de *M. vulcana* sont les suivants : espace oculo-ocellaire égal à la distance séparant les ocelles postérieurs; antennes de la ♀ plus grêles et un peu comprimées comme celles du ♂; un peu plus fortes chez celui-ci; ponctuation du propodeum beaucoup plus faible, superficielle parfois presque absente dans la partie médiane, tégument ruguleux latéralement; tergite I un peu plus étroit à l'apex qu'à la base, ses bords latéraux faiblement convergents jusqu'au 1/4 apical, un peu plus fortement ensuite jusqu'à l'apex à peine émarginé, à angles apicaux arrondis; aire médiane en relief du tergite II plus étroite, plus ou moins semi-ovale ou fusiforme, délimitée par des sillons beaucoup plus superficiels que les basilaires, qui sont courts, divergents et plus distincts que chez *M. vulcana*, de chaque côté de cette aire, le tégument est vaguement sculpté; longueur médiane du tergite II, 1,5 fois plus longue que la largeur apicale du I et égale à la longueur du III (12 : 8 : 12) (fig. 31). Chez le ♂, le tergite I est un peu plus étroit que chez la ♀, le II est, par suite, un peu plus long que sa largeur apicale et égal au III; valves de la tarière avec un appendice (fig. 32).

Longueur : 3 mm.

DISTRIBUTION GÉOGRAPHIQUE : Rweru, volcan Mikeno, forêt de Bambous (alt. 2.400 m., 26-27.VII.1934), holotype ♀ et 2 paratypes ♂♂; lac Gando, volcan Karisimbi, Ruanda (alt. 2.400 m., 9.III.1935), allotype ♂; Burunga,

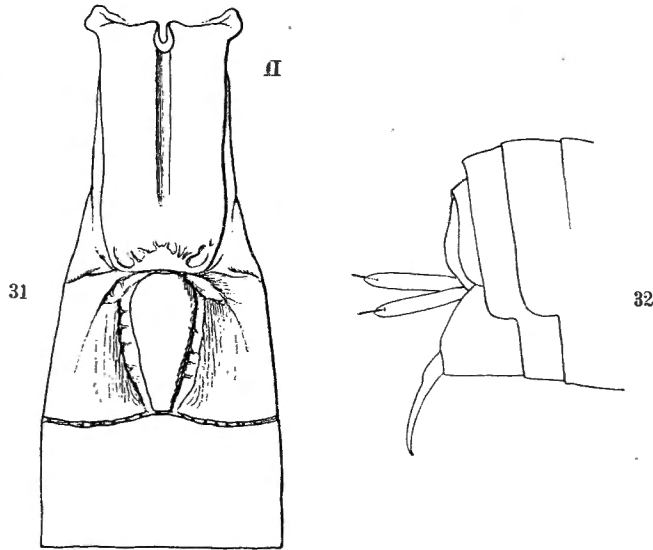


FIG. 31-32. — *Microgaster pluto* sp. n.

FIG. 31. — Détail des trois premiers tergites abdominaux.

FIG. 32. — Apex de l'abdomen.

Mokoto (alt. 2.000 m., 17-19.III.1934); vers Rweru, volcan Mikeno, forêt de Bambous (alt. 2.400 m., 12.VII.1934); lac Gando, au pied du volcan Karisimbi, Ruanda (alt. 2.400 m., 8.III. 1935); 9 exemplaires : 6 ♂♂, 3 ♀♀ :

#### Sous-groupe spécifique FASCIIPENNIS.

Premier tergite abdominal ressemblant à celui des espèces du groupe précédent, toujours plus long que 1,5 fois sa plus grande largeur, faiblement recourbé, à bords latéraux plus ou moins parallèles, incurvés près de l'apex, divisé sur presque toute sa longueur par un sillon lisse bien marqué, sculpté seulement sur des parties latérales convexes localisées au tiers ou au quart apical, lisse ailleurs; 2<sup>e</sup> tergite plus ou moins de la longueur du 3<sup>e</sup>, lisse, à l'exception de deux courts sillons basilaires divergents; 2<sup>e</sup> suture habituellement fine, droite ou légèrement arquée; mésonotum et disque du scutellum à forte ponctuation accompagnée d'une petite aculation intervallaire; ce dernier assez convexe, plus ou moins excavé en auget et bordé à l'apex; propodeum orné d'une carène longitudinale médiane; hanches et fémurs postérieurs fortement ponctués; valves de la tarière courtes, pourvues ou non d'un appendice préapical.

17. — *Microgaster palpicolor* sp. n.

(Fig. 33-37.)

♀ : noire; pièces buccales brun rougeâtre ainsi que les deux articles basilaires des palpes maxillaires, tous les trochanters et les fémurs II (sauf ces derniers à l'apex); palpes labiaux brun rougeâtre clair; pattes I et II ailleurs y compris les éperons, excepté les hanches et l'article apical des tarses (ces derniers sont assombris), extrême base des fémurs (parfois), un anneau dans le tiers basal des tibias (celui-ci un peu plus pâle) et extrême base des métatarses des pattes III, sternites de la base et apex des valves de la tarière, rouge testacé foncé; bords latéraux membraneux des tergites I et II et la base des bords latéraux du III, jaune testacé sale, ainsi qu'une bande transversale occupant environ le 1/3 apical du III, ces parties sont parfois très sombres, à peine différenciées de la coloration du tergite; tarses III ailleurs et éperons des tibias III, brun à noirâtre; antennes brunes à peine plus claires à la base; ailes hyalines enfumées apicalement. l'enfumure comprenant la cellule radiale un peu au delà de sa moitié, plus de la moitié de la 3<sup>e</sup> cellule cubitale et le 1/3 distal de la 2<sup>e</sup> cellule discoïdale.

♀. *Tête* : face étroitement ponctuée (degré 5); clypéus différencié de la face; ostioles faciales un peu plus près de l'apex du clypéus que des yeux; vertex et occiput plus faiblement ponctués que la face, presque aussi fortement latéralement; espace oculo-ocellaire égal à la distance qui sépare les ocelles postérieurs; antennes plus longues que le corps; 1<sup>er</sup> article du flagellum 3,5 fois plus long que large, articles XIV, XV et XVI respectivement 2,2, 2,66 et 3,3 fois plus longs que larges (fig. 33).

*Thorax* : mésonotum rugueux à ponctuation forte et contiguë (degré 5), aciculation intervallaire, par suite, indistincte ou inexistante; sillon préscutellairé droit, peu crénelé; disque du scutellum ponctué comme le mésonotum, à apex bordé; mésopleures fortement ponctués sauf l'habituelle aire médiane lisse, cochléar superficiel; métapleures lisses antérieurement, ponctués ailleurs; propodeum brillant, divisé par une carène longitudinale complète, ailleurs marqué d'une forte ponctuation alvéolariforme et de quelques carènes secondaires irrégulières près des carènes latérale et apicale.

*Ailes* (fig. 34) : 1<sup>re</sup> abcisse de la radiale environ égale à la largeur du stigma et distinctement plus longue que la 1<sup>re</sup> transverso-cubitale, leur point de jonction portant un tronçon pigmenté court de la 2<sup>e</sup> abcisse de la radiale; 1<sup>re</sup> transverso-cubitale sinuée et recevant la 2<sup>e</sup>, punctiforme, au milieu; partie pigmentée de la partie apicale de la 1<sup>re</sup> abcisse de la cubitale égale à la récurrente; point de jonction abcisses cubitales I et II et 1<sup>re</sup> transverso-cubitale, fenestré; stigma plus court que le métacarpé.

*Pattes III* : hanches ponctuées en dessus à peu près comme le mésonotum, sur la face externe la ponctuation est plus petite et plus espacée, accompagnée d'une ponctuation secondaire dans les intervalles, la moitié distale

est franchement rugueuse; fémurs fortement ponctués. Proportions : hanches, 24/40; fémurs, 14/50; tibias, 10/54; tarsi : I, 28; II, 12; III, 10; IV, 8; V, 8; le plus long éperon des tibias 1,55 fois plus long et le plus court la moitié de la longueur des métatarses.

*Abdomen* (fig. 35) : tergite I, deux fois plus long que large à l'apex, ses bords latéraux parallèles jusqu'au 1/3 apical où ils s'évasent légèrement

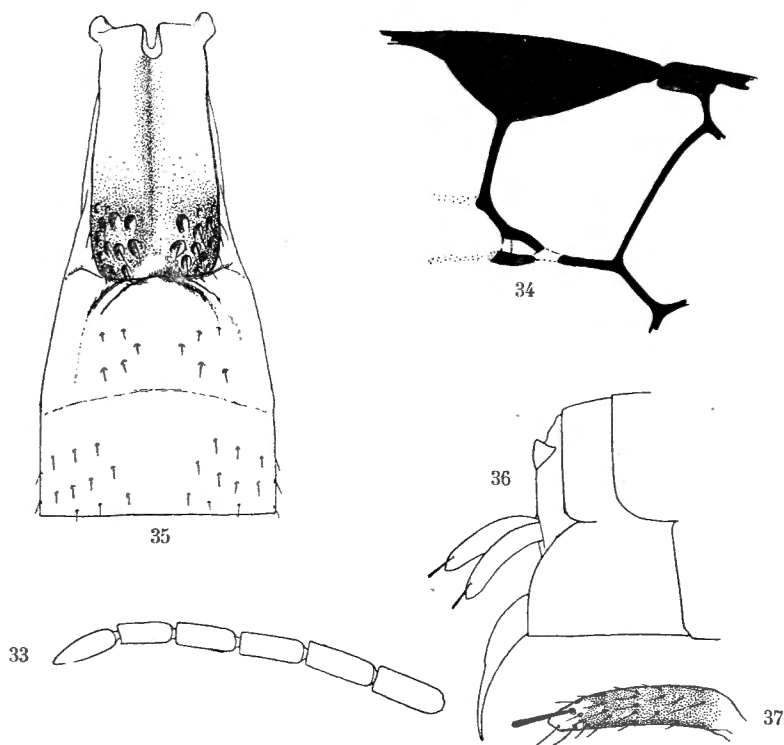


FIG. 33-37. — *Microgaster palpicolor* sp. n. ♀.

FIG. 33. — Sommet de l'antenne. FIG. 34. — Détail de la nervation de l'aile antérieure.

FIG. 35. — Détail des trois premiers tergites abdominaux.

FIG. 36. — Apex de l'abdomen.

FIG. 37. — Valve de la tarière.

pour s'incurver ensuite vers l'apex, le tergite est, par suite, un peu plus étroit à la base qu'à l'apex (22 : 11 : 9), lisse et brillant dans les 2/3 basilaire, éparsement et grossièrement ponctué avec quelques soies dans le 1/3 apical où il est proéminent, divisé depuis la base par un fort sillon longitudinal médian disparaissant au 1/4 apical, bordé latéralement par un sillon faiblement crénelé dans la 1/2 apicale, l'apex orné au milieu d'un petit tubercule irrégulier, lisse et brillant; longueur médiane du tergite II égale à la largeur apicale du I, brillant, portant quelques imperceptibles pointillés sétigères à soies courtes et deux sillons basilaire, courts et large-

ment divergents; 2<sup>e</sup> suture faiblement marquée et légèrement arquée; tergite III à peine plus long que le II, brillant et portant comme les suivants la petite ponctuation habituelle; apex de l'hypopygium à angle droit; valves de la tarière courtes, à appendice long environ égal au 1/3 de la longueur des valves (fig. 36-37).

Longueur : 2,5 à 3 mm., ♂, inconnu.

DISTRIBUTION GÉOGRAPHIQUE : Rutshuru, riv. Musugereza (alt. 1.100 m., 10.VII.1935), holotype ♀ et paratypes; Rutshuru, riv. Kanzarue (1.200 m., 15.VII.1935); Rutshuru, riv. Fuku (alt. 1.250 m., 2.VII.1935); Rutshuru (alt. 1.285 m., 3.VII.1935); 7 exemplaires.

AFFINITÉS : Cette espèce diffère de *M. carina* WILKN. par les ocelles équidistants entre eux et les yeux, les valves de la tarière avec appendice, la coloration des palpes, tibias et éperons et la présence d'une bande claire à l'apex du tergite III; de *M. fasciipennis* GAHAN, par les ocelles, la longueur de la 1<sup>re</sup> abcisse de la radiale et les caractères de coloration; de *M. persimilis* WILKN., par les mêmes caractères que *M. carina* sauf les appendices aux valves de la tarière. Elle présente une étroite affinité avec *M. turneri* WILKN., dont elle se distingue par l'enfumure des ailes.

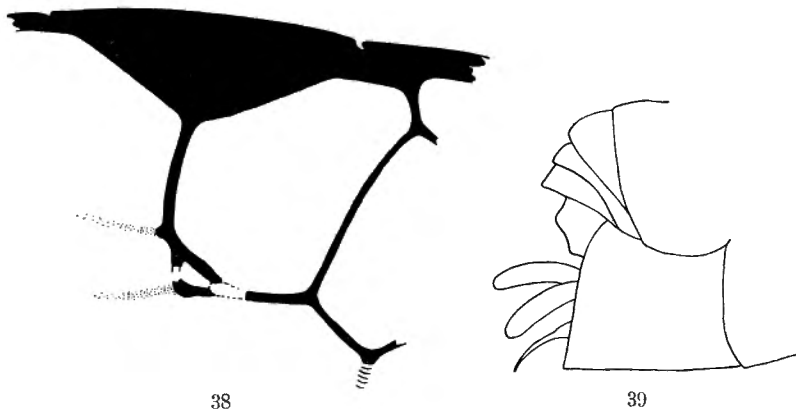


FIG. 38-39. — *Microgaster anandra* sp. n. ♀.

FIG. 38. — Détail de la nervation de l'aile antérieure. FIG. 39. — Apex de l'abdomen.

18. — *Microgaster anandra* sp. n.

(Fig. 38-39.)

♀ : semblable à *M. coxalis*, en diffère seulement par les caractères suivants :

Hanches I et II rouge sombre, virtuellement noires; 1<sup>re</sup> abcisse de la radiale environ égale à la largeur du stigma (fig. 38); 1<sup>re</sup> transverso-cubitale égale aux 2/3 de cette largeur et recevant la 2<sup>e</sup> transverso-cubitale au delà du milieu; enfumure apicale des ailes I faible; éperons des tibias jaune

testacé; métatarses III, 1,65 fois plus longs que l'éperon interne des tibias III; valves de la tarière sans appendice; apex de l'hypopygium presque à angle droit (fig. 39).

Longueur : 3,25 mm.; ♂, inconnu.

DISTRIBUTION GÉOGRAPHIQUE : Ngesho (alt. 2.000 m., 3-6.IV.1934); 1 exemplaire holotype.

[*Microgaster turneri* WILKINSON.]

*Microgaster turneri* WILKINSON, Trans. Ent. Soc. Lond., LXXVII, 1929, p. 113, ♂ ♀.

DISTRIBUTION GÉOGRAPHIQUE : Afrique du Sud (province du Cap). *Hôte et cocon*, inconnus.

[V. — *Microgaster earina* WILKINSON.]

*Microgaster earina* WILKINSON, Trans. Ent. Soc. Lond., LXXVII, 1929, p. 115, ♂ ♀; DE SAEGER, Rev. Zool. Bot. afr., XXXV, 1942, p. 339.

BIOGÉOGRAPHIE : Nigeria, parasite probablement *Earias biplaga* WLK. (Noctuidae); Congo Belge : Nyangwe (Maniema), parasite de *Earias biplaga* WLK.; Rutshuru (Kivu), obtenu en même temps que *Apanteles diparopsidis* LYLE et renseigné « ex capsules de *Hibiscus rostellatus* avec *Earias* sp., *Platyedra cunctatrix* MEYR., *Dichocrocis surusalis* WLK., etc. ».

*Cocons* : blancs ou chamois clair, solitaires.

19. — *Microgaster fasciipennis* GAHAN.

*Microgaster fasciipennis* GAHAN, Proc. U. S. Nat. Mus., liv. n° 2252, 1918, p. 587, ♂ ♀; WILKINSON, Trans. Ent. Soc. Lond., LXXVII, 1929, p. 116; DE SAEGER, Rev. Zool. Bot. afr., XXXV, 1942, p. 339.

BIOGÉOGRAPHIE : Kampala (Uganda), parasite de *Deilemeria apicalis* WLK. (Hipsidae), cocons blancs, arrangés côte à côte en une masse compacte comme les cellules d'une ruche; Congo Belge : Benza Mazola (Bas-Congo); Bambesa (Uele); Eala (Équateur); les spécimens originaux de cette dernière localité sont étiquetés « ex chenilles de bollworm », probablement *Earias* sp., ceux de Bambesa porte seulement la mention « sur Ricin ». Une série en provenance d'Eala est accompagnée de deux échantillons de cocons, ceux-ci sont régulièrement agglomérés en grand nombre et juxtaposés côte à côte, les orifices de sortie situés irrégulièrement sur l'une ou l'autre face de cette sorte de gâteau; ces cocons sont jaune soufre avec un léger duvet blanchâtre les réunissant; chaque spécimen de la série de Bambesa est accompagné d'un cocon isolé paraissant un peu plus grand que les précédents, de texture

plus papyracée et de couleur chair. Il est très probable qu'il s'agit de deux espèces différentes.

Coll. DE WITTE : Rutshuru, riv. Fuku (alt. 1.250 m., 4.VII.1935); 2 exemplaires ♂♂.

[*Microgaster persimilis* WILKINSON.]

*Microgaster persimilis* WILKINSON, Trans. Ent. Soc. Lond., LXXVII, 1929, p. 118, ♂♀.

DISTRIBUTION GÉOGRAPHIQUE : Kampala (Uganda). *Hôte* : inconnu. *Cocons* : ressemblant à ceux de *M. fasciipennis* mais leur couleur est chamois très pâle.

20. — *Microgaster coxalis* sp. n.

(Fig. 40-42.)

Semblable aux caractères décrits de *M. palpicolor* à l'exception des suivants :

♀ : hanches I et II excepté un peu à la base, le restant des pattes I et II, trochanters, trochantelles et une trace en-dessous à la base des fémurs des pattes III, rouge testacé; palpes (sauf l'article basal des palpes maxillaires et anneau basal des tibias III, jaune testacé; fémurs II assombris sauf un peu à l'apex; scapes rougeâtres; flagellum et tarses III, brun rougeâtre, le flagellum à peine plus clair à la base; article basal des palpes maxillaires brun.

♀ : ponctuation de la face, du mésonotum et du disque du scutellum un peu moins dense que chez *M. palpicolor*, par suite, la petite aciculation intervallaire du mésonotum est plus apparente; espace oculo-ocellaire un peu plus court que la distance séparant les ocelles postérieurs; ostioles faciales distinctement plus près de l'apex du clypéus que des yeux; 1<sup>er</sup> article du flagellum 3,5 fois plus long que large (fig. 40-41); nervation alaire identique, sinon que la 1<sup>re</sup> transverso-cubitale est plus droite et la 2<sup>e</sup> oblique (fig. 42); proportions des pattes III : hanches, 30/50; fémurs, 16/58; tibias, 12/60; tarses : I, 36; II, 23; III, 11; IV, 8; V, 8; les métatarses sont donc 1,66 fois plus longs que les tibias, contre 1,9 chez *M. palpicolor* et 1,44 fois plus longs que le plus long éperon des tibias, contre 1,55 fois.

♂ : ne diffère de la ♀ que par les caractères suivants :

Scapes et pédicelles plus clairs; ailes I entièrement et faiblement enfumées un peu plus fortement à l'apex; bords membraneux des tergites I et II, sombres; espace oculo-ocellaire égal à la distance qui sépare les ocelles postérieurs; 1<sup>er</sup> article du flagellum 3 fois plus long que large; tergite I plus court, sa longueur médiane 1,8 fois sa largeur apicale qui est à peine plus large que la base (20 : 11 : 10).

Longueurs : ♂, 2,8 à 3,2 mm.; ♀, 3,5 mm.

DISTRIBUTION GÉOGRAPHIQUE : Rutshuru (alt. 1.285 m., 29-31.V.1935), holotype ♀ et allotype ♂; volcan Nyamuragira (alt. 1.820 m., 14-26.VI.1935);

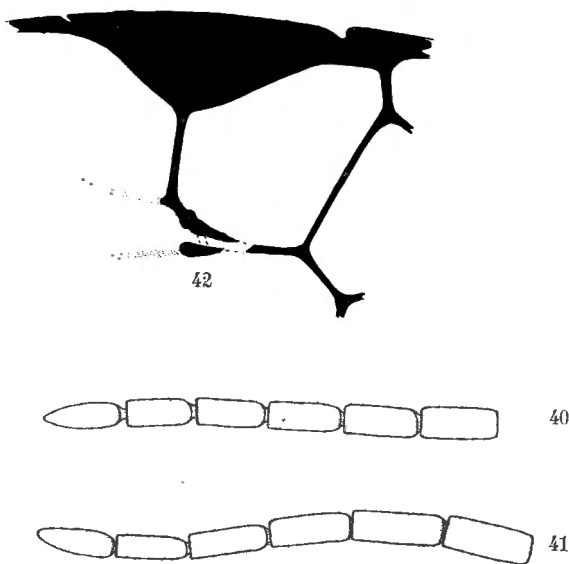


FIG. 40-42. — *Microgaster coxalis* sp. n.

FIG. 40. — Sommet de l'antenne ♀. FIG. 41. — Sommet de l'antenne ♂.  
FIG. 42. — Détail de la nervation de l'aile antérieure.

Burunga, Mokoto (alt. 2.000 m., 15-16.III.1934); Ngesho (alt. 2.000 m., 3-6.IV.1934); lac Kivu : Nzulu (alt. 1.500 m., 6-7.II.1934); Rutshuru (alt. 1.285 m., 1-6.VI.1935, 7.VI.1935); 8 exemplaires : 6 ♂♂, 2 ♀♀.

21. — ***Microgaster semirufa*** sp. n.

(Fig. 43-44.)

♀ : noire; pattes I excepté les hanches, trochanters, trochantelles, faiblement l'apex des fémurs, tibias et tarses des pattes II, trochanters, trochantelles et une trace à la partie inférieure à la base des fémurs ainsi qu'un anneau occupant environ la moitié basale des tibias et base des métatarses des pattes III; tergites II et III (sauf parfois l'aire entre les sillons du II brunâtre), sternites de la base ainsi que les bords membraneux de I et II, rouge testacé; parties buccales et scapes, rouge testacé, plus foncé que les pattes; hanches I et II noirâtres sur la base, à tendance au rouge testacé à l'apex; flagellum brun rougeâtre; palpes et éperons des tibias III un peu rougeâtres; ailes hyalines avec une enfumure distale comprenant environ la 1/2 de la cellule radiale, près des 2/3 de la 3<sup>e</sup> cellule cubitale et le 1/3 distal de la 2<sup>e</sup> discoïdale.

♀ : semblable à *M. palpicolor*, excepté :

Espace oculo-ocellaire à peine plus long que la distance séparant les ocelles postérieurs (7 : 6); 1<sup>er</sup> article du flagellum 3 fois plus long que large, articles préapicaux environ 2,66 fois; mésonotum moins densément ponctué mais presque aussi fortement que *M. palpicolor* le long des lignes des notaulices; disque du scutellum également moins densément ponctué; propodeum à carène longitudinale médiane fortement crénelée de part et d'autre, ponctué et grossièrement réticulé ailleurs; partie apicale de la 1<sup>re</sup> abcisse de la cubitale distinctement plus courte que la récurrente (fig. 43); hanches un peu

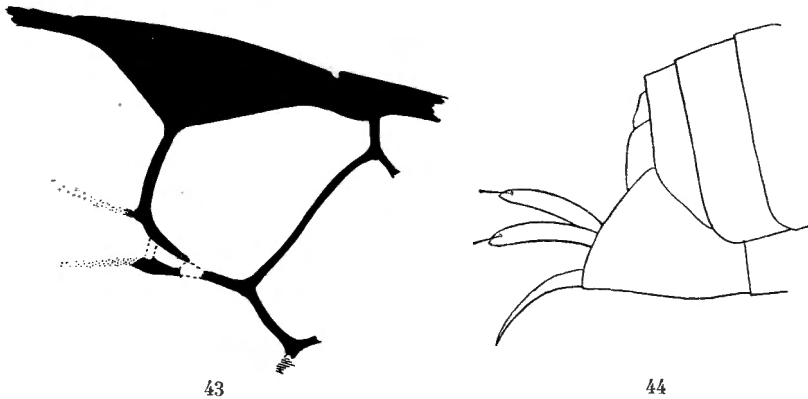


FIG. 43-44. — *Microgaster semirufa* sp. n. ♀.

FIG. 43. — Détail de la nervation de l'aile antérieure. FIG. 44. — Apex de l'abdomen.

plus petites, 22/36 contre 24/40; tergite I plus étroit, sa largeur apicale légèrement moindre que la 1/2 de sa longueur médiane (22 : 9), tergite II, 1/3 plus long au milieu que cette largeur et tergite III, un peu plus long que le II (12 : 9 : 14); apex de l'hypopygium formant un angle aigu, valves de la tarière semblables à celles de *M. palpicolor*, peut-être un peu plus grêles (fig. 44).

Longueur : 3 mm.; ♂, inconnu.

DISTRIBUTION GÉOGRAPHIQUE : Rutshuru, riv. Musugereza (alt. 1.000 m., 8.VII.1935), holotype; Rutshuru, riv. Kanzarue (alt. 1.200 m., 16.VII.1935); Ruhengeri, riv. Penge (alt. 1.800 m., 30-31.VII.1934); 4 exemplaires.

Il y a lieu de remarquer la localisation, de cette espèce, près des rivières, dans trois stations différentes. Elle est probablement inféodée à un hôte appartenant à la faunule ripicole.

AFFINITÉS : Cette espèce se sépare de *M. palpicolor*, essentiellement par la couleur des hanches, des palpes et éperons des tibias III, de la coloration abdominale et par la plus forte sculpture du propodeum.

## Sous-groupe BASIMACULA.

Ce sous-groupe est principalement caractérisé par l'aspect tout à fait particulier des trois premiers tergites abdominaux. Cette conformation se rapporte tellement peu aux caractères habituels des *Microgaster* qu'on pourrait presque considérer cette forme comme appartenant à un genre différent. En réalité plusieurs autres caractères la rattachent bien à ce genre et ce n'est que par leur biologie qu'elle pourrait en être éventuellement séparée.

Trois sous-premiers tergites abdominaux fortement chitinisés, le premier fortement recourbé dans la moitié apicale, à bords latéraux droits et divergents, divisé médialement par un sillon longitudinal occupant généralement toute sa longueur, parties latérales plus ou moins convexes à l'apex et fortement sculptées; 1<sup>re</sup> suture paraissant flexible, droite ou à peine échancrée; 2<sup>e</sup> tergite marqué d'une aire médiane de proportions variables, lisse ou striée, plus ou moins fortement délimitée par des sillons habituellement crénelés, les bords latéraux extrêmes du tergite, limités par une étroite carène lisse, qui s'élargit antérieurement, arrondissant les angles latéraux des parties latérales, celles-ci toujours assez fortement sculptées; 2<sup>e</sup> suture toujours forte, crénelée, en arc de cercle vers la partie postérieure, en sorte que les parties latérales du 2<sup>e</sup> tergite sont plus fortement arrondies postérieurement qu'antérieurement; 3<sup>e</sup> tergite à angles apicaux largement arrondis, à apex droit ou légèrement échancré, ordinairement proéminent médialement, l'aire ainsi formée subtriangulaire, plus ou moins allongée, pas ou faiblement bordée, lisse ou très peu sculptée, parties latérales du 3<sup>e</sup> tergite plus ou moins fortement striées et ponctuées partiellement ou entièrement, parfois fortement déprimé transversalement au milieu; la plus grande largeur du tergum située généralement à l'apex du 3<sup>e</sup> tergite, mais souvent, cependant, à l'apex du 2<sup>e</sup>; mésonotum et disque du scutellum fortement ponctués et présentant toujours une petite aciculation intervallaire, ce dernier très convexe à apex rebordé; carène longitudinale médiane du propodeum toujours présente; hanches postérieures très développées atteignant fréquemment les deux tiers de la longueur de l'abdomen, fortement ponctuées, comme aussi les fémurs; valves de la tarière toujours courtes, pourvues ou non d'un appendice préapical.

22. — *Microgaster glaphyra* sp. n.

(Fig. 45.)

♀ : noire; pièces buccales, tegulae, pattes I et II, éperons des tibias III, jaune-rouge testacé; extrême apex des hanches, trochanters, trochantelles, 3/4 basilaires des fémurs, un large anneau dépassant la moitié de la longueur des tibias et base des métatarses des pattes III, rouge testacé; tarsi III, brun noirâtre; tergites I et II jaune rouille, ce dernier discalement plus sombre; palpes pâles; ailes hyalines avec une faible enfumure apicale à

peine perceptible aux ailes II; stigma et nervures bruns, nervures médiane et anale décolorées à la base, la costale basalement plus claire.

♀. *Tête* : brillante, ponctuée et aciculée; face médialement un peu proéminente avec une carène longitudinale médiane à la partie supérieure; clypéus à peine différencié de la face; ostioles faciales distinctement plus près de l'apex du clypéus que des yeux; espace oculo-ocellaire égal à la distance qui sépare les ocelles postérieurs; antennes un peu plus courtes que le corps, fortement striées longitudinalement (sensilla); 1<sup>er</sup> article du flagellum 2,5 fois plus long que large (15 : 6), les articles préapicaux larges et courts, environ 1,5 fois plus longs que larges, l'article apical 2 fois.

*Thorax* : mésonotum assez brillant, à ponctuation peut-être un peu moins espacée que l'habituelle, sauf le long des lignes des notaulices, aciculation intervallaire présente; sillon préscutellaire un peu arqué, crénelé; disque du

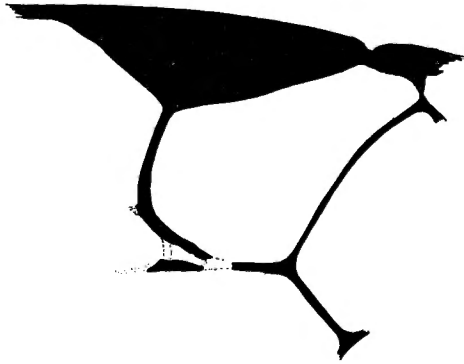


FIG. 45. — *Microgaster glaphyra* sp. n. ♀, détail de la nervation de l'aile antérieure.

scutellum ponctué comme le mésonotum, à apex non caréné; axillae lisses: mésopleures lisses et brillants discalement, fortement ponctués ailleurs, excepté postérieurement où ils sont striolés-ponctués; propodeum brillant, ponctué moins régulièrement et moins fortement que le mésonotum, à carène longitudinale médiane faiblement crénelée sur les côtés.

*Ailes* (fig. 45) : 1<sup>re</sup> abcisse de la radiale égale à la largeur du stigma et distinctement plus longue que la 1<sup>re</sup> transverso-cubitale, avec laquelle elle forme une courbe à angle obtus, leur point de jonction étant peu distinct; récurrente égale à la 1<sup>re</sup> transverso-cubitale, celle-ci reçoit la 2<sup>e</sup> transverso-cubitale, punctiforme, au milieu; point de jonction abcisses cubitales I, II et 1<sup>re</sup> transverso-cubitale, fenestré; stigma de même longueur que le métacarpe.

*Pattes III* : hanches portant une forte ponctuation assez dense sur la face supérieure à la base et une ponctuation similaire à la base de la face

externe où elle est accompagnée d'une petite ponctuation secondaire, ailleurs étroitement ponctuées, rugueuses. Proportions : hanches, 30/50; fémurs, 15/58; tibias, 12/60; tarses : I, 35; II, 15; III, 12; IV, 10; V, 9:

*Abdomen* : tergite I ponctué, parties latérales peu convexes, sa longueur médiane à peine plus longue que sa largeur apicale (28 : 35); tergite II, striolé à la base, lisse latéralement avec quelques gros pointillés superficiels, aire médiane étroite, 5,5 fois plus longue que large, délimitée par des sillons irréguliers, sa largeur apicale 1,12 fois sa largeur basale, 5,5 fois sa longueur médiane et 1,27 fois sa longueur latérale (18 : 25 : 18 : 22); tergite III caréné à la base, entièrement lisse et brillant ailleurs et dépourvu d'aire médiane, sa largeur apicale égale à sa largeur basale et 1,33 fois sa longueur médiane (28 : 23 : 21); tergites suivants avec l'habituelle petite ponctuation; valves de la tarière courtes, à appendice sétiforme environ 4 fois plus petit que la longueur des valves.

Longueur : 3,5 mm.; ♂, inconnu.

DISTRIBUTION GÉOGRAPHIQUE : Rweru, volcan Mikeno, forêt de Bambous (alt. 2.400 m., 26-27.VII.1934); 1 exemplaire holotype ♀.

### 23. — *Microgaster agama* sp. n.

(Fig. 46.)

♂ : noir; antennes, hanches I et II, brun noirâtre; pièces buccales et palpes maxillaires bruns, excepté le pénultième article de ceux-ci qui est plus clair; pattes I et II, brun rougeâtre, tarses plus foncés apicalement; base des fémurs et anneau dans le tiers basal des tibias des pattes III, tergites I et II, rouge testacé; ailes hyalines, enfumées légèrement à l'apex, enfumure peu distincte aux ailes II; nervation brune, nervures médiane et anale pâles ainsi que la 1<sup>re</sup> abcisse de la cubitale, celle-ci partiellement.

♂. *Tête* : face ponctuée et aciculée; clypéus non différencié; ostioles faciales à peine plus près de l'apex du clypéus que des yeux; ocelles postérieurs beaucoup plus rapprochés des yeux que l'un de l'autre; antennes épaisses légèrement comprimées, les articles du flagellum, en moyenne, trois fois plus longs que larges.

*Thorax* : mésonotum ponctué comme le type du groupe, ponctuation plus dense le long des lignes des notaulices et sur une ligne médiane; sillon pré-scutellaire large et crénelé; disque du scutellum ponctué comme le mésonotum, à apex bordé; propodeum brillant, portant une ponctuation dense et plus grossière que celle du mésonotum, orné de l'habituelle carène longitudinale médiane et caréné latéralement; mésopleures fortement ponctués, excepté une aire médiane lisse et brillante.

*Ailes* (fig. 46) : largeur du stigma et longueur de la 1<sup>re</sup> transverso-cubitale égales, un peu plus longues que la 1<sup>re</sup> abcisse de la radiale, celle-ci est très oblique par rapport au stigma et forme un angle aigu avec la 1<sup>re</sup> transverso-

cubitale, celle-ci droite, reçoit la 2<sup>e</sup> transverso-cubitale au milieu; partie apicale pigmentée de la 1<sup>re</sup> abcisse de la cubitale courte, faiblement pigmentée à hyaline distalement; récurrente un peu plus courte que la 1<sup>re</sup> abcisse de la radiale; stigma égal à la longueur du métacarpe.

*Pattes III* : hanches rugueuses à ponctuation dense. Proportions : hanches. 30/50; fémurs, 15/58; tibias, 12/66; tarses (absents).

*Abdomen* : tergite I fortement ponctué, à sillon médian crénelé, sa longueur médiane à peine plus grande que sa largeur apicale (32 : 30); tergite II

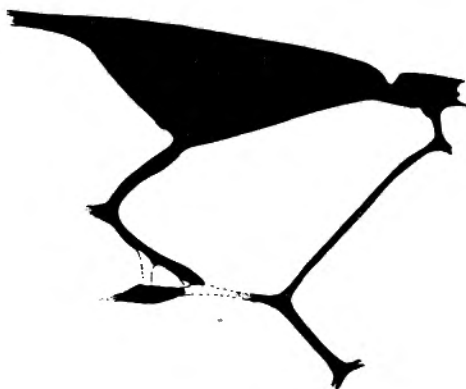


FIG. 46. — *Microgaster agama* sp. n. ♂, détail de la nervation des ailes antérieures.

sculpté comme le I, mais à ponctuation plus distincte, excepté l'aire longitudinale médiane qui est lisse et brillante, à bords parallèles et 3,66 fois plus longue que large, la longueur médiane du tergite égale à sa largeur basale, sa largeur apicale 1,54 fois plus longue que cette dernière (22 : 22 : 34); tergite III strié par des carènes longitudinales s'atténuant vers le milieu et grossièrement ponctué jusqu'au bord postérieur, sa longueur médiane 1,2 fois plus courte que ses largeurs basale et apicale (34 : 28 : 28).

Longueur : 3,5 mm.; ♀, inconnue.

DISTRIBUTION GÉOGRAPHIQUE : Tshengelero, près de Munagana (alt. 1.750 m., 21.VIII.1934); 1 exemplaire.

[VI. — **Microgaster basimacula** (CAMERON).]

*Apanteles basimacula* CAMERON, Rec. Albany Mus., I, f. 3, 1904, p. 173, ♂ ♀.  
*Microgaster basimacula* (CAM.) WILKINSON, Trans. Ent. Soc. Lond., LXXVII, 1929, p. 101.

DISTRIBUTION GÉOGRAPHIQUE : Afrique du Sud. *Hôte* et *cocon*, inconnus.

24. — *Microgaster neglecta* sp. n.

(Fig. 47-50.)

♂ ♀ : noirs; scapes antérieurement, pattes I et II entièrement, 1/3 apical ou seulement l'apex des hanches, trochanters, trochantelles, base des fémurs, anneau dans la 1/2 basale des tibias, éperons de ces derniers et base des métatarses des pattes III, jaune-rouge testacé; palpes pâles, tegulae rouge sombre

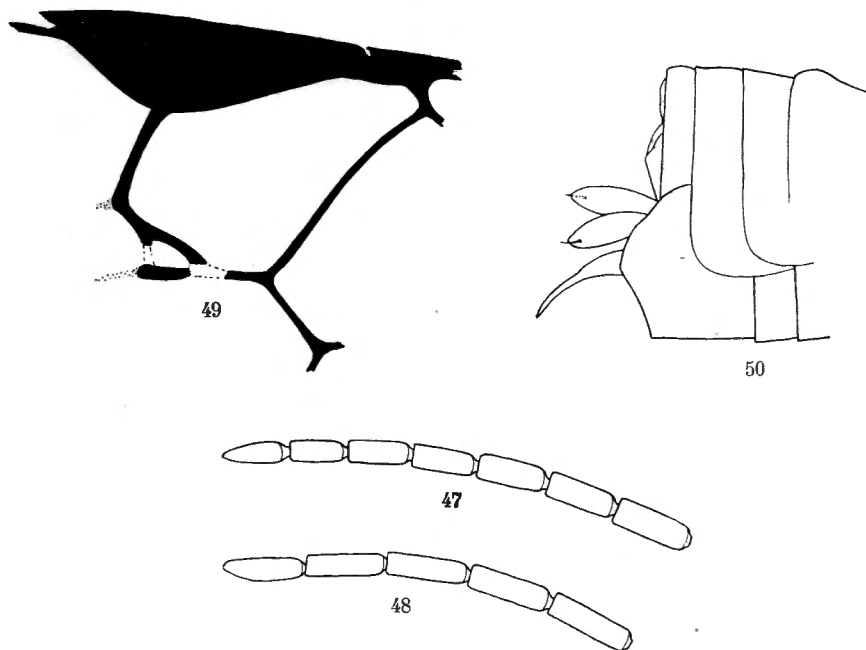
FIG. 47-50. — *Microgaster neglecta* sp. n.

FIG. 47. — Sommet de l'antenne ♀. FIG. 48. — Sommet de l'antenne ♂.

FIG. 49. — Détail de la nervation de l'aile antérieure.

FIG. 50. — Apex de l'abdomen.

à noires; tergite I, plus largement à la base et sur les côtés ou entièrement, les bords latéraux membraneux du tergite II, rougeâtre testacé sombre; tarsi III, nervures et stigma, bruns; ailes hyalines, enfumées distalement.

♂ ♀. *Tête* : face ponctuée et aciculée; clypéus faiblement différencié; ostioles faciales à égale distance de l'apex du clypéus et des yeux; vertex et occiput petitement ponctués et aciculés; ocelles postérieurs plus près l'un de l'autre que des yeux; 1<sup>er</sup> article du flagellum 3,75 fois plus long que large et les articles préapicaux 3 fois chez la ♀, respectivement 3 fois et 3,5 fois chez le ♂ (fig. 47-48).

*Thorax* : ponctuation habituelle (sous-groupe) du mésonotum et du disque du scutellum, rugueuse le long des notaulices; mésopleures forte-

ment ponctués-réticulés dans l'angle huméral, à petite ponctuation espacée dans le cochléar, lisses ailleurs; métapleures lisses antérieurement; propodeum divisé par une forte carène longitudinale médiane crénelée, à tégument grossièrement ponctué, sauf près de l'apex où il est lisse.

*Ailes* (fig. 49) : 1<sup>re</sup> abcisse de la radiale un peu plus longue que la largeur du stigma, égale à la 1<sup>re</sup> transverso-cubitale et faisant avec celle-ci un angle presque droit, cette dernière est faiblement sinuée et reçoit la 2<sup>e</sup> transverso-cubitale un peu au delà de son milieu; récurrente 2 fois plus longue que la partie pigmentée de la 1<sup>re</sup> abcisse de la cubitale; stigma et métacarpe d'égale longueur.

*Pattes III* : hanches rugueuses, seule une petite aire, sur la partie supérieure à la base, présente une ponctuation plus éparse, accompagnée d'une petite ponctuation secondaire; fémurs petitement et étroitement ponctués-aciculés. Proportions : hanches, 34/56; fémurs, 17/60; tibias, 13/70; tarses : I, 38; II, 16; III, 12; IV, 10; V, 9; le plus long éperon des tibias environ les 6/7 et le plus court la moitié de la longueur des métatarses.

*Abdomen* : tergite I à ponctuation forte, alvéolariforme et sillon médian profond, sa longueur médiane 1/5 plus longue que sa largeur apicale; tergite II ponctué comme le I, mais moins fortement, aire médiane étroite, à bords parallèles, sillons discaux larges et crénelés, sa longueur médiane un peu plus courte que la largeur apicale du I et à peine plus courte que la longueur médiane du III, sa longueur latérale égale à sa largeur basale et celle-ci les 5/7 de sa largeur apicale (22 : 25 : 23 : 25 : 35); tergite III fortement strié et éparsement ponctué, sauf un bord apical lisse et l'aire médiane peu proéminente, longue et étroite; hypopygium à apex recoupé; valves de la tarière courtes, à appendice sétiforme (fig. 50).

Longueur : 3,5 mm.

DISTRIBUTION GÉOGRAPHIQUE : Ruhengeri, riv. Penge, Ruanda (alt. 1.800-1.825 m., 30-31.VIII.1934), holotype ♀ et allotype ♂; Ruhengeri, source riv. Kirii, Ruanda (alt. 1.800-1.825 m., I.X.1934); Tshengelero, près de Munagana (alt. 1.750 m., 21.VIII.1934); Rutshuru (alt. 1.285 m., 1-6.VI.1935); Rutshuru, riv. Fuku (alt. 1.250 m., 6.VII.1935); Rwindi (alt. 1.000 m., 20-24 XI.1934); 17 exemplaires : 6 ♂♂, 11 ♀♀.

## 25. — *Microgaster coronata* sp. n.

(Fig. 51-53.)

♂ ♀ : noirs; pattes I et II entièrement (tibias II légèrement assombris sur la face externe et tarses un peu plus rouges), plus de la moitié apicale des hanches (1/3 apical chez le ♂), trochanters, trochantelles, extrême base des fémurs, anneau dans le 1/3 basal des tibias, éperons de ceux-ci et base des métatarses des pattes III, jaune-rouge testacé; palpes jaune testacé; apex des scapes, sternites basilaires, rouge testacé; antennes et tarses III,

rouge brunâtre; ailes I un peu jaunâtres, enfumées légèrement à l'apex, l'enfumure comprenant la 1/2 de la cellule radiale, la 3<sup>e</sup> cellule cubitale entièrement et une zone distale dans la 2<sup>e</sup> cellule discoïdale, comprise entre la base de la 3<sup>e</sup> abcisse de la cubitale et l'apex de la parallèle, en outre une bande transversale enfumée, peu distincte, va du milieu du bord postérieur

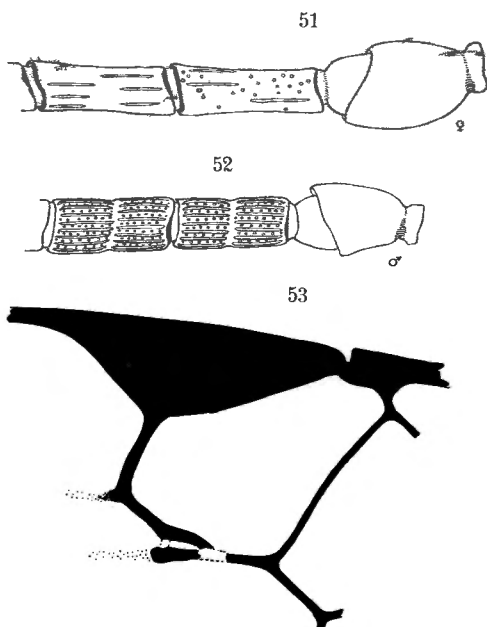


FIG. 51-53. — *Microgaster coronata* sp. n.

FIG. 51. — Base de l'antenne ♀. FIG. 52. — Base de l'antenne ♂.

FIG. 53. — Détail de la nervation des ailes antérieures.

du stigma au bord postérieur de l'aile, ailes II faiblement et régulièrement assombries vers l'apex; chez le ♂, les ailes sont régulièrement et faiblement enfumées entièrement.

♂ ♀. *Tête* : face ponctuée-aciculée, ornée d'une carène longitudinale médiane assez superficielle; clypéus à peine différencié de la face, à ponctuation plus petite et à aciculation transversale très fine; ostioles faciales plus près de l'apex du clypéus que des yeux; vertex et occiput à très petite ponctuation, bord orbital aciculé; tempes plus densément ponctuées que la face; espace oculo-ocellaire égal à la distance qui sépare les ocelles postérieurs; 1<sup>er</sup> article du flagellum trois fois plus long que large, articles préapicaux subégaux, 2,5 fois plus longs que larges, stries sensillaires espacées, la ponctuation étant plus apparente que les stries chez la ♀; le ♂ a les stries plus distinctes et plus nombreuses, articles du flagellum un peu comprimés, le 1<sup>er</sup> moins de trois fois plus long que large (fig. 51-52).

*Thorax* : ponctuation habituelle du mésonotum et du disque du scutellum, assez dense, mais un peu plus superficielle que chez les autres espèces du sous-groupe, aciculation intervallaire peu apparente, tégument à peine brillant; sillon préscutellaire droit, assez étroitement crénelé; mésopleures fortement ponctués dans l'angle huméral, faiblement ponctués et fortement aciculés dans le cochléar, lisses ailleurs; propodeum mat, divisé par l'habituelle carène longitudinale médiane, à ponctuation discale petite et superficielle, lisse ailleurs sauf quelques carènes faibles près des stigmates.

*Ailes* (fig. 53) : 1<sup>re</sup> abscisse de la radiale un peu plus courte que la largeur du stigma et distinctement plus courte que la 1<sup>re</sup> transverso-cubitale, ces deux nervures formant entre elles un angle droit et portant un tronçon bien distinct à leur point de jonction, la 1<sup>re</sup> transverso-cubitale à peu près droite, reçoit la 2<sup>e</sup> un peu avant son milieu; partie apicale de la 1<sup>re</sup> abscisse de la cubitale égale aux 2/3 de la longueur de la récurrente; stigma plus court que le métacarpe.

*Pattes III* : hanches fortement ponctuées avec une petite ponctuation secondaire dans les intervalles, dense sur la face supérieure; fémurs petitement ponctués, les pointillés reliés par un réseau de fines aciculations. Proportions : hanches, 28/48; fémurs, 15/58; tibias, 11/60; tarses : I, 35; II, 14; III, 11; IV, 8; V, 10; le plus long éperon des tibias les 3/4 et le plus court un peu plus de la moitié de la longueur des métatarses.

*Abdomen* : un peu mat à la base; tergite I à peine 1/5 plus long que sa largeur apicale (24 : 20), grossièrement réticulé-ponctué; longueur médiane du tergite II égale à la largeur apicale du I, 1,4 fois plus courte que sa propre largeur apicale (20 : 20 : 28), aire médiane à bords parallèles, à peine rétrécie à l'apex, sillons discaux forts, sculpture semblable à celle du I latéralement; tergite III un peu plus long que le II (24 : 20), son aire médiane nettement délimitée, latéralement sculpté comme les tergites précédents, mais plus superficiellement, strié à la base, lisse près du bord apical; valves de la tarière courtes, pourvues d'un appendice sétiforme assez long.

Longueur : 3 à 3,5 mm.

DISTRIBUTION GÉOGRAPHIQUE : Rutshuru (alt. 1.285 m., 22.V. et 4.VI.1934, 6.VI et 15.VII.1935), holotype ♀, allotype ♂ et 1 paratype; Rutshuru, riv. Musugereza (alt. 1.100 m., 4.VII.1935); Rutshuru, riv. Rodahira (alt. 1.200 m., 1.VII.1935); 7 exemplaires : 4 ♂♂, 3 ♀♀.

[*Microgaster integra* WILKINSON.]

*Microgaster integra* WILKINSON, Trans. Ent. Soc. Lond., LXXVII, 1929, p. 103, ♂.

DISTRIBUTION GÉOGRAPHIQUE : Uganda. *Hôte* et *cocon*, inconnus.

26. — *Microgaster epectinopsis* sp. n.

(Fig. 54-55.)

Espèce très semblable à *M. epectina*, dont elle possède la même coloration excepté : antennes brun marron; tegulae jaune-rouge testacé; tergite II entièrement rouge testacé.

♀. *Tête* : antennes légèrement plus grêles (fig. 54); 1<sup>er</sup> article du flagellum 3,5 fois plus long que large.

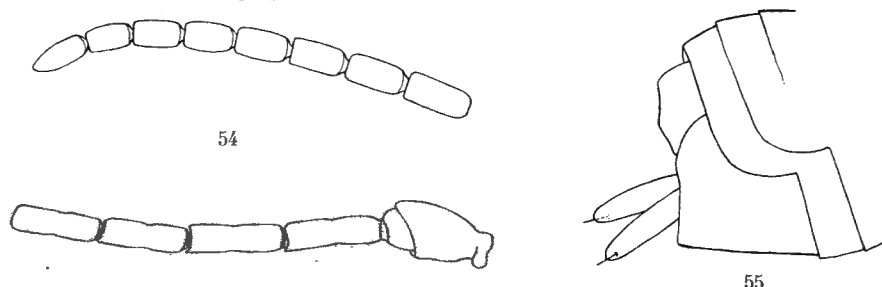
FIG. 54-55. — *Microgaster epectinopsis* sp. n. ♀.

FIG. 54. — Base et sommet de l'antenne. FIG. 55. — Apex de l'abdomen.

*Thorax* : propodeum aussi fortement ponctué que le mésonotum, mais plus densément, carène longitudinale médiane forte, droite et non crénelée sur les côtés.

*Ailes* : largeur du stigma, 1<sup>re</sup> abcisse de la radiale et 1<sup>re</sup> transverso-cubitale, de même longueur; récurrente et partie apicale de la 1<sup>re</sup> abcisse de la cubitale égales, à peine plus courtes que les précédentes; 1<sup>re</sup> transverso-cubitale sinuée, formant un angle presque droit avec la radiale et recevant la 2<sup>e</sup> transverso-cubitale hyaline un peu avant son milieu; stigma plus court que le métacarpe.

*Abdomen* : sculpture des trois tergites basiliaires comme chez *M. epectina*, les sillons limitant l'aire médiane du tergite II, plus étroits cependant et petitement crénelés; longueur médiane du tergite I à peine plus longue que sa largeur basale; largeur apicale du II un peu plus grande que la largeur basale (25 : 24), 1,25 fois la longueur médiane et légèrement plus longue que la longueur latérale (25 : 23), aire médiane un peu plus de 3 fois plus longue que large à la base, effilée vers l'apex; tergite III ayant sa largeur apicale un peu plus courte que sa largeur basale, égale à la longueur médiane et 1,84 fois la longueur latérale (24 : 25 : 24 : 13); valves de la tarière comme celles de *M. epectina* (fig. 55).

Longueur : 3,25 mm.; ♂, inconnu.

DISTRIBUTION GÉOGRAPHIQUE : Kalondo, lac Ndaraga, Mokoto (alt. 1.750 m., 22-27.III.1934), holotype ♀; Rutshuru, riv. Rodahira (alt. 1.200 m., I.VII.1935); 2 exemplaires.

27. — *Microgaster epectina* sp. n.

(Fig. 56-58.)

Espèce semblable à *M. nigromacula*, à l'exception des caractères suivants :

♀ : hanches III entièrement noires; 3/5 basales des fémurs au lieu de la 1/2, anneau des tibias III occupant un peu plus de la 1/2 basale, tergite I et II entièrement, excepté l'aire médiane du II qui est assombrie

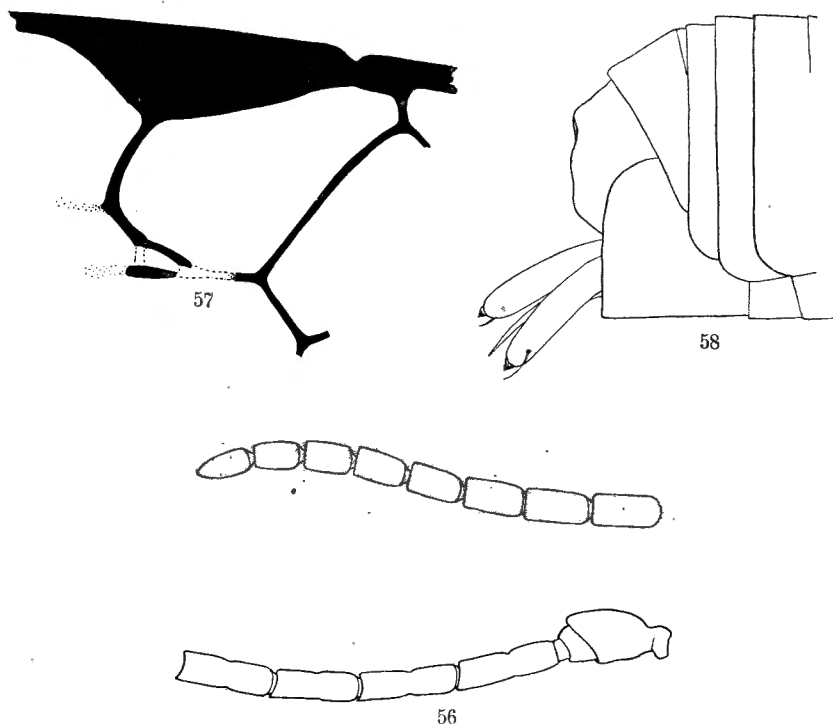
FIG. 56-58. — *Microgaster epectina* sp. n. ♀.

FIG. 56. — Base et sommet de l'antenne.

FIG. 57. — Détail de la nervation des ailes antérieures. FIG. 58. — Apex de l'abdomen.

apicalement, rouge testacé, cette coloration remplaçant le jaune pâle testacé pour toutes les parties désignées ainsi chez *M. nigromacula*; tegulae jaune rougeâtre; apex des ailes faiblement enfumé.

♀. *Tête* : antennes un peu comprimées; 1<sup>er</sup> article du flagellum 3,33 fois plus long que large, articles préapicaux 1,75 fois (fig. 56).

*Thorax* : propodeum plus fortement ponctué sur le disque que chez *M. nigromacula*.

*Ailes* (fig. 57) : 1<sup>re</sup> abscisse de la radiale un peu plus longue que la largeur du stigma et la longueur de la 1<sup>re</sup> transverso-cubitale, 1,44 fois plus longue que la partie apicale de la 1<sup>re</sup> abscisse de la cubitale; stigma distinctement plus court que le métacarpe.

*Pattes III* : hanches fortement ponctuées sur la face supérieure à la base, moins densément que sur la face externe et pourvues d'une petite ponctuation secondaire dans les intervalles, rugueuses ailleurs. Proportions : hanches, 28/43; fémurs, 16/54; tibias, 11/60; tarses : I, 38; II, 15; III, 12; IV, 8; V, 9.

*Abdomen* : tergite I, 1/4 plus long que sa largeur apicale, lisse à aciculé dans la 1/2 basale, latéralement au sillon, très convexe et grossièrement ponctué dans les 2/3 apicaux; tergite II à largeur apicale 1,25 fois sa largeur basale, celle-ci égale à la longueur médiane et 1,2 fois sa longueur latérale (25 : 20 : 20 : 24), aire médiane lisse, longue et étroite, 4 fois plus longue que large à la base, effilée vers l'apex où ses bords se rejoignent, cette aire est délimitée latéralement par des sillons superficiels fortement divisés par des carènes inclinées vers l'avant, latéralement ce tergite porte de fines carènes longitudinales et une ponctuation éparse et superficielle; tergite III à largeurs basale et apicale égales, 1,14 fois la longueur médiane, celle-ci est égale à la longueur médiane du II, fortement strié latéralement dans la 1/2 basale, lisse au milieu où il est à peine plus convexe et dans la 1/2 apicale où il porte quelques fines soies; valves de la tarière plus longues que chez *M. nigromacula*, presque aussi longues que la 1/2 des métatarses III, appendice environ 1/6 de la longueur de la valve (fig. 58).

Longueur : 3,3 mm.; ♂, inconnu.

DISTRIBUTION GÉOGRAPHIQUE : Burunga, Mokoto (alt. 2.000 m., 17-19.III. 1934), holotype ♀; Shamuheru, volcan Nyamuragira (alt. 1.820 m., 14-26.VI. 1935); 3 exemplaires.

## 28. — *Microgaster sulcata* sp. n.

(Fig. 59.)

Espèce ayant une grande analogie avec *M. nigromacula*, dont elle se sépare par les caractères suivants :

♀ : pièces buccales, jaune-rouge testacé, apex des mandibules à peine assombri; flagellum jaune rougeâtre latéralement; hanches III plus largement, fémurs III entièrement excepté l'apex, jaune testacé (tibias absents); 2 taches latérales arrondies dans la moitié apicale du tergite III; ailes entièrement hyalines; nervures près de la base, pâles, notamment la costale.

♂ : semblable à la ♀, excepté : antennes entièrement noir brunâtre; coloration testacée des pattes plus rougeâtre; propectus à la base tendant au rougeâtre; pattes I et II sauf les tarses, hanches III excepté une large bande noire sur la face supérieure, trochanters, trochantelles et fémurs des

pattes III (ces derniers excepté à l'apex) jaune-rouge testacé; tarsi I rougeâtres, article apical foncé; tarsi II, rouge brunâtre; un anneau dans le 1/3 basal des tibia III, rouge testacé; tibia III au delà de l'anneau, rougeâtres et confusément marqués de noir; tarsi III noir brunâtre; coloration testacée de l'abdomen rougeâtre, tergite I noirâtre au milieu et à l'apex sur une étendue variable. Le spécimen originaire de Mayumbu à le tergite I très foncé dans la partie médiane et les aires du II presque noires.

♂ ♀. *Tête* : 1<sup>er</sup> article du flagellum de la ♀, 4 fois plus long que large (16 : 4), 2,66 fois chez le ♂ (16 : 6), articles préapicaux 3 fois plus longs que larges.

*Thorax* : aire discale lisse des mésopleures plus réduite, ailleurs mésopleures plus fortement et plus largement striolés.

*Ailes* (fig. 59) : 1<sup>re</sup> abcisse de la radiale égale à la largeur du stigma et un peu plus longue que la 1<sup>re</sup> transverso-cubitale, l'angle formé par ces deux

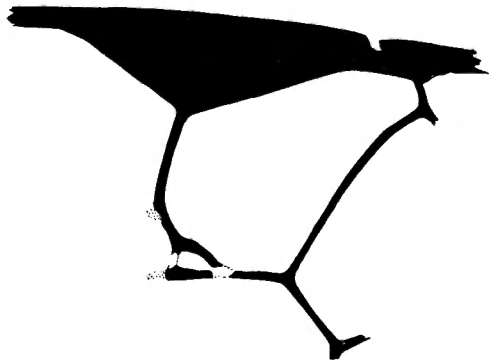


FIG. 59. — *Microgaster sulcata* sp. n.,  
détail de la nervation des ailes antérieures.

nervures beaucoup moins accusé que chez *M. nigromacula*, la dernière sinuée et recevant la 2<sup>e</sup> transverso-cubitale juste au delà du milieu; partie apicale de la 1<sup>re</sup> abcisse de la radiale égale aux 2/3 de la longueur de la récurrente; 1<sup>re</sup> abcisse de la cubitale beaucoup moins infléchie vers le stigma que chez *M. nigromacula*; stigma plus court que le métacarpe.

*Pattes III* : proportions : hanches, 22/54; fémurs, 16/58; tibia, 12/68; tarsi : I, 37; II, 16; III, 12; IV, 9; V, 9.

*Abdomen* : plus étroit que chez *M. nigromacula*; aire médiane du tergite II plus étroite chez la ♀, étroite et à bords parallèles chez le ♂; tergite III plus fortement striolé; tergite II latéralement ponctué-striolé, lisse et brillant sur une bande apicale réunie à l'aire médiane; valves de la tarière comme *M. nigromacula*.

Longueur : 3 à 3,3 mm.

DISTRIBUTION GÉOGRAPHIQUE : Rweru, volcan Mikeno, forêt de Bambous (alt. 2.400 m., 26-27.VII.1934), holotype ♀; Nyasheke, volcan Nyamuragira (alt. 1.820 m., 14-26.VI.1935), allotype ♂, 1 paratype; Mayumbu, volcan Nyamuragira (alt. 2.100 m., 14-26.VI.1935); 4 exemplaires : 3 ♂♂, 1 ♀.

29. — **Microgaster nigromacula** sp. n.

(Fig. 60-64.)

Les caractères de cette espèce correspondent à ceux de la redescription de *M. basimacula* (CAM.), faite par WILKINSON (1929), mais en diffère par les caractères suivants :

♀ : pièces buccales, rouge testacé; palpes, tegulae, pattes I et II entièrement (sauf l'onychium et une légère enfumure de l'article apical des tarses), apex des hanches III sur une étendue variable, mais toujours plus largement sur la face inférieure, trochanters, trochantelles, 1/2 basale des fémurs, un large anneau atteignant le 1/3 apical des tibias et extrême base des métatarses des pattes III, jaune pâle testacé; éperons des tibias III, pâles; antennes et tarses III ailleurs, bruns; tibias III ailleurs, noir brunâtre; nervures et stigma bruns; ailes hyalines, I fortement enfumées distalement, cette enfumure comprenant le tiers de la cellule radiale, près de la moitié de la 3<sup>e</sup> cellule cubitale et environ le quart de la 2<sup>e</sup> cellule discoïdale, II enfumées près de l'apex.

♀ : *Tête* : face ponctuée et aciculée portant une carène médiane mince dans la partie supérieure; clypéus faiblement différencié de la face; vertex moins aciculé et ponctué que la face; espace oculo-ocellaire égal à la distance séparant les ocelles postérieurs; 1<sup>er</sup> article du flagellum près de 4 fois plus long que large, les articles préapicaux environ 2 fois (fig. 60).

*Thorax* : mésonotum et disque du scutellum comme chez *M. basimacula*; disque du scutellum très convexe à apex distinctement caréné; mésopleures lisses et brillants discalement, plus étroitement et plus fortement ponctués que le mésonotum ailleurs et sans la petite aciculation intervallaire de celui-ci, la partie postérieure du cochléar sculptée superficiellement jusqu'au bord coxal; propodeum très superficiellement ponctué discalement, lisse ailleurs, divisé par une carène longitudinale médiane mince, crénelée de part et d'autre et une carène réticulaire latérale.

*Ailes* (fig. 61) : 1<sup>re</sup> abcisse de la radiale un peu plus courte que la largeur du stigma, égale à la 1<sup>re</sup> transverso-cubitale et formant avec celle-ci un angle obtus, leur point de jonction distinct; la 1<sup>re</sup> transverso-cubitale recevant la 2<sup>e</sup> en son milieu, deux fois plus longue que la partie apicale de la 1<sup>re</sup> abcisse de la cubitale et environ égale à la récurrente; stigma plus court que le métacarpe.

*Pattes III* : hanches avec une forte ponctuation irrégulière sur la partie supérieure à la base, très étroitement ponctuées vers l'apex, la ponctuation

de la face externe irrégulière et plus dense que sur la face supérieure à la base et accompagnée dans les intervalles par une petite ponctuation secondaire bien marquée; fémurs petitement ponctués, les pointillés réunis par un réseau de fines acicules. Proportions : hanches, 28/54; fémurs, 14/54; tibias, 11/64; tarsi : I, 34; II, 14; III, 13; IV, 9; V, 8; le plus long éperon des tibias 5/7 et le plus court 3/7 de la longueur des métatarses.

*Abdomen* (fig. 62) : longueur médiane du tergite I, près de 1,5 fois plus longue que la largeur apicale et plus de 2 fois sa largeur basale (31 : 22 : 14),

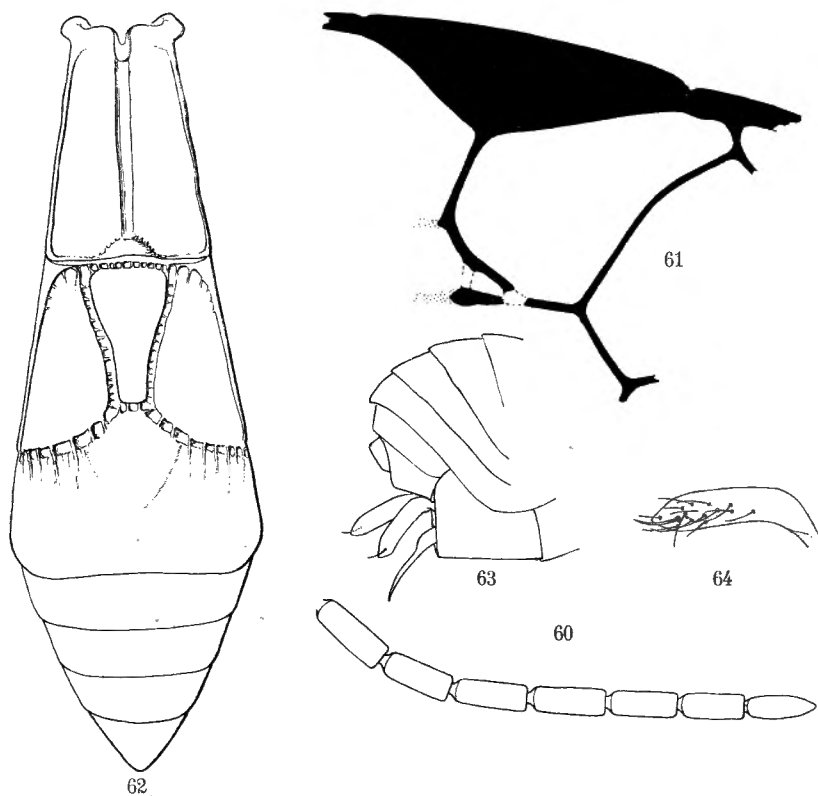


FIG. 60-64. — *Microgaster nigromacula* sp. n. ♀.

FIG. 60. — Sommet de l'antenne. FIG. 61. — Détail de la nervation des ailes antérieures.

FIG. 62. — Face supérieure de l'abdomen. FIG. 63. — Apex de l'abdomen.

FIG. 64. — Valve de la tarière.

à bords latéraux droits, sillon médian comme chez *M. basimacula*; largeur apicale du tergite II, 1,4 fois la largeur basale, 1,24 fois la longueur latérale et 1,47 fois la longueur médiane (31 : 22 : 25 : 21); largeur apicale du tergite III, 1,1 fois sa largeur basale, 1,6 fois sa longueur médiane (34 : 31 : 21), cette dernière 1,5 fois la longueur latérale; tergite I, lisse et brillant dans la 1/2 basale, qui est excavée au milieu, aciculée latéralement, ponctué-

aciculé dans la 1/2 apicale et très convexe latéralement au sillon médian; tergite II à aire médiane subtriangulaire, lisse et brillante, sillons la délimitant larges et finement crénelés, ailleurs faiblement réticulé à ponctué-aciculé; 2<sup>e</sup> suture fovéolée, la disposition de cette suture ainsi que celle des angles identiques à *M. basimacula*; tergite III à proéminence médiane subtriangulaire non délimitée par des sillons, disparaissant vers le milieu, latéralement à cette aire, le tergite est striolé avec quelques ponctuations très superficielles, cette sculpture n'atteint pas le bord apical; tergites suivants apparents, brillants et petitement ponctués latéralement; valves de la tarière pourvues d'un appendice sétiforme peu distinct (fig. 63-64).

Longueur : 3 à 3,7 mm.; ♂, inconnu.

DISTRIBUTION GÉOGRAPHIQUE : Forêt près de Kamatembe (alt. 2.200 m., 12.IV.1934, holotype ♀; Kamatembe, forêt près de la rivière Bishakishaki (alt. 2.100 m., 17.IV.1934); Kamatembe, forêt primaire (alt. 2.100 m., 15-20.IV.1934); vers Rweru, volcan Mikeno, forêt de Bambous (alt. 2.400 m., 3.VII.1934); Ruhengeri, Moruguhu (alt. 1.800-1.825 m., 6.II.1935); Nyasheke, volcan Nyamuragira (alt. 1.800 m., 14-26.VI.1935); Mayumbu, volcan Nyamuragira (alt. 2.100 m., 14-26.VI.1935); Mushumangabo, volcan Nyamuragira (alt. 2.075 m., 14-26.VI.1935); Shamuheru, volcan Nyamuragira (alt. 1.843 m., 15.VI.1935); 9 exemplaires.

a) *Microgaster nigromacula obscurior* ab. n.

♂ ♀ : semblables à la description de la ♀ de *M. nigromacula*, en différent par la coloration des tergites I et II, qui sont d'un rouge obscur à noirâtre, excepté l'aire médiane du II qui est noire et souvent l'apex du tergite I; enfumure distale des ailes moins forte; tergite I aciculé dans les 2/3 basilaires, aciculé-ponctué dans le 1/3 apical; aire médiane du tergite II un peu aciculée à la base; tergite III, un peu plus fortement striolé.

Longueur : 3 mm.

DISTRIBUTION GÉOGRAPHIQUE : Mushumangabo, volcan Nyamuragira (alt. 2.075 m., 14-26.VI.1935), holotype ♀; Burunga, Mokoto (alt. 2.000 m., 17.III.1935); 4 exemplaires : 3 ♂♂, 1 ♀.

Groupe TETRA.

Deuxième cellule cubitale (aréole), constituée par quatre nervures, la 2<sup>e</sup> abscisse de la radiale, plus ou moins courte, participant toujours à sa formation et recevant la 2<sup>e</sup> transverso-cubitale; ponctuation du mésonotum jamais accompagnée d'une petite aciculation intervallaire; disque du scutellum non bordé à l'apex; valves de la tarière toujours dépourvues d'un appendice préapical.

30. — *Microgaster vacillatropsis* sp. n.

(Fig. 65-68.)

Espèce semblable à *M. vacillatrix* WILKN., excepté :

♀ : thorax entièrement noir; scapes bruns; tegulae noires; toutes les pattes (excepté les 2/3 apicaux des tibias III et tarse III qui sont noirs) le tergite I seulement, les parties latérales membraneuses des tergites I et II, tous les sternites y compris l'hypopygium, rouge testacé; palpes et éperons des tibias III, rougeâtres; ailes un peu plus fortement enfumées.

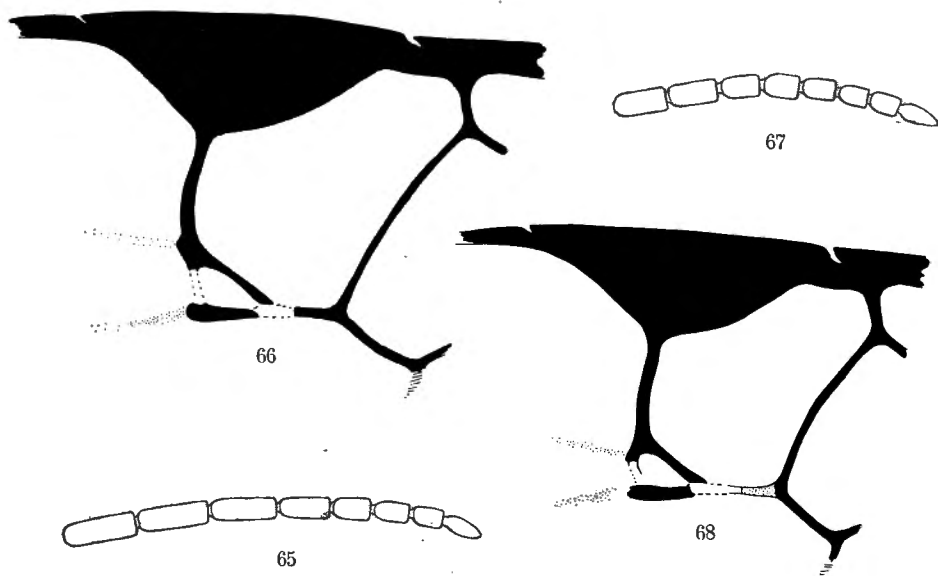
FIG. 65-66. — *Microgaster vacillatrix* WILKINSON ♀.

FIG. 65. — Sommet de l'antenne.

FIG. 66. — Détail de la nervation des ailes antérieures.

FIG. 67-68. — *Microgaster vacillatropsis* sp. n. ♀.

FIG. 67. — Sommet de l'antenne.

FIG. 68. — Détail de la nervation des ailes antérieures.

Articles apicaux du flagellum courts à partir du XI (chez *vacillatrix* à partir du XIII, voir fig. 65-67); ponctuation antérieure du mésonotum peut-être un peu plus faible; tergite abdominal I absolument lisse, poli; tergite II poli et ne portant que quelques soies fines vers l'apex, sillons latéraux de ce tergite et 2<sup>e</sup> suture, lisses; sa longueur médiane 1/4 plus courte que la largeur apicale du I, 3,66 fois plus courte que sa propre largeur apicale et 1,66 fois la longueur du III (6 : 8 : 22 : 10); valves de la tarière un peu plus courtes que les tibias III.

Longueur : 2,5 mm.; ♂, inconnu.

DISTRIBUTION GÉOGRAPHIQUE : Rutshuru (alt. 1.285 m., 11.VII.1935); 1 exemplaire.

AFFINITÉS : Cette espèce présente une grande analogie avec *M. vacillatrix* WILKN., elle s'en distingue particulièrement par l'absence de toute trace de sculpture sur les tergites I et II ainsi que par la coloration. D'après le mode de classification préconisé ici, ces deux espèces sont nettement séparées par la non-participation de la 2<sup>e</sup> abcisse de la radiale à la constitution de la 2<sup>e</sup> cellule cubitale chez *M. vacillatrix* (fig. 66-68).

31. — **Microgaster atropa** sp. n.

(Fig. 69-73.)

♀ : noire; pièces buccales et palpes, pattes I et II entièrement (tarses II un peu plus sombres), apex et moitié apicale des hanches (plus largement à la partie inférieure), trochanters, trochantelles, fémurs, tibias (ces derniers à peine assombris à l'apex) et éperons des tibias des pattes III, tous les segments de l'abdomen excepté les tergites I et II et un obscurcissement des tergites apicaux, tarière, rouge testacé; coloration noire du tergite II dépassant légèrement les limites de la partie sculptée; tarses III et onychiums des pattes I et II, rouge testacé foncé à brun noirâtre; tegulae jaunes ou rouge testacé; nervation alaire et stigma, brun rougeâtre, nervures costale, médiane et anale, plus claires près de la base; palpes, éperons des tibias III et bords latéraux membraneux des tergites I et II, parfois d'un rouge testacé légèrement plus clair; ailes hyalines, très faiblement enfumées entièrement, avec un nuage légèrement plus sombre et mal défini, allant de la 2<sup>e</sup> cellule cubitale au bord postérieur, aux ailes I.

♂ : mêmes caractères de coloration que la ♀, excepté abdomen rouge sombre (sauf les tergites I et II), parfois le tergite III est rouge testacé entièrement ou partiellement.

♂ ♀. *Tête* : face densément et très finement ponctuée, vaguement carénée au milieu; clypéus différencié de la face, plus brillant et moins fortement ponctué que celle-ci; ostioles faciales à égale distance des yeux et de l'apex du clypéus; vertex à peu près imponctué; occiput ponctué plus ou moins comme la face; ocelles postérieurs beaucoup plus près l'un de l'autre que des yeux (5 : 9); antennes plus longues que le corps, 1<sup>er</sup> article du flagellum 4 fois plus long que large (16 : 4), articles préapicaux 1,5 à 1,75 fois chez la ♀, le 1<sup>er</sup> article environ 3 fois plus long que large chez le ♂, dont les articles apicaux sont amincis, les deux derniers proportionnellement plus courts que les précédents, XIII, 4/16, XIV, 4/13, XV, 3/9 et XVI, 3/10 (fig. 69-70).

*Thorax* : mésonotum brillant, ponctué, assez régulièrement (degré 3), plus densément à l'apex; sillon préscutellaire arqué, assez étroit, jamais très fortement crénelé; disque du scutellum plat, brillant, portant quelques imperceptibles pointillés; partie lisse des axillae assez large à bord antérieur

crénelé; mésopleures ponctués antérieurement un peu plus éparsément que le mésonotum, lisses ailleurs, cochléar marqué d'une excavation; métapleures lisses excepté près du bord coxal; propodeum brillant, à forte ponctuation

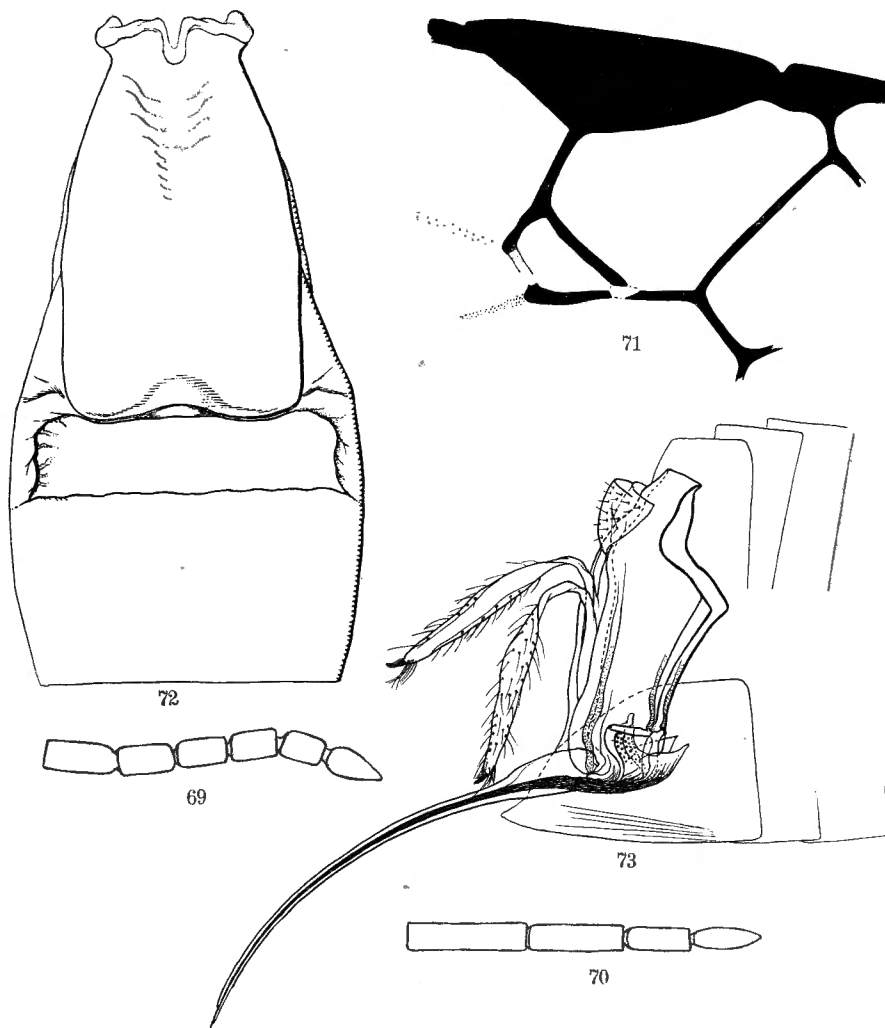


FIG. 69-73. — *Microgaster atropa* sp. n.

FIG. 69. — Sommet de l'antenne ♀. FIG. 70. — Sommet de l'antenne ♂.

FIG. 71. — Détail de la nervation des ailes antérieures.

FIG. 72. — Détail des trois premiers tergites abdominaux.

FIG. 73. — Hypopygium, tarière et ses valves.

(degré 4), irrégulièrement placée, plus éparsément à la base, grossièrement ruguleux contre la carène longitudinale médiane, dans le 1/4 apical et sur les côtés.

*Ailes* (fig. 71) : 1<sup>re</sup> abcisse de la radiale plus courte que la largeur du stigma, qui est elle-même plus courte que la longueur de la 1<sup>re</sup> transverso-cubitale; aréole grande, la 2<sup>e</sup> abcisse de la radiale à peu près dans le prolongement de la 1<sup>re</sup> abcisse et un peu plus longue que la moitié de celle-ci; la 2<sup>e</sup> transverso-cubitale faiblement pigmentée antérieurement; récurrente un peu plus longue que la partie apicale de la 1<sup>re</sup> abcisse de la cubitale, mais plus courte que la 1<sup>re</sup> transverso-cubitale; stigma à peine plus court que le métacarpe.

*Pattes III* : hanches régulièrement et petitement ponctuées (degré 2) sur la face supérieure, avec quelques rares pointillés (degré 1) à lisses sur la face externe; fémurs densément et petitement ponctués. Proportions : hanches, 24/45; fémurs, 14/45; tibias, 10/60; tarsi : I, 32; II, 14; III, 11; IV, 8; V, 10; tarsi des pattes I et II à articles intermédiaires courts, l'article apical et l'onychium comme aux III, robustes; épérons des tibias III courts, le plus long environ la moitié et le plus court le tiers de la longueur des métatarses.

*Abdomen* (fig. 72) : longueur médiane du tergite I, 1,7 fois plus longue que sa largeur apicale et triple de sa largeur à l'étranglement basal (34 : 20 : 11); ses bords latéraux, après l'étranglement basal, divergents jusqu'à la 1/2 environ, ensuite parallèles jusqu'à l'apex émarginé, dont les angles sont largement arrondis; replié à la moitié de sa longueur, ce tergite est excavé à la base, assez plat dans la moitié apicale, excepté une faible dépression près du bord apical de chaque côté d'un tubercule médian lisse et brillant, légèrement en relief, tégument entièrement striolé longitudinalement à très finement réticulé avec quelques ponctuations, excepté médialement où il est plus ou moins lisse et plus brillant; tergite II de longueur un peu variable, en moyenne 2,5 fois plus court que la largeur apicale du I (7 : 8 ou 9 : 20) et un peu moins de la moitié de la longueur du III, déprimé et à sculpture rugueuse de chaque côté d'une région médiane plus ou moins lisse et un peu convexe, orné d'une rangée de petits pointillés sétigères dans la moitié apicale; 2<sup>e</sup> suture bien marquée et droite; tergites III et suivants, brillants, petitement et très éparsement ponctués entièrement; hypopygium membraneux à apex aigu; valves de la tarière longues, sans appendice (fig. 73), un peu plus courtes que les fémurs III, mais distinctement plus longues que les métatarses III.

Longueur : 3,5 mm.

DISTRIBUTION GÉOGRAPHIQUE : Nyakibumba, près de Kikere (alt. 2.000 m., 9.VII.1934), holotype ♀ et 1 paratype; Kamatembe, riv. Bishakishaki (alt. 2.100 m., 7-23.I.1935), allotype ♂, 1 paratype; Nyarusambo, Kikere (alt. 2.226 m., 28-29.VI.1935); Kashwa, entre Ngesho et Bishakishaki (alt. 2.000 m., 7-23.I.1935); Tshengelero, près de Munagana (alt. 1.750 m., 21.VIII.1934); Kitondo, près de Gandjo (alt. 2.000 m., 7-23.I.1935); 11 exemplaires : 3 ♂♂, 8 ♀♀.

AFFINITÉS : Cette espèce aboutit, dans la clef de WILKINSON, au couplet 15, mais ne concorde à aucune des espèces qui y figurent [*euzygaster* (CAM.), *psarae* WILKN.]. Dans la clef de MUESEBECK des espèces néarctiques, elle se rencontre avec *M. melligaster* PROV.

32. — ***Microgaster mikeno*** sp. n.

(Fig. 74-79.)

♂ ♀ : noirs; tegulae, pattes I et II (excepté les tarsi I et l'extrême apex des tibia II ainsi que les tarsi II), partie inférieure et apex des hanches, 2/3 basilaire des fémurs, un large anneau dans la moitié basale des tibia des pattes III, environ les 2/3 basilaire des valves de la tarière, bords latéraux membraneux des tergites I et II, sternites de la base, nervures costale et médiane à la base, rouge testacé; flagellum noir brunâtre; extrême apex des tibia et tarsi II, brunâtres, tarsi I un peu plus clairs; palpes et épérons des tibia III, pâles; ailes hyalines, nervures et stigma, bruns.

♂ ♀. *Tête* (fig. 74) : tête moins transverse que l'habituelle; face fortement convexe, mate, densément et fortement ponctuée, rugueuse, portant une carène longitudinale médiane, lisse, brillante et superficielle; clypéus

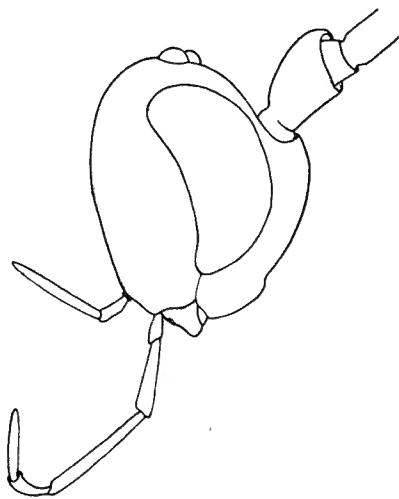


FIG. 74. — *Microgaster mikeno* sp. n., tête, vue de profil.

différencié de la face par sa convexité; ostioles faciales à égale distance de l'apex du clypéus et des yeux; vertex long, assez plat, mat, un peu moins densément et moins fortement ponctué que la face, comme l'occiput; tempes à ponctuation plus forte que le vertex; stemmaticum presque lisse; espace oculo-ocellaire à peu près égal à la distance qui sépare les ocelles postérieurs; 1<sup>er</sup> article du flagellum 3 fois plus long que large, seule le pénultième article à peine plus long que large chez la ♀, plus de 3 fois chez le ♂ (fig. 75-76).

*Thorax* : mésonotum brillant, à partie médiane légèrement convexe et forte ponctuation (degré 5), les pointillés séparés en moyenne par la moitié de leur propre diamètre, plus denses antérieurement et près du sillon

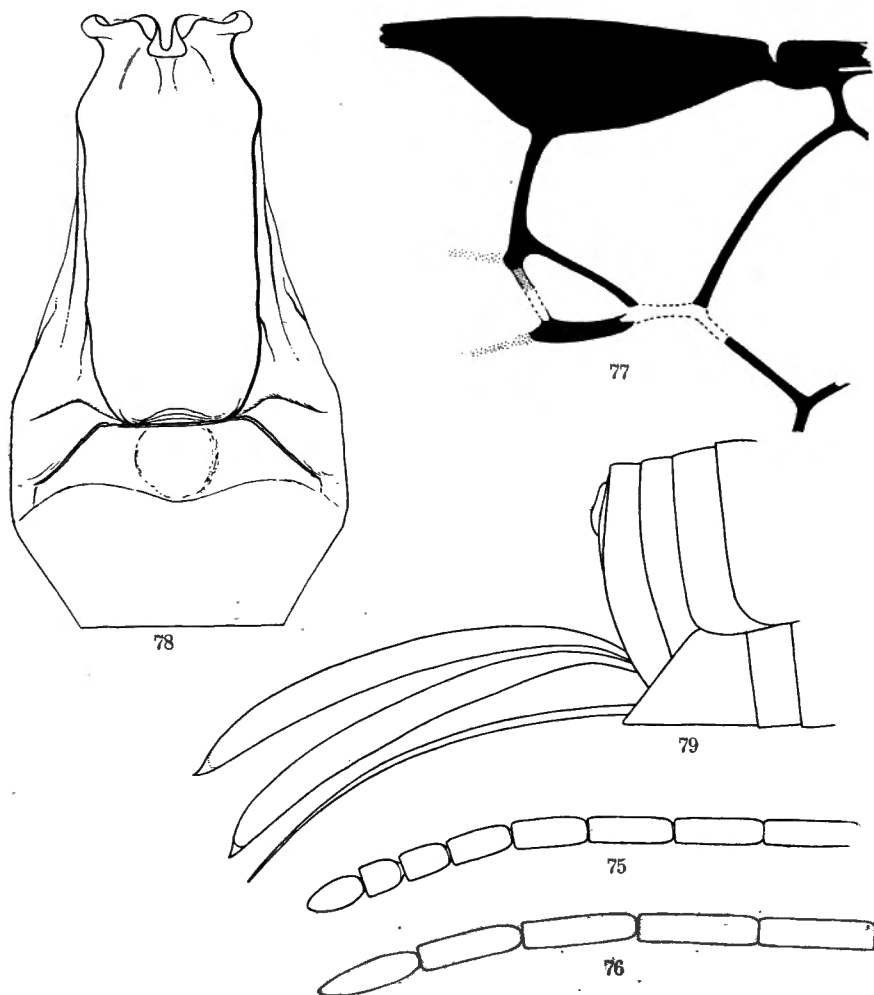


FIG. 75-79. — *Microgaster mikenos* sp. n.

FIG. 75. — Sommet de l'antenne ♀. FIG. 76. — Sommet de l'antenne ♂.

FIG. 77. — Détail de la nervation des ailes antérieures.

FIG. 78. — Détail des trois premiers tergites abdominaux.

FIG. 79. — Apex de l'abdomen.

préscutellaire, parties latérales à ponctuation aussi forte mais distinctement plus espacée; sillon préscutellaire légèrement arqué, étroitement crénelé; disque du scutellum brillant, à faible convexité et apex aigu, de longueur

médiane égale à la largeur basale et marqué de quelques gros pointillés irrégulièrement placés; mésopleures lisses et brillants discalement, fortement ponctués antérieurement et coupés de stries transversales arquées; métapleures lisses antérieurement, grossièrement ponctués postérieurement; propodeum mat, rugueux, divisé par une forte carène longitudinale médiane plus ou moins courtement crénelée de chaque côté, latéralement et parallèlement à la carène latérale existe un sillon irrégulier, brillant, mais peu distinct.

*Ailes* (fig. 77) : 1<sup>re</sup> abcisse de la radiale plus courte que la largeur du stigma et très nettement plus courte que la 1<sup>re</sup> transverso-cubitale, celle-ci plus ou moins égale à la récurrente; 2<sup>e</sup> transverso-cubitale un peu plus longue que la partie apicale de la 1<sup>re</sup> abcisse de la cubitale qui n'a, elle-même, pas tout à fait 1,5 fois la longueur de la partie supérieure de la basale; stigma plus court que le métacarpe.

*Pattes III* : hanches ponctuées-aciculées en dessus, petitement ponctuées sur la face externe; fémurs régulièrement et densément ponctués. Proportions : hanches, 22/41; fémurs, 18/60; tibias, 10/75; tarses : I, 38; II, 16; III, 12; IV, 9; V, 10; le plus long éperon des tibias un peu plus de la moitié et le plus court un peu moins du tiers de la longueur des métatarses.

*Abdomen* (fig. 78) : tergite I entièrement rugueux et un peu mat, à peine lisse et brillant au milieu à l'extrême base, faiblement recourbé et à peine proéminent dans la partie apicale, sa longueur médiane 4 fois sa largeur apicale, 3 fois sa largeur basale et environ 2 fois sa plus grande largeur située au 1/5 basal (33 : 8 : 11 : 16), bords latéraux divergents à la base, après une incurvation, parallèles jusque près de l'apex tronqué et à angles arrondis; tergite II également un peu mat, faiblement sculpté, un peu proéminent au milieu, ses sillons latéraux, largement divergents, sont peu marqués, sa longueur médiane à peine plus courte que la longueur apicale du I, près de 1/3 de sa propre largeur apicale et un peu plus de la moitié de la longueur du III (7 : 8 : 24 : 11); 2<sup>e</sup> suture faible, généralement peu distincte, marquant cependant une forte sinuosité; tergite III plus satiné que brillant, portant l'habituelle petite ponctuation localisée à l'apex et sur les côtés, laissant ainsi une large aire obtriangulaire lisse à la base; hypopygium aigu non membraneux; valves de la tarière acinaciformes de la longueur des tibias III (fig. 79). Chez le ♂, le tergite I est un peu plus court et plus étroit (30 : 7 : 11 : 14), la longueur médiane du II un peu plus longue que la largeur apicale du I et la moitié de sa propre largeur apicale entre les sillons latéraux (8 : 16), ceux-ci mieux marqués et divergents à un angle d'environ 90°; 2<sup>e</sup> suture obsolète.

Longueur : 3,2 à 3,6 mm.

DISTRIBUTION GÉOGRAPHIQUE : Rweru, volcan Mikeno, forêt de Bambous (alt. 2.400 m., 26-27.VII.1934), holotype ♀ et allotype ♂; vers Rweru, volcan

Mikeno, forêt de Bambous (alt. 2.400 m., 3 et 26.VII.1934); Tshamugussa, Bweza, forêt de Bambous (alt. 2.250 m., 9.VIII.1934); 7 exemplaires : 4 ♂♂, 3 ♀♀.

**OBSERVATIONS :** Cette espèce est particulièrement bien caractérisée par la forme de la tête plus globuleuse que l'habituelle, la proéminence et la rugosité de la face, la longueur des valves de la tarière et le sillon méso-pleural qui, cependant, ne peut être comparé au sternaux des *Microplitis*; la taille des hanches postérieures et la longueur des éperons des tibias ne permettent d'ailleurs aucune confusion.

L'hôte de *M. mikeno* paraît évidemment appartenir à la faunule des Bambous.

### 33. — *Microgaster superba* sp. n.

(Fig. 80-82.)

♀ : rouge testacé; tête (excepté parties buccales), antennes, tergites I et II, enfumure sur les tergites suivants, extrême base des hanches, apex des fémurs et des tibias III, quelques traces sur le thorax, partie lisse des axillae, carènes du propodeum, noirs; parties buccales, pattes I, II et III (ces dernières ailleurs), jaune-rouge testacé; palpes et éperons des tibias III, pâles; stigma et nervures (sauf costale, médiane et anale, qui sont incolores à la base), tarses III et valves de la tarière, bruns; stigma faiblement éclairci dans l'angle proximal; ailes légèrement enfumées entièrement.

♀. *Tête* : caractères de la tête comme ceux de *M. atropa*, excepté : antennes de la longueur du corps, à peine amincies et moniliformes à l'apex, 1<sup>er</sup> article du flagellum 3,5 fois plus long que large, articles X-XV à peine plus longs que larges et légèrement pédicellés (fig. 80).

*Thorax* : mésonotum plus distinctement ponctué que chez *M. atropa*; propodeum lisse ne portant que quelques très rares pointillés superficiels de part et d'autre de la carène longitudinale médiane.

*Ailes* : nervation identique à celle de *M. atropa*, mais la 2<sup>e</sup> abcisse de la radiale distinctement plus courte, parfois de moitié, que la 2<sup>e</sup> transverso-cubitale.

*Pattes III* : hanches portant une aire à ponctuation irrégulière sur la face supérieure à la base, lisses ailleurs. Proportions : hanches, 24/40; fémurs, 14/50; tibias, 10/60; tarses : I, 28; II, 16; III, 10; IV, 7; V, 9, article apical des tarses moins volumineux que chez *M. atropa*; le plus long éperon des tibias un peu plus long que la moitié et le plus court le tiers de la longueur des métatarses.

*Abdomen* (fig. 81) : longueur médiane du tergite I environ 2,5 fois la largeur apicale et un peu moins de 2 fois la largeur basale (23 : 9 : 12) sa plus grande largeur, située au quart basal, 1/4 plus longue que cette dernière, ses bords latéraux divergents à la base sont ensuite à peu près parallèles jus-

qu'au quart apical où ils convergent légèrement jusqu'à l'apex, celui-ci est droit, à angles arrondis et précédé de deux fossettes latérales, tégument aciculé à la base, rugueux surtout latéralement et ponctué, plus lisse dans la partie médiane de la moitié apicale où apparaissent quelques ponctuations superficielles, moitié basale marquée d'un sillon lisse; longueur médiane du tergite II,  $\frac{2}{3}$  de la largeur apicale du I, sa forme rappelant assez celle du

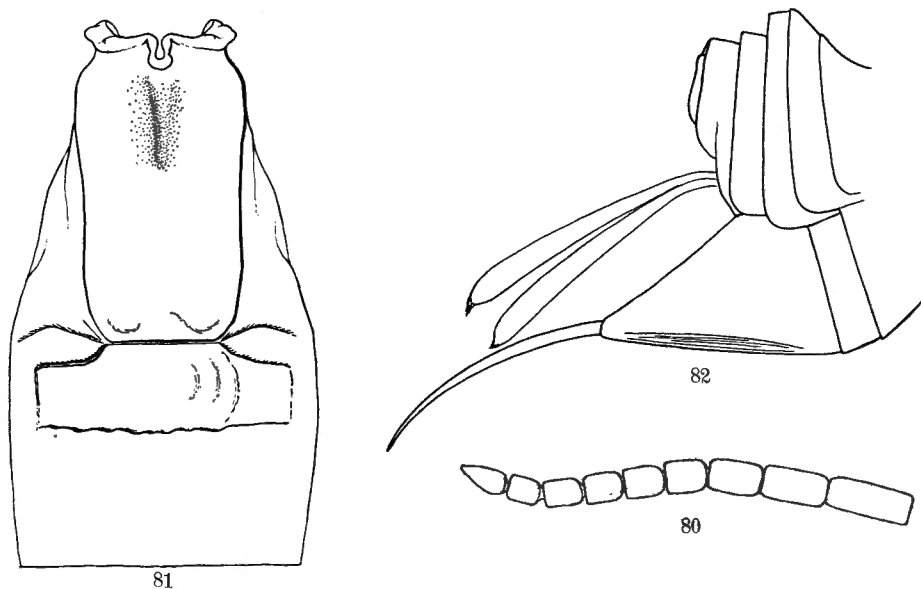


FIG. 80-82. — *Microgaster superba* sp. n. ♀.

FIG. 80. — Sommet de l'antenne.

FIG. 81. — Détail des trois premiers tergites de l'abdomen.

FIG. 82. — Sommet de l'abdomen.

tergite II de *M. sylleptae* DE S., c'est-à-dire; déprimé, un peu proéminent et plus lisse discalement, rugueux latéralement avec les bords antérieurs arqués latéralement; 2<sup>e</sup> suture droite; tergite III près de 2,33 fois la longueur du II, lisse et brillant et portant, comme les suivants, l'habituelle petite ponctuation; hypopygium membraneux, à apex aigu; valves de la tarière, étroites, leur longueur égale aux  $\frac{2}{3}$  de celle des tibias III, sans appendice (fig. 82).

Longueur : 2,8 mm.; ♂, inconnu.

DISTRIBUTION GÉOGRAPHIQUE: Mayumbu, volcan Nyamuragira (alt. 2.100 m., 14-26.VI.1935), holotype ♀ et paratypes; 3 exemplaires.

AFFINITÉS : Par sa coloration *M. superba* rappelle l'espèce australienne *M. tearae* WILKN. dont elle diffère notamment par la ponctuation plus faible du mésonotum et la sculpture des tergites I et II; elle s'apparente, par ailleurs, à *M. sylleptae* DE S. et *M. atropa* : de la 1<sup>re</sup> par la forme du 1<sup>er</sup> tergite

dont les bords latéraux sont plus parallèles et par la longueur du tergite II; de la 2<sup>e</sup>, par la forme du 1<sup>er</sup> tergite, la ponctuation du mésonotum; de ces deux espèces par sa coloration et en particulier par les articles apicaux des antennes, très courts.

34. — **Microgaster sylleptae** DE SAEGER.

*Microgaster sylleptae* DE SAEGER, Rev. Zool. Bot. Afr., 1942, XXXV, p. 335, ♂ ♀.

DISTRIBUTION GÉOGRAPHIQUE : Congo Belge : Eala (Équateur); Rutshuru (Kivu); coll. DE WITTE : Rutshuru (alt. 1.285 m., 22.V, 4.VI, 16.X.1934); Rutshuru, riv. Kanzarue (alt. 1.200 m., 16.VII.1935); Rutshuru, riv. Musugereza (alt. 1.100 m., 10.VII.1935); Rutshuru, riv. Lubirizi (alt. 1.285 m., 13.VII.1935); Rutshuru, riv. Fuku (alt. 1.250 m., 5.VII.1935); Kanyabayongo, Kabasha (alt. 1.760 m., 11.XII.1934); Mayumbu, volcan Nyamuragira (alt. 2.100 m., 14-26.VI.1935); Rweru, volcan Mikeno, forêt de Bambous (alt. 2.400 m., 26-27.VII.1934); Nyabirehe, volcan Karisimbi (alt. 2.000 m., 22.IV.1935); Shamuheru, volcan Nyamuragira (alt. 1.843 m., 15.VI.1935); mont l'amira, près du lac Gando, Ruanda (alt. 2.600 m., 11.III.1935); Kalondo, lac Ndaraga, Mokoto (alt. 2.000 m., 17-19.III.1934); Kundhuru ya Tshuve, col Gahinga-Sabinyo, Ruanda, forêt de Bambous (alt. 2.600 m., 15.IX.1934); Ilega, volcan Karisimbi, Ruanda (alt. 2.400 m., 12.III.1935); Burunga, Mokoto (alt. 2.000 m., 17-19.III.1934); Nyasheke, volcan Nyamuragira (alt. 1.820 m., 14-26.V.1935); Gitebe, volcan Nyamuragira (alt. 2.324 m., 14-26.V.1935); Ruhengeri, riv. Penge, Ruanda (alt. 1.800 m., 30-31.VIII.1934); Ruhengeri, riv. Mugara-Kigombe, Ruanda (alt. 1.800-1.825 m., 6.II.1935); forêt près du mont Kamatembe (alt. 2.200 m., 12.IV.1934); Mushumangabo, volcan Nyamuragira (alt. 2.075 m., 14-26.VI.1935); Kibati (alt. 1.900 m., 10-12.I.1934); lac Gando, volcan Karisimbi, Ruanda (alt. 2.400 m., 9.III.1935); Nzulu, lac Kivu (alt. 1.500 m., 6-7.II.1934); Rwindi (alt. 1.000 m., 10-24.XI.1934); 75 exemplaires : 50 ♂♂, 25 ♀♀.

VARIABILITÉ : Cette espèce fut établie d'après des spécimens obtenus d'un élevage. Les exemplaires de la collection sous revue ont des origines très diverses et leur examen permet de constater quelques variations. Les hanches postérieures, de la majorité d'entre eux, sont rouge sombre presque noir comme chez l'allotype, seul l'apex est jaune ou rouge testacé sur une plus ou moins grande étendue. Un exemplaire originaire de Kanyabayongo est conforme au type originaire de Rutshuru et possède les hanches postérieures entièrement jaunes. Le 1<sup>er</sup> tergite abdominal est entièrement noir chez presque tous les spécimens. Nombre d'exemplaires ♂♂ ont la coloration noire du thorax tendant au rouge testacé dans certaines parties vers la base et principalement les aires transcutales. Les tegulae sont quelquefois jaune testacé.

Il y a lieu de noter une certaine variation de la longueur médiane du 2<sup>e</sup> tergite, souvent beaucoup plus courte que chez l'holotype ♀, n'atteignant parfois qu'à peine le quart de la largeur apicale du 1<sup>er</sup> tergite, ce dernier est quelquefois plus étroit à l'apex ou moins long, mais ces deux pièces importantes conservent, néanmoins, leur configuration générale telle que je l'ai décrite. Dans cette description, il n'y a pas lieu de tenir compte des deux carènes secondaires placées de chaque côté de la carène longitudinale médiane du propodeum, qui peut être complète, ni de l'aire médiane déprimée avant l'apex du 1<sup>er</sup> tergite, caractères qui s'avèrent inconstants. La sculpture de ce tergite, à la base, est également variable, la partie lisse pouvant être plus ou moins étendue et chez quelques ♂♂ il est même entièrement lisse ou à peine ruguleux latéralement.

**BIOLOGIE :** *M. sylleptae* a été obtenu à Rutshuru par l'entomologiste Ghesquière, d'un élevage de la Pyraustine *Syllepta sabinusalis* (Wlk.) sur la Ramie (*Boehmeria nivea*). Cette Pyrale polyphage est, d'après cet auteur (1942), commune à l'Équateur sur la même Urticacée et fut fréquemment rencontrée dans les galeries forestières des montagnes du Kivu (alt. 1.300 à 1.600 m.) sur une Urticacée grimpante, *Urera hyspilodendron* et sur une Tiliacée du genre *Triumfetta*. D'après les récoltes faites au Parc National Albert, où ce *Microgaster* est évidemment largement répandu, nous voyons qu'il fut capturé jusqu'à 2.600 m. d'altitude. Les stations où il fut récolté sont également très diverses.

### 35. — *Microgaster ruandana* sp. n.

(Fig. 83-86.)

♀ : noire; pattes I et II (tarses un peu enfumés), pattes III (excepté, apex des hanches sur une plus ou moins grande étendue, parfois presque entièrement, une tache à l'extrême apex des fémurs, une très légère enfumure apicale aux tibias et les tarses), tegulae et sternites basilaires, parfois des taches sur l'hypopygium, rouge testacé; tarses III, brun rougeâtre, palpes excepté l'article basal et éperons des tibias III, jaune testacé pâle; article basal des palpes, sombre; parties buccales rougeâtres; stigma et nervures bruns, médiane et anale plus claires à la base; ailes hyalines.

♂ : mêmes colorations que la ♀, excepté : palpes sombres entièrement; base des hanches II, noire. Un spécimen présente un fort obscurcissement des hanches I et II et possède des parties très assombries aux trochanters et aux fémurs.

♂ ♀. *Tête* : face petitement et peu densément ponctuée; clypéus différencié de la face; ostioles faciales à égale distance des yeux et de l'apex du clypéus; vertex et occiput très finement ponctués, presque lisses; espace oculo-ocellaire plus grand que la distance qui sépare les ocelles postérieurs; antennes de la ♀ à peu près de la longueur du corps, plus longues chez le ♂; 1<sup>er</sup> article du flagellum 3 fois plus long que large, les articles préapicaux 1, 2

à 1,5 fois chez la ♀ (fig. 83), 1<sup>er</sup> article environ 2 fois plus long que large chez le ♂, articles apicaux absents.

*Thorax* : mésonotum brillant, assez étroitement ponctué (degré 3), plus densément à l'apex; sillon préscutellaire légèrement arqué, irrégulièrement crénelé; disque du scutellum brillant, faiblement convexe, à ponctuation rappelant celle du mésonotum mais très espacée et superficielle, parfois presque lisse; mésopleures petitement ponctués, lisses discalement, cochléar superficiel, marqué d'une fossette; propodeum lisse et brillant dans le tiers

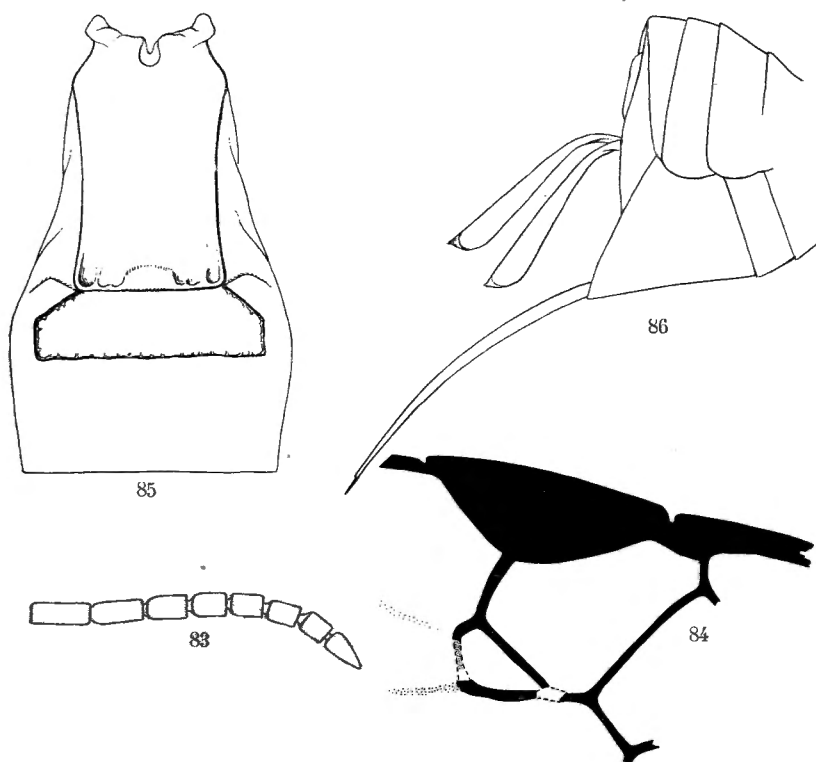


FIG. 83-86. — *Microgaster ruandana* sp. n. ♀.

FIG. 83. — Sommet de l'antenne. FIG. 84. — Détail de la nervation des ailes antérieures.

FIG. 85. — Détail des trois premiers tergites abdominaux.

FIG. 86. — Apex de l'abdomen.

basal, ruguleux dans les 2/3 apicaux avec quelques gros pointillés, légèrement rugueux près de la carène longitudinale médiane qui est plus ou moins rugueuse.

*Ailes* (fig. 84) : nervation assez semblable à celle de *M. atropa*, mais la 2<sup>e</sup> abcisse de la radiale plus courte, ainsi que la partie apicale de la 1<sup>re</sup> abcisse de la cubitale; stigma plus court que le métacarpe.

*Pattes III* : hanches petitement et peu densément ponctuées, presque lisses sur la face externe; fémurs également à petite ponctuation; articles des tarses des pattes I et II courts, articles apical de tous les tarses forts. Proportions : hanches, 18/28; fémurs, 10/38; tibias 8/48; tarses : I, 20; II, 9; III, 7; IV, 6; V, 8; le plus long éperon des tibias la moitié et le plus court le tiers de la longueur des métatarses; le plus long éperon des tibias II presque aussi long que les métatarses correspondants.

*Abdomen* (fig. 85) : tergite I rugueux, légèrement mat, ses bords latéraux divergents à l'extrême base, sont ensuite à peu près parallèles jusqu'à l'apex, celui-ci est droit, à angles arrondis et porte au milieu un petit tubercule lisse et brillant de chaque côté duquel se trouve une dépression arrondie, ce tergite est faiblement replié au milieu, excavé légèrement près de la base et proéminent ensuite jusque près de l'apex, les bords latéraux souvent déprimés; sa longueur médiane 1,57 fois plus longue que sa largeur apicale et 2,2 fois son extrême base (22 : 14 : 10); tergite II rugueux, plus finement que le I, à partie sculptée déprimée, à peine plus convexe au milieu, et portant quelques pointillés sétigères vers l'apex, sa longueur médiane la moitié de la largeur apicale du I et le tiers de sa propre largeur apicale (6 : 12 : 18); 2<sup>e</sup> suture bien marquée par la sculpture déprimée du tergite II; longueur médiane du tergite III, 1,66 fois celle du II (10 : 6), lisse et brillant comme les suivants et portant l'habituelle petite ponctuation; hypopygium aigu, non membraneux; valves de la tarière de longueur égale à celle des deux articles basilaires des tarses III, sans appendice (fig. 86). Chez le ♂, les proportions sont plus petites (20 : 14 : 10) pour le tergite I, (5 : 10 : 16) et (10 : 5) pour les suivants, la partie sculptée du II également plus étroite.

Longueur : 2,5 mm.

DISTRIBUTION GÉOGRAPHIQUE : Kundhuru ya Tshuve, col Gahinga-Sabinyo, Ruanda, forêt de Bambous (alt. 2.600 m., 15.IX.1934), holotype ♀, allotype ♂ et paratypes; Kundhuru ya Tshuve, Rutabagwe, Ruanda (alt. 2.600 m., 14.IX.1934); Nyabirehe, volcan Karisimbi, Ruanda (alt. 2.000 m., 22.II.1935); 18 exemplaires : 11 ♂♂, 7 ♀♀.

A ces spécimens vient s'ajouter un exemplaire ♂ originaire de Shamuheru, volcan Nyamuragira (alt. 1.843 m., 15.VI.1935), très semblable aux spécimens de cette espèce du même sexe, mais en diffère cependant par les palpes rouge testacé, le disque du scutellum plus fortement ponctué, la 2<sup>e</sup> abcsse de la radiale dans le même alignement que la 2<sup>e</sup> transverso-cubitale et une rugosité moins grossière des tergites I et II; 18+1 exemplaires.

AFFINITÉS : *M. ruandana* se place dans la clef de WILKINSON en même temps que l'espèce sud-africaine *M. eurygaster* (CAM.), connue par un unique spécimen ♂, dont elle diffère surtout par la coloration des palpes, une plus forte ponctuation du mésonotum et la rugosité des tergites I et II. Cette

espèce ne s'introduit pas dans la clef de FAHRINGER. Elle présente incontestablement des affinités avec *M. sylleptae* DE S., dont elle se distingue principalement par la forme et la sculpture des tergites I et II.

### Sous-groupe spécifique BICOLOR.

Antennes de la ♀ courtes et fortes; 2<sup>e</sup> tergite abdominal pourvu d'une aire médiane délimitée par des sillons; fémurs des pattes postérieures, courts et larges; valves de la tarière très courtes.

Dans l'esprit du classement préconisé ici, il est évident que la seule conformation des antennes de la ♀ justifie un groupement distinct. Deux espèces éthiopiennes, présentant ce caractère, ont été décrites jusqu'ici; l'une d'entre elles ne m'est pas connue. Les éléments font donc encore défaut pour établir, plus en détail, les caractéristiques de ce sous-groupe.

#### [*Microgaster bicolor* SZÉPLIGETI.]

*Microgaster bicolor* SZÉPLIGETI, Wiss. Ergebn. Deutz. Z. Afr. Exp., III, 1911, p. 413, ♀; WILKINSON, Trans. Ent. Soc. Lond., LXXVII, 1929, p. 110.

DISTRIBUTION GÉOGRAPHIQUE : Kibwezi, lac Tanganyika (Tanganyika Terr.).  
Hôte et cocon, inconnus.

#### 36. — *Microgaster austrina* WILKINSON.

(Fig. 87-89.)

*Microgaster austrina* WILKINSON, Trans. Ent. Soc. Lond., LXXVII, 1929, p. 119, ♀; WILKINSON, Bull. Ent. Res., XXI, 1930, p. 282, ♂ ♀; DE SAEGER, Rev. Zool. Bot. Afr., XXXV, 1942, p. 340.

DISTRIBUTION GÉOGRAPHIQUE : Rutshuru, Lubirizi (alt. 1.285 m.; 13.VII.1935); Rutshuru, riv. Fuku (alt. 1.250 m., 5.VII.1935); Ruhengeri, riv. Penge, Ruanda (alt. 1.800-1.825 m., 4-5.X.1934); Burunga, Mokoto (alt. 2.000 m., 15-16.III.1934); lac Mugunga (alt. 1.500 m., 1-3.VI.1934); Rutshuru (alt. 1.285 m., 2.VII.1935); Bulengo, Mugunga (alt. 1.500 m., 31.I.1934); 9 exemplaires : 1 ♂, 8 ♀ ♀.

Ces spécimens correspondent exactement à la description de WILKINSON. Ils présentent à peine de légères différences de coloration : hanches III rouge testacé à peine dans le 1/3 apical et tibias III faiblement rougeâtres à la base.

Parmi ces exemplaires figure 1 ♂ qui, à part le caractère des antennes longues (fig. 87-89), signalé par WILKINSON en 1930, a la coloration des pattes légèrement plus claire que chez la ♀ et les tibias postérieurs assombris seulement à l'apex. Ces exemplaires sont également un peu plus grands : 2,5 mm.

BIOGÉOGRAPHIE : Cette espèce paraît répandue dans toute la région éthiopienne. Décrite d'après des spécimens originaires de l'Afrique du Sud, où

ils furent obtenus de larves trouvées dans de la balle de Maïs, elle fut ensuite signalée de l'Uganda. J'ai renseigné sa présence au Congo Belge, où son hôte est jusque maintenant encore inconnu, et j'ai eu l'occasion de la déterminer parmi une petite collection de Braconides récoltés par l'ento-

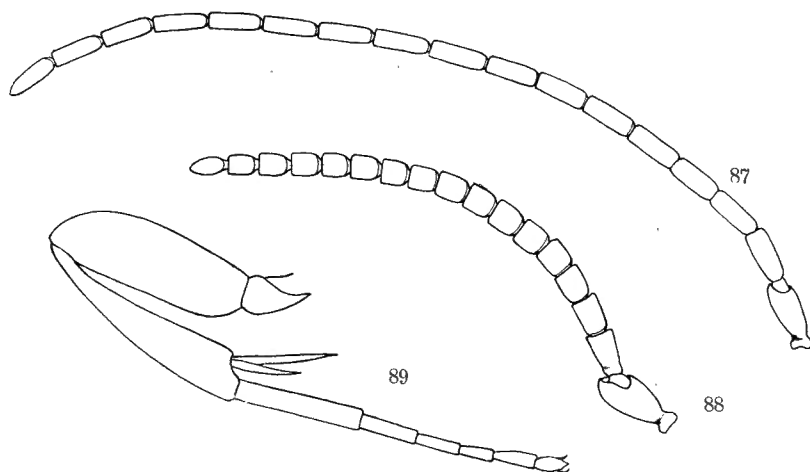


FIG. 87-89. — *Microgaster austrina* WILKINSON.

FIG. 87. — Antenne du ♂. FIG. 88. — Antenne de la ♀.

FIG. 89. — Patte postérieure de la ♀.

mologiste RISBEC, au Sénégal. Dans cette dernière localité, *M. austrina* parasitait la Pyrauste du Mil *Marasmia grisealis* GHESQ., et était épiparasité par l'Ichneumonide *Mesochorus nigellus* WILKN.

L'hôte dont ce *Microgaster* a été obtenu au Sénégal est très voisin de l'espèce pantropicale *Marasmia trapezalis* (GN.) répandue du Soudan à l'Afrique du Sud, et vu la très grande affinité de ces deux espèces il pourrait être également son parasite. Dans ce cas, il semblerait que ce Braconide est inféodé aux Pyrales des Graminées. Il y aurait d'intéressantes observations biologiques à faire à son sujet en le rapprochant de l'*Apanteles sesamiae* CAM., avec lequel il présente bien des analogies morphologiques et qui semble également inféodé à certains ravageurs des Graminées.

#### Sous-groupe spécifique LEPPELEYI.

Ce sous-groupe se caractérise essentiellement par la présence d'une aire médiane sur le 2<sup>e</sup> tergite abdominal. Premier tergite sans de fortes proportions entre les largeurs de la base et de l'apex, marqué d'un sillon longitudinal médian qui ne s'étend pas dans la moitié apicale; valves de la tarière toujours courtes. Par ailleurs, les autres caractères sont assez enchevêtrés, les bases de ce sous-groupe ne sont donc pas encore bien établies.

[*Microgaster leppeleyi* WILKINSON.]

*Microgaster leppeleyi* WILKINSON, Stylops, III, fasc. 5, 1934, p. 118, ♂ ♀.

DISTRIBUTION GÉOGRAPHIQUE : Kiambu (Kenya).

*Hôte* : une des séries ayant servi à la description originale a été élevée du Noctuide *Epigynopterix ansorgei* WARR., une seconde est renseignée *Epigynopterix* sp., *ansorgei* WARR., ou *tabitha* WARR.

*Cocons* : grands, bruns, la base est aplatie, ovale, de 4,5 mm. de long sur 2 mm. de large. Ces cocons sont irrégulièrement formés et sinon les soies libres abondantes, particulièrement à l'extrême sommet, ils ressemblent beaucoup à un grand Coccide.

37. — *Microgaster megaulax* sp. n.

(Fig. 90-92.)

♀ : noire; parties buccales (sauf les mandibules), pattes I et II (excepté les tarses), partie inférieure et apex des hanches, trochanters, moitié basale des trochantelles (parfois) et un peu plus de la moitié basale des fémurs (assez sombre) des pattes III, bords latéraux membraneux des tergites I, II et III, parties latérales du III partiellement et sternites de la base, rouge testacé; mandibules, scapes (excepté sur la face externe), tarses I et confusément la base des tibias III, rouge testacé foncé; apex des trochantelles (parfois) brun rougeâtre; palpes et éperons des tibias, jaune-rouge testacé; nervation et stigma bruns, médiane et anale un peu plus claires à la base; ailes hyalines, légèrement mais distinctement enfumées dans les parties suivantes : aux ailes I, une tache près du nervulus et le long de la 2<sup>e</sup> abaisse de la médiane, englobant la 1<sup>re</sup> cellule brachiale et la moitié distale de la cellule anale, une bande transversale sous le stigma, englobant la 2<sup>e</sup> cellule cubitale, ne touchant pas la récurrente et atteignant le bord postérieur de l'aile, une enfumure distale comprenant entièrement la 3<sup>e</sup> cellule cubitale, le tiers de la cellule radiale et l'angle antérieur de la 2<sup>e</sup> cellule discoïdale.

♂ : semblable à la ♀ excepté : scapes noirs ou légèrement rougeâtres entièrement; trochantelles et 2/3 basilaires des fémurs III, rouge testacé (1 ♂ présente une bande rougeâtre à l'apex des tergites III et IV).

♂ ♀. *Tête* : face brillante, fortement ponctuée (degré 4) un peu superficiellement, divisée par une ligne longitudinale médiane lisse et un peu proéminente; clypéus bien différencié de la face; ostioles faciales grandes, un peu plus près de l'apex du clypéus que des yeux; vertex et occiput lisses et brillants; tempes densément ponctuées à la base; espace oculo-ocellaire à peine plus long que la distance séparant les ocelles postérieurs (8 : 7); 1<sup>er</sup> article du flagellum près de 4,5 fois plus long que large (20 : 4,5) dans les deux sexes, article apical 3,5 fois chez le ♂ (articles apicaux absents chez l'unique exemplaire ♀).

*Thorax* : mésonotum brillant, très fortement ponctué (degrés 4 et 5), intervalles en moyenne moindres que le diamètre de la ponctuation, celle-ci plus dense antérieurement, lobes latéraux légèrement plus élevés que la partie médiane; sillon préscutellaire particulièrement large, formé de 4 ou 5 augets; disque du scutellum brillant, très convexe, à forte ponctuation

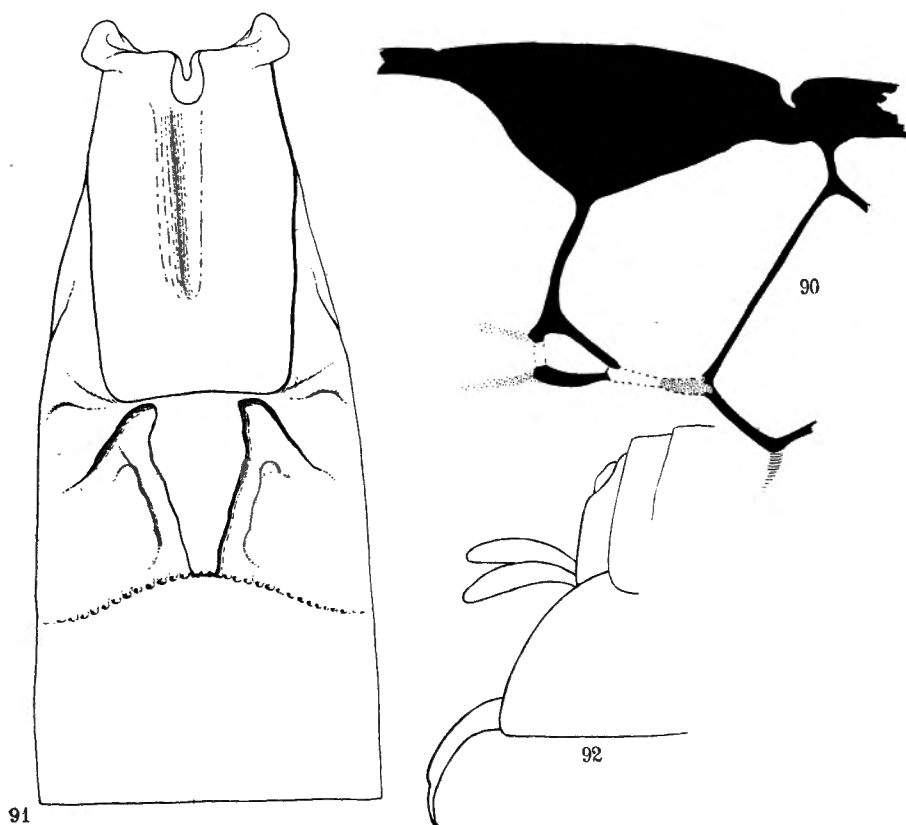


FIG. 90-92. — *Microgaster megaulax* sp. n.

FIG. 90. — Détail de la nervation des ailes antérieures.

FIG. 91. — Détail des trois premiers tergites abdominaux.

FIG. 92. — Apex de l'abdomen.

(degré 4), un peu moins dense au milieu que sur le mésonotum, extrême apex rugueux; mésopleures brillants, lisses à la partie supérieure, fortement ponctués dans l'angle huméral, avec une petite ponctuation non sétigère et éparses vers le bas, cochléar grand à bord inférieur striolé; métapleures lisses antérieurement, grossièrement ponctués ailleurs; propodeum fortement et grossièrement ponctué et vaguement strié transversalement, de part et d'autre de la forte carène longitudinale médiane, jusqu'à une carène latérale

préoperculaire, entre cette dernière et la carène latérale externe (postoperculaire) se trouve une large bande ruguleuse.

*Ailes* (fig. 90) : largeur du stigma plus grande que la longueur de la 1<sup>re</sup> abcisse de la radiale; récurrente et partie apicale de la 1<sup>re</sup> abcisse de la cubitale (celle-ci punctiforme) égales, un peu plus longues que la 1<sup>re</sup> transverso-cubitale; 2<sup>e</sup> transverso-cubitale punctiforme et environ double de la 2<sup>e</sup> abcisse de la radiale; stigma un peu plus court que le métacarpe.

*Pattes III* : hanches fortement et densément ponctuées en dessus, à ponctuation plus éparsée sur la face externe; fémurs ponctués à peu près comme le dessus des hanches, moins densément et plus régulièrement. Proportions : hanches, 34/55; fémurs, 18/65; tibias, 13/76; tarses : I, 42; II, 15; III, 12; IV, 10; V, 12; le plus long éperon des tibias environ les 3/5 et le plus court les 2/5 de la longueur des métatarses.

*Abdomen* (fig. 91) : tergite I brillant, striolé longitudinalement et marqué d'un profond sillon médian dans les 2/3 basilaires, grossièrement et densément ponctué à l'apex, celui-ci tronqué et à angles arrondis, longueur médiane du tergite un peu plus de 2 fois sa largeur apicale qui est à peine plus étroite que la largeur basale et un peu plus des 2/3 de sa plus grande largeur (30 : 13 : 14 : 18), ses bords latéraux faiblement divergents jusqu'au 1/3 basal, ensuite presque parallèles jusqu'à l'apex, le tergite recourbé peu avant ce dernier; tergite II marqué de deux larges sillons discaux convergents vers l'apex, délimitant une aire médiane longuement triangulaire, irrégulièrement striée longitudinalement à la base, et de deux rebords divergents qui ne constituent, en réalité, que le bord d'un sillon séparant la partie lisse antérieure de la partie sculptée postérieure plus déprimée, où la limite du sillon a disparu, les parties latérales plus ou moins ruguleuses; 2<sup>e</sup> suture largement arquée médialement et petitement crénelée; tergite III brillant, petitement ponctué dans les 2/3 basilaires; (chez le ♂, le tergite I est plus court et plus étroit, en conservant le même rapport dans les proportions); hypopygium non membraneux à apex arrondi; valves de la tarière courtes, falciformes, environ de la longueur du plus court éperon des métatarses III (fig. 92).

Longueur : 4 mm.

DISTRIBUTION GÉOGRAPHIQUE : Rutshuru (alt. 1.285 m., 4.VII.1935), holotype ♀; Rutshuru (alt. 1.285 m., 1-6.VI.1935), allotype ♂ et paratypes; Rutshuru, Buhanya (alt. 1.200 m., 6.VII.1935); 4 exemplaires : 3 ♂♂, 1 ♀.

38. — *Microgaster wittei* sp. n.

(Fig. 93-98.)

♀ : noire; palpes, pattes I et II (excepté les tarses), partie inférieure à l'apex des hanches, trochanters, trochantelles et fémurs (sauf une légère enfumure apicale) des pattes III, jaune à jaune-rouge testacé; tarses I et II

(ceux-ci plus sombres), tibias III (sauf une enfumure apicale) et tegulae, rouge testacé; flagellum jaune brunâtre, sale à la base, à peu près noir apicalement; tarsi III, brun rougeâtre foncé; scapes antérieurement, mésonotum (excepté la plus grande partie des lobes), axillae (parfois partiellement), partie postérieure du propectus, calus huméral des mésopleures, mésosternum à la base et latéralement, rougeâtres; bords latéraux membraneux des tergites I et II et parfois le bord apical du III, sternites de la base, rouge testacé; épérons des tibias pâles; ailes faiblement jaunâtres; nervation brune, 1<sup>re</sup> abaisse de la cubitale, récurrente, basale et partie proximale des médiane et anale, plus claires; stigma avec une éclaircie d'étendue variable dans l'angle proximal, parfois très peu apparente chez la ♀, absente chez le ♂.

♂ : colorations semblables à celles de la ♀, flagellum noir brunâtre, parties rougeâtres du thorax parfois à peine visibles ou réduites; fémurs III plus fortement enfumés à l'apex, ainsi que les tibias, qui le sont parfois sur toute la longueur à la face supérieure.

La coloration thoracique rougeâtre est variable en étendue et en intensité, mais sa présence est toujours décelable, le thorax n'est toutefois jamais complètement de cette teinte. Cette coloration est généralement bien définie à la base du mésonotum et le long des lignes des notaulices dans la moitié basale.

♂ ♀. *Tête* : face brillante, carénée au milieu à la partie supérieure, à petite ponctuation (degré 1), espacée et régulière; clypéus différencié; ostioles faciales plus près de l'apex du clypéus que des yeux; vertex et occiput lisses et brillants médialement, à très fine ponctuation près des yeux se continuant sur les tempes; ocelles postérieurs distinctement plus près l'un de l'autre que des yeux; antennes près de 2/3 plus longues que le corps; 1<sup>er</sup> article du flagellum 4 fois plus long que large (17 : 4), articles préapicaux environ 2 fois chez la ♀ (8 : 3,5), respectivement 3 fois (15 : 5) et 4 fois chez le ♂. Chez ce dernier, les articles apicaux sont donc particulièrement longs (fig. 93-94).

*Thorax* : mésonotum assez régulièrement et densément ponctué (degré 3); sillon préscutellaire faiblement arqué, profond et régulièrement divisé par des carènes étroites; disque du scutellum convexe, un peu plus long que sa largeur basale, marqué de la même ponctuation que le mésonotum, mais un peu plus espacée; mésopleures lisses et brillants, excepté dans l'angle huméral où ils portent une ponctuation régulière, plus forte que celle du mésonotum, qui se continue antérieurement, puis sur le mésosternum sous le cochléar; propodeum divisé par une carène longitudinale médiane, droite et mince, portant ailleurs une grossière ponctuation alvéolaire lui donnant un aspect rugueux, cette sculpture est souvent superficielle et toujours absente près des carènes apicale et latérale.

*Ailes* (fig. 95): largeur du stigma et 1<sup>re</sup> abcisse de la radiale d'égale longueur, près du double de la longueur de la 1<sup>re</sup> transverso-cubitale, celle-ci, elle-même, double de la longueur de la 2<sup>e</sup> abcisse de la radiale et de la 2<sup>e</sup> transverso-cubitale punctiforme; récurrente un peu plus courte que la partie apicale hyaline de la 1<sup>re</sup> abcisse de la cubitale; stigma de longueur égale au métacarpe chez le ♂, un peu plus court chez la ♀. La dimension de la 2<sup>e</sup> cellule cubitale est un peu variable.

*Pattes III* (fig. 96): hanches rugueuses, à forte ponctuation dense, parfois un peu aciculées sur la face externe où la ponctuation peut être un peu moins dense et est toujours espacée chez le ♂, chez lequel une aire lisse et brillante a tendance à apparaître; fémurs à petite ponctuation entremêlée d'extrêmement fines acicules; tibias à dépression préapicale sur la face externe. Proportions: hanches, 23/40; fémurs, 11/50; tibias, 10/56; tarsi: I, 31; II, 13; III, 10; IV, 8; V, 10; le plus long éperon des tibias un peu plus long que la moitié et le plus court le tiers de la longueur des métatarses.

*Abdomen* (fig. 97): tergite I entièrement aciculé longitudinalement, plus finement aciculé dans le tiers apical où il porte une grande ponctuation allongée, dense, lui donnant un aspect grossièrement rugueux, légèrement excavé à la base avec un petit sillon médian, un peu convexe et courbé dans le tiers apical, sa longueur médiane 2,5 fois sa largeur apicale, 2 fois sa largeur basale et 1,66 fois sa plus grande largeur située peu avant l'apex (20 : 8 : 10 : 12), ce tergite est légèrement cintré au milieu, plus large près de la base et vers l'apex, ses bords latéraux s'incurvent légèrement pour atteindre celui-ci qui est tronqué; tergite II orné d'une aire médiane en relief occupant toute sa longueur, plus étroite à l'apex qu'à la base, 2 fois plus longue que sa largeur basale et limitée par des sillons larges et superficiels, parfois mal définis, à la base du tergite, deux sillons courts partent des angles apicaux du tergite I et divergent à environ 90°, l'aire médiane est longitudinalement striolée, latéralement ce tergite est déprimé, vaguement et superficiellement sculpté avec une extrêmement petite ponctuation sétigère; sa longueur médiane 1,5 fois plus longue que la largeur apicale du I et un peu plus courte que le III (12 : 8 : 14); 2<sup>e</sup> suture distincte, latéralement un peu oblique; tergites III et suivants lisses et brillants; à très petite ponctuation latérale; apex de l'hypopygium à peu près à angle droit; valves de la tarière courtes, plus courtes que le plus long éperon des tibias III, dépourvues d'appendice (fig. 98).

Chez le ♂, le tergite I a ses bords latéraux plus parallèles et il est un peu plus étroit; longueur médiane du II un peu plus longue que la largeur apicale du I et 1,4 fois plus court que le III (10 : 8 : 14).

Longueur : 3 à 3,5 mm.

DISTRIBUTION GÉOGRAPHIQUE : Rweru, volcan Mikeno, forêt de Bambous (alt. 2.400 m., 26-27.VII.1934), holotype ♂ et paratypes; vers Rweru, volcan Mikeno, forêt de Bambous (alt. 2.400 m., 3, 12 et 20.VII.1934); lac Kanya-

menoni, vers le volcan Musule (alt. 2.300 m., 4.VIII.1934); lac Gando, volcan Karisimbi, Ruanda (alt. 2.400 m., 9.III.1935); mont Sesero, près de Bitashimwa, forêt de Bambous (alt. 2.000 m., 1-2.VIII.1934); Gitebe, volcan Nyamuragira (alt. 2.324 m., 14-26.VI.1935); Shamuheru, volcan Nyamuragira (alt. 1.843 m., 15.VI.1935); Kibga, volcan Visoke, Ruanda (alt. 2.400 m.,

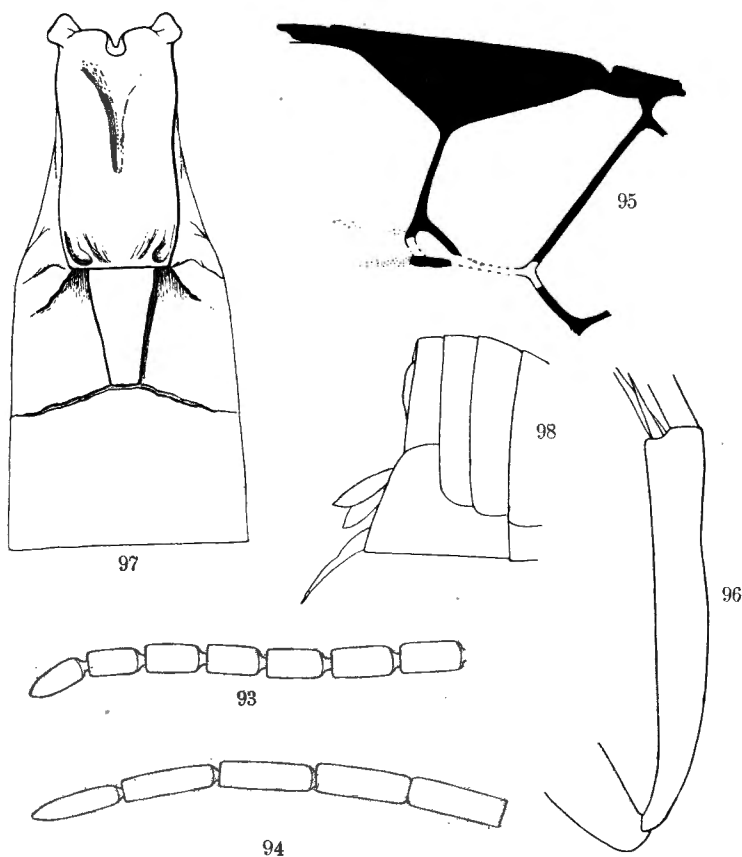


FIG. 93-98. — *Microgaster wittei* sp. n.

FIG. 93. — Sommet de l'antenne ♀. FIG. 94. — Sommet de l'antenne ♂.  
 FIG. 95. — Détail de la nervation des ailes antérieures. FIG. 96. — Tibia postérieur.  
 FIG. 97. — Détail des trois premiers tergites abdominaux.  
 FIG. 98. — Sommet de l'abdomen.

11.II.1935); Nyabirehe, volcan Karisimbi, Ruanda (alt. 2.000 m., 22.II.1935); Burunga, Mokoto (alt. 2.000 m., 9-14.III.1934), allotype ♂ et paratypes; Nyasheke, volcan Nyamuragira (alt. 1.820 m., 14-26.VI.1935); Tshamugussa, Bweza, forêt de Bambous (alt. 2.250 m., 10.VIII.1934); volcan Visoke (alt. 2.800-3.300 m., 13-14.II.1935); 57 exemplaires : 40 ♂♂, 17 ♀♀.

AFFINITÉS : La coloration du thorax de *M. wittei* se rapproche assez bien de celle de *M. vacillatrix* WILKN., mais la longueur et la sculpture du 2<sup>e</sup> tergite abdominal l'en séparent très nettement, les valves de la tarière sont aussi beaucoup plus courtes.

a) **Microgaster wittei xanthostigma** ab. n.

♂ ♀ : absolument semblables à *M. wittei*, en diffèrent seulement par une nervation plus pâle et le stigma diaphane et jaunâtre.

DISTRIBUTION GÉOGRAPHIQUE : Rweru, volcan Mikeno, forêt de Bambous (alt. 2.400 m., 26-27.VII.1934), holotype ♀ et paratypes; Tshamugussa, Bweza, forêt de Bambous (alt. 2.250 m., 10.VIII.1934), allotype ♂ et paratypes; 9 exemplaires : 4 ♂♂, 5 ♀♀.

b) **Microgaster wittei major** ab. n.

Semblable au ♂ de *M. wittei*, mais de taille plus forte.

♂ : longueur 3,9 mm. Fémurs III noirs dans le quart apical et sur une certaine longueur à la face supérieure; tibias III, brun noirâtre entièrement; tergite I rougeâtre à l'apex; aire médiane du tergite II, subcordiforme, assez proéminente, longueur médiane de ce tergite 1,2 fois la largeur apicale du I et les 2/3 du III (12 : 10 : 18); 2<sup>e</sup> suture assez arquée.

DISTRIBUTION GÉOGRAPHIQUE : Kundhuru ya Tshuve, col Gahinga-Sabinyo, Ruanda (alt. 2.600 m., 18.IX.1934); lac Kanyamenoni, vers le volcan Musule (alt. 2.300 m., 14.VII.1934); 3 exemplaires ♂♂.

39. — **Microgaster cincticornis** sp. n.

(Fig. 99-103.)

♀ : noire; parties buccales, tegulae, pattes I et II entièrement (tibias et tarsi II un peu plus foncés), moitié apicale inférieure et apex des hanches, trochanters, trochantelles, fémurs (excepté l'apex et sur une plus ou moins grande étendue sur la face supérieure), base des tibias et tarsi (confusément) des pattes III, rouge testacé; tibias ailleurs et tarsi III, brun rougeâtre; parties latérales membraneuses des tergites I et II, plus ou moins les parties latérales de ce dernier et celles du III parfois largement, jaune-rouge à rouge testacé; articles du flagellum VI.VII et VIII, blanchâtres; palpes et épérons des tibias III, jaune testacé; aires transcutales et faiblement la base du prépectus, rougeâtres; ailes hyalines ou très faiblement enfumées entièrement et régulièrement; nervures et stigma bruns, médiane et anale plus claires à la base.

♂ : semblable à la ♀, excepté que les antennes sont unicolores.

♂ ♀. *Tête* : face brillante, un peu proéminente médialement, à très petite ponctuation espacée; clypéus à peine différencié de la face; ostioles faciales légèrement plus près de l'apex du clypéus que des yeux; vertex, occiput et

tempes virtuellement lisses; espace oculo-ocellaire plus grand que la distance séparant les ocelles postérieurs; antennes un peu plus longues que le corps et plus épaisses distalement; 1<sup>er</sup> article du flagellum 4,5 fois plus long que large (18 : 4), articles préapicaux un peu plus longs que larges, courtement pédicellés (fig. 99).

*Thorax* : mésonotum légèrement satiné, à ponctuation régulière (degré 2 à 3) assez superficielle, les pointillés séparés, en moyenne, par environ leur propre diamètre, légèrement plus denses le long des lignes des notaulices; sillon préscutellaire large et profond, bien divisé par des carènes minces; disque du scutellum convexe, brillant, à ponctuation forte (degré 4), mieux marquée que sur le mésonotum, à peine plus espacée et portant une légère dépression préapicale paraissant esquisser l'ébauche d'un auget; mésopleures lisses et brillants, excepté une ponctuation dense sur la protubérance humérale, plus forte et plus espacée vers le mésonotum; cochléar à peine apparent; suture méso-métapleurale faiblement crénelée; métapleurales lisses antérieurement, grossièrement ponctués en arrière; propodeum assez mat, plus ou moins distinctement réticulé et ponctué, carène longitudinale médiane droite, non crénelée.

*Ailes* (fig. 100) : 1<sup>re</sup> abcisse de la radiale plus courte que la largeur du stigma et près de 1,5 fois plus longue que la 1<sup>re</sup> transverso-cubitale; aréole petite, 2<sup>e</sup> abcisse de la radiale environ égale à la moitié de la longueur de la 1<sup>re</sup> transverso-cubitale, à peine plus longue que la 2<sup>e</sup>, celle-ci punctiforme, les abcisses distales de la radiale et de la cubitale fort rapprochées à leur base; partie apicale de la 1<sup>re</sup> abcisse de la cubitale punctiforme, environ de longueur égale à la 1<sup>re</sup> abcisse de la radiale et légèrement plus longue que la récurrente; stigma beaucoup plus court que le métacarpe.

*Pattes III* : hanches avec une forte ponctuation dense, presque rugueuse à la face supérieure, plus espacée sur la face externe où tend à apparaître une aire lisse; fémurs petitement et densément ponctués; tibias renflés à la face supérieure (fig. 101, comparer avec la fig. 96). Proportions : hanches, 22/38; fémurs, 13/50; tibias, 10/60; tarsi : I, 33; II, 12; III, 9; IV, 7; V, 10; le plus long éperon des tibias la moitié et le plus court le 1/3 de la longueur des métatarses.

*Abdomen* (fig. 102) : tergite I aciculé à rugueux longitudinalement dans les 2/3 basilaire et marqué d'un sillon médian, rugueux-rugueux et proéminent dans le 1/3 apical avec quelques pointillés sétigères, longueur médiane 2,4 fois la largeur apicale, 2 fois la largeur basale et 1,7 fois sa plus grande largeur située au milieu (24 : 10 : 12 : 14), bords latéraux divergents jusqu'au quart basal après un étranglement à l'extrême base, ensuite plus ou moins parallèles jusqu'au quart apical et légèrement convergents en ligne droite jusqu'à l'apex, celui-ci est droit à angles arrondis; tergite II portant une aire médiane longue, légèrement en relief, subtriangulaire, vaguement striolée longitudinalement et bordée de larges sillons superficiels au delà des-

quels le tégument est plus ou moins aciculé, ce tergite présente également à la base et de chaque côté de l'aire médiane deux sillons excurvés, à bord antérieur bien marqué, se dirigeant vers les bords latéraux mais sans les atteindre longueur médiane du tergite II à peine plus longue que la largeur apicale

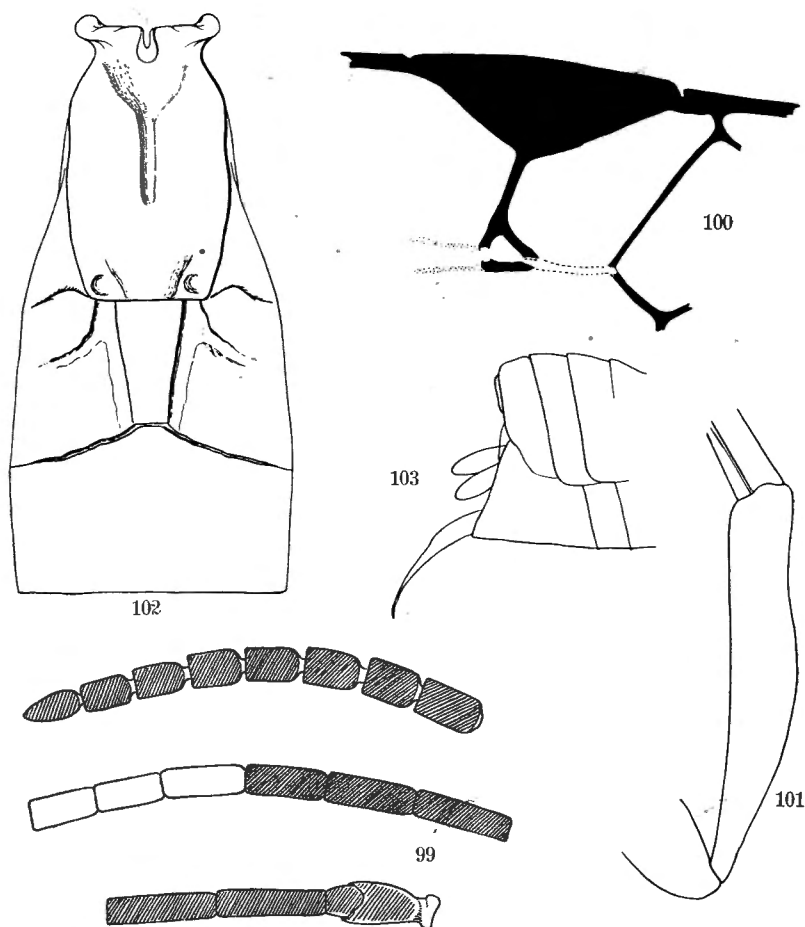


FIG. 99-103. — *Microgaster cincticornis* sp. n. ♀.

FIG. 99. — Antenne. FIG. 100. — Détail de la nervation des ailes antérieures.

FIG. 101. — Tibia postérieur. FIG. 102. — Détail des trois tergites abdominaux.

FIG. 103. — Apex de l'abdomen.

du I, 1,63 fois plus courte que sa propre largeur apicale et 1,36 fois plus courte que celle du III (11 : 10 : 18 : 15) (chez un spécimen, l'apex du tergite I est plus étroit et la longueur médiane du II un peu plus longue (8 : 13); 2<sup>e</sup> suture bien marquée, latéralement oblique; tergites III et suivants, brillants, portant l'habituelle petite ponctuation; hypopygium un peu aigu; valves de la tarière

très courtes, environ égales aux  $2/3$  de la longueur du plus long éperon des métatarses III (fig. 103).

Longueur : 3,5 mm.

DISTRIBUTION GÉOGRAPHIQUE : Gitebe, volcan Nyamuragira (alt. 2.324 m., 14-26.VI.1935), holotype ♀ et paratypes; Mayumbu, volcan Nyamuragira (alt. 2.100 m., 14-26.VI.1935); Nyasheke, volcan Nyamuragira (alt. 1.820 m., 14-26.VI.1935), allotype ♂ et paratypes; Shamuheru, volcan Nyamuragira (alt. 1.842 m., 15.VI.1935); 19 exemplaires : 14 ♂♂, 5 ♀♀.

40. — **Microgaster homocera** sp. n.

(Fig. 104.)

Espèce ayant une grande affinité avec *M. cincticornis*.

♀ : noire, tegulae rouge sombre; pattes I et II nettement plus foncées que leurs hanches; extrême apex des fémurs III plus fortement assombris, rouge

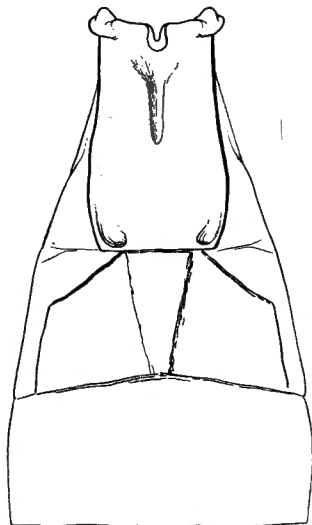


FIG. 104. — *Microgaster homocera* sp. n.,  
détail des trois premiers tergites abdominaux.

testacé dans le  $1/3$  ou la moitié basale; extrême apex des hanches III rouge testacé; ailes enfumées légèrement et régulièrement; anneau blanchâtre aux antennes comme *M. cincticornis*.

♂ : semblable à la ♀, mais dépourvu d'anneau blanchâtre aux antennes, qui sont beaucoup plus longues, plus grêles et amincies distalement.

♂♀ : ostioles faciales distinctement plus près de l'apex du clypéus que des yeux; ponctuation du mésonotum et du disque du scutellum plus forte (degré 4), les pointillés séparés en moyenne par environ la moitié de leur propre diamètre; disque du scutellum à apex aigu; propodeum grossièrement

rugueux; hanches III assez régulièrement ponctuées sur la face externe, mais moins densément que sur la face supérieure; 2° abcisse de la radiale écartée vers l'apex de l'aile; tergite I et II finement rugueux et mats, I grossièrement ponctué dans le 1/3 apical; aire médiane du II peu en relief, par suite moins apparente, aussi fortement sculptée que les parties latérales, ces parties plus larges que chez *M. cincticornis*, mieux délimitées latéralement et 2° suture moins oblique latéralement; tergite III parfois finement aciculé à la base, plus largement au milieu; longueur médiane du tergite I, 2 fois les largeurs basale et apicale, environ 1,53 fois la plus grande largeur située au tiers apical (20 : 10 : 10 : 13); tergite II à peine plus long médialement que la largeur apicale du I, la moitié de sa propre largeur apicale et un peu plus court que le III (11 : 10 : 22 : 13) (fig. 104); apex de l'hypopygium presque à angle droit; valves de la tarière comme chez *M. cincticornis*.

Longueur : 3 à 3,5 mm.

DISTRIBUTION GÉOGRAPHIQUE : Nyasheke, volcan Nyamuragira (alt. 1.820 m., 14-26.VI.1935), holotype ♀, allotype ♂ et paratypes ♂♂; Mayumbu, volcan Nyamuragira (alt. 2.100 m., 14-26.VI.1935); Burunga, Mokoto (alt. 2.000 m., 15-16.III.1934); Gitebe, volcan Nyamuragira (alt. 2.324 m., 14-26.VI.1935); Kanyabayongo, Kabasha (alt. 1.750 m., 7.XII.1934); Mushumangabo, volcan Nyamuragira (alt. 2.075 m., 14-26.VI.1935); 52 exemplaires : 49 ♂♂, 3 ♀♀.

#### 41. — *Microgaster heterocera* sp. n.

(Fig. 105-106.)

♀ : noire; palpes rouge testacé sale; articles du flagellum I, II et moitié basale du III, roussâtre foncé chez certains spécimens, les I et IV partiellement blanchâtre sale chez d'autres, IV à VII ou V à VII entièrement blanchâtres; thorax généralement dépourvu de traces rougeâtres; extrême apex des hanches, trochanters, trochantelles et extrême base des fémurs des pattes III, bords latéraux membraneux des tergites I, II et en grande partie le III, rouge testacé; sinon comme *M. homocera*, excepté les ailes, plus fortement et irrégulièrement enfumées et les tegulae noires.

♂ : semblable à la ♀, mais les antennes unicolores.

♂♀ : face un peu plus fortement et plus régulièrement ponctuée que chez *M. homocera*; vertex et occiput, polis, brillants; espace oculo-ocellaire égal à la distance qui sépare les ocelles postérieurs; antennes plus grêles (fig. 105-106).

*Thorax* : mésonotum et disque du scutellum à ponctuation plus forte (degré 4), bien marquée, les pointillés plus rapprochés que leur propre diamètre, apex du disque du scutellum rugueux; sillon préscutellaire plus large, nettement divisé par des carènes plus fortes; mésopleures plus largement ponctués antérieurement et légèrement près du bord coxal; propodeum rugueux, à ponctuation peu apparente, carène longitudinale médiane droite, forte, lisse et non crénelée.

*Ailes* : même nervation que *M. cincticornis* et *M. homocera*, la 2<sup>e</sup> abcisse de la radiale, cependant, un peu plus écartée vers l'apex de l'aile et la partie apicale de la 1<sup>re</sup> abcisse de la cubitale plus courte, environ de la longueur de la récurrente.

*Pattes III* : hanches rugueuses en dessus, à ponctuation à peine plus espacée sur la face externe. Proportions : hanches, 23/35; fémurs, 12/48;

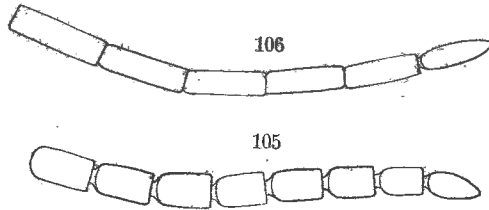


FIG. 105-106. — *Microgaster heterocera* sp. n.

FIG. 105. — Sommet de l'antenne de la ♀. FIG. 106. — Sommet de l'antenne du ♂.

tibias, 10/55; tarses : I, 30; II, 11; III, 8; IV, 6; V, 7; le plus long éperon des tibias la moitié et le plus court un peu plus du tiers de la longueur des métatarses; renflement externe des fémurs un peu moins accusé.

*Abdomen* : tergites I et II de mêmes proportions et sculpture que *M. homocera*, les sillons basilaires du II plus divergents, plus droits et atteignant presque les bords latéraux, parties latérales, de part et d'autre de l'aire médiane, plus distinctement ruguleuses, la largeur apicale de ce tergite 1,53 fois plus grande que sa longueur médiane et 2 fois la largeur apicale du I (20 : 13 : 10); hypopygium et valves de la tarière comme chez *M. cincticornis*.

Longueur : 3 mm.

**DISTRIBUTION GÉOGRAPHIQUE** : Rutshuru (alt. 1.285 m., 29-31.V.1935, 1-6, 7 et 6-8.VI.1935, 2 et 4.VII.1935), holotype ♀, allotype ♂ et paratypes; Rutshuru, riv. Fuku (alt. 1.250 m., 2, 5 et 6.VII.1935); Rutshuru, riv. Musugereza (alt. 1.100 m., 9.VII.1935); Ruhengeri, riv. Penge, Ruanda (alt. 1.825 m., 29.IX.1934); Sake, lac Kivu (alt. 1.460 m., 19-22.II.1934); Nyongera, près de Rutshuru (alt. 1.248 m., 17.VII.1935); Kashwa, entre Ngesho et Bishakishaki (alt. 2.000 m., 7-23.I.1935); 40 exemplaires : 34 ♂♂, 6 ♀♀.

Plus 1 exemplaire ♀ du lac Magera (alt. 2.000 m., 1.III.1934), qui ne peut être rapporté qu'avec doute à cette espèce, spécimen endommagé dont la tête a été recollée et ne lui appartient probablement pas.

**AFFINITÉS** : Cette espèce est très affine de *M. cincticornis* et *M. homocera*, elle s'en distingue surtout par la coloration des tegulae et des fémurs des pattes III, ainsi que par l'aspect du tergite II.

Quelques mâles ont une affinité certaine avec les espèces de ce sous-groupe et notamment avec *cincticornis*, *homocera* et *heterocera*, mais présentent une combinaison différente de caractères, ils ne peuvent être rattachés à aucune d'entre elles.

α) Mésonotum à aspect satiné, ponctuation petite (degré 2 à 3, comme *M. cincticornis*), tegulae noires, extrême base des fémurs III rouge testacé; sillons basilaires du tergite II très divergents et aire médiane peu apparente, comme *M. heterocera*. Rutshuru, riv. Rutshuru (alt. 1.000 m., 3.VII.1935); 1 exemplaire.

β) Mésonotum et disque du scutellum à ponctuation forte (degré 4) et aires transcutales rougeâtres (comme *M. homocera*); tegulae jaune testacé; base des fémurs III rouge testacé; tergite II comme *M. heterocera*. Rweru, volcan Mikeno, forêt de Bambous (alt. 2.400 m., 26-27.VII.1934); 1 exemplaire.

γ) Mésonotum et disque du scutellum à ponctuation dense, d'aspect rugueux comme *M. heterocera*; aires transcutales rougeâtres; tegulae et quart basal des fémurs, rouge testacé; sculpture du tergite II assez semblable à celle de *M. cincticornis*. Sake, lac Kivu (alt. 1.560 m., 19-22.II.1934); 2 exemplaires.

δ) Ponctuation du mésonotum assez semblable à celle de *M. homocera*; tegulae sombres, hanches III noires en dessus, rouge testacé ou rougeâtres en dessous; fémurs III rougeâtres, un peu plus clairs à la base; tergite I plus large que chez les espèces citées ci-dessus, sa longueur médiane 2 fois ses largeurs basale et apicale et 1/3 plus longue que la plus grande largeur (20 : 10 : 10 : 15), les bords latéraux fortement arrondis vers l'apex; tergite II comme *M. heterocera*, sa largeur apicale 2,2 fois sa longueur médiane, celle-ci égale à la largeur apicale du I. Rutshuru (alt. 1.285 m., 7.VI.1935, 2-4.VII.1935); Rutshuru, riv. Fuku (alt. 1.250 m., 6.VII.1935); Rutshuru, riv. Musugereza (alt. 1.100 m., 8.VII.1935); Rwindi (alt. 1.000 m., 20-24.XI.1934); May ya Moto (alt. 950 m., 6-9.XI.1934); 20 exemplaires.

#### Sous-groupe spécifique STENOTERGA.

Premier tergite abdominal remarquablement étroit, très rétréci à l'apex, sa longueur médiane supérieure à 3 fois sa largeur apicale; 2<sup>e</sup> tergite d'aspect variable; ponctuation du mésonotum de force et densité ordinairement moyennes; pattes longues et grêles; fémurs postérieurs présentant parfois une dépression plus ou moins accusée sur la face externe.

Les proportions du 1<sup>er</sup> tergite rapprochent, les espèces appartenant à ce sous-groupe, de certaines formes paléarctiques.

Les deux séries différentes figurant dans les récoltes de la mission DE WITTE appartenant chacune à un sexe différent, il est difficile de caractériser d'une façon plus précise les particularités de cet intéressant sous-groupe.

2161

42. — **Microgaster stenoterga** sp. n.

(Fig. 107-111.)

♀ : noire; pièces buccales, tegulae, propectus, pattes I et II entièrement, hanches (excepté la face supérieure depuis le 1/4 basal jusque près de l'apex), trochanters, trochantelles, fémurs (sauf l'apex) et éperons des tibias des pattes III, moitié basale du tergite I (excepté les bords latéraux sur une certaine étendue), parties latérales membraneuses des tergites I, II et la moitié antérieure de celles du III, sternites de la base et hypopygium, rouge testacé; faiblement le clypéus antérieurement, mandibules et tibias III, noir brunâtre; scapes légèrement rougeâtres; ailes faiblement enfumées entièrement et régulièrement; nervures et stigma bruns.

♀. *Tête* : face satinée, à très petite ponctuation assez dense, divisée par une carène longitudinale médiane assez proéminente; clypéus différencié de la face; palpes courts, palpes maxillaires distinctement plus courts que les fémurs I; ostioles faciales un peu plus près de l'apex du clypéus que des yeux; vertex et occiput moins distinctement ponctués que la face, vertex assez long; stemmaticum lisse et brillant; espace oculo-ocellaire beaucoup plus grand que la distance qui sépare les ocelles postérieurs; antennes un plus longues que le corps, 1<sup>er</sup> article du flagellum environ 3 fois plus long que large, les deux pénultièmes articles près de 2 fois (fig. 107).

*Thorax* : mésonotum brillant, à ponctuation (degré 2 à 3) assez dense, mieux marquée antérieurement et latéralement, devenant imperceptible à la base; sillon préscutellaire droit, mince et faiblement crénelé; disque du scutellum brillant, à faible convexité, plus long que large à la base, à apex aigu, portant une petite ponctuation superficielle plus forte que celle de la base du mésonotum mais plus espacée; partie antérieure des axillae, crénelée sur les bords, lisse discalement; mésopleures lisses et brillants, légèrement ponctués dans l'angle huméral et près du bord coxal, cochléar bien marqué, avec une fossette médiane; métapleures lisses et brillants; propodeum brillant, portant quelques pointillés très superficiels vers le tiers basal et divisé par une carène longitudinale médiane très courtement et faiblement crénelée, lisse ailleurs.

*Ailes* (fig. 108) : 1<sup>re</sup> abcisse de la radiale et 1<sup>re</sup> transverso-cubitale d'égale longueur, plus courtes que la largeur du stigma et environ 1/4 plus longues que la récurrente; partie apicale punctiforme de la 1<sup>re</sup> abcisse de la cubitale distinctement plus courte que cette dernière; 2<sup>e</sup> transverso-cubitale plus longue que la 2<sup>e</sup> abcisse de la radiale; stigma plus court que le métacarpe.

*Pattes III* (fig. 109) : hanches brillantes, portant quelques pointillés mal marqués à la base en dessus, lisses sur la face externe; fémurs très légèrement ponctués. Proportions : hanches, 18/35; fémurs, 12/46; tibias, 8/50;

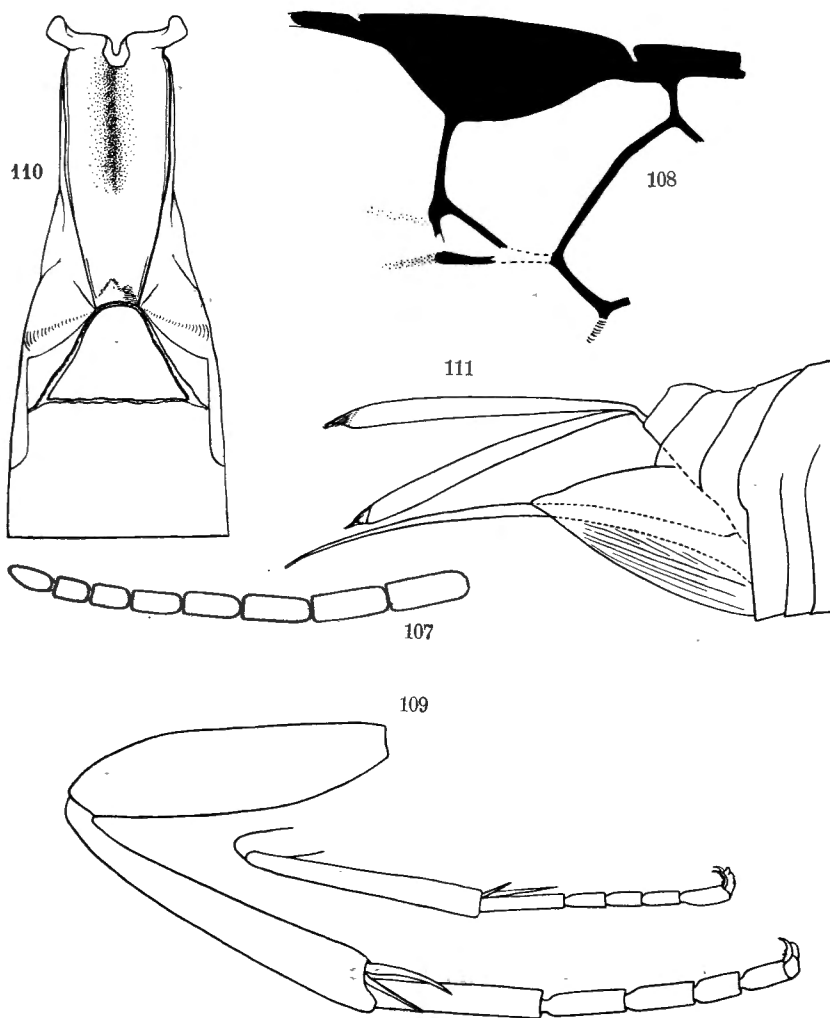


FIG. 107-111. — *Microgaster stenoterga* sp. n. ♀.

FIG. 107. — Sommet de l'antenne.

FIG. 108. — Détail de la nervation des ailes antérieures.

FIG. 109. — Pattes intermédiaire et postérieure.

FIG. 110. — Détail des trois premiers tergites abdominaux.

FIG. 111. — Apex de l'abdomen.

tarses : I, 25; II, 12; III, 9; IV, 7; V, 8; le plus long éperon des tibias près de la moitié et le plus court moins du tiers de la longueur des métatarses.

*Abdomen* (fig. 110) : abdomen un peu plus long que le thorax; tergite I extraordinairement long et étroit, sa longueur médiane 6 fois sa largeur apicale et 2,66 fois sa largeur basale (24 : 4 : 9), recourbé vers le tiers apical et ses bords latéraux parallèles dans la moitié basale, ensuite convergents

en ligne droite vers l'apex échancré, à tégument brillant, aciculé latéralement et marqué d'un large sillon médian lisse dans la moitié basale, vaguement rugueux dans la moitié apicale avec une très légère protubérance apicale; tergite II brillant, marqué de deux sillons divergents bien marqués, l'aire entre les sillons légèrement convexe, lisse discalement, vaguement sculptée ailleurs, la coloration noire dépassant latéralement les sillons et limitée en arc de cercle antérieurement; longueur médiane du tergite II 2 fois la largeur apicale du I, un peu moins de 1,5 fois sa propre largeur apicale entre les sillons (8 : 4 : 13); 2° suture droite et bien marquée; tergite III 1,5 fois plus long que le II, brillant, satiné et portant comme les suivants l'habituelle petite ponctuation; hypopygium largement membraneux, à apex aigu; valves de la tarière un peu plus longues que les tibias III, environ aussi longues que l'abdomen depuis l'apex du tergite I (fig. 111).

Longueur : 2,8 mm.; ♂, inconnu.

DISTRIBUTION GÉOGRAPHIQUE : Gitebe, volcan Nyamuragira (alt. 2.324 m., 14-26.VI.1935), holotype ♀ et 1 paratype; 2 exemplaires.

#### 43. — *Microgaster psilocnema* sp. n.

(Fig. 112-115.)

♂ : noir; palpes, hanches I, II et extrême apex des hanches III en dessous, jaune-rouge testacé; pédicelles, tegulae, pattes I et II ailleurs (larses I et II et tibias II, plus sombres, presque brun rougeâtre), trochanters, trochantelles, environ moitié basale des fémurs et éperons des tibias des pattes III, rouge testacé; mandibules, moitié apicale des fémurs et tibias III, rouge brunâtre; sternites de la base, rougeâtres, parties latérales membraneuses des tergites I, II et III rouge sombre; scapes, flagellum et tarsi III, brun noirâtre; aires transcutales et parfois légèrement la protubérance humérale, rougies; ailes hyalines à faiblement enfumées entièrement et régulièrement; nervures et stigma brun clair, costale et 2° abcisse de la médiane jusqu'au nervulus, plus sombres.

♂. *Tête* : face satinée, petitement et étroitement ponctuée, presque lisse près des yeux, portant une carène longitudinale médiane lisse et brillante, faiblement proéminente, limitée à peine à la moitié supérieure; clypéus différencié de la face; ostioles faciales distinctement plus près de l'apex du clypéus que des yeux; palpes maxillaires aussi longs que les fémurs I; vertex et occiput imperceptiblement ponctués; tempes ponctuées à peu près comme la face; vertex assez large; stemmaticum lisse; espace oculo-oculaire plus grand que la distance séparant les ocelles postérieurs; antennes beaucoup plus longues que le corps, articles du flagellum subégaux y compris les apicaux, à peine amincis à l'extrémité de l'antenne (fig. 112).

*Thorax* : col plus allongé que d'habitude; mésonotum densément ponctué (degré 3) notamment le long des lignes des notaulices; sillon préscutellaire

droit, faiblement crénelé; disque du scutellum avec une ponctuation plus dense et plus profonde que sur le mésonotum, lui donnant ainsi un aspect rugueux surtout à l'apex, sa longueur médiane un peu plus grande que sa

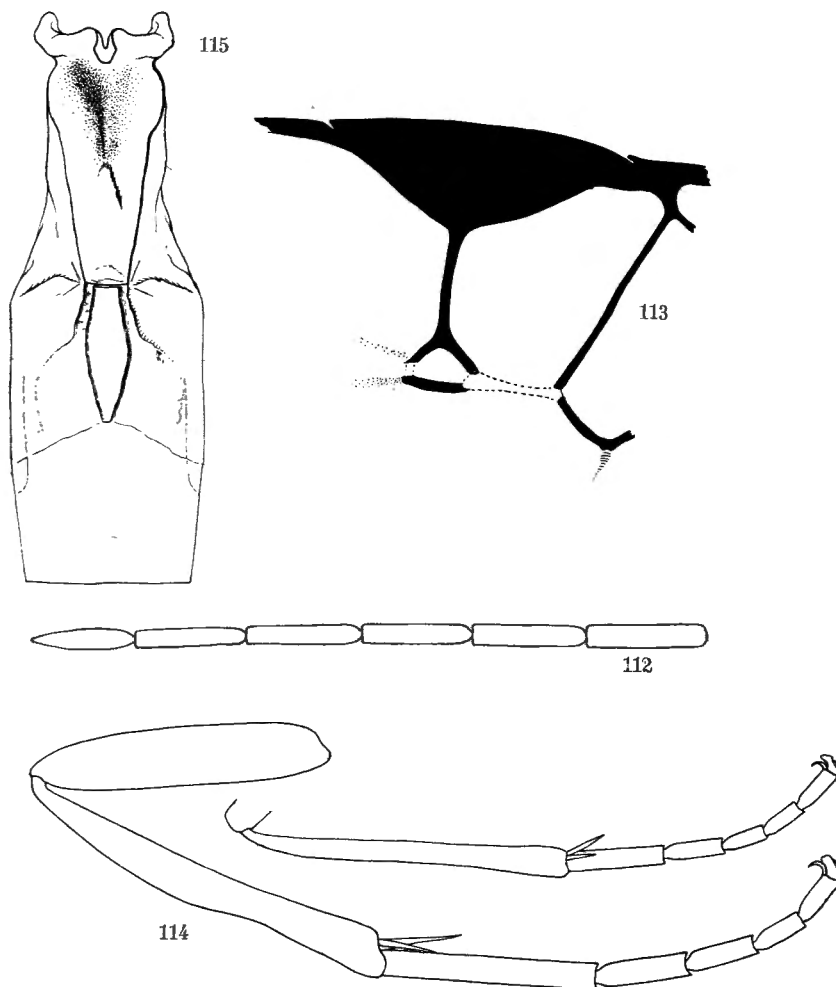


FIG. 112-115. — *Microgaster psilocnema* sp. n. ♂.

FIG. 112. — Sommet de l'antenne.

FIG. 113. — Détail de la nervation des ailes antérieures.

FIG. 114. — Pattes intermédiaire et postérieure.

FIG. 115. — Détail des trois premiers tergites abdominaux.

largeur basale; apex aigu et marqué d'une dépression préapicale; partie antérieure des axillae un peu ruguleuse; métathorax plus long que de coutume, portant au milieu une aire triangulaire rugueuse marquée d'une fossette lisse et brillante, l'apex de cette aire plus relevé que celui du disque

du scutellum; mésopleures fortement ponctués antérieurement, moins fortement postérieurement, à disque lisse et brillant, cochléar peu déprimé, marqué d'une fossette; métapleures lisses antérieurement, rugoso-ponctué à l'arrière; propodeum assez mat, grossièrement ruguleux à rugueux avec des carènes secondaires latéralement dans la moitié apicale, dont une entoure les stigmates, ailleurs portant quelques pointillés dispersés, carène longitudinale médiane droite, non crénelée.

*Ailes* (fig. 113) : 1<sup>re</sup> abcisse de la radiale égale à la largeur du stigma, plus de deux fois plus longue que la 1<sup>re</sup> transverso-cubitale qui est nettement plus courte que la partie apicale de la 1<sup>re</sup> abcisse de la cubitale, elle-même un peu plus longue que la récurrente; 2<sup>e</sup> transverso-cubitale plus courte que la 2<sup>e</sup> abcisse de la radiale; stigma plus court que le métacarpe.

*Pattes* : tous les tibias particulièrement grêles et allongés; tibias III fortement déprimés dans la moitié apicale sur la face supérieure (fig. 114); hanches III rugueuses sur la face supérieure, moins fortement sur la face externe; fémurs III petitement et régulièrement ponctués.

Proportions des pattes III : hanches, 18/40; fémurs, 10/50; tibias, 7/68; tarsi : I, 35; II, 14; III, 11; IV, 8; V, 8; éperon interne des tibias II aussi long que les métatarses correspondants; le plus long éperon des tibias III le 1/3 et le plus court environ le 1/4 de la longueur des métatarses III.

*Abdomen* (fig. 115) : tergite I un peu mat, rugueux dans la moitié basale où il est excavé et marqué d'un sillon médian, finement rugueux et à petite ponctuation sétigère dans la moitié apicale, étroitement proéminent au milieu dans cette partie, sa longueur médiane environ 4,5 fois sa largeur apicale et le double de sa plus grande largeur située près de la base (20 : 4, 5 : 10), ses bords latéraux s'évasent dans le quart basal et convergent ensuite en ligne droite jusqu'à l'apex tronqué; tergite II, 2,66 fois plus long que la largeur apicale du I et un peu plus court que la longueur médiane du III (12 : 4, 5 : 14), portant une aire longitudinale médiane fusiforme généralement mal marquée apicalement, tiers basal de cette aire bordé de chaque côté par un sillon dont le bord externe diverge ensuite largement et disparaît, la partie ainsi délimitée est satinée ainsi que l'aire médiane et porte quelques pointillés sétigères vers l'apex, tégument lisse ailleurs; tergites III et suivants pourvus de l'habituelle petite ponctuation.

Longueur : 3 mm.; ♀, inconnue.

DISTRIBUTION GÉOGRAPHIQUE : vers Rweru, volcan Mikeno, forêt de Bambous (alt. 2.400 m., 3.VII.1934), holotype ♂ et 1 paratype; vers Rweru, volcan Mikeno, forêt de Bambous (alt. 2.400 m., 26-27.VII.1934); 7 exemplaires.

Aberrations :

a) parties latérales membraneuses des tergites basilaires, jaune testacé très pâle, une bande de même coloration à l'apex du tergite III et les fémurs entièrement noirs.

DISTRIBUTION GÉOGRAPHIQUE : Gitebe, volcan Nyamuragira (alt. 2.324 m., 14-26.VI.1935); volcan Visoke (alt. 2.800-3.300 m., 13-14.II.1935); 2 exemplaires ♂♂.

b) tergite I entièrement rougeâtre, fémurs III noirs excepté à l'extrême base.

DISTRIBUTION GÉOGRAPHIQUE : lac Magera (alt. 2.000 m., 27-28.II.1934); 1 exemplaire ♂.

AFFINITÉS : Par les proportions du 1<sup>er</sup> tergite abdominal, cette espèce présente une étroite parenté avec *M. stenoterga* et au premier abord on pourrait prendre ces exemplaires pour les ♂♂ de cette espèce. Un examen détaillé permet, cependant, de trouver de nombreux caractères divergents. Le dimorphisme sexuel chez les *Microgasterinae* ne montre jamais d'écarts aussi grands, je crois donc pouvoir considérer ces séries comme appartenant à des espèces distinctes.

[*Microgaster eurygaster* (CAMERON).]

*Apanteles eurygaster* CAMERON, Ann. Transv. Mus., II, 1911, p. 207, ♂.

*Microgaster eurygaster* (CAMERON), WILKINSON, Trans. Ent. Soc. Lond., LXXVII, 1929, p. 113.

DISTRIBUTION GÉOGRAPHIQUE : Prétoria (Afrique du Sud). *Hôte et cocon*, inconnus.

Genre **APANTELES** FOERSTER.

- Apanteles* FOERSTER, Verh. naturh. Ver. preuss. Rheinl., XIX, 1862, p. 245.  
*Apanteles* REINHARD, Deutsche Entom. Zeitschr., XXIX, 1880, p. 361.  
*Apanteles* MARSHALL, Trans. Entom. Soc. Lond., 1885, p. 155.  
*Apanteles* MARSHALL, Spec. Hymen. Eur. Alg., IV, 1888, p. 401.  
*Cotesia* CAMERON, Mem. Manc. Phil. Soc., IV, 1891, p. 185.  
*Microgaster (Apanteles)* THOMSON, Opusc. Entom., 1895, p. 2252.  
*Protapanteles* ASHMEAD, Proc. Entom. Soc. Wash., IV, 1897, p. 166.  
*Urogaster* ASHMEAD, Proc. Entom. Soc. Wash., IV, 1897, p. 166.  
*Pseudapanteles* ASHMEAD, Proc. Entom. Soc. Wash., IV, 1897, p. 166.  
*Parapanteles* ASHMEAD, Proc. U. S. Nat. Mus., XXIII, 1900, p. 131.  
*Glyptapanteles* ASHMEAD, Proc. U. S. Nat. Mus., XXVIII, 1904, p. 147.  
*Apanteles* SZÉPLIGETI, Genera Insectorum, f. 24, 1904, p. 105.  
*Cryptapanteles* VIERECK, Proc. Entom. Soc. Wash., XI, 1909, p. 209.  
*Xestapanteles* CAMERON, Zeitschr. f. Naturw., LXXXI, 1909, p. 447.  
*Apanteles (Dolichogenidea)* VIERECK, Proc. U. S. Nat. Mus., XL, 1911, p. 173.  
*Stenopleura* VIERECK, Proc. U. S. Nat. Mus., XL, 1911, p. 187.  
*Allapanteles* BRETHERS, An. Mus. Nac. Buenos Aires, XXVII, 1915, p. 404.  
*Apanteles* LYLE, Entomologist, XLIX, 1917, p. 123.  
*Apanteles* MUESEBECK, Proc. U. S. Nat. Mus., LVIII, 1920, p. 485.

*Apanteles* WILKINSON, Bull. Ent. Res., XIX, 1928, p. 79.

*Apanteles* WILKINSON, Trans. Ent. Soc. Lond., LXXX, 1932, p. 301.

*Apanteles* WATANABE, Insect. Mats., VII, 1932, p. 75, VIII, 1934, p. 132.

*Apanteles* FAHRINGER, Opusc. Bracon. Bd IV, Pal. reg., III, 1935, p. 37.

Tête habituellement transverse, exceptionnellement rostriforme; occiput rebordé; antennes de 18 articles; yeux poilus; notaulices absents, leur emplacement souvent marqué par une sculpture plus forte ou une légère dépression; sternaules rarement indiqués, généralement remplacés par une dépression cochléariforme; propodeum lisse ou caréné, à carénation variable; nervation des ailes incomplète, aux antérieures, la radiale réduite à sa 1<sup>re</sup> abcisse, 2<sup>e</sup> cellule cubitale ouverte distalement, limitée du côté proximal par la 1<sup>re</sup> nervure transverso-cubitale et un tronçon, généralement court, de la 2<sup>e</sup> abcisse de la cubitale, 2<sup>e</sup> nervure transverso-cubitale toujours absente, récurrente antéfurcale, nervulus postfurcal, 1<sup>re</sup> cellule brachiale ouverte; hanches postérieures de taille variable, dépassant parfois la moitié de la longueur de l'abdomen; éperons des tibias de longueur variable, le plus long habituellement égal à la moitié de la longueur des métatarses; abdomen sessile, variant de large et déprimé, à très long et fortement comprimé; les deux tergites de la base de forme et de sculpture très variables, le 3<sup>e</sup> rarement sculpté; valves de la tarière variables, à peine exsertes à plus longues que l'abdomen.

Génotype : *Microgaster obscura* NEES.

Comme les *Microplitis* et les *Microgaster*, les *Apanteles* sont des parasites endophages, solitaires ou sociaux, de chenilles de Lépidoptères, mais les *Apanteles* dépassent de beaucoup ces deux genres par leur importance numérique et leur extrême dispersion. Il semble, que parmi les Lépidoptères, il n'y ait pas de famille qui échappe à leurs attaques. Les quelques observations faites à ce jour, dans la province éthiopienne, y relèvent le parasitisme et les *Apanteles* parmi 30 familles différentes, et, entre elles les Noctuides et les Pyraustides principalement. Quelques auteurs signalent avoir obtenu des *Apanteles* de larves de Diptères, de Coléoptères et d'Hyménoptères, cela semble, cependant, une exception.

Dans certains cas, on a pu observer l'éclosion d'un nombre très élevé d'*Apanteles* issus d'une seule chenille (938, *Ap. australiensis* ASHMEAD; 393, *Ap. aethiopicus* WILKINSON). Ce sont là, très probablement, des cas de polyembryonie. Très souvent les sociétés sont constituées seulement d'un petit nombre d'individus (10-15), mais fréquemment des cas de 100 à 200 ont été observés.

Les cocons d'*Apanteles* sont blancs, crèmes, jaune soufre, roses, rougeâtres, etc., de consistance parcheminée, jamais cannelés ou ridés. Leur disposition chez les espèces grégaires présente une très grande diversité. Souvent amassés suivant une disposition déterminée, entourés ou non d'une masse ou bourre cotonneuse, d'une enveloppe commune ou d'une résille ou simplement reliés entre eux par quelques soies. Presque chaque espèce se caractérise par

la façon dont ses individus édifient leurs cocons et ceux-ci peuvent souvent constituer une indication précieuse pour la détermination.

Le genre *Apanteles*, cosmopolite, est abondamment représenté dans les diverses faunes pour lesquelles de nombreuses espèces furent déjà décrites. Beaucoup d'entre elles sont communes, leur vulgarité ainsi que leur biologie n'ont pas manqué d'attirer l'attention sur ces intéressants Braconides et la littérature offre déjà une abondante documentation à leur sujet.

Septante-neuf formes étaient connues de la faune éthiopienne; l'étude de la collection sous revue a permis de séparer 83 formes nouvelles, ce qui porte le chiffre des espèces éthiopiennes connues à 163. Ce chiffre est considérable si l'on considère que l'étude de la faune d'Afrique est de date récente et que pour la faune paléarctique, FAHRINGER (1937) renseigne 180 espèces, MUESEBECK (1921) pour la faune néarctique 164 et WILKINSON (1928) pour la faune indo-australienne, 82.

Les formes citées ou décrites dans le présent travail sont loin d'épuiser le matériel de cette collection; nombreuses, en effet, sont celles qu'il ne m'a pas été possible de séparer pour les motifs suivants : 1° le manque de matériel de comparaison que les événements ne me permettent pas de consulter; 2° l'enchevêtrement des caractères dans plusieurs groupes; 3° la présence de nombreuses formes représentées par un unique spécimen mal caractérisé ou incomplet.

Le nombre d'exemplaires figurant dans la collection est de 3.100; 57 espèces et 26 aberrations ou sous-espèces nouvelles sont décrites et 19 espèces connues furent déterminées, ce qui porte le nombre total des formes qu'il m'a été permis de séparer à 102.

Ces *Apanteles* furent récoltés dans plus de 80 stations différentes et rares sont ceux paraissant présenter une localisation déterminée. A l'encontre des *Microgaster*, le nombre de spécimens récoltés à une altitude supérieure à 2.400 m. ne sont pas rares, plusieurs furent capturés sur les volcans Visoke et Gahinga à plus de 3.000 m. d'altitude.

Pour ce genre également, rares sont les formes représentées par un grand nombre d'individus; 57 sont représentées par moins de 10 exemplaires, 38 par 10 à 50 et 7 formes seulement par plus de 50 (v. tableau p. 17).

#### CLEF DES ESPÈCES CONGOLAISES (1).

- Deuxième tergite abdominal non sculpté, presque toujours pourvu de deux sillons discaux divergents, ordinairement droits; propodeum non caréné ou portant tout au plus une carène longitudinale médiane ou des carènes transverso-basales et parfois les deux, mais ne présentant jamais d'aréole ou une apparence d'aréole; 1<sup>er</sup> tergite habituellement

(1) Pour la clef des autres espèces éthiopiennes, voir WILKINSON, *Trans. Ent. Soc. Lond.*, LXXX, 1932, pp. 327-343.

- long, rétréci à l'apex, soit que ses bords latéraux convergent depuis la base, soit qu'ils convergent seulement à partir du milieu, ou parallèles pour ne converger que près de l'apex; valves de la tarière habituellement très courtes, dépassant rarement la longueur des métatarses postérieurs et insérées à la base des plaques oblongues... Groupe A. 3
- Deuxième tergite presque toujours aciculé, ponctué, rugueux ou autrement sculpté, souvent aussi long que le 3<sup>e</sup>, orné de sillons discaux parallèles ou convergents, ou de sillons le délimitant sur ses bords latéraux; propodeum fréquemment orné d'une carène longitudinale médiane, parfois de carènes transverso-basales ou de l'une et l'autre, mais ne présentant jamais une aréole ou une apparence d'aréole; 1<sup>er</sup> tergite carré ou rectangulaire, aussi large ou plus large au sommet qu'à la base; valves de la tarière invariablement courtes et insérées à la base des plaques oblongues ..... Groupe F. 34
- Premier tergite variable; deuxième tergite fortement transverse et beaucoup plus court que le 3<sup>e</sup>, délimité par des sillons latéraux ou, comme dans le groupe A, orné de sillons discaux divergents, mais dans ce cas, il est toutefois habituellement plus court que le 3<sup>e</sup>; propodeum aréolé ou portant une carène longitudinale médiane ou sans carénation, l'aréole peut être seulement esquissée à l'apex ou absente; jamais de costules; valves de la tarière généralement longues et insérées au sommet des plaques oblongues ..... Groupe U. 49
- Premier tergite variable; deuxième tergite comme dans le groupe U; propodeum toujours aréolé, aréole complète ou tout au moins très nettement présente apicalement; costules toujours présentes; valves de la tarière généralement longues et insérées au sommet des plaques oblongues ..... Groupe S. 59
- Thorax comprimé dorso-ventralement, plus large entre les tegulae que son épaisseur; mésonotum, disque du scutellum, métathorax et au moins la partie antérieure du propodeum virtuellement sur un plan; face souvent proéminente et fortement transverse; antennes des femelles souvent courtes et fortes; valves de la tarière variables, ordinairement courtes ..... Groupe G. 99
- Espèces ne se rapportant à aucun des groupes ci-dessus, présentant une conformation anormale de l'une ou l'autre partie ou présentant une combinaison inhabituelle des caractères y repris ..... Groupe M. 1

### Groupe M.

1. Premier tergite abdominal beaucoup plus étroit au milieu qu'aux extrémités; longueur médiane du 2<sup>e</sup> tergite plus grande que la largeur apicale du 1<sup>er</sup>; carènes du propodeum, si elles sont présentes, ne se croisant jamais pour former une croix sur le disque ..... 2

- Premier tergite abdominal plus large à la base qu'au sommet, non rétréci au milieu; longueur médiane du 2° tergite égale à la largeur apicale du 1<sup>er</sup>; propodeum portant une carène longitudinale médiane coupée à angle droit par une carène transversale et formant ainsi une croix sur le disque ..... 44. *Ap. insolens* WILKINSON, ♂ ♀ (p. 151).
2. Premier tergite rugueux ou ruguleux dans la partie apicale, sans sillon médian; hanches postérieures lisses et brillantes; 2° tergite sculpté de chaque côté d'une aire médiane .....  
 I <sup>(1)</sup>. *Ap. pistrinariae* WILKINSON, ♂ ♀ (p. 152).
- A. Tergites apicaux rouge testacé; récurrente égale à la 1<sup>re</sup> abcisse de la radiale, qui est ordinairement plus courte que la transverso-cubitale, sans tronçon de la 2° abcisse à leur point de jonction ..... *Ap. pistrinariae* s. str., ♂ ♀.
- Tous les tergites noirs; récurrente plus courte que la 1<sup>re</sup> abcisse de la radiale qui est égale ou plus longue que la transverso-cubitale, généralement avec un tronçon de la 2° abcisse à leur point de jonction .....  
 45. *Ap. pistrinariae nyasaensis* WILKINSON, ♂ ♀.
- Premier tergite lisse entièrement, marqué sur presque toute sa longueur par un sillon longitudinal médian; hanches postérieures rugueuses; 2° tergite lisse sauf ses sillons ..... 46. *Ap. henicopus* sp. n., ♂ ♀ (p. 152).

#### Groupe A.

3. Propodeum orné d'une carène longitudinale médiane complète ou non ..... 4  
 — Propodeum dépourvu de toute trace de carène longitudinale médiane 11
4. Sillons du 2° tergite courbés, latéraux; articles préapicaux des antennes aussi larges ou un peu plus larges que longs; stigma 2 fois plus long que large ..... 47. *Ap. parvicornis* sp. n., ♀ (p. 155).
- Sillons du 2° tergite droits, discaux; articles préapicaux des antennes au moins 1,5 fois plus longs que larges; stigma plus de 2 fois plus long que large, ou espèce ne présentant pas la même combinaison de ces caractères ..... 5
5. Sillons discaux du 2° tergite marqués seulement à la base et n'atteignant distinctement pas la 2° suture ..... 6  
 — Sillons discaux du 2° tergite bien marqués sur presque toute la longueur du tergite, même s'ils n'atteignent pas tout à fait la 2° suture 7
6. Mésonotum à petite ponctuation (degré 1); 1<sup>re</sup> abcisse de la radiale et transverso-cubitale formant un angle bien marqué; abdomen noir .....  
 II. *Ap. lefèvrei* DE SAEGER, ♂ ♀ (p. 314).

(<sup>1</sup>) Les chiffres romains renvoient aux espèces congolaises ne figurant pas dans la collection DE WITTE.

- Mésonotum à ponctuation forte (degré 5); 1<sup>re</sup> abcisse de la radiale et transverso-cubitale incurvées et sans point de jonction discernable; abdomen en grande partie rouge testacé .....  
48. *Ap. anubis* sp. n., ♀ (p. 158).
7. Longueur médiane du 2<sup>e</sup> tergite égale ou à peine plus courte que sa largeur apicale, sillons discaux faiblement divergents; mésonotum brillant; propectus noir ..... 8
- Longueur médiane du 2<sup>e</sup> tergite distinctement plus courte que sa largeur apicale; mésonotum satiné ou, s'il est brillant, à ponctuation forte ou de coloration rouge testacé; propectus testacé ..... 9
8. Deuxième tergite longitudinalement strié (au moins sur les côtés); 1<sup>er</sup> abcisse de la radiale et transverso-cubitale formant un angle marqué; parties latérales du 2<sup>e</sup> tergite noires .....  
49. *Ap. fuscinervis* CAMERON, ♂ ♀ ? (p. 160).
- Deuxième tergite lisse, sauf ses sillons; 1<sup>re</sup> abcisse de la radiale et transverso-cubitale sans point de jonction discernable; parties latérales du 2<sup>e</sup> tergite rouge testacé. 50. *Ap. eucosmae* WILKINSON, ♀ ♂ (p. 161).
9. Premier tergite 3 fois plus long que sa largeur apicale; disque du scutellum convexe; tegulae sombres à noires .....  
51. *Ap. propylae* DE SAEGER, ♂ ♀ (p. 161).
- A. Mésonotum satiné, à ponctuation moyenne (degré 3) ..... B.  
— Mésonotum brillant, à ponctuation forte et bien marquée (au moins degré 4) ..... a) *Ap. propylae punctulatus* ab. n., ♂ ♀.
- B. Premier tergite entièrement ou partiellement noir .....  
*Ap. propylae* s. str., ♂ ♀.
- Premier tergite entièrement rouge testacé .....  
a) *Ap. propylae rutshuruensis* ab. n., ♂ ♀.
- Premier tergite au moins 4 fois plus long que sa largeur apicale; disque du scutellum assez plat; tegulae testacées ..... 10
10. Longueur médiane du 2<sup>e</sup> tergite 1,75 fois plus courte que sa propre largeur apicale; thorax noir; 2<sup>e</sup> suture légèrement arquée vers l'arrière ...  
52. *Ap. horus* sp. n., ♂ ♀ (p. 163).
- Longueur médiane du 2<sup>e</sup> tergite 2,25 fois plus courte que sa propre largeur apicale; thorax en grande partie ou entièrement rouge testacé; 2<sup>e</sup> suture ordinairement droite. 53. *Ap. melanotus* sp. n., ♂ ♀ (p. 166).
- A. Mésonotum, disque du scutellum et moitié apicale du 1<sup>er</sup> tergite noirs et satinés ..... *Ap. melanotus* s. str., ♂ ♀.
- Mésonotum, disque du scutellum et moitié apicale du 1<sup>er</sup> tergite rouge testacé comme le restant du thorax et brillants .....  
a) *Ap. melanotus rubens* ab. n., ♂ ♀.

41. Sillons discaux du 2<sup>e</sup> tergite marqués seulement dans la moitié basale, n'atteignant pas la 2<sup>e</sup> suture ..... 12  
 — Sillons discaux du 2<sup>e</sup> tergite atteignant la 2<sup>e</sup> suture ..... 19
12. Antennes de la ♀ fortes et plus courtes que le corps; articles du flagellum courts, tout au plus, ceux de la base, 1,5 fois plus longs que larges ..... 14
13. Stigmates du propodeum normaux; apex des tibias et tarses des pattes postérieures enfumés ..... 54. *Ap. ugandaensis* GAHAN, ♂ ♀ (p. 168).  
 — Stigmates du propodeum extraordinairement développés; pattes postérieures sans enfumure .....  
*Ap. congoensis* DE SAEGER, ♂ ♀ (cf. groupe G) (p. 321).
14. Hanches postérieures noires ..... 15  
 — Hanches postérieures testacées ..... 17
15. Fémurs postérieurs noirs à l'apex; 1<sup>er</sup> tergite noir; 3<sup>e</sup> tergite un quart plus long que le 2<sup>e</sup> ..... III. *Ap. kivuensis* DE SAEGER, ♂ ♀ (p. 314).  
 — Fémurs postérieurs et 1<sup>er</sup> tergite entièrement rouge testacé; 3<sup>e</sup> tergite au moins de moitié plus long que le 2<sup>e</sup> ..... 16
16. Hypopygium fortement prolongé au delà de l'apex de l'abdomen; face virtuellement lisse; facette plane, en dessus à la base des hanches, à ponctuations moyennes et peu nombreuses .....  
 55. *Ap. cuspidalis* sp. n., ♂ ♀ (p. 169).  
 — Hypopygium dépassant à peine l'abdomen; face à petite ponctuation (degré 1) irrégulière; facette plane, en dessus à la base des hanches, à fortes ponctuations bien marquées .....  
 56. *Ap. geometrivorus* DE SAEGER, ♂ ♀ (p. 171).
17. Mésonotum à ponctuation assez forte (degré 3); tegulae noires; propodeum portant une sculpture vague et superficielle .....  
 57. *Ap. simulissimus* sp. n., ♀ (p. 171).  
 — Mésonotum à ponctuation assez petite (degré 2); tegulae testacées ou brunâtres, jamais noires; propodeum entièrement lisse et poli ..... 18
18. Hypopygium grand, aigu; valves de la tarière allongées et étroites; 2<sup>e</sup> tergite sombre ..... IV. *Ap. graciosus* WILKINSON, ♂ ♀ (p. 314).  
 — Hypopygium ne pouvant être décrit ainsi, presque tronqué; valves de la tarière courtes et larges; 2<sup>e</sup> tergite pas sombre sauf chez le ♂ .....  
 V. *Ap. pallidocinctus* GAHAN, ♂ ♀ (p. 315).
19. Deuxième tergite lisse, excepté ses sillons ..... 20  
 — Deuxième tergite toujours, et habituellement fortement sculpté ... 27
20. Propodeum rugueux; disque du scutellum fortement ponctué; sillons discaux du 2<sup>e</sup> tergite subparallèles; 1<sup>er</sup>, 2<sup>e</sup> et 3<sup>e</sup> tergites rouge testacé ...  
 58. *Ap. agynus* sp. n., ♂ (p. 173).

- Propodeum pas rugueux; sillons discaux du 2<sup>e</sup> tergite divergents; tergites de la base jamais entièrement rouge testacé ..... 21
21. Hanches antérieures et intermédiaires entièrement, ou en majeure partie, testacées ..... 22
- Toutes les hanches noires ou très sombres ..... 24
22. Propodeum pourvu de faibles carènes à l'apex, pouvant simuler parfois un début d'aréole; tegulae rouge testacé; aire médiane du 2<sup>e</sup> tergite petite ..... 23
- Propodeum dépourvu de carènes à l'apex; tegulae noires; aire médiane du 2<sup>e</sup> tergite grande ..... 59. *Ap. lissopleurus* sp. n., ♂ (p. 175).
23. Propodeum pourvu de carènes faibles simulant parfois un début d'aréole; largeur apicale du 2<sup>e</sup> tergite égale ou à peine plus longue que sa longueur médiane, celle-ci égale ou à peine plus longue que la longueur du 3<sup>e</sup> ..... 60. *Ap. simus* sp. n., ♂ ♀ (p. 176).
- A. Stigma discalement diaphane ..... B
- Stigma subopaque ..... C
- B. Hanches postérieures basalement noires; stigma jaunâtre .....  
*Ap. simus* s. str., ♂ ♀.
- Hanches postérieures basalement noires; stigma jaunâtre .....  
a) *Ap. simus moko* ab. n., ♂ ♀.
- Hanches postérieures noires; stigma brunâtre .....  
b) *Ap. mibale* ab. n., ♂ ♀.
- C. Hanches postérieures rouge testacé .....  
c) *Ap. simus misatu* ab. n., ♀.
- Hanches postérieures basalement noires .....  
d) *Ap. simus mine* ab. n., ♂.
- Hanches postérieures noires .....  
e) *Ap. simus mitanu* ab. n., ♂ ♀.
- Propodeum pourvu de carènes faibles à l'apex, mais ne simulant pas un début d'aréole, largeur apicale du 2<sup>e</sup> tergite près de 2 fois la longueur médiane, celle-ci 1,5 fois plus courte que la longueur médiane du 3<sup>e</sup> ...  
VI. *Ap. seydeli* DE SAEGER, ♂ ♀ (p. 315).
24. Mésonotum et disque du scutellum satinés ..... 25
- Mésonotum et disque du scutellum brillants, s'ils sont un peu ternes, alors la ponctuation n'est pas petite ..... 26
25. Fémurs postérieurs rouge testacé; le plus long éperon des tibias postérieurs égal aux 2/3 de la longueur des métatarses .....  
61. *Ap. venustus* sp. n., ♂ ♀ (p. 180).

- Fémurs postérieurs noirs; le plus long éperon des tibias postérieurs égal à la moitié de la longueur des métatarses ..... 62. *Ap. eutelus* DE SAEGER (p. 183).
- A. Ailes légèrement et entièrement enfumées, à nervures pigmentées sauf à la base de l'aile ..... *Ap. eutelus* s. str., ♂ ♀.
- Ailes laiteuses à nervures incolores sauf celle sous le stigma ... a) *Ap. eutelus lacteipennis* ab. n., ♂.
26. Tibias postérieurs noirs à l'apex; mésonotum à petite ponctuation; longueur : 2 mm. .... 63. *Ap. gowdeyi* GAHAN, ♂ ♀ (p. 183).
- Tibias postérieurs testacés à la base et s'assombrissant progressivement jusqu'à l'apex; mésonotum à ponctuation moyenne (degré 3) à forte; longueur : 2,5 mm. .... 64. *Ap. spilosomae* DE SAEGER, ♂ ♀ (p. 183).
27. Hanches antérieures et intermédiaires testacées; 3<sup>e</sup> tergite à petite ponctuation habituelle peu apparente ..... 29
- Hanches antérieures et intermédiaires en grande partie sombres à noires; 3<sup>e</sup> tergite à ponctuation particulièrement distincte ..... 28
28. Sillons discaux du 2<sup>e</sup> tergite courbés; longueur médiane du 2<sup>e</sup> tergite 1,4 fois la largeur apicale du 1<sup>er</sup> et égale à la longueur médiane du 3<sup>e</sup>; propodeum brillant, presque lisse à la base, ponctué ensuite, rugoso-ponctué seulement vers l'apex; hanches postérieures dépourvues de facette plane en dessus à la base ... 65. *Ap. gahinga* sp. n., ♂ ♀ (p. 184).
- Sillons discaux du 2<sup>e</sup> tergite droits; longueur médiane du 2<sup>e</sup> tergite égale à la largeur apicale du 1<sup>er</sup> ou à peine plus longue et 1,37 fois plus courte que la longueur du 3<sup>e</sup>; propodeum mat, rugoso-ponctué ..... 66. *Ap. melissus* sp. n., ♂ (p. 187).
29. Hanches postérieures très petitement ponctuées et brillantes, dépourvues de facette plane en dessus à la base; articles préapicaux des antennes trois fois plus longs que larges (♂) ..... 67. *Ap. argus* sp. n., ♂ ♀ (p. 188).
- Hanches postérieures fortement ponctuées au rugoso-ponctuées en dessus, si la ponctuation est petite, alors la facette plane est toujours présente; articles préapicaux des antennes pas plus de 2,5 fois plus longs que larges (♂) ..... 30
30. Mésonotum à ponctuation bien marquée, moyenne à forte (degré 3-4). 31
- Mésonotum à petite ponctuation (tout au plus degré 2) ..... 32
31. Sillons discaux du 2<sup>e</sup> tergite droits et divergents, assez confondus avec la sculpture; mésonotum à ponctuation (degré 4) un peu irrégulière; hypopygium tronqué à l'apex; fémurs postérieurs fortement enfumés dans le tiers apical ..... 68. *Ap. amenophis* sp. n., ♂ ♀ (p. 189).
- Sillons discaux du 2<sup>e</sup> tergite subparallèles sur les côtés, distincts; mésonotum à ponctuation (degré 3) régulière; hypopygium légèrement arrondi à l'apex; fémurs postérieurs légèrement enfumés seulement près de l'apex ..... 69. *Ap. nkuli* DE SAEGER, ♂ ♀ (p. 192).

32. Hypopygium largement tronqué à angle droit; hanches postérieures brillantes, à petite ponctuation (degré 2) assez dense; 3<sup>e</sup> tergite moins de 1,5 fois plus long que le 2<sup>e</sup> ..... 70. *Ap. ninus* sp. n., ♂ ♀ (p. 192).  
 — Hypopygium pas largement tronqué à angle droit; hanches postérieures à ponctuation assez forte à forte, 3<sup>e</sup> tergite moins de 1,5 fois plus long que le 2<sup>e</sup> ..... 33
33. Propodeum brillant, à ponctuation espacée; longueur médiane du 2<sup>e</sup> tergite 1,4 fois plus courte que sa largeur apicale; stigma brun, opaque.  
 71. *Ap. intricatus* sp. n., ♂ ♀ (p. 194).  
 — Propodeum mat, ponctué et finement rugueux; longueur médiane du 2<sup>e</sup> tergite environ égale à sa largeur apicale; stigma jaunâtre, diaphane.  
 72. *Ap. cingras* sp. n., ♂ ♀ (p. 198).

### Groupe F.

34. Deuxième tergite orné d'une aire médiane de forme variable, délimitée par des sillons discaux plus ou moins forts, à tégument pas particulièrement chitinisé ..... sous-groupe *mlanje* <sup>(1)</sup>. 35  
 — Deuxième tergite sans aire médiane délimitée par des sillons discaux, à tégument rugueux, fortement chitinisé et habituellement plus large que le 1<sup>er</sup> ..... sous-groupe *ruficrus*. 46

### Sous-groupe MLANJE.

35. Aire médiane du 2<sup>e</sup> tergite carrée ou rectangulaire, les sillons discaux, par suite, sont parallèles ..... 36  
 — Aire médiane du 2<sup>e</sup> tergite pas ainsi, si les sillons discaux paraissent parallèles, l'aire médiane n'est toutefois, ni carrée, ni rectangulaire. 38
36. Extrême apex du 1<sup>er</sup> tergite plus étroit que la base; aire médiane du 2<sup>e</sup> tergite longue et étroite; hanches antérieures et intermédiaires jaune-rouge testacé entièrement ..... 73. *Ap. osiris* sp. n., ♂ ♀ (p. 200).  
 — Apex du 1<sup>er</sup> tergite jamais plus étroit que la base; aire médiane du 2<sup>e</sup> tergite pas particulièrement longue et étroite; hanches antérieures et intermédiaires jamais totalement testacées, ces dernières toujours noires. 37
37. Premier tergite pas plus large à l'apex qu'à la base; aire médiane du 2<sup>e</sup> tergite pas beaucoup plus de deux fois plus longue que large; fémurs postérieurs rouge testacé. 74. *Ap. neavei* WILKINSON sp. n., ♂ ♀ (p. 203).

(1) Toutes les espèces de ce sous-groupe possèdent une carène longitudinale médiane sur le propodeum, complète ou partielle.

- Premier tergite plus large vers l'apex qu'à la base; aire médiane du 2<sup>e</sup> tergite à peine plus longue que large; fémurs postérieurs en majeure partie sombres ..... 75. *Ap. achaeus* sp. n., ♀ (p. 204).
38. Hanches postérieures lisses, au moins sur la face externe, ou, à petite ponctuation, jamais rugueuses ou fūguleuses ..... 39
- Hanches postérieures ruguleuses à rugueuses ..... 42
39. Disque du scutellum distinctement ponctué (degré 2-3); hanches postérieures ponctuéés (degré 3); hypopygium très légèrement aigu, subtronqué ..... [76. *Ap. mlanje* WILKINSON, ♂ ♀] (p. 206).
- A. Hanches antérieures et intermédiaires rouge testacé ..... B.
- Toutes les hanches noires, excepté en dessous à l'apex .....  
[*Ap. mlanje nigricoxis* WILKINSON, ♂ ♀.]
- B. Hanches et fémurs postérieurs entièrement ainsi que la costale, rouge testacé; 2/5 apicaux des tibias postérieurs assombris .....  
*Ap. mlanje* s. str., ♂ ♀.
- Hanches, fémurs postérieurs et costale jamais totalement testacés; tibias postérieurs ou plus, ou moins assombris ..... C.
- C. Base ou extrême base des hanches postérieures, noire; apex des fémurs et tibias postérieurs légèrement enfumés; moitié basale de la costale rouge testacé ... a) *Ap. mlanje mimus* ab. n., ♂ ♀.
- Hanches et tibias postérieurs plus largement noircis ..... D.
- D. Quart ou tiers basal des hanches et moitié apicale des tibias des pattes postérieures, noirâtres; nervure costale sombre, à peine plus claire à la base ..... b) *Ap. mlanje metus* ab. n., ♂ ♀.
- Hanches postérieures noires dans la moitié basale; tibias postérieurs dans les 2/3 ou 3/4 apicaux; costale entièrement sombre ..... c) *Ap. mlanje nox* ab. n., ♂ ♀.
- Disque du scutellum et hanches postérieures au-dessus à la base, lisses ou à ponctuation très petite ou superficielle; hypopygium aigu ou prolongé ..... 40
40. Aire médiane du 2<sup>e</sup> tergite trapézoïdale; longueur médiane du 2<sup>e</sup> tergite égale à celle du 3<sup>e</sup>; hanches antérieures et intermédiaires en grande partie noires ..... 77. *Ap. hiero* sp. n., ♂ ♀ (p. 208).
- Aire médiane du 2<sup>e</sup> tergite pas trapézoïdale; longueur médiane du 2<sup>e</sup> tergite plus courte que celle du 3<sup>e</sup>; hanches antérieures et intermédiaires jaune-rouge testacé, rarement tachées de sombre à la base ..... 41
41. Aire médiane du 2<sup>e</sup> tergite en triangle isocèle (environ 2 fois plus longue que sa base); hypopygium court et aigu; hanches postérieures plus de 2 fois plus longues que larges; apex du 1<sup>er</sup> tergite pourvu, tout au plus, de l'habituelle petite aire médiane ..... 78. *Ap. neleus* sp. n., ♂ ♀ (p. 210).

- Aire médiane du 2° tergite en triangle équilatéral, ou cordiforme; hypopygium prolongé, à apex faiblement arrondi et légèrement courbé; apex du 1<sup>er</sup> tergite pourvu d'une grande aire lisse, brillante et un peu concave.  
79. *Ap. bifissus* sp. n., ♀ (p. 212).
42. Stigma jaune à brun pâle, diaphane; hanches antérieures et intermédiaires testacées ..... 43
- Stigma brun, opaque; hanches antérieures et intermédiaires en majeure partie ou entièrement noires ..... 44
43. Aire médiane du 2° tergite circulaire, lisse, brillante et polie .....  
80. *Ap. circinus* sp. n., ♀ (p. 214).
- Aire médiane du 2° tergite à peine plus étroite à l'apex qu'à la base, subrectangulaire, marquée d'une sculpture faible .....  
81. *Ap. epaphus* sp. n., ♀ (p. 216).
44. Mésonotum et disque du scutellum mats, à ponctuation très étroitement placée (apparence rugueuse); fémurs postérieurs sombres; sillons discaux du 2° tergite parallèles, l'aire médiane rétrécie à l'apex .....  
VII. *Ap. ituriensis* DE SAEGER, ♀ (p. 316).
- Mésonotum et disque du scutellum brillants, à ponctuation pas très étroitement placée (apparence jamais rugueuse); fémurs postérieurs testacés ou rougeâtres; sillons discaux du 2° tergite convergents vers l'apex. 45
45. Angles apicaux du 1<sup>er</sup> tergite fortement arrondis; aire médiane du 2° tergite environ aussi longue que sa largeur basale; ponctuation du mésonotum petite et assez dense (degré 2); 1<sup>er</sup> tergite convexe, mais pas fortement proéminent ..... 82. *Ap. tereus* sp. n., ♀ (p. 217).
- Angles apicaux du 1<sup>er</sup> tergite pas fortement arrondis; aire médiane du 2° tergite plus longue que sa largeur basale qui est environ double de sa largeur apicale; ponctuation du mésonotum moyenne (degré 3) et bien marquée, si elle est plus petite, alors les tegulae sont noires; 1<sup>er</sup> tergite fortement proéminent au milieu. 83. *Ap. triptolemus* sp. n., ♂ ♀ (p. 218).
- A. Hanches antérieures en majeure partie testacées; tarses postérieurs plus sombres que les tibias; mésonotum à ponctuation (degré 3) bien marquée ..... *Ap. triptolemus* s. str., ♂ ♀.
- Hanches antérieures en majeure partie noires; tibias et tarses postérieurs concolores; mésonotum à ponctuation (degré 2-3) assez vague ..... a) *Ap. triptolemus pullus* ab. n., ♂ ♀.

## Sous-groupe RUFICRUS.

46. Troisième tergite lisse sauf l'habituelle petite ponctuation ..... 47
- Troisième tergite sculpté, tout au moins à la base ..... 48
47. Hanches postérieures à forte ponctuation en dessus, mais pas rugueuses; 1<sup>er</sup> abcisse de la radiale beaucoup plus longue que la transverso-cubitale;

- 2° tergite de même longueur que le 3°; hanches antérieures et intermédiaires noires ..... 84. *Ap. elaeodes* sp. n., ♀ (p. 222).
- Hanches postérieures rugueuses; 1<sup>re</sup> abcisse de la radiale jamais beaucoup plus longue que la transverso-cubitale; 2° tergite plus court que le 3°; hanches antérieures et intermédiaires testacées ..... 85. *Ap. hyperion* sp. n., ♂ ♀ (p. 224).
48. Deuxième tergite transverse et plus court que le 3° ou à peine plus court (♂); articles préapicaux des antennes (♀) 2 fois plus longs que larges. 86. *Ap. nycteus* sp. n., ♂ ♀ (p. 227).
- Deuxième tergite subcarré et de même longueur que le 3°; articles préapicaux des antennes (♀) 1,5 fois plus longs que larges ..... 87. *Ap. transutus* sp. n., ♂ ♀ (p. 230).

## Groupe U.

49. Propodeum portant une carène longitudinale médiane et parfois une aréole esquissée à l'apex ..... 50
- Propodeum portant une aréole complète ou seulement esquissée, si une carène longitudinale médiane est présente, elle est courte et limitée à la base (aréole pétiolée) ..... 53
50. Sillons du 2° tergite faiblement divergents; 1<sup>er</sup> tergite pas particulièrement élargi vers la base ..... 51
- Sillons du 2° tergite fortement divergents; 1<sup>er</sup> tergite notablement élargi à la base ..... 52
51. Mésonotum à ponctuation petite; métapleures finement rugueux postérieurement; valves de la tarière très courtes (moitié des métatarses); tibias postérieurs enfumés distalement ..... 88. *Ap. thespis* sp. n., ♂ ♀ (p. 233).
- Mésonotum à ponctuation forte; métapleures entièrement lisses; valves de la tarière longues (égales aux tarses postérieurs); tibias postérieurs bruns ..... 89. *Ap. montanus* sp. n., ♂ ♀ (p. 236).
52. Premier tergite lisse, sauf une ponctuation rare, dans la moitié apicale; 3° tergite un tiers plus long que le 2°; toutes les hanches et fémurs postérieurs testacés ..... VIII. *Ap. regalis* DE SAEGER, ♀ (p. 316).
- Premier tergite aciculé-ponctué dans les 2/3 apicaux; 3° tergite près de 3 fois plus long que le 2°; toutes les hanches et fémurs postérieurs noirs ..... IX. *Ap. anthozelae* DE SAEGER, ♀ (p. 316).
53. Sillons du 2° tergite faiblement divergents; 2° tergite beaucoup plus long que la largeur apicale du 1<sup>er</sup>; valves de la tarière plus courtes que les métatarses postérieurs; hanches antérieures et intermédiaires testacées, postérieures variables .....  
*Ap. simus* sp. n. (cf. groupe A) (p. 176).

- Sillons du 2<sup>e</sup> tergite fortement divergents; 2<sup>e</sup> tergite beaucoup plus court que la largeur apicale du 1<sup>er</sup>; valves de la tarière plus longues que les métatarses postérieurs; toutes les hanches noires ..... 54
54. Aréole complète ..... 55
- Aréole incomplète, bien indiquée seulement dans la moitié apicale ... 56
55. Mésonotum très mat, à ponctuation faible et dense, notablement plus rugueuse le long des lignes des notaucices; fémurs postérieurs noirs; valves de la tarière de la longueur des tibias postérieurs; stigma (♀) discalement hyalin (♂?) ..... 90. *Ap. uroxys* DE SAEGER, ♀ (p. 238).
- Mésonotum peu brillant, à ponctuation moyenne, dense, mais bien distincte, plus profonde le long des lignes des notaucices; fémurs postérieurs testacés; valves de la tarière de la longueur des tarses postérieurs; stigma (♀) opaque (♂?) ..... 91. *Ap. burunganus* sp. n., ♀ (p. 239).
56. Mésonotum satiné ou brillant, à ponctuation pas étroitement placée et à pilosité courte et plus ou moins dressée, pas particulièrement disposée en éventail; propodeum brillant; stigma opaque (♀) ..... 57
- Mésonotum mat, à ponctuation très étroitement placée (apparence finement rugueuse) et à pilosité moyenne à longue, apprimée et disposée en éventail apicalement; stigma discalement hyalin (♂ ♀) ..... 58
57. Propodeum marqué d'une excavation médiane à la base; 1<sup>er</sup> tergite vaguement rugoso-ponctué dans la moitié apicale; valves de la tarière environ égales aux tarses postérieurs; costale testacée; stigma discalement hyalin (♂) ou opaque (♀) ... X. *Ap. sagax* WILKINSON, ♂ ♀ (p. 316).
- Propodeum dépourvu d'excavation médiane à la base; 1<sup>er</sup> tergite à peu près entièrement lisse; valves de la tarière plus courtes que les fémurs postérieurs; costale brune; stigma opaque (♀), (♂?) ..... XI. *Ap. bordagei* GIARD, ♀ (p. 316).
58. Propodeum ruguleux apicalement de chaque côté de l'aréole; ocelles postérieurs distinctement plus près l'un de l'autre que des yeux; antennes effilées distalement; costale testacée seulement à la base; longueur : 2 à 2,5 mm. ... 92. *Ap. pyrodercetus* DE SAEGER, ♂ ♀ (p. 241).
- Propodeum lisse apicalement de chaque côté de l'aréole; ocelles postérieurs à peu près équidistants entre eux et les yeux; antennes pas effilées distalement; costale testacée entièrement; longueur : 2,7 à 3,0 mm. .... 93. *Ap. ghesquierei* DE SAEGER, ♂ ♀ (p. 242).
- A. Pattes postérieures noires ..... *Ap. ghesquierei* s. str., ♂ ♀.
- Pattes postérieures testacées, saur, hanches, fémurs, une anfurme apicale aux tibias et des taches sur les tarses ..... a) *Ap. ghesquierei rufipes* ab. n., ♀.

## Groupe S.

59. Mésonotum rugueux et habituellement strié le long des lignes des notaulices à l'apex; disque du scutellum lisse ou faiblement ponctué; aréole du propodeum en forme de V à l'apex, jamais tronquée, fermée à la base ou non par une carène transverso-basale, mais jamais par ses propres carènes basales qui se continuent toujours parallèlement jusqu'à la base du propodeum de chaque côté d'une aire généralement déprimée ou excavée; 1<sup>re</sup> abcisse de la radiale toujours distinctement plus longue que la transverso-cubitale; hanches postérieures plus ou moins fortement rugueuses, parfois striées; 2<sup>e</sup> tergite fortement chitinisé, à sculpture forte, rugueuse, parfois striée, ses sillons latéraux jamais très fortement divergents et ordinairement droits ... Sous-groupe *coxalis*, 95
- Espèces ne présentant pas la même combinaison de caractères ou possédant des caractères différents ..... 60
60. Deuxième tergite abdominal dépourvu de sculpture en dehors de ses sillons latéraux et, parfois, de petites ponctuations, s'il présente une sculpture, celle-ci est très superficielle, composée de stries faibles, d'une petite aciculation ou granulation lui conférant une certaine matité; 2<sup>e</sup> suture fine ou obsolète ..... 61
- Deuxième tergite sculpté, à sculpture bien caractérisée; 2<sup>e</sup> suture ordinairement bien marquée (parfois faiblement sculpté chez le ♂, mais dans ce cas, la 2<sup>e</sup> suture est droite) ..... 81
61. Deuxième tergite lisse et brillant; aréole du propodeum habituellement tronquée à l'apex ou parfois légèrement arrondie ..... 62
- Deuxième tergite terne à mat, jamais très brillant, ou très petitement sculpté près de l'apex; aréole du propodeum habituellement en forme de V à l'apex, parfois légèrement arrondie ..... 76
62. Premier tergite lisse apicalement portant tout au plus quelques ponctuations ou une faible sculpture, jamais rugueux ou à tendance rugueuse ..... 63
- Premier tergite apicalement à sculpture forte, rugueuse ou autre ... 70
63. Fémurs postérieurs noirs entièrement ..... 66
- Fémurs postérieurs testacés entièrement ou marqués de trainées sombres, dans ce cas, les fémurs intermédiaires marqués de même ... 64
64. Premier tergite vaguement et superficiellement sculpté dans la moitié apicale et non proéminent médialement; ponctuation de la base du propodeum vague et peu perceptible; tibias postérieurs enfumés dans les 3/4 apicaux; longueur : 2,25 mm. (♂) .....

XII. *Ap. hapaliae* DE SAEGER, ♂ (p. 317).

- Premier tergite petitement sculpté ou ponctué près des bords ou dans les tiers latéraux et portant une petite protubérance médiane; ponctuation de la base du propodeum distincte; tibias postérieurs noirs; longueur : 2,5 mm. (♂) à 3,2 mm. (♀) ..... 65
65. Ponctuation du mésonotum forte, franchement serrée, mais nettement séparée et régulière; stigma opaque marqué d'une éclaircie dans l'angle proximal; abdomen en majeure partie rouge testacé ..... XIII. *Ap. coffea* WILKINSON, ♂ ♀ (p. 317).
- Ponctuation du mésonotum forte, pas franchement serrée, bien séparée et irrégulière; stigma hyalin (♀), (♂?); abdomen en majeure partie noir ..... 94. *Ap. nitidus* sp. n., ♀ (p. 243).
66. Premier tergite fortement rétréci à l'apex; longueur médiane du 2<sup>e</sup> tergite beaucoup plus longue que la largeur apicale du 1<sup>er</sup>; aréole du propodeum courtement pétiolée, pentagonale et fermée à angle aigu à la base ..... XIV. *Ap. pentagonius* DE SAEGER, ♂ ♀ (p. 317).
- Premier tergite pas fortement rétréci à l'apex; longueur médiane du 2<sup>e</sup> tergite égale ou plus courte que la largeur apicale du 1<sup>er</sup>; aréole du propodeum pas pétiolée, si elle est fermée, en tous cas, pas à angle aigu ..... 67
67. Premier tergite marqué dans la moitié apicale de quelques pointillés, parfois accompagnés d'une faible sculpture donnant au tégument un aspect rude, mais pas rugueux; valves de la tarière égales ou plus courtes que les fémurs postérieurs; stigma des femelles opaque, marqué, tout au plus, d'une éclaircie dans l'angle proximal ..... 68
- Premier tergite sans ponctuation, faiblement et vaguement sculpté dans les tiers latéraux; valves de la tarière environ égales aux tarses postérieurs; stigma (♂ et ♀) discalement hyalin ..... XV. *Ap. carterus* WILKINSON, ♂ ♀ (p. 317).
68. Ponctuation du mésonotum moyenne et finement rugueuse; valves de la tarière à peine plus courtes que les fémurs postérieurs et larges; tegulae testacées ou noires ..... 95. *Ap. valvatus* sp. n. (p. 246).
- A. Aréole du propodeum fermée et pétiolée à la base; tegulae testacées ..... *Ap. valvatus* s. str., ♀.
- Aréole du propodeum ouverte à la base; tegulae noires ..... *Ap. valvatus rwindicus* s.sp. n., ♀.
- Ponctuation du mésonotum forte, si elle est rugueuse, alors plutôt grossièrement; valves de la tarière plus courtes que les fémurs postérieurs; tegulae noires ..... 69
69. Costules placées à la moitié du propodeum; fémurs postérieurs entièrement noirs; 1/2 ou 3/5 apicaux des tibias postérieurs sombres; costale plus ou moins testacée ... 96. *Ap. aethiopicus* WILKINSON, ♂ ♀ (p. 250).

- Costules placées vers le tiers basal du propodeum; fémurs postérieurs brun rougeâtre sauf à l'apex; tibias postérieurs très légèrement enfumés vers l'apex; costale sombre ... XVI. *Ap. maynéi* DE SAEGER, ♂ ♀ (p. 318).
70. Premier tergite 2,5 fois plus long que sa largeur apicale, celle-ci égale ou à peine plus longue que la longueur médiane du 2<sup>e</sup> tergite, sillons latéraux de ce dernier, faiblement divergents; tegulae testacées .....  
97. *Ap. bellatulus* sp. n. (p. 250).
- A. Propodeum grossièrement ruguleux, à costules placées vers le milieu; disque du scutellum nettement ponctué sur les bords latéraux ..... *Ap. bellatulus* s. str., ♂ ♀.
- Propodeum à peu près lisse, à costules placées vers le tiers apical; disque du scutellum entièrement lisse .....  
a) *Ap. bellatulus simulator* ab. n., ♂.
- Premier tergite moins de 1,5 fois plus long que sa largeur apicale, celle-ci beaucoup plus longue que la longueur médiane du 2<sup>e</sup> tergite, sillons latéraux de ce dernier fortement divergents; tegulae noires 71
71. Deuxième tergite entièrement lisse; mésonotum brillant; valves de la tarière plus courtes que la moitié de la longueur du corps .....  
98. *Ap. wittei* sp. n. (p. 254).
- A. Stigma discalement hyalin; hanches postérieures sans facette plane en dessus à la base, ni forte ponctuation .....  
*Ap. wittei* s. str., ♂ ♀.
- Stigma opaque, marqué d'une éclaircie dans l'angle proximal; hanches postérieures à facette plane ponctué ..... B.
- B. Fémurs postérieurs rouge testacé, tout au plus avec une trace sombre sur la face supérieure .....  
a) *Ap. wittei kamatembe* ab. n., ♀.
- Fémurs postérieurs sombres entièrement ..... C
- C. Aréole du propodeum à apex tronqué, fermée à la base et pétiolée ..... b) *Ap. wittei anthracomerus* ab. n., ♀.
- Aréole du propodeum arrondie à l'apex, ouverte à la base .....  
c) *Ap. wittei sake* ab. n., ♂ ♀.
- Deuxième tergite orné de quelques fines stries transversales arquées; mésonotum un peu terne; valves de la tarière égales à la moitié de la longueur du corps ..... 99. *Ap. bitalensis* sp. n., ♀ (p. 261).
72. Stigma marqué d'une éclaircie distincte dans l'angle proximal, tout au moins chez la ♀ ..... 73
- Stigma entièrement opaque, marqué parfois d'une faible éclaircie dans l'angle proximal chez le ♂ ..... 74

73. Premier tergite environ 2 fois plus long que sa largeur médiane, à bords latéraux parallèles; fémurs postérieurs testacés (♀) .....  
 XVII. *Ap. diparopsidis* LYLE, ♂ ♀ (p. 318).
- Premier tergite distinctement moins de 2 fois plus long que sa largeur médiane, à peine plus long que sa largeur apicale, à bords latéraux divergents; fémurs postérieurs noirs .....  
 100. *Ap. gandoensis* sp. n., ♀ (p. 261).
74. Valves de la tarière plus longues que les métatarses postérieurs; hanches postérieures ruguleuses; palpes pâles .....  
 XVIII. *Ap. syleptae* FERRIÈRE, ♂ ♀ (p. 319).
- Valves de la tarière plus courtes que les métatarses postérieurs; hanches postérieures petitement ponctuées, pas ruguleuses; au moins les deux articles de la base des palpes maxillaires bruns ..... 75
75. Point de jonction de la 1<sup>re</sup> abcisse de la radiale et de la transverso-cubitale à peine ou pas discernable; aréole fermée à la base et courtement pétiolée; seuls les deux articles de la base des palpes maxillaires bruns ..... XIX. *Ap. epiplemicidus* DE SAEGER, ♂ ♀ (p. 319).
- Point de jonction de la 1<sup>re</sup> abcisse de la radiale et de la transverso-cubitale bien marqué; aréole ouverte à la base; les deux articles basilaire et l'article apical des palpes maxillaires, bruns .....  
 XX. *Ap. maculipalpis* DE SAEGER, ♀ (p. 319).
76. Hanches antérieures et intermédiaires testacées ..... 80
- Hanches antérieures et intermédiaires noires ..... 77
77. Premier tergite fortement rétréci à l'apex, à angles apicaux aigus; valves de la tarière à peine plus courtes que les tarse postérieurs; fémurs postérieurs en majeure partie testacés .....  
 101. *Ap. vivax* sp. n., ♂ ♀.
- Premier tergite pas fortement rétréci à l'apex, à angles apicaux arrondis; valves de la tarière égales ou plus courtes que les tibias postérieurs; fémurs postérieurs en majeure partie noirs ..... 78
78. Longueur médiane du 2<sup>e</sup> tergite un peu plus de la moitié de sa propre largeur apicale (10 : 18); aire médiane excavée dans la moitié apicale du 1<sup>er</sup> tergite, forte et très brillante; disque du scutellum presque entièrement lisse; costale sombre; longueur : 3 à 3,8 mm. ....  
 102. *Ap. laxus* sp. n., ♂ ♀ (p. 265).
- Longueur médiane du 2<sup>e</sup> tergite moins de la moitié de sa propre largeur apicale; aire médiane excavée dans la moitié apicale du 1<sup>er</sup> tergite, assez faible et pas particulièrement brillante; disque du scutellum distinctement ponctué; costale testacée ..... 79

79. Premier tergite plus étroit à l'apex qu'à la base; tégument de l'aréole ruguleux; costules placées vers le milieu du propodeum; ocelles postérieurs plus près l'un de l'autre que des yeux; tegulae testacées .....  
103. *Ap. schoutedeni* sp. n., ♂ ♀ (p. 268).
- Premier tergite pas plus étroit à l'apex qu'à la base; tégument de l'aréole lisse et très brillant; ocelles postérieurs équidistants entre eux et les yeux; tegulae noires ..... XXI. *Ap. bredoi* sp. n., ♂ ♀ (p. 319).
80. Premier tergite pas plus large à l'apex qu'à la base; transverso-cubitale plus courte que la moitié de la 1<sup>re</sup> abcisse de la radiale, ces nervures incurvées faiblement et ne formant pas d'angle accusé à leur point de jonction; tegulae testacées ..... 104. *Ap. gitebe* sp. n., ♀ (p. 268).
- Premier tergite un peu plus large à l'apex qu'à la base; transverso-cubitale plus de la moitié de la longueur de la 1<sup>re</sup> abcisse de la radiale et distinctement à angle avec celle-ci; tegulae noires .....  
105. *Ap. luteocinctus* DE SAEGER, ♀ (p. 270).
- A. Hanches postérieures ponctuées, sans aciculation en dessus. B  
— Hanches postérieures ponctuées-aciculées en dessus ..... C
- B. Tibias et tarses des pattes intermédiaires entièrement et tiers basal des fémurs postérieurs, rouge testacé .....  
*Ap. luteocinctus* s. str., ♀.
- Apex des tibias et tarses des pattes intermédiaires, fémurs postérieurs, excepté en dessus à l'apex, rouge testacé .....  
a) *Ap. luteocinctus kirii* ab. n., ♀.
- C. Hanches postérieures courtes (20/30); fémurs postérieurs noirs dans la moitié apicale et sur la face supérieure .....  
b) *Ap. luteocinctus kabasha* ab. n., ♀.
- Hanches postérieures longues (22/38); fémurs postérieurs entièrement noirs excepté l'extrême base .....  
c) *Ap. luteocinctus rutshuru* ab. n., ♀.
81. Disque du scutellum fortement rugoso-ponctué, à peu près aussi fortement que le mésonotum ..... 82
- Disque du scutellum pas rugoso-ponctué ou tout au moins beaucoup moins fortement que le mésonotum ..... 83
82. Aréole du propodeum fermée à la base et pétiolée; angles apicaux du 1<sup>er</sup> tergite arrondis; hypopygium non membraneux; valves de la tarière un peu plus longues que les métatarses postérieurs .....  
106. *Ap. sarpedon* sp. n., ♂ ♀ (p. 271).
- Aréole du propodeum pas distinctement fermée à la base et non pétiolée; angles apicaux du 1<sup>er</sup> tergite pas arrondis; hypopygium largement membraneux à la face inférieure; valves de la tarière de la longueur des tibias postérieurs ou à peine plus courtes .....  
107. *Ap. alastor* sp. n., ♂ ♀ (p. 275).

- A. Pattes antérieures et intermédiaires en majeure partie noires; tibias postérieurs tout au plus testacés près de la base .....  
*Ap. alastor* s. str., ♂ ♀.
- Pattes antérieures et intermédiaires en majeure partie testacées; moitié basale des tibias postérieurs testacée .....  
 a) *Ap. alastor nyongera* ab. n., ♀.
83. Mésonotum très brillant, dépourvu de rugosités ou de stries, à ponctuation ordinairement forte, bien séparée, parfois superficielle ..... 84
- Mésonotum plus ou moins mat, rugueux au moins le long des lignes des notaulices ..... 90
84. Premier tergite considérablement élargi à l'apex, sa largeur apicale plus grande que sa longueur médiane; aréole petite, arrondie à l'apex, aiguë à la base et pétiolée ou, ouverte et ne paraissant pas pétiolée; costules placées au tiers apical du propodeum; 2<sup>e</sup> suture très fortement marquée, crénelée ..... 108. *Ap. megagaster* sp. n., ♂ ♀ (p. 278).
- Premier tergite pas considérablement élargi à l'apex, sa largeur apicale jamais plus grande que sa longueur médiane; aréole ne pouvant être décrite ainsi et costules placées ailleurs; 2<sup>e</sup> suture jamais très fortement marquée ni crénelée ..... 85
85. Deuxième suture fortement arquée ..... 86
- Deuxième suture droite, tout au plus faiblement arquée ..... 88
86. Deuxième tergite striolé plus ou moins concentriquement; 1<sup>er</sup> tergite plus de 1,5 fois plus long que sa largeur apicale, à peine ou pas plus large à l'apex qu'à la base; scapes, tegulae et hanches entièrement ou en majeure partie, noirs ..... 109. *Ap. longistylus* sp. n., ♂ ♀ (p. 281).
- A. Hanches entièrement noires; pattes en majeure partie sombres; ponctuation du mésonotum forte (degré 4) .....  
*Ap. longistylus* s. str., ♂ ♀.
- Toutes les hanches à l'apex et majeure partie des pattes, testacées; ponctuation du mésonotum moyenne (degré 3) .....  
 a) *Ap. longistylus kashwa* ab. n., ♀.
- Deuxième tergite rugueux, pas striolé; 1<sup>er</sup> tergite moins de 1,5 fois plus long que sa largeur apicale, plus large à l'apex qu'à la base; scapes, tegulae, hanches antérieures et intermédiaires testacées ..... 87
87. Valves de la tarière un peu plus longues que les tarsi postérieurs; hanches postérieures longues (21/35); longueur médiane du 3<sup>e</sup> tergite distinctement plus longue que celle du 2<sup>e</sup>; sillons latéraux du 2<sup>e</sup> tergite, parallèles ..... 110. *Ap. fallax* sp. n., ♂ ♀ (p. 285).
- Valves de la tarière beaucoup plus longues que les tarsi postérieurs; hanches postérieures moyennes (18/24); longueur médiane du 3<sup>e</sup> tergite plus courte que celle du 2<sup>e</sup>; sillons latéraux du 2<sup>e</sup> tergite divergents ....  
 111. *Ap. cyclorhaphus* sp. n., ♀ (p. 287).

88. Aréole du propodeum faiblement marquée à la base, aiguë et pétiolée, généralement divisée par une carène transversale formant une petite aire carrée à l'apex; 2<sup>e</sup> tergite aciculé, fortement transverse chez la ♀, moins fortement chez le ♂, mais chez celui-ci l'apex du 1<sup>er</sup> tergite est rétréci; hanches postérieures sans facette plane en dessus à la base, ne portant, tout au moins, aucune ponctuation forte à cette place; tegulae noires ..... 112. *Ap. pelops* sp. n., ♂ ♀ (p. 288).
- A. Hanches antérieures et intermédiaires testacées; stigma brun pâle à jaunâtre ..... *Ap. pelops* s. str., ♂ ♀.
- Hanches antérieures et intermédiaires noires (sauf l'apex); stigma brun ..... a) *Ap. pelops nigricoxis* sp. n., ♂ ♀.
- Aréole du propodeum conformée d'une façon différente; 2<sup>e</sup> tergite rugueux; hanches postérieures pourvues d'une facette plane en dessus à la base, cette facette ponctuée; tegulae testacées ..... 89
89. Première abcisse de la radiale plus longue que la transverso-cubitale; costules partant ordinairement de l'apex de l'aréole; sillons du 2<sup>e</sup> tergite légèrement divergents; 3<sup>e</sup> tergite portant de nombreux pointillés sétigères; longueur : 2,5 à 3 mm. ....
113. *Ap. xanthopholis* sp. n., ♂ ♀ (p. 292).
- Première abcisse de la radiale égale ou plus courte que la transverso-cubitale; costules partant de l'extrémité basale des carènes apicales de l'aréole; sillons du 2<sup>e</sup> tergite parallèles; 3<sup>e</sup> tergite ne portant que quelques rares pointillés sétigères près de l'apex; longueur : 2,2 mm. ....
114. *Ap. furax* sp. n., ♂ ♀ (p. 295).
90. Hanches postérieures à petite ponctuation, jamais rugueuses ..... 91
- Hanches postérieures rugoso-ponctuées ou petitement rugueuses, tout au moins à la face supérieure ..... 92
91. Hanches postérieures dépourvues de facette plane en dessus à la base (♀); hypopygium non membraneux à la partie inférieure, à prolongement apical membraneux et aigu; valves de la tarière de la longueur des tibias III; nervures brun pâle ..... 115. *Ap. arundinariae* sp. n., ♂ ♀ (p. 298).
- Hanches postérieures portant une facette plane ponctuée et bien marquée en dessus à la base; hypopygium membraneux à la partie inférieure; valves de la tarière de la longueur des tarsi postérieurs; nervures incolores sauf sous le stigma ..... 116. *Ap. sylvaticus* sp. n., ♂ ♀ (p. 301).
92. Flagellum bicolore (testacé à la base), (♀), (♂ ?); longueur médiane du 1<sup>er</sup> tergite 2 fois sa largeur apicale; longueur médiane du 2<sup>e</sup> tergite près de la moitié de la largeur apicale du 1<sup>er</sup>; hanches postérieures en majeure partie testacées ..... 117. *Ap. conspicabilis* sp. n., ♀ (p. 302).

- Flagellum unicolore, noir ou brun sombre; longueur médiane du 1<sup>er</sup> tergite moins de 1,5 fois sa largeur apicale; longueur médiane du 2<sup>e</sup> tergite environ le tiers de la largeur apicale du 1<sup>er</sup>; hanches postérieures en majeure partie noires ..... 93
93. Toutes les hanches, fémurs et tibias postérieurs noirs; lignes des notaulices finement rugueuses; partie apicale de la 1<sup>re</sup> abcisse de la cubitale un peu plus longue que la transverso-cubitale .....  
 XXII. *Ap. eurytergis* DE SÆGER, ♀ (p. 320).
- Hanches antérieures et intermédiaires (celles-ci généralement brunâtres), fémurs et tibias postérieurs, testacés; lignes des notaulices ponctuées-striées; partie apicale de la 1<sup>re</sup> abcisse de la cubitale un peu plus courte que la transverso-cubitale ..... 94
94. Valves de la tarière un peu plus courtes que les tarses postérieurs; 3<sup>e</sup> tergite près de trois fois plus long que le 2<sup>e</sup>; longueur : 2,5 mm. ....  
 XXIII. *Ap. carpatus* (SAY), ♀ (p. 320).
- Valves de la tarière plus longues que les tarses postérieurs; 3<sup>e</sup> tergite moins de 2 fois plus long que le 2<sup>e</sup>; longueur : 3,3 mm. ....  
 XXIV. *Ap. fuscicornis* (CAMERON), ♀ (p. 320).

## Sous-groupe COXALIS.

95. Hanches antérieures et intermédiaires en grande partie noires; tegulae noires ..... 96
- Hanches antérieures et intermédiaires testacées tout au moins les antérieures (♀), parfois sombres (♂); tegulae testacées ..... 97
96. Longueur médiane du 3<sup>e</sup> tergite deux fois (♂) à 2,7 fois (♀) plus longue que celle du 2<sup>e</sup>; propodeum, basalement aux costules, terne et vaguement rugueux; costale testacée; longueur : 2,5 à 3 mm. ....  
 118. *Ap. langerburgensis* SZÉPLIGETI, ♂ ♀ (p. 305).
- Longueur médiane du 3<sup>e</sup> tergite moins de deux fois plus longue que celle du 2<sup>e</sup>; propodeum, basalement aux costules, brillant et rugueux; costale brune; longueur : 3,2 à 3,5 mm. ....  
 119. *Ap. fontinalis* sp. n., ♂ ♀ (p. 305).
97. Longueur médiane du 2<sup>e</sup> tergite deux fois plus courte que la largeur apicale du 1<sup>er</sup>; 1<sup>er</sup> et 2<sup>e</sup> tergites à sculpture formée de fines carènes longitudinales ruguleuses évidentes; valves de la tarière plus courtes que les fémurs postérieurs mais moins longues que les métatarses correspondants ..... XXV. *Ap. coxalis* SZÉPLIGETI, ♀ (p. 320).
- Longueur médiane du 2<sup>e</sup> tergite tout au plus 1,5 fois plus courte que la largeur apicale du 1<sup>er</sup>; 1<sup>er</sup> et 2<sup>e</sup> tergites rugueux, à stries longitudinales, si elles sont présentes, peu évidentes; valves de la tarière égales à la longueur des fémurs postérieurs ..... 98
98. Longueur médiane du 2<sup>e</sup> tergite 1,5 fois plus courte que sa largeur

apicale et à peine plus courte que celle du 3°; fémurs et tibias postérieurs des ♀ ♀ noirs seulement à l'apex ... 120. *Ap. cato* sp. n., ♂ ♀ (p. 308).

- Longueur médiane du 2° tergite 2 fois plus courte que sa largeur apicale et 1/4 plus courte que celle du 3°; fémurs et tibias postérieurs noirs dans la 1/2 ou les 3/4 apicaux ..... 121. *Ap. subaltus* sp. n. (p. 312).

A. Hanches intermédiaires et moitié basale des fémurs postérieurs (♀); hanches intermédiaires et extrême base des fémurs postérieurs (♂); testacées ..... *Ap. subaltus* s. str., ♂ ♀.

- Apex des hanches intermédiaires et tout au plus le 1/4 basal des fémurs postérieurs seulement, testacés (♀) (♂?) .....

a) *Ap. subaltus nigrifemur* ab. n., ♀.

### Groupe G.

99. Stigmates du propodeum normaux; thorax fortement comprimé dorso-ventralement; transverso-cubitale plus longue que la 1<sup>re</sup> abcisse de la radiale; propodeum ruguleux à rugueux, portant une carène longitudinale médiane généralement forte à la base .....

XXVI. *Ap. sesamiae* CAMERON, ♂ ♀ (p. 321).

- Stigmates du propodeum anormalement développés; thorax faiblement comprimé dorso-ventralement; transverso-cubitale plus courte que la 1<sup>re</sup> abcisse de la radiale; propodeum discalement lisse, sauf quelques petits pointillés, et dépourvu de carène longitudinale médiane .....

XXVII. *Ap. congoensis* DE SAEGER, ♂ ♀ (p. 321).

### Groupe M.

Espèces ne se rapportant à aucun des groupes A. F. U. S. G., présentant une conformation anormale de l'une ou l'autre partie ou présentant une combinaison inhabituelle des caractères y repris.

#### 44. — *Apanteles insolens* WILKINSON.

*Apanteles insolens* WILKINSON, Bull. Ent. Res., XXI, 1930, p. 276, ♂ ♀.

DISTRIBUTION GÉOGRAPHIQUE : Afrique du Sud : Mossel Bay; coll. DE WITTE : Ruhengeri, sources de la riv. Kirii, Ruanda (alt. 1.800-1.825 m., 31.VIII.1934); 1 exemplaire ♂.

*Hôte et cocon*, inconnus.

Le spécimen de la collection DE WITTE est absolument conforme à la description des proportions et de la sculpture de cette espèce, notamment la carénation très particulière du propodeum, mais en diffère quelque peu par la coloration qui est la suivante :

♂ : noir; pièces buccales, palpes, scapes partiellement, tegulae, pattes I

et II entièrement, extrême apex des hanches des pattes III et celles-ci ailleurs, sauf l'apex des tibias et les tarses qui sont légèrement plus sombres, base de la costale, rouge testacé; antennes noir brunâtre; éperons des tibias, pâles; ailes hyalines; nervation faiblement colorée; stigma brun pâle, diaphane.

Longueur : 2,0 mm.

La coloration rougeâtre du thorax, signalée chez *Ap. insolens*, est ici tout à fait inexistante et les ailes sont distinctement hyalines, la taille est également plus petite. N'en possédant qu'un seul spécimen, il est difficile de juger s'il s'agit d'une espèce différente, il est très possible que cet exemplaire n'appartienne qu'à une race géographique.

45. — **Apanteles pistrinariae nyasaensis** WILKINSON.

*Apanteles pistrinariae nyasaensis* WILKINSON, Bull. Ent. Res., XX, 1929, p. 445, ♂ ♀, s. sp.

DISTRIBUTION GÉOGRAPHIQUE : Nyasaland; coll. DE WITTE : Bitale, lac Bulero, Ruanda (alt. 1.862 m., 10-11.IX.1934); 1 exemplaire ♀.

Hôte : inconnu.

Cocons : chamois très pâle, disposés côte à côte, toutes les extrémités apparentes. Espèce grégaire.

46. — **Apanteles henicopus** sp. n.

(Fig. 116-119.)

♀ : noire; pièces buccales, palpes, bord antérieur du clypéus, scapes en partie, propectus, pattes I et II (excepté tibias et tarses II qui sont parfois plus sombres), hanches (sauf 1/3 apical jusque près de l'apex), trochanters, trochantelles et fémurs (ces derniers excepté à l'apex), éperons des tibias des pattes III, tegulae, 1<sup>er</sup> et 2<sup>e</sup> segments abdominaux (ce dernier noir au milieu), les 4 ou 5 sternites de la base, jaune à jaune-rouge testacé; tibias et base des métatarses des pattes III, rouge testacé (excepté la base et l'apex des tibias, les métatarses ailleurs et les autres articles des tarses qui sont brun rougeâtre); propleures, angle huméral des mésopleures, scutellum et métanotum présentant une tendance au rougeâtre; ailes très faiblement enfumées entièrement et régulièrement; nervures brunes, stigma brun sombre, opaque.

♂ : noir; pièces buccales, palpes, clypéus, thorax (sauf propleures, scutellum, métanotum et propodeum), pattes I et II (excepté l'apex des tibias et surtout les tarses, qui sont foncés), hanches (sauf le 1/3 apical jusque près de l'apex), trochanters, trochantelles et tibias (ce dernier excepté le 1/3 apical) des pattes III, 1<sup>er</sup> segment abdominal entièrement, 2<sup>e</sup> segment sauf la partie médiane entièrement ou partiellement, 4 ou 5 sternites basales, rouge testacé; anneau dans la moitié basale des tibias III, rouge testacé foncé; éperons des tibias III brunâtres; face, scapes partiellement,

propleures, scutellum, métanotum et propodeum ayant une forte tendance au rougeâtre, c'est-à-dire que cette coloration est plus ou moins accentuée et tend à dominer la coloration noire; nervures aussi sombres que le stigma; mésonotum et tegulae toujours franchement noirs.

♂ ♀. *Tête* : face plus haute que large, brillante, fortement ponctuée, presque réticulée, excepté une étroite bande orbitale (chez le ♂, la réticulation est plus apparente et forme des stries transversales), proéminente médialement, portant une carène longitudinale médiane ayant son origine entre les torules et s'atténuant pour disparaître vers la moitié inférieure de la face; clypéus non différencié de la face; ostioles faciales petites, un peu plus près de l'apex du clypéus que des yeux; vertex et occiput moins densément ponctués que la face, ponctuation accompagnée d'une petite impression intervallaire assez confuse, donnant au tégument un aspect un peu rugueux; espace oculo-ocellaire distinctement plus grand que la distance séparant les ocelles postérieurs; antennes normales.

*Thorax* : mésonotum faiblement brillant, à forte ponctuation dense (degré 5), alvéolariforme le long des lignes des notaulices, accompagnée d'une petite impression intervallaire, punctiforme sur les lobes latéraux, aciculiforme sur le lobe médian, rappelant l'impression intervallaire présentée par certains *Microgaster*; lignes des notaulices légèrement déprimées (chez le ♂ la ponctuation s'achève en stries, à la base du mésonotum); sillon préscutellaire large, faiblement arqué et irrégulièrement crénelé, précédé d'une bande transversale inclinée, lisse et brillante; disque du scutellum convexe, un peu plus court que sa largeur basale, à ponctuation alvéolari-forme plus forte que sur le mésonotum, fortement excavé et bordé à l'apex (ponctuation moins accusée chez le ♂); axillae faiblement crénelées le long du disque du scutellum, plus fortement sur le bord externe; mésopleures lisses et brillants discalement, fortement ponctués dans l'angle huméral et petitement aciculés, plus ou moins réticulés dans le cochléar, celui-ci est fortement déprimé au centre pour former un sillon faiblement crénelé, un étroit sillon transversal, plus ou moins crénelé, relie le cochléar à la suture méso-métapleurale; métapleures lisses antérieurement, ponctués-réticulés postérieurement et à sillon médian fortement crénelé : propodeum divisé par une carène longitudinale médiane et deux carènes latérales divergentes, partant de part et d'autre de la lunule médi-apicale et contournant les stigmates entre la base du propodeum et ceux-ci, la carène médiane porte de chaque côté quelques carènes transversales secondaires rejoignant parfois les carènes latérales, celles-ci sont réunies aux carènes latérales post-operculaires par un réseau de carènes, plus ou moins absent à la base du propodeum, ailleurs tégument lisse et brillant, stigmates assez grands; chez le ♂, le disque entre les carènes latérales est, par surcroît, plus ou moins striolé longitudinalement (fig. 117).

*Ailes* (fig. 116) : 1<sup>re</sup> abcisse de la radiale à peu près égale à la largeur du stigma et légèrement plus courte que la transverso-cubitale, celle-ci est

droite, plus mince que la précédente, toutes deux épaissies à leur point de jonction et formant entre elles un angle accusé; partie apicale de la 1<sup>re</sup> abcisse de la cubitale moitié moins longue que la récurrente et que la transverso-cubitale; radiale émise au tiers distal du stigma; stigma plus court que le métacarpe.

*Pattes III* : hanches rugoso-réticulées, plus faiblement sur la face externe, à peu près comme la face externe des fémurs, mais moins régulièrement, onychiums petits. Proportions : hanches, 25/50; fémurs, 16/58; tibias, 10/67; tarses : I, 33; II, 11; III, 13; IV, 8; V, 8; le plus long éperon des tibias environ les 2/3 et le plus court un peu moins de la moitié de la longueur des métatarses.

*Abdomen* (fig. 118) : tergite I assez mat mais brillant vers l'apex, de forme étroite et allongée, sa longueur médiane près de 5,5 fois sa largeur

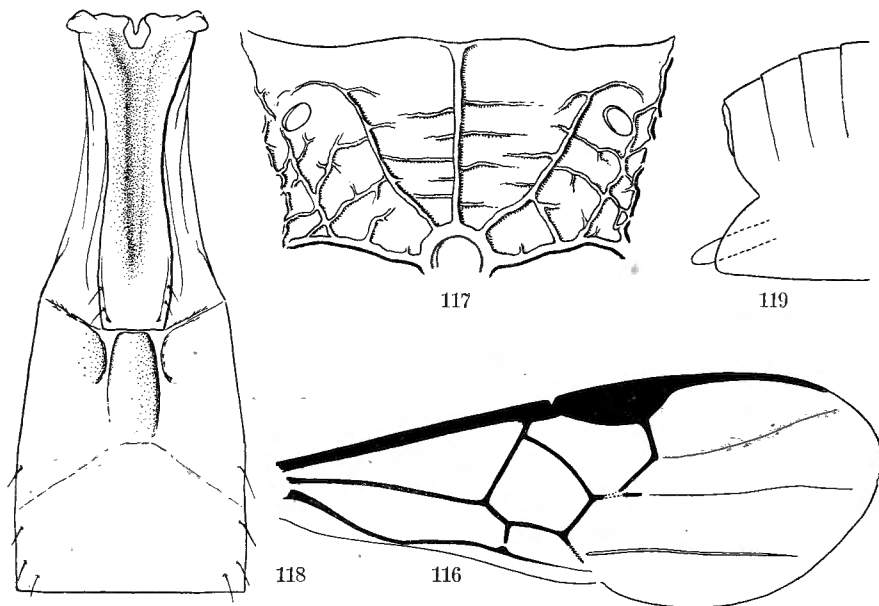


FIG. 116-119. — *Apanteles henricopus* sp. n.

FIG. 116. — Détail de la nervation de l'aile antérieure.

FIG. 117. — Carénation du propodeum.

FIG. 118. — Détail des trois premiers tergites abdominaux.

FIG. 119. — Apex de l'abdomen.

apicale et 2,7 fois sa largeur basale (27 : 5 : 10), ses bords latéraux incurvés avant le milieu, divergent ensuite légèrement et convergent après vers l'apex tronqué, sa partie la plus étroite à peine plus courte que la largeur apicale, dépourvu de toute sculpture et marqué d'un fort sillon longitudinal médian, lisse, occupant les 4/5 de la longueur du tergite; longueur médiane

du tergite II, 2 fois la largeur apicale du I, ce tergite est orné d'une aire médiane convexe, plus large au milieu qu'aux extrémités, atténuée vers l'apex, limitée basalement par deux sillons courts et assez mal marqués, les deux aires latérales près de ses sillons également un peu convexes, ses bords antérieurs obliques postéro-antérieurement; longueur médiane du tergite III, 1,3 fois celle du II, brillant et ne portant que quelques petits pointillés sur les côtés; hypopygium dépassant de peu l'apex de l'abdomen, légèrement arrondi apicalement; valves de la tarière courtes (fig. 119).

Longueurs : ♂, 2 mm.; ♀, 2,25 mm.

DISTRIBUTION GÉOGRAPHIQUE : Nyasheke, volcan Nyamuragira (alt. 1.820 m., 14-26.VI.1935), holotype ♀, 1 paratype; Kanyabayongo, Kabasha (alt. 1.760 m., 7.XII.1934); Rutshuru (alt. 1.285 m., 12.VII.1935), allotype ♂, 1 paratype; Rutshuru, riv. Lubirizi (alt. 1.285 m., 18.VII.1935); 6 exemplaires : 3 ♂♂, 3 ♀♀.

AFFINITÉS : Par la conformation toute spéciale du 1<sup>er</sup> tergite abdominal, cette espèce se place dans le groupe M de WILKINSON, auprès de *Ap. pistrinariae* WILKN., dont elle diffère, toutefois, par de nombreux caractères. La forte différence de coloration entre les deux sexes peut faire supposer que les ♂♂ n'appartiennent pas à la même espèce que les ♀♀. Cependant, les caractères plastiques étant étroitement semblables, je pense pouvoir, sans erreur, réunir ces différents spécimens sous la même appellation spécifique.

Outre la conformation des deux premiers tergites, cette intéressante espèce se caractérise par la sculpture de la face, du mésonotum et du disque du scutellum, ainsi que par la longueur de la nervure transverso-cubitale.

### Groupe A.

Premier tergite abdominal habituellement long, rétréci à l'apex, soit que ses bords latéraux convergent depuis la base, soit qu'ils convergent seulement à partir du milieu, ou, parallèles pour ne converger que près de l'apex; 2<sup>e</sup> tergite non sculpté, presque toujours pourvu de deux sillons discaux divergents, ordinairement droits; propodeum non caréné ou portant, tout au plus, une carène longitudinale médiane ou des carènes transverso-basales et parfois les deux, mais ne présentant jamais d'aérole ou une apparence d'aérole; valves de la tarière habituellement très courtes, dépassant rarement la longueur des métatarses postérieurs et insérées à la base des plaques oblongues.

#### 47. — *Apanteles parvicornis* sp. n.

(Fig. 120-123.)

♀ : noire; palpes, fémurs (sauf la base), tibias et tarses (sauf l'article apical) des pattes II, 2/3 basilaires des tibias et base des métatarses des pattes III, costale partiellement, rouge testacé; articles apicaux des tarses I. et II et tarses III ailleurs, bruns; éperons des tibias III, pâles; ailes hyalines;

stigma opaque, brun comme la costale sur la face inférieure; métacarpe, 1<sup>re</sup> abcisse de la radiale, transverso-cubitale, 2<sup>e</sup> abcisse de la cubitale, 2<sup>e</sup> abcisse de la médiane et nervulus, bruns, les autres nervures presque incolores.

♀. *Tête* : face légèrement plus large que longue, un peu proéminente à la partie supérieure, brillante, à très petite ponctuation (fig. 120); clypéus un peu surélevé, différencié de la face; ostioles faciales plus près de l'apex du clypéus que des yeux; vertex ponctué à peu près comme la face, mais un peu plus éparsément; occiput et tempes ponctués plus fortement et plus densément; antennes un peu plus longues que tête+thorax; 1<sup>er</sup> article du flagellum environ 2,5 fois plus long que large, les quatre articles préapicaux un peu plus larges que longs (fig. 121).

*Thorax* : mésonotum pas très brillant, à ponctuation (degré 2-3) assez dense, peu distincte, les lignes des notaulices à peine différenciées; sillon préscutellaire droit, étroit et assez régulièrement crénelé; disque du scutellum un peu plus brillant que le mésonotum, à ponctuation très superficielle, à peine apparente, mais cependant présente partout et plus densément près des bords latéraux, apex un peu déprimé; mésopleures à petite ponctuation antérieure, lisses ailleurs sauf quelques très petits pointillés près du bord coxal; suture méso-métapleurale très petitement crénelée; métapleurales lisses antérieurement, finement rugueuses postérieurement; propodeum rugueux et assez terne dans la moitié basale, plus brillant et à rugules plus rares ou absentes dans la moitié apicale, orné d'une carène longitudinale médiane complète et de carènes transversales situées au tiers basal, toutes ces carènes assez faibles et parfois peu distinctes.

*Ailes* : stigma large, 2,3 fois plus long que large; 1<sup>re</sup> abcisse de la radiale les 3/4 de la largeur du stigma et un peu plus courte que la transverso-cubitale, ces deux nervures formant un angle entre elles; récurrente à peine plus longue que la transverso-cubitale et au moins 1,5 fois plus longue que la partie apicale de la 1<sup>re</sup> abcisse de la cubitale, partie pigmentée de la 2<sup>e</sup> abcisse de cette dernière environ égale au sommet de la basale; stigma un peu plus court que le métacarpe (fig. 122).

*Pattes III* : hanches finement et densément ponctuées sur la facette plane en dessus à la base, petitement et peu densément ponctuées ailleurs. Proportions : hanches, 17/28; fémurs, 11/38; tibias, 8/45; tarsi : I, 25; II, 10; III, 8; IV, 6; V, 7; le plus long éperon des tibias les 2/3 et le plus court le 1/4 de la longueur des métatarses.

*Abdomen* (fig. 123) : tergite I excavé à la base, plus fortement au milieu où l'excavation se continue par un étroit sillon jusqu'à la moitié, lisse, brillant et très poli dans les 2/3 basales, le 1/3 apical courbé presque à angle droit et ponctué jusqu'à l'apex, celui-ci pourvu d'une petite aire médiane en relief, lisse et brillante; longueur médiane du tergite 2 fois ses largeurs apicale et basale et 1,66 fois sa plus grande largeur située envi-

ron au 1/3 basal (20 : 10 : 10 : 12), ses bords latéraux divergents jusqu'au 1/3 basal, ensuite convergents vers l'apex échancré et à angles arrondis; tergite II, 1/5 plus court que la largeur apicale du I et les 2/3 de la longueur du III, pourvu de sillons latéraux bien marqués, courbés, délimitant une aire médiane presque semi-circulaire, brillante et assez peu distinctement ponctuée, plus lisse au milieu; tergite III brillant, à petite ponctuation, à l'exception d'une aire médiane obtriangulaire à la base; hypopygium saillant, modérément aigu; valves de la tarière à peine exsertes.

Longueur : 2,5 à 2,8 mm.; ♂, inconnu.

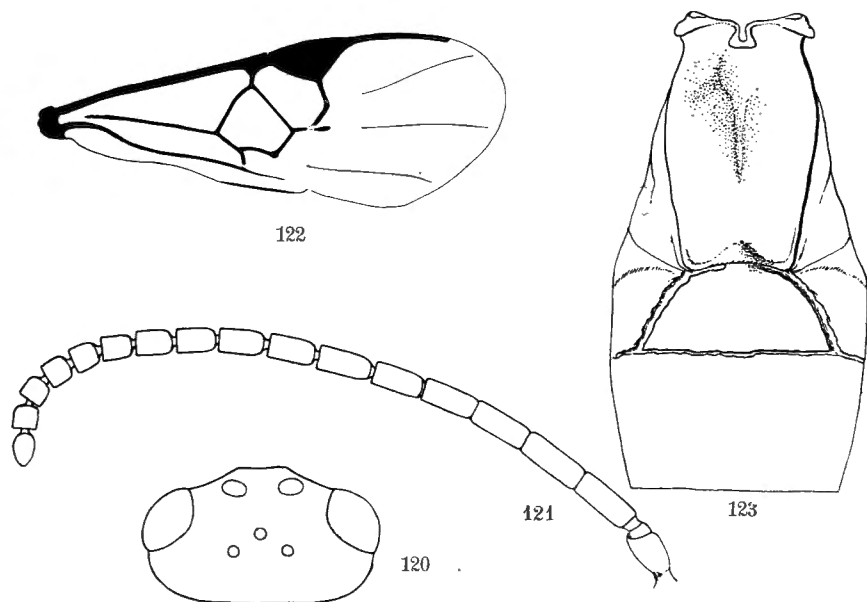


FIG. 120-123. — *Apanteles parvicornis* sp. n. ♀.

FIG. 120. — Tête, vue de dessus. FIG. 121. — Antenne.

FIG. 122. — Détail de la nervation de l'aile antérieure.

FIG. 123. — Détail des trois premiers tergites abdominaux.

DISTRIBUTION GÉOGRAPHIQUE : Ruhengeri, riv. Mugara-Kigombe, Ruanda (alt. 1.800-1.825 m., 6.II.1935); 1 holotype, 4 paratypes ♀ ♀.

AFFINITÉS : Par la présence, quoique peu distincte, de carènes transverso-basales au propodeum, cette espèce se place, dans la clef de WILKINSON, en même temps que l'espèce javanaise *Ap. sundanus* WILKN., dont elle est nettement différente. *Ap. parvicornis*, se caractérise principalement par la longueur des antennes, les proportions très spéciales de leurs articles pré-apicaux et la largeur du stigma.

48. — **Apanteles anubis** sp. n.

(Fig. 124-126.)

♀ : noire; scape en partie, tegulae, pattes I et II (excepté une légère enfumure de l'article apical des tarses I et de tous les articles des tarses II), pattes III (excepté une faible enfumure à l'apex des fémurs, l'apex des tibias et les tarses, parties qui sont noirâtres), jaune-rouge testacé; abdomen rouge testacé y compris l'hypopygium (excepté le disque du tergite II, la partie dorsale des tergites suivants et l'extrémité de l'abdomen), tergite I plus orangé que le restant de l'abdomen, ses bords latéraux rouge sombre; palpes et éperons des tibias pâles; parties buccales rougeâtres; ailes très légèrement enfumées entièrement; nervures et stigma bruns.

♀. *Tête* : face aussi large que longue, légèrement satinée, à ponctuation (degré 2) assez dense, sétigère, portant un tronçon de carène longitudinale médiane à la partie supérieure; clypéus différencié de la face; ostioles faciales plus près de l'apex du clypéus que des yeux; vertex lisse et brillant; espace oculo-ocellaire à peine plus grand que la distance séparant les ocelles postérieurs; occiput mat, à ponctuation (degré 3), dense; antennes plus longues que le corps, effilées distalement; 1<sup>er</sup> article du flagellum environ 3 fois plus long que large (14 : 5) (fig. 124).

*Thorax* : mésonotum assez terne, fortement ponctué (degré 5), à pointillés presque contigus, surtout le long des lignes des notaules, moins denses latéralement; sillon préscutellaire droit, petitement crénelé; disque du scutellum convexe, entièrement ponctué mais un peu plus faiblement que le mésonotum et plus superficiellement; partie lisse des axillae atteignant, à sa plus grande largeur, la moitié de la longueur du disque du scutellum, partie antérieure irrégulièrement striée; mésopleures lisses et brillants, ne portant que quelques gros pointillés dans l'angle huméral; suture méso-métapleurale finement crénelée; métapleurales rugueuses près du bord coxal, lisses ailleurs, à sillon médian lisse; propodeum finement rugueux et mat, excepté le long du bord apical, où il est assez rugueux et brillant, brillant aussi contre la carène longitudinale médiane, celle-ci courttement crénelée, le propodeum porte, en outre, de chaque côté une carène préoperculaire assez mal définie.

*Ailes* : 1<sup>re</sup> abcisse de la radiale et transverso-cubitale incurvées, sans point de jonction discernable, la première certainement plus longue que la largeur du stigma; partie pigmentée de la 2<sup>e</sup> abcisse de la cubitale égale à la moitié de la longueur de la récurrente et plus longue que la partie apicale pigmentée de la 1<sup>re</sup> abcisse de la cubitale; stigma plus court que le métacarpe (fig. 125).

*Pattes III* : hanches petitement ponctué à lisses, excepté sur la facette plane en dessus à la base, où elles sont fortement ponctué; fémurs petite-

ment et densément ponctués. Proportions : hanches, 20/40; fémurs, 11/45; tibias, 8/50; tarsi : I, 28; II, 12; III, 10; IV, 8; V, 8; le plus long éperon des tibias environ  $\frac{2}{3}$  de la longueur des métatarses et le plus court  $\frac{2}{3}$  de la longueur du précédent.

*Abdomen* (fig. 126) : longueur médiane du tergite I, 3,33 fois sa largeur apicale, 2 fois sa largeur basale et environ 1,53 fois sa plus grande largeur située vers le milieu (20 : 6 : 10 : 13), ses bords latéraux divergents et légèrement incurvés dans la moitié basale, ensuite convergents jusqu'à l'apex

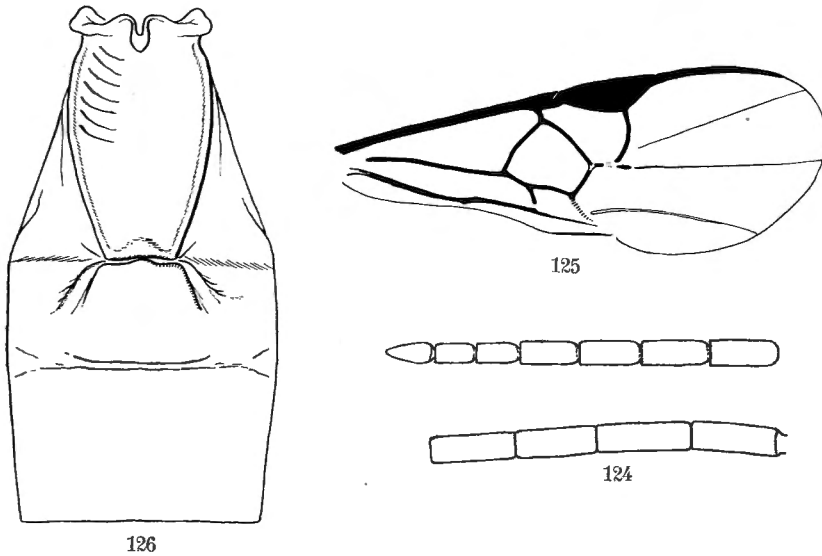


FIG. 124-126. — *Apanteles anubis* sp. n. ♀.

FIG. 124. — Base et sommet de l'antenne.

FIG. 125. — Détail de la nervation de l'aile antérieure.

FIG. 126. — Détail des trois premiers tergites abdominaux.

tronqué, excavé dans la moitié basale et faiblement courbé au  $\frac{1}{3}$  apical, à tégument mat et portant quelques pointillés sétigères, superficiels, vers l'apex; tergite II, 1,5 fois plus long que la largeur apicale du I et près des  $\frac{2}{3}$  de la longueur du III (9 : 6 : 13), à sillons discaux courts et peu divergents, la partie médiane, mate, est un peu convexe, à bords latéraux moins divergents que le bord antérieur des sillons, lisse et brillant ailleurs et portant quelques petits pointillés sétigères dans la moitié apicale; tergites III et suivants, brillants et portant l'habituelle petite ponctuation; hypopygium à apex aigu, ne dépassant pas l'extrémité de l'abdomen; valves de la tarière à peine exsertes.

Longueur : 3 mm.; ♂, inconnu.

DISTRIBUTION GÉOGRAPHIQUE : Rutshuru (alt. 1.285 m., 4.VII.1935), holotype ♀; Rutshuru, riv. Lubirizi (alt. 1.285 m., 13.VII.1935); 2 exemplaires.

AFFINITÉS : Cette espèce se place, dans la clef de WILKINSON, en même temps que *Ap. pallidocinctus* GAHN., dont elle se différencie par une beaucoup plus forte ponctuation du mésonotum, la matité et la carénation du propodeum, ainsi que par l'incurvation de la 1<sup>re</sup> abcisse de la radiale et de la transverso-cubitale qui sont sans angularité définie.

49. — **Apanteles fuscinervis** CAMERON.

(Fig. 127-128.)

*Apanteles fuscinervis* CAMERON, Ann. Transv. Mus., II, 1911, p. 207, ♂; WILKINSON, Trans. Ent. Soc. Lond., LXXX, 1932, p. 303.

DISTRIBUTION GÉOGRAPHIQUE : Afrique du Sud; coll. DE WITTE : Munagana, vers Gahinga-Sabinyo (alt. 2.200 m., 18.VIII.1934); 1 exemplaire, ♀.

Je ne rapporte qu'avec circonspection ce spécimen à *Ap. fuscinervis* CAM., dont la ♀ n'a jamais été décrite et qui n'est connu, à ce jour, que par un

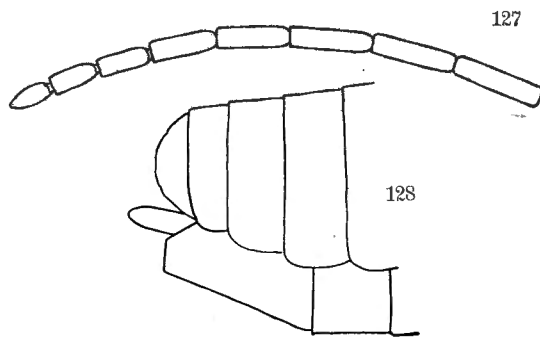


FIG. 127-128. — *Apanteles fuscinervis* CAMERON ♀ ?

FIG. 127. — Sommet de l'antenne. — FIG. 128. — Sommet de l'abdomen.

unique spécimen ♂, originaire de l'Afrique du Sud (Rietfontein, Prétoria district), dont WILKINSON a donné une redescription. Je donne une courte diagnose de cet exemplaire, portant sur les divergences constatées d'après cette redescription.

♀ : hanches I et II entièrement, fémurs III entièrement ainsi que les tibias III, ces derniers à peine enfumés légèrement à l'apex, palpes, tegulae et sternites de la base, rouge testacé; tous les tarses sombres; nervure costale testacée à la base; stigma jaune, diaphane; 1<sup>re</sup> abcisse de la radiale, transverso-cubitale et partie pigmentée de la 2<sup>e</sup> abcisse de la cubitale, brun clair, les autres nervures presque incolores.

♀. *Tête* : face aussi large que longue, petitement et assez densément ponctuée; vertex portant une extrêmement petite ponctuation; occiput plus

fortement ponctué; espace oculo-ocellaire égal à la distance séparant les ocelles postérieurs; antennes un peu plus longues que le corps (fig. 127).

*Thorax* : mésonotum plutôt à ponctuation degré 2; propodeum à ponctuation (degrés 3-4) bien marquée, à tégument un peu rugueux vers l'apex, carène médiane mieux marquée à la base, plus faiblement vers l'apex.

*Abdomen* : ponctuation du tergite I bien définie; longueur médiane du tergite II, 1,66 fois plus longue que sa largeur basale et à peine plus longue que sa propre largeur apicale entre les sillons (10 : 6 : 9), ces derniers faiblement marqués et peu divergents; tergite III, 1/5 plus long que le II (12 : 10); hypopygium très court, largement tronqué; valves de la tarière peu exsertes (fig. 128).

Longueur : 3,2 mm.

50. — **Apanteles eucosmae** WILKINSON.

*Apanteles eucosmae* WILKINSON, Bull. Ent. Res., XX, 1929, p. 445, ♂ ♀;  
WILKINSON, Trans. Ent. Soc. Lond., LXXX, 1932, p. 304; DE SAEGER, Rev.  
Zool. Bot. Afr., XXXIV, 1941, p. 330.

DISTRIBUTION GÉOGRAPHIQUE : Ibadan (Nigeria); Kampala (Uganda); Congo Belge : Nyangwe (Lomami); riv. Lukuga (Tanganika); coll. DE WITTE : Rutshuru (alt. 1.285 m., 18-23.VI.1934); 1 exemplaire, ♀.

Cet unique spécimen d'*Apanteles eucosmae*, figurant dans la collection de la mission DE WITTE, correspond parfaitement à la description de WILKINSON, ainsi qu'aux exemplaires de cette espèce figurant dans les collections du Musée du Congo Belge et déterminés par cet auteur. Il est toutefois beaucoup plus sombre, les hanches antérieures présentent un léger noircissement basal et les bords latéraux des 1<sup>er</sup> et 2<sup>e</sup> tergites abdominaux ainsi que le 3<sup>e</sup> révèlent à peine une tendance au rougeâtre.

*Hôtes* : l'hôte au Nigeria est inconnu. En Uganda, une série est renseignée « ex-chenilles sur feuille de Mpindi » et une autre « ex-larve d'Arctiide, ? *Spilosoma*, sur *Bauhinia* » (*Spilosoma* = *Diacrisia*); à Nyangwe, il fut obtenu de *Spilosoma mundata* (WLK.) et de *Spilosoma lutescens* f. *nyangweensis* STRD., tandis que moi-même j'en ai obtenu, au Tanganika, un exemplaire de la Pyrale du Cotonnier *Syllepta derogata* F., hôte, par conséquent, totalement différent.

*Cocons* : blancs, contenus dans une masse sphérique de duvet blanc.

51. — **Apanteles propylae** DE SAEGER.

(Fig. 129-131.)

*Apanteles propylae* DE SAEGER, Rev. Zool. Bot. Afr., XXXIV, 1941,  
p. 326, ♂ ♀.

DISTRIBUTION GÉOGRAPHIQUE : Congo Belge : Eala (Équateur); Elisabethville (Katanga); coll. DE WITTE : Rutshuru (alt. 1.285 m. 18, 22 et 23.V.1934,

4.VI.1934, 1, 6 et 7.VI, 12.VII.1935); Rutshuru, riv. Fuku (alt. 1.250 m., 5-13.VII.1935); Rutshuru, riv. Lubirizi (alt. 1.285 m., 3.VII.1935); Rutshuru, riv. Kanzarue (alt. 1.200 m., 13-15.VII.1935); 19 exemplaires : 17 ♂♂, 2 ♀♀.

Plusieurs spécimens présentent les caractères de l'exemplaire ♀, originaire d'Elisabethville, signalé en même temps que la description originale.

*Hôte et cocon*, inconnus.

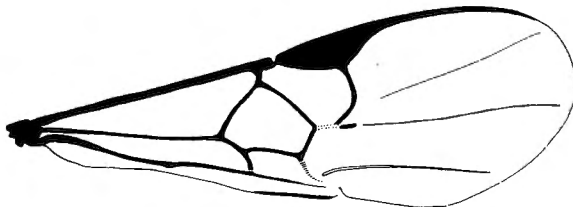


FIG. 129. — *Apanteles propylae* DE SAEGER, détail de la nervation de l'aile antérieure.

a) *Apanteles propylae punctulatus* ab. n.

♂ ♀ : semblables à *Ap. propylae* DE S., en diffèrent seulement par les caractères suivants :

Ponctuation de la face plus profonde; vertex latéralement et occiput, à ponctuation (degré 3) bien marquée; mésonotum brillant, jamais satiné, à forte ponctuation (ou moins degré 4), bien séparée; sillon préscutellaire plus fort; disque du scutellum généralement un peu plus fortement ponctué; facette plane, en dessus à la base des hanches III, densément ponctué.

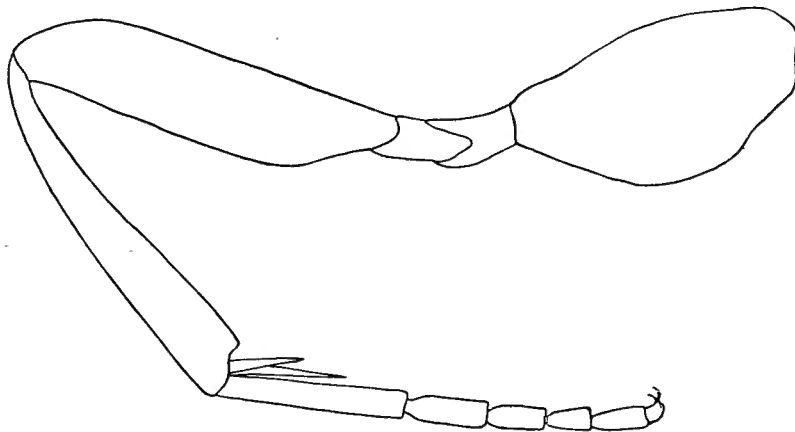


FIG. 130. — *Apanteles propylae* DE SAEGER, patte postérieure.

DISTRIBUTION GÉOGRAPHIQUE : Rutshuru (alt. 1.285 m., 1, 6 et 7.V.1935; 4.II et 12.VII.1935); Rutshuru, riv. Fuku (alt. 1.250 m., 4 et 5.VII.1935); Rutshuru, riv. Lubirizi (alt. 1.285 m., 13.VII.1935); Rutshuru, riv. Musugereza

(alt. 1.100 m., 8.VII.1935); vers le mont Kamatembe (alt. 2.300 m., 7-23.I.1935); vers Rweru, volcan Mikeno, forêt de Bambous (alt. 2.400 m., 3.VII.1934); 19 exemplaires : 15 ♂♂, 4 ♀♀.

Cette aberration constitue très probablement une espèce distincte (s. auct.), qui ne pourra être éventuellement séparée qu'à l'aide de données biologiques.

b) **Apanteles propylae rutshuruensis** ab. n.

Semblable à la coloration et la sculpture de *Ap. propylae* DE S., excepté les caractères suivants :

Premier tergite abdominal, hanches III entièrement et hypopygium parfois, rouge testacé.

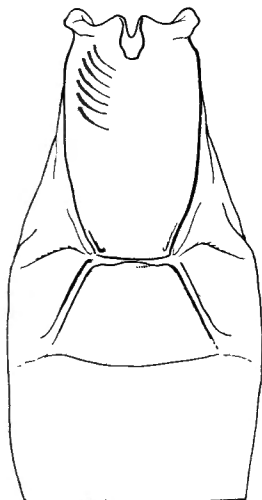


FIG. 131. — *Apanteles propylae* DE SAEGER, détail des trois premiers tergites abdominaux.

DISTRIBUTION GÉOGRAPHIQUE : Rutshuru (alt. 1.285 m., 7.VII et 12.VII.1935); 3 exemplaires : 1 ♂, 2 ♀♀.

52. — **Apanteles horus** sp. n.

(Fig. 132.)

♂♀ : noirs; palpes, scapes en partie, tegulae, propectus, pattes I et II, hanches (sauf parfois en dessus à la base), trochanters, trochantelles et fémurs (sauf ces derniers à l'extrême apex) des pattes III, épérons des tibias, bords latéraux membraneux du tergite I et sternites de la base, rouge testacé; apex des fémurs, tibias et tarses des pattes III, brun rougeâtre; flagellum, noir brunâtre; base du mésonotum et surtout aires transcutales tendant au rougeâtre; ailes faiblement enfumées entièrement et régulièrement; nervures et stigma bruns.

♂ ♀. *Tête* : face environ aussi large que longue, satinée, à bords orbitaux plus brillants, à ponctuation petite, régulière, portant une carène longitudinale médiane dans la moitié supérieure; clypéus faiblement différencié de la face; ostioles faciales plus près de l'apex du clypéus que des yeux; vertex et occiput plus faiblement ponctués que la face, presque lisses; espace oculo-ocellaire plus grand que la distance séparant les ocelles postérieurs; antennes normales.

*Thorax* : mésonotum faiblement brillant, à ponctuation (degré 3) peu dense, les pointillés séparés par une distance plus grande que leur propre diamètre, plus serrés le long des lignes des notaulices, absents vers la base; sillon préscutellaire droit, étroit et superficiel, à peine ou pas crénelé; disque du scutellum à faible convexité, presque plat, satiné ou peu brillant, sans

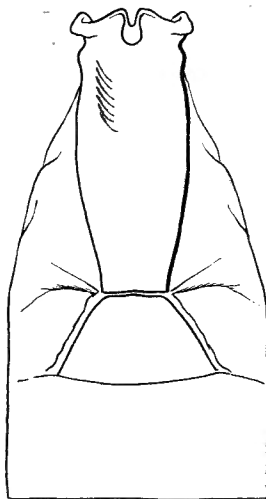


FIG. 132. — *Apanteles horus* sp. n.,  
détail des trois premiers tergites abdominaux.

ponctuation ou avec une très petite ponctuation superficielle et rare; axillae à peine crénelées le long du disque du scutellum, lisses ailleurs; mésopleures lisses et brillants; métapleures satinés, lisses, sauf près du bord coxal où apparaissent quelques pointillés, sillon médian faible; propodeum assez mat, avec une apparence de ponctuation à la base, parfois faiblement rugueux dans la moitié apicale, divisé par une carène longitudinale médiane ayant son origine à une carène transversale courte, située au bord basal du propodeum, et se terminant confusément entre des carènes courtes ébauchant un début d'aréole à l'apex, mais ces carènes peuvent être absentes ou être prolongées transversalement sur les côtés par des carènes beaucoup plus faibles disposées comme des costules.

*Ailes* : nervation comme celle d'*Ap. propylae* DE S. (fig. 129).

*Pattes III* : hanches dépourvues de ponctuation; fémurs petitement ponctués. Proportions : hanches, 20/38; fémurs, 12/45; tibias, 8/54; tarsi : I, 26; II, 11; III, 9; IV, 8; V, 8; le plus long éperon des tibias un peu plus de la moitié de la longueur des métatarses et le plus court les 2/3 du précédent.

*Abdomen* (fig. 132) : tergite 1,4 fois plus long que sa largeur apicale et 2,4 fois sa largeur basale (24 : 6 : 10), ses bords latéraux parallèles dans la moitié basale, convergents ensuite en ligne droite jusqu'à l'apex tronqué, tégument mat, vaguement ponctué dans la moitié apicale, excavé largement dans la moitié basale et faiblement courbé vers le milieu; longueur médiane du tergite II, 1/3 plus longue que la largeur apicale du I et un peu plus courte que celle du III (8 : 6 : 10), lisse et brillant à la base et portant quelques pointillés dans la moitié apicale, l'aire entre les sillons légèrement convexe, ces sillons bien marqués, divergents à un angle un peu plus grand que 45°; 2° suture bien marquée, légèrement arquée; tergites III et suivants, lisses et brillants, avec l'habituelle petite ponctuation; hypopygium très aigu; valves de la tarière longues et étroites, environ de la longueur des métatarses III.

Longueur : 2,5 mm.

DISTRIBUTION GÉOGRAPHIQUE : Nyasheke, volcan Nyamuragira (alt. 1.820 m., 14-26.VI.1935), holotype ♀, et paratypes; Mayumbu, volcan Nyamuragira (alt. 2.100 m., 14-26.VI.1935); Gitebe, volcan Nyamuragira (alt. 2.324 m., 14-26.VI.1935); lac Gando, volcan Karisimbi, Ruanda (alt. 2.400 m., 9.III.1935), allotype ♂; vers Rweru, volcan Mikeno, forêt de Bambous (alt. 2.400 m., 3.VII.1934); Rweru, volcan Mikeno, forêt de Bambous (alt. 2.400 m., 26-27.VII.1934); vers le mont Kamatembe (alt. vers 2.300 m., 7-23.I.1935); Rutshuru (alt. 1.285 m., 7.VI.1935, 2.VII.1935); Rutshuru, riv. Fuku (alt. 1.250 m., 3.VII.1935); Rutshuru, riv. Rutshuru (alt. 1.000 m., 3.VII.1935); Rutshuru, riv. Musugereza (alt. 1.100 m., 8.VII.1935); Burunga, Mokoto (alt. 2.000 m., 15-16.III.1934); Ruhengeri, riv. Mugara-Kigombe, Ruanda (alt. 1.800-1.825 m., 6.II.1935); Luofu (alt. 1.700 m., 10.XI.1934); 48 exemplaires : 36 ♂♂, 12 ♀♀.

AFFINITÉS : Cette espèce demande un examen attentif pour être séparée de *Ap. propylae* DE S., avec laquelle elle présente une grande similitude. Les caractères qui permettent de reconnaître *Ap. horus* sont les suivants; ponctuation plus petite du mésonotum et aspect satiné du tégument de cette partie, absence de ponctuation sur le disque du scutellum qui est plus plat et par la forme plus étroite du 1<sup>er</sup> tergite abdominal.

Il est à remarquer que cette espèce a été récoltée, simultanément avec *Ap. propylae* et ses aberrations, dans les mêmes stations. Ces espèces sont étroitement affines et font partie sans aucun doute d'un groupe spécifique.

53. — **Apanteles melanotus** sp. n.

(Fig. 133-136.)

♂ ♀ : rouges; tête, scapes partiellement, mésonotum (sauf les aires transcutales), disque du scutellum, des traces plus ou moins étendues sur les propleures, axillae, métanotum et propodeum, bords latéraux et apex du tergite I sur une étendue variable, tous les tergites depuis le II, hypopygium et valves de la tarière, plus ou moins la facette supérieure à la base des hanches III, enfumure à l'apex des fémurs, l'extrême base et l'apex des tibias des pattes III et tous les onychiums, noirs; palpes pâles; flagellum, noir brunâtre; tegulae rougeâtres, assez foncées; tarsi III comme l'apex des tibias, brun noirâtre; ailes légèrement enfumées entièrement et régulièrement; nervures brunes; stigma opaque, brun foncé; chez le ♂, les traces noires sont parfois plus accusées, tergite I parfois entièrement rouge, le restant de l'abdomen noir, excepté les sternites de la base, les tibias parfois presque entièrement brun rougeâtre.

♂ ♀. *Tête* : face environ aussi longue que large, satinée, à petite ponctuation (degré I) assez dense, mais superficielle, un petit tronçon de carène, mince, est apparent près des torules; clypéus un peu surélevé; ostioles faciales plus près de l'apex du clypéus que des yeux; espace oculo-malaire 1,5 à 2 fois la largeur basale des mandibules; vertex satiné, lisse; occiput et tempes, ponctués comme la face, mais plus faiblement; bord orbital externe lisse et brillant; espace oculo-ocellaire un peu plus grand que la distance séparant les ocelles postérieurs; antennes plus longues que le corps; 1<sup>er</sup> article du flagellum 3 fois plus long que large chez la ♀, 2,5 fois chez le ♂, articles apicaux se raccourcissant à partir du XI ou XII chez la ♀, du XIV chez le ♂ (fig. 133 et 134).

*Thorax* : mésonotum satiné, à ponctuation (degré 2) assez dense, mais un peu superficielle, absente à la base; sillon préscutellaire droit, superficiel et très faiblement crénelé; disque du scutellum aussi long que large à la base, faiblement convexe, satiné, ponctué un peu comme le mésonotum, légèrement plus confusément; partie lisse des axillae étroite, partie antérieure superficiellement striée; méso- et métapleures lisses et brillants, à sutures lisses; propodeum lisse et brillant, sauf dans les angles postéro-externes où il est satiné à mat et parfois faiblement ruguleux, divisé par une carène longitudinale médiane partant, à l'extrême base, d'une courte carène transversale.

*Ailes* : 1<sup>re</sup> abcisse de la radiale et transverso-cubitale incurvée, sans point de jonction discernable, la première, en tout cas, plus longue que la deuxième; partie pigmentée de la 2<sup>e</sup> abcisse de la cubitale pas plus longue que le sommet de la basale; partie apicale de la 1<sup>re</sup> abcisse de la cubitale punctiforme et un peu plus longue que la moitié de la radiale; stigma plus court que le métacarpe (fig. 135).

*Pattes III* : faces supérieure et externe des hanches, lisses et brillantes; fémurs brillants, petitement et assez peu densément ponctués. Proportions : hanches, 18/36; fémurs, 12/46; tibias, 8/50; tarses : I, 30; II, 12; III, 9; IV, 8; V, 8; le plus long éperon des tibias à peine plus de la moitié et le plus court le 1/3 de la longueur des métatarses.

*Abdomen* (fig. 136) : tergite I lisse, brillant et excavé dans les 2/3 basilaire, courbé au 1/3 apical, de celui-ci à l'apex le tégument est satiné et ne

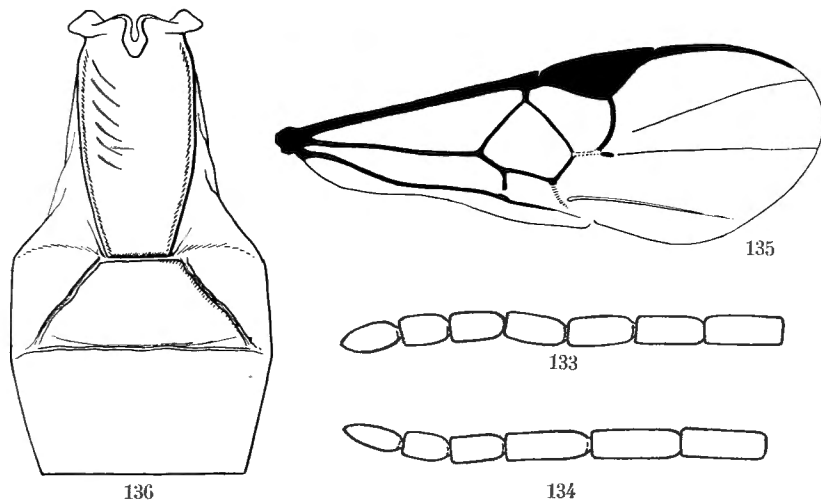


FIG. 133-136. — *Apanteles melanotus* sp. n.

FIG. 133. — Sommet de l'antenne ♀. FIG. 134. — Sommet de l'antenne ♂.

FIG. 135. — Détail de la nervation de l'aile antérieure.

FIG. 136. — Détail des trois premiers tergites abdominaux.

porte que 2 ou 3 pointillés courtement sétigères, sa longueur médiane 4 fois sa largeur apicale et double de sa largeur basale (20 : 5 : 10), ses bords latéraux faiblement convergents de la base au sommet; longueur médiane du tergite II, 1,6 fois la largeur apicale du I et 2,25 fois plus courte que sa propre largeur apicale entre les sillons (8 : 5 : 18), ceux-ci divergents à un angle de 90° et bien marqués, mais souvent ne paraissant pas atteindre la 2<sup>e</sup> suture, tégument lisse, satiné à brillant; 2<sup>e</sup> suture droite ou très faiblement arquée; tergite III près de 1,5 fois plus long que le II (11 : 8), lisse et brillant comme les suivants et portant l'habituelle petite ponctuation; hypopygium ne dépassant guère l'extrémité de l'abdomen, à apex aigu; valves de la tarière étroites, à peine exsertes.

Longueur : 2,8 mm.

DISTRIBUTION GÉOGRAPHIQUE : Nyasheke, volcan Nyamuragira (alt. 1.820 m., 14-26.VI.1935), holotype ♀, allotype ♂, 1 paratype; Rutshuru (alt. 1.285 m., 1-6.VI.1935); Rwindi (alt. 1.000 m., 20-24.XI.1934); 5 exemplaires : 3 ♂♂; 2 ♀♀.

**AFFINITÉS** : Cette espèce se caractérise par sa coloration. Elle se rapproche beaucoup de *Ap. pilosomae* DE S., mais outre la couleur, elle s'en sépare par la présence d'une carène médiane au propodeum et les bords latéraux du 1<sup>er</sup> tergite abdominal sont moins parallèles que chez cette espèce. Dans la clef de WILKINSON, *Ap. melanotus* se range avec *Ap. eucosmae* WILKN., à laquelle elle s'apparente par la nervation alaire, mais, à l'encontre de cette espèce, les sillons discaux du 2<sup>e</sup> tergite sont très divergents et les valves de la tarière sont beaucoup plus courtes.

a) ***Apanteles melanotus rubens* ab. n.**

♂ ♀ : semblables à *Ap. melanotus*, dont ils diffèrent par les caractères suivants :

Thorax et tergite I entièrement rouges; face brillante, plus éparsement et plus finement ponctuée, proéminente médialement; mésonotum brillant, également plus finement ponctué; tergite I, lisse et poli.

Longueur : 3 mm.

**DISTRIBUTION GÉOGRAPHIQUE** : Rutshuru (alt. 1.285 m., 2.VII.1935); 2 exemplaires : 1 ♂, 1 ♀.

Malgré l'extrême analogie entre les autres caractères, j'estime, cependant, qu'il y a lieu de ne considérer ces spécimens comme une aberration de l'espèce précédente, que sous réserve.

54. — ***Apanteles ugandaensis* GAHAN.**

*Apanteles ugandaensis* GAHAN, Proc. U. S. Nat. Mus., LIV, 1918 (1919), p. 589, ♀; WILKINSON, Stylops, III, 1934, p. 146, ♂; DE SAEGER, Rev. Zool. Bot. Afr., XXXIV, 1941, p. 337.

**DISTRIBUTION GÉOGRAPHIQUE** : Uganda; Kenya; Congo Belge: Rutshuru; coll. DE WITTE : Tshamugussa, Bweza, forêt de Bambous (alt. 2.250 m., 10.VIII.1934); vers Rweru, volcan Mikeno, forêt de Bambous (alt. 2.400 m., 3.VII.1934); Rutshuru (alt. 1.285 m., 4.VII.1935); Rutshuru, riv. Musugereza (alt. 1.100 m., 8.VII.1935); Kanyabayongo, Kabasha (alt. 1.760 m., 8.XII.1934); Nyongera, près de Rutshuru (alt. 1.218 m., 17.VII.1935); Gitebe, volcan Nyamuragira (alt. 2.324 m., 14-26.VI.1935); lac Magera (2.000 m., 6.III.1934); Kundhuru ya Tshuve, Rutabagwe, Ruanda (2.600 m., 13-14.IX.1934); Kundhuru ya Tshuve, col Gahinga Sabinyo, Ruanda, forêt de Bambous (alt. 2.600 m., 15.IX.1934); Ruhengeri, riv. Penge, Ruanda (alt. 1.800-1.825 m., 29.IX.1934); 14 exemplaires : 5 ♂♂, 9 ♀♀.

**Hôtes** : en Uganda, la série type a été obtenue d'une Pyrale, sur *Hibiscus*; au Kenya, des spécimens ont été élevés de chenilles de *Tortrix* (= *Cacoecia*) *occidentalis* WALS. (Tortricidae); enfin, au Congo Belge, 1 exemplaire a été

obtenu de tests de Caféiers *Arabica* (+insectes divers), provenant d'une plantation où furent récoltées des chenilles de l'Uraniide *Epiplema dohertyi* WARR. parasitées par *Ap. epiplemicidus* DE S.

*Cocons* : blancs.

55. — ***Apanteles cuspidalis* sp. n.**

(Fig. 137-139.)

♂ ♀ : noirs; pièces buccales, palpes, tegulae, pattes I et II (excepté l'article apical des tarses II), extrême apex des hanches, trochanters, trochantelles, fémurs et éperons des tibias des pattes III, tergite I, parties latérales membraneuses du tergite I et celles du II antérieurement, sternites de la base, rouge testacé; tibias III (sauf à l'apex) rouge testacé plus foncé; article apical des tarses II brunâtre; apex des tibias III et tarses III, brun noirâtre; scapes rougeâtres; ailes très légèrement enfumées entièrement; nervures brunes; stigma opaque, brun sombre.

♂ ♀. *Tête* : face aussi large que longue, brillante, très petitement ponctuée, presque lisse, à peine proéminente médialement; clypéus légèrement convexe, non différencié de la face; ostioles faciales beaucoup plus près de l'apex du clypéus que des yeux; vertex et occiput encore plus faiblement ponctués que la face; espace oculo-ocellaire plus grand que la distance séparant les ocelles postérieurs; antennes normales à articles apicaux allongés.

*Thorax* : mésonotum brillant, très finement et peu densément ponctué, à ponctuation à peu près absente à la base; sillon préscutellaire étroit, superficiel et plus ou moins crénelé latéralement; disque du scutellum très convexe, brillant, virtuellement imponctué, portant une fine rugosité très près des bords latéraux; partie antérieure des axillae ruguleuse dans l'angle interne, lisse et excavée dans l'angle externe; mésopleures lisses et brillants, faiblement ponctués dans l'angle huméral, cochléar large; suture mésométopleurale non crénelée; métapleures lisses et brillants, à sillon médian étroitement et finement crénelé; propodeum entièrement lisse et brillant, à carènes apicales et latérales petites; stigmates assez grands.

*Ailes* : 1<sup>re</sup> abcisse de la radiale perpendiculaire au bord antérieur de l'aile, un peu plus courte que la largeur du stigma et un peu plus longue que la transverso-cubitale, ces deux nervures formant un angle bien accusé entre elles et épaissies du côté distal de l'aile, à leur point de jonction; 2<sup>e</sup> abcisse de la cubitale particulièrement longue, égale à la transverso-cubitale et double de la partie apicale hyaline de la 1<sup>re</sup> abcisse de la cubitale; récurrente un peu plus courte que la transverso-cubitale; stigma à peine plus court que le métacarpe (fig. 137).

*Pattes III* : hanches lisses et brillantes, portant quelques gros pointillés sur la facette plane en dessus à la base et une très fine pilosité basale;

fémurs petitement ponctués. Proportions : hanches, 20/36; fémurs, 11/42; tibias, 8/50; tarsi : I, 26; II, 12; III, 9; IV, 7; V, 10; le plus long éperon des tibias environ les 2/3 et le plus court moins du 1/3 de la longueur des métatarses.

*Abdomen* (fig. 138) : tergite I lisse et brillant, légèrement rugueux près de l'apex, de part et d'autre d'une petite aire médiane lisse, excavé large-

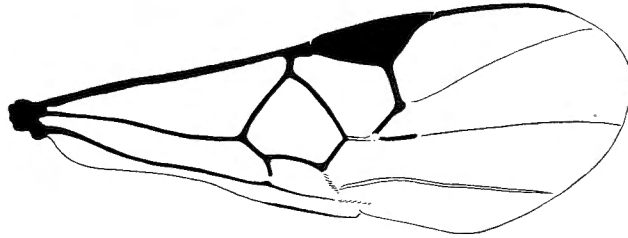
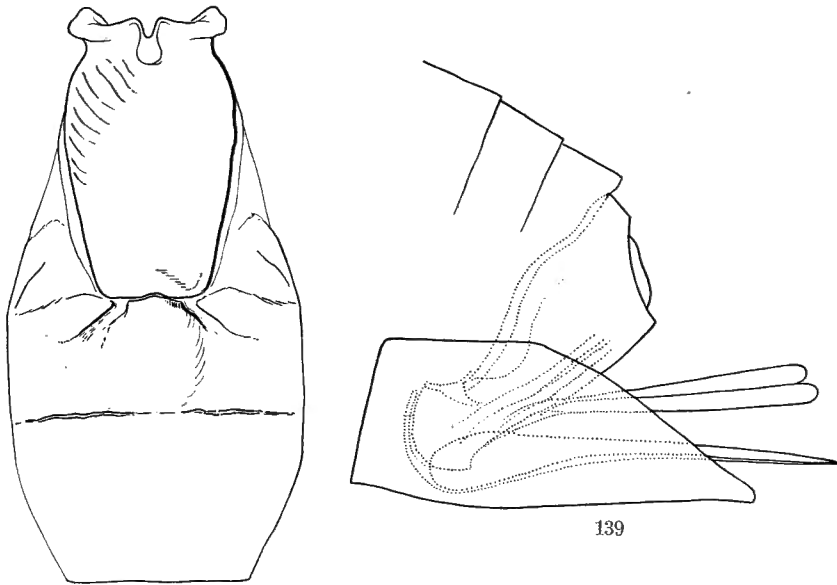


FIG. 137. — *Apanteles cuspidalis* sp. n., détail de la nervation de l'aile antérieure.



138

139

FIG. 138-139. — *Apanteles cuspidalis* sp. n.

FIG. 138. — Détail des trois premiers tergites abdominaux.

FIG. 139. — Sommet de l'abdomen.

ment à la base et courbé au 1/3 apical, sa longueur médiane un peu plus de 2 fois sa largeur apicale, celle-ci égale à sa largeur à l'extrême base et 1,36 fois plus courte que sa plus grande largeur située près de la base (23 : 11 : 11 : 15), ses bords latéraux, après un étranglement basal, divergent

jusqu'au 1/4 basal et convergent ensuite en ligne droite jusqu'à l'apex, dont les angles sont arrondis; ce tergite est légèrement plus étroit chez le ♂; tergite II brillant, marqué de deux sillons courts, bien marqués, divergents à un angle à peine supérieur à 90°, un peu proéminent sur le disque et petitement ponctué dans les angles latéro-postérieurs (légèrement sculpté latéralement chez le ♂), sa longueur médiane à peu près égale à la largeur apicale du I et 2/3 de celle du III (10 : 11 : 15); 2° suture droite, mieux marquée latéralement; tergites III et suivants, brillants, polis, portant l'habituelle petite ponctuation; hypopygium grand, dépassant fortement l'extrémité de l'abdomen, à apex aigu; valves de la tarière dépassant l'hypopygium de la longueur du pénultième article des tarsi III (fig. 139).

Longueur : ♂, 2,25 mm.; ♀, 3 mm. (3,2 mm. jusqu'à l'apex de l'hypopygium).

DISTRIBUTION GÉOGRAPHIQUE : Rutshuru (alt. 1.285 m., 2.VII.1935), holotype ♀; Rutshuru, riv. Lubirizi (alt. 1.285 m., 13.VII.1935); Burunga, Mokoto (alt. 2.000 m., 15-16.III.1934), allotype ♂; Gitebe, volcan Nyamuragira (alt. 2.324 m., 14-26.VI.1935); 4 exemplaires : 1 ♂, 3 ♀ ♀.

AFFINITÉS : Cette espèce présente une grande affinité avec *Ap. graciosus* WILKN., dont elle se différencie par une coloration des pattes beaucoup plus rougeâtre, les hanches postérieures noires et le 3° tergite distinctement plus long que le 2°.

#### 56. — *Apanteles geometrivorus* DE SAEGER.

*Apanteles geometrivorus* DE SAEGER, Rev. Zool. Bot. Afr., XXXIV, 1941, p. 331, ♂ ♀.

DISTRIBUTION GÉOGRAPHIQUE : Congo Belge : Eala (Équateur); collection DE WITTE : Kalondo, lac Ndaraga, Mokoto (alt. 1.750 m., 22-27.III.1934); vers le mont Kamatembe (vers 2.300 m., 7-23.I.1935); 2 exemplaires ♀ ♀.

*Hôte* : Espèce grégaire. Les spécimens, sur lesquels est établie la description originale sont accompagnés d'une dépouille appartenant à une chenille de la famille des Geometridae.

*Cocons* : Cette dépouille porte 11 cocons d'un ton feuille morte, dressés isolément et sans disposition particulière.

Les exemplaires provenant du P. N. A. sont conformes aux caractères du type, mais les segments apicaux de l'abdomen sont noirs.

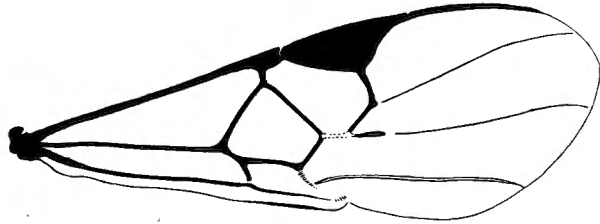
#### 57. — *Apanteles simulissimus* sp. n.

(Fig. 140-141.)

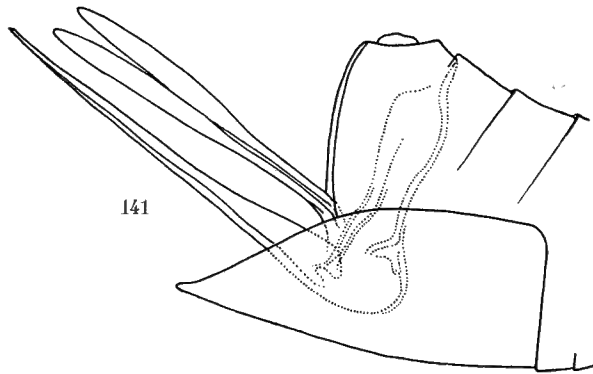
Espèce très semblable à *Ap. graciosus* WILKN. dont elle ne se différencie que par les caractères suivants :

♀ : scapes rougeâtres; flagellum noir brunâtre; pattes y compris les

hanches (excepté tibias et tarses III), rouge testacé; propectus rouge testacé plus foncé que les pattes; tibias III progressivement enfumés de la base à l'apex, tarses de même coloration que la base des tibias; tegulae noires; face brillante à ponctuation irrégulière (degré 1), presque aciculée; mésonotum à ponctuation dense (degré 3) antérieurement, plus espacée postérieurement; disque du scutellum à ponctuation rare et superficielle, propodeum pas lisse, vaguement ruguleux, surtout latéralement; tergite I



140



141

FIG. 140-141. — *Apanteles simulissimus* sp. n. ♀.

FIG. 140. — Détail de la nervation de l'aile antérieure.

FIG. 141. — Apex de l'abdomen.

lisse, à peine sculpté latéralement à l'apex, portant près de celui-ci une légère dépression médiane plus ou moins circulaire; tergite II irrégulièrement ruguleux entièrement et distinctement marqué d'une aire médiane proéminente, plus ou moins fusiforme; 2<sup>e</sup> suture légèrement oblique antéro-postérieurement sur les côtés; tergite III ordinairement 1/4 plus long que le II; hypopygium plus aigu à l'apex et un peu moins prolongé que chez *Ap. cuspidalis* (fig. 141).

Longueur : 3 mm.; ♂, inconnu.

DISTRIBUTION GÉOGRAPHIQUE : Rutshuru, riv. Musugereza (alt. 1.100 m., 4.VII.1935), holotype ♀; Rutshuru (alt. 1.285 m., 4.VII.1935); Ngesho (alt. 2.000 m., 3-6.IV.1934); vers le mont Kamatembe (vers 2.300 m., 7-23.I.1935); 4 exemplaires ♀ ♀.

58. — *Apanteles agynus* sp. n.

(Fig. 142-144.)

♂ : noir; pièces buccales, scapes en partie, tegulae, propectus, pattes I entièrement, pattes II, excepté la plus grande partie des deux premiers articles des tarsi et les articles suivants, pattes III, excepté l'extrême apex des fémurs, l'apex des tibiai, tous les articles des tarsi sauf la base des métatarses, jaune-rouge testacé; propleures et protubérance humérale des mésopleures, abdomen excepté l'apex, rouge testacé; pattes II et III ailleurs, brunâtres, les tarsi III noircissant progressivement vers l'apex; palpes et

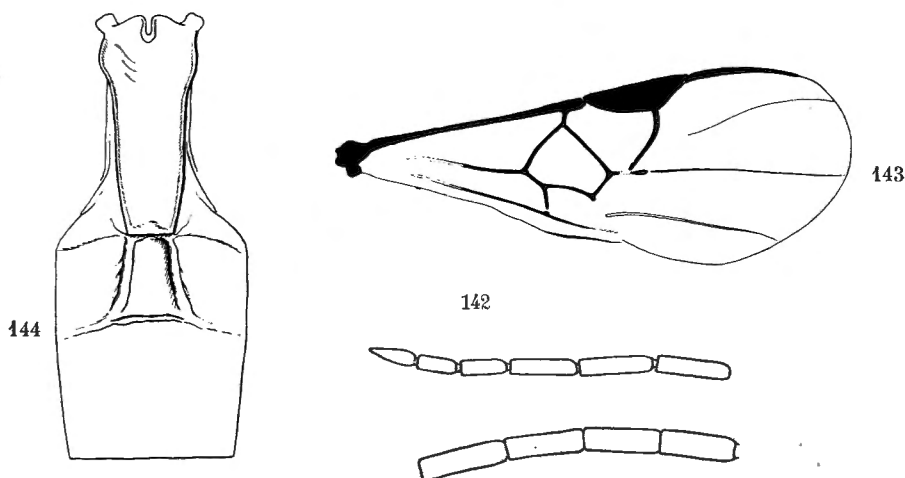
FIG. 142-144. — *Apanteles agynus* sp. n. ♂.

FIG. 142. — Base et sommet de l'antenne.

FIG. 143. — Détail de la nervation de l'aile antérieure.

FIG. 144. — Détail des trois premiers tergites abdominaux.

éperons des tibiai III, pâles, quatre premiers articles du flagellum, brun pâle sale antérieurement, ailleurs et articles suivants, noir brunâtre; ailes très légèrement enfumées entièrement; nervures et stigma brun jaunâtre pâle.

*Tête* : face un peu plus longue que large, assez brillante, à petite ponctuation (degré 1), relativement dense, les pointillés, un peu en relief, donnent à la face une apparence presque rugueuse, celle-ci légèrement proéminente médialement; clypéus non différencié de la face; ostioles faciales plus près de l'apex du clypéus que des yeux; palpes maxillaires courts, ne s'étendant pas au delà de l'apex des hanches I; vertex très faiblement ponctué; occiput et tempes ponctué à peu près comme la face, ces dernières un peu plus densément; espace oculo-ocellaire un peu plus grand que la distance séparant les ocelles postérieurs; antennes plus longues que le corps, très effilées, distalement (fig. 142), le 1<sup>er</sup> article du flagellum 3 fois plus long que large (12 : 4).

*Thorax* : mésonotum faiblement brillant, à ponctuation (degré 4) assez dense, la distance entre les pointillés plus petite que leur propre diamètre; sillon préscutellaire droit et irrégulièrement crénelé, précédé d'une bande transversale lisse et brillante; disque du scutellum entièrement ponctué, plus irrégulièrement et plus superficiellement que le mésonotum; axillae crénelées le long du disque du scutellum; lisses ailleurs et excavées dans l'angle externe; mésopleures ponctués dans l'angle huméral, lisses ailleurs, portant un court sillon crénelé, bien marqué, dans le cochléar; suture méso-méta-pleurale finement crénelée; métapleures rugueux près du bord coxal, lisses ailleurs, à sillon médian lisse; propodeum fortement rugueux-rugueux sauf près du bord apical, où il est plus lisse et plus brillant.

*Ailes* (fig. 143) : stigma plus étroit que l'habituel, 3,5 fois plus long que large; 1<sup>re</sup> abcisse de la radiale insérée au 1/3 distal du stigma, légèrement courbe et continuée en ligne droite par la transverso-cubitale, leur point de jonction non discernable, la deuxième de ces nervures certainement beaucoup plus longue que la précédente; partie apicale de la 1<sup>re</sup> abcisse de la cubitale punctiforme et partiellement pigmentée, plus longue que la partie pigmentée de la 2<sup>e</sup> abcisse de cette nervure et environ égale aux 2/3 de la longueur de la récurrente; médiane et anale pigmentées dans la moitié distale de leur 1<sup>re</sup> abcisse, ensuite décolorées et totalement absentes à la base; stigma à peine plus court que le métacarpe.

*Pattes III* : hanches étroites, lisses et brillantes; fémurs très légèrement ponctués; onychiums petits. Proportions : hanches, 14/36; fémurs, 9/41; tibias, 7/58; tarses : I, 25; II, 11; III, 10; IV, 7; V, 6; le plus long éperon des tibias 3/5 et le plus court 2/5 de la longueur des métatarses.

*Abdomen* (fig. 144) : tergite I petit et étroit, assez mat, vaguement rugueux, excavé à l'extrême base et recourbé au tiers apical; sa longueur médiane environ 4,5 fois sa largeur apicale et 2,25 fois sa largeur basale (18 : 4 : 8), ses bords latéraux évasés à la base, convergents ensuite faiblement en ligne droite jusqu'à l'apex tronqué; tergite II marqué de deux sillons discaux faiblement divergents vers et jusqu'à l'apex, l'aire ainsi délimitée, légèrement convexe et un peu mate, lisse et plus brillant ailleurs, sa longueur médiane égale à deux fois la largeur apicale du I et 2/3 de celle du III; 2<sup>e</sup> suture mal dessinée, plus ou moins arquée; tergites III et suivants portant l'habituelle petite ponctuation apicale.

Longueur : 2,5 mm.; ♀ inconnue.

DISTRIBUTION GÉOGRAPHIQUE : Rwindi (alt. 1.000 m., 26.XI.1934); 1 exemplaire holotype ♂.

AFFINITÉS : Cette espèce se place, dans la clef de WILKINSON, avec l'espèce guyanaise *Ap. guyanensis* CAM., dont elle se différencie principalement par la sculpture du propodeum.

59. — *Apanteles lissopleurus* sp. n.

(Fig. 145-146.)

♂ : noir; scapes en partie, pattes I et II (hanches I parfois partiellement assombries), hanches (sauf parfois à la base), trochanters, trochantelles, fémurs et plus de la moitié basale des tibias des pattes III, bords latéraux membraneux des tergites I et II et sternites de la base, rouge testacé intense; propectus noir, parfois localement rougeâtre, tergite I rougeâtre plus ou moins fortement, mais toujours noir à l'apex; tarsi III brun rougeâtre; palpes et éperons des tibias, pâles; ailes légèrement enfumées, nervures brun pâle, stigma brun, oaque.

♂. *Tête* : face légèrement plus longue que large, proéminente médialement, brillante, à petite ponctuation (degré 1) mal définie et peu dense; clypéus non différencié de la face; ostioles faciales un peu plus près de l'apex du clypéus que des yeux; vertex et occiput virtuellement lisses; espace oculo-ocellaire un peu plus grand que la distance séparant les ocelles postérieurs; antennes plus longues que le corps; 1<sup>er</sup> article du flagellum environ trois fois plus long que large.

*Thorax* : mésonotum brillant, à petite ponctuation (degré 1), plus dense antérieurement, absente à la base; sillon préscutellaire droit, étroit et légèrement crénelé; disque du scutellum à faible convexité, lisse et brillant; pleures lisses et brillants, sutures non crénelées, cochléar étroit et profond; propodeum lisse et brillant, dépourvu de toute ponctuation ou carène sur le disque.

*Ailes* : nervation identique à celle de *Ap. propylae* DE S. (fig. 129).

*Pattes III* : hanches entièrement lisses et brillantes; fémurs brillants, très faiblement ponctués. Proportions : hanches, 17/32, fémurs, 10/38; tibias, 7/40; tarsi : I, 22; II, 9; III, 7; IV, 5; V, 6; le plus long éperon des tibias un peu plus de la moitié et le plus court les 2/5 de la longueur des métatarses (fig. 145 à comparer à la fig. 130).

*Abdomen* (fig. 146) : tergite I excavé à la base, faiblement courbé au quart apical, lisse et brillant, parfois faiblement rugueux latéralement à l'apex, sa longueur médiane un peu moins de 3 fois sa largeur apicale, 2,5 fois sa largeur basale et 1,5 fois sa largeur médiane (20 : 7 : 8 : 11), ses bords latéraux courtement divergents à la base, sont parallèles jusqu'au 1/3 apical et ensuite convergents jusqu'à l'apex émarginé; tergite II lisse et brillant, à sillons bien marqués, sa base arrondie dans l'échancrure apicale du I, sa longueur médiane un peu plus grande que la largeur apicale du I et près de la moitié de sa propre largeur apicale entre les sillons (8 : 7 : 15); tergite III, 1/4 plus long que le II, lisse et brillant, portant, comme les suivants, l'habituelle petite ponctuation.

Un spécimen originaire de Rutshuru présente les caractères de cette espèce, mais possède les hanches III noires dans la moitié basale et le ter-

gite I est entièrement noir. Les caractères plastiques étant assez analogues, je rapproche, néanmoins, cet exemplaire de la série présentant les détails décrits ci-dessus.

Longueur : 2,25 mm.; ♀ inconnue.

DISTRIBUTION GÉOGRAPHIQUE : Rwindi (alt. 1.000 m., 20-24.XI.1934), holotype ♂ et paratypes; Rutshuru (alt. 1.285 m., 1-6.VI.1935); 7 exemplaires.

AFFINITÉS : *Ap. lissopleurus* est extrêmement semblable à *Ap. propylae* DE S. dont il se différencie par une ponctuation beaucoup moins forte

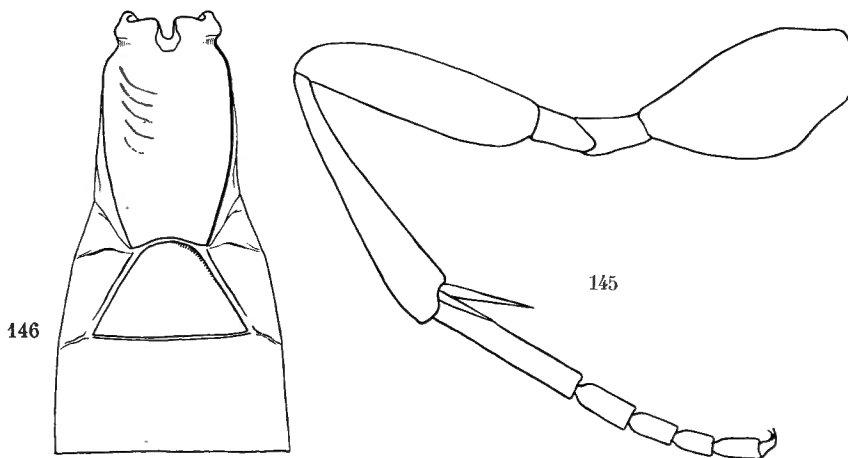


FIG. 145-146. — *Apanteles lissopleurus* sp. n. ♂.

FIG. 145. — Patte postérieure.

FIG. 146. — Détail des trois premiers tergites abdominaux.

sur le mésonotum, l'absence de toute ponctuation sur les pleures et de carène longitudinale médiane au propodeum, par la couleur sombre des propleures et la forme du tergite II. Dans la clef de WILKINSON, cette espèce se place en même temps que l'espèce mauritienne *Ap. belliger* WILKN., avec laquelle elle ne peut être confondue.

#### 60. — *Apanteles simus* sp. n.

(Fig. 147-151.)

♂ ♀ : noirs; palpes, pattes I, II et III (excepté apex des tibias et tarsi III qui sont brun roussâtre), tous les éperons des tibias, tegulae, sclérites axillaires, bords latéraux membraneux des tergites I et II ainsi que les sternites de la base, rouge testacé; scapes tendant parfois au rougeâtre ou partiellement rouge testacé, généralement noirs; ailes hyalines à très légèrement enfumées; stigma jaune, diaphane, à bords brun roussâtre comme la costale et les autres nervures, ces dernières plus claires, surtout vers la base de l'aile.

♂ ♀. *Tête* : face plus longue que large et plus étroite à la base qu'au sommet, proéminente médialement, brillante et à petite ponctuation mal définie;

clypéus différencié de la face; ostioles faciales paraissant plus près des yeux que de l'apex du clypéus; vertex lisse et brillant; occiput et tempes imperceptiblement ponctués; espace oculo-ocellaire un peu plus grand que la distance entre les ocelles postérieurs; antennes égales à la longueur du corps plus 2 fois la tête chez la ♀, égales à la longueur du corps plus 1 fois la tête et le thorax chez le ♂; 1<sup>er</sup> article du flagellum environ 3,5 fois plus long que large chez la ♀ (11 : 3), 3 fois chez le ♂ (12 : 4) (fig. 147 et 148).

*Thorax* : mésonotum brillant, à petite ponctuation (degré 2) superficielle et régulièrement placée, plus rare vers l'apex; sillon préscutellaire étroit, un peu arqué et plus ou moins distinctement crénelé; disque du scutellum à faible convexité, brillant et virtuellement lisse; mésopleures lisses et brillants; suture méso-métapleurale très petitement crénelée; métapleurales lisses

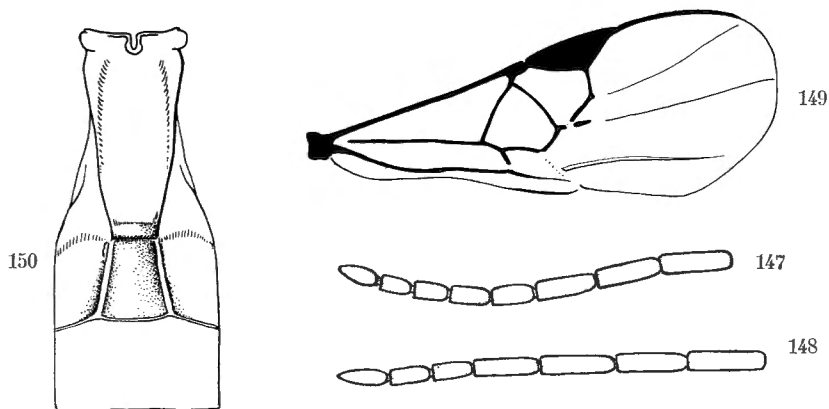


FIG. 147-150. — *Apanteles simus* sp. n.

FIG. 147. — Sommet de l'antenne ♀. FIG. 148. — Sommet de l'antenne ♂.

FIG. 149. — Détail de la nervation de l'aile antérieure.

FIG. 150. — Détail des trois premiers tergites abdominaux.

et brillants, à sillon médian superficiel et lisse; propodeum brillant, légèrement déprimé médialement, lisse et ne portant que quelques très fines soies dans la moitié basale où il est, parfois, faiblement ridé, marqué dans la moitié apicale d'un début d'aréole à carènes faibles, ramifiées à la base, souvent confondues de part et d'autre avec quelques fines carènes peu perceptibles.

*Ailes* : 1<sup>re</sup> abcisse de la radiale à peine plus courte que la largeur du stigma, égale ou à peine plus courte que la transverso-cubitale, formant avec celle-ci un angle bien marqué, ces nervures un peu renflées à leur point de jonction; partie apicale de la 1<sup>re</sup> abcisse de la cubitale 1,5 fois plus courte que la partie pigmentée de la 2<sup>e</sup> abcisse et la moitié de la longueur de la récurrente; stigma plus court que le métacarpe (fig. 149).

*Pattes III* : hanches lisses et brillantes, dépourvues de facette plane en dessus à la base; fémurs brillants, très finement ponctués et finement sétigères. Proportions : hanches, 14/28; fémurs, 11/40; tibias, 7/47; tarses : I, 25; II, 14; III, 9; IV, 7; V, 8; le plus long éperon des tibias  $2/5$  et le plus court  $1/4$  de la longueur des métatarses.

*Abdomen* (fig. 150) : tergite I excavé à la base, courbé un peu au delà du milieu, brillant, lisse dans les  $2/3$  basilaires, vaguement et faiblement sculpté dans le  $1/3$  apical où il porte quelques très petites soies, sa longueur médiane 4,5 fois sa largeur apicale et 2 fois sa largeur basale (18 : 4 : 9), ses bords latéraux convergents presque en ligne droite de la base à l'apex tronqué; tergite II marqué de deux étroits sillons discaux faiblement diver-

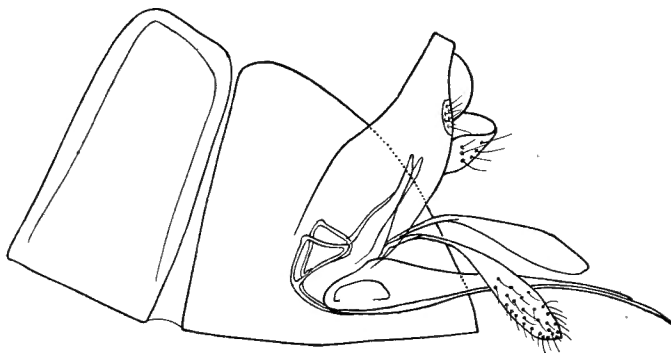


FIG. 151. — *Apanteles simus* sp. n. ♀, hypopygium et genitalia, vus de profil.

gents, parfois légèrement excurvés, délimitant une aire médiane convexe, lisse et brillante, portant une rangée de petites soies vers l'apex; longueur médiane du tergite II, 1,75 fois plus longue que la largeur apicale du I, égale ou un peu plus courte que celle du III (7 : 4 : 7-8); 2° suture mince, droite ou faiblement courbée au milieu, oblique latéralement; tergites III et suivants, brillants, à petite ponctuation habituelle; hypopygium aigu, un peu saillant; valves de la tarière environ égales aux  $2/3$  de la longueur des métatarses (fig. 151).

Longueur : 2,5 mm.

DISTRIBUTION GÉOGRAPHIQUE : Tshamugussa, Bweza, forêt de Bambous (alt. 2.250 m., 10.VIII.1934), holotype ♀, allotype ♂, paratypes ♀♀; Kundhuru ya Tshuve, col Gahinga-Sabinyo, Ruanda, forêt de Bambous (alt. 2.600 m., 15.IX.1934); mont Tamira, près du lac Gando, Ruanda (alt. 2.600 m., 11.III.1935); vers Rweru, volcan Mikeno, forêt de Bambous (alt. 2.400 m., 26-27.VII.1934); Nyakibumba, près de Kikere (alt. 2.250 m., 5.VII.1934); 27 exemplaires : 7 ♂♂, 22 ♀♀.

## VARIATIONS :

a) **Apanteles simus moko** ab. n.

Base des hanches III noire sur une plus ou moins grande étendue.

DISTRIBUTION GÉOGRAPHIQUE : Tshamugussa, Bweza, forêt de Bambous (alt. 2.250 m., 10.VIII.1934); mont Tamira, près du lac Gando, Ruanda (alt. 2.600 m., 11.III.1935); Kundhuru ya Tshuve, col Gahinga-Sabinyo, Ruanda, forêt de Bambous (alt. 2.600 m., 18.IX.1934); vers Rweru, volcan Mikeno, forêt de Bambous (alt. 2.400 m., 3.VII et 26-27.VII.1934); Nyakibumba (alt. 2.250 m., 5.VII.1934); mont Sesero, près de Bitashimwa, forêt de Bambous (alt. 2.000 m., 1-2.VIII.1934); sommet du volcan Visoke (alt. 3.711 m., 15.II.1935), 1 ♂; 32 exemplaires : 29 ♂♂, 3 ♀♀.

b) **Apanteles simus mibale** ab. n.

Hanches III entièrement ou presque entièrement noires, stigma et nervures souvent plus sombres.

DISTRIBUTION GÉOGRAPHIQUE : Tshamugussa, Bweza, forêt de Bambous (alt. 2.250 m., 10.VIII.1934); mont Tamira, près du lac Gando, Ruanda (alt. 2.600 m., 11.III.1935); Kundhuru ya Tshuve, col Gahinga-Sabinyo, Ruanda, forêt de Bambous (alt. 2.600 m., 18.IX.1934); vers Rweru, volcan Mikeno, forêt de Bambous (alt. 2.400 m., 26-27.VII.1934); Nyakibumba, près de Kikere (alt. 2.250 m., 5.VII.1934); Ilega, volcan Karisimbi, Ruanda (alt. 2.400 m., 12.III.1935); Ruhengeri, rivière Penge, Ruanda (alt. 1.800-1.825 m., 30-31.VIII.1934); 20 exemplaires : 18 ♂♂, 2 ♀♀.

c) **Apanteles simus misatu** ab. n.

Stigma sombre, subopaque; hanches III rouge testacé, tibias III un peu plus fortement enfumés que chez l'espèce.

DISTRIBUTION GÉOGRAPHIQUE : Rutshuru, rivière Fuku (alt. 1.250 m., 5.VII.1935); Rutshuru (alt. 1.285 m., 1-6.VI.1935); Nyongera, près de Rutshuru (alt. 1.218 m., 18.VII.1935); escarpement de Kabasha (alt. 1.500 m., 12.XII.1934); 4 exemplaires ♀♀.

d) **Apanteles simus mine** ab. n.

Stigma sombre, subopaque, hanches III noires à la base, tibias comme l'aberration précédente; peut-être le ♂ de celle-ci.

DISTRIBUTION GÉOGRAPHIQUE : Escarpement de Kabasha (alt. 1.500 m., 12.XII.1934); Rutshuru (alt. 1.285 m., VII.1935); Rutshuru, riv. Lubirizi (alt. 1.285 m., 13.VII.1935); Burunga, Mokoto (alt. 2.000 m., 9-20.III.1934); 4 exemplaires ♂♂.

e) *Apanteles simus mitanu* ab. n.

Stigma sombre, subopaque, hanches III noires entièrement.

DISTRIBUTION GÉOGRAPHIQUE : Rutshuru (alt. 1.285 m., 7.VI.1935); Rutshuru, riv. Fuku (alt. 1.250 m., 5.VII.1935); Rutshuru, riv. Lubirizi (alt. 1.285 m., 13.VII.1935); Nyongera, près de Rutshuru (alt. 1.218 m., 18.VII.1935); Mayumbu, volcan Nyamuragira (alt. 2.100 m., 14-26.VI.1935); mont Sesero, près de Bitashimwa, forêt de Bambous (alt. 2.000 m., 1-2.VIII.1934); Tshamugussa, Bweza, forêt de Bambous (alt. 2.250 m., 10.VIII.1934); Gitebe, volcan Nyamuragira (alt. 2.324 m., 14-26.VI.1935); Kalondo, lac Ndaraga, Mokoto (alt. 1.750 m., 22-27.III.1934); 15 exemplaires ♂♂.

Total : 94 exemplaires : 72 ♂♂, 22 ♀♀.

OBSERVATIONS : Cette espèce semble assez stable quant aux caractères plastiques, les variations chromatiques enregistrées ne justifient pas, à mon avis, une séparation, car on trouve toutes les transitions entre le rouge testacé et le noir pour les hanches postérieures, le jaune diaphane et le brun opaque pour le stigma. Toutefois, pour cette dernière pièce, la différence paraît être en relation avec l'altitude; les spécimens à stigma diaphane semblent propres aux stations élevées, celles à stigma opaque ou subopaque, aux stations inférieures à 2.000 m. Cependant, quelques exemplaires provenant de stations au-dessus de cette altitude, présentent ce caractère, mais c'est une exception; tandis que dans les stations inférieures, aucun spécimen ne possède le stigma diaphane.

On peut donc considérer que ces caractères se présentent, chez *Ap. simus*, comme suit :

*Ailes* : stigma jaunâtre et discalement hyalin à brun et opaque.

*Pattes* : hanches III, rouge testacé à noir rougeâtre entièrement ou partiellement.

Il est à remarquer que la plupart des stations élevées (étage subalpin), où cette espèce fut capturée, se trouvent situées au sous-étage des Bambous.

Cette espèce présente une inhabituelle combinaison de caractères et devrait, en réalité, figurer dans le groupe M. Cependant, la carénation du propodeum paraissant assez variable et étant, parfois, peu distincte, j'ai estimé que la forme du 1<sup>er</sup> tergite, les sillons du 2<sup>e</sup> et surtout l'insertion des valves de la tarière à la base des « plaques oblongues » justifient suffisamment sa présence dans le groupe A.

61. — *Apanteles venustus* sp. n.

(Fig. 152-153.)

♂♀ : noirs; pattes I et II (excepté les hanches), farses II (légèrement enfumés vers l'apex), trochanters, trochantelles, fémurs (sauf une légère enfumure à l'apex de ces derniers) et environ le tiers basal des tibias des pattes III, noir brunâtre; sternites de la base, parfois les bords latéraux du

tergite III et nervure costale à la base, rouge testacé; tibias III ailleurs et tarsi III, bruns; bords latéraux membraneux des tergites I et II, rouge testacé à rouge foncé; palpes et éperons des tibias III, pâles; ailes hyalines, légèrement laiteuses; stigma opaque, brun, ainsi que le métacarpe, la 1<sup>re</sup> abcisse de la radiale, la transverso-cubitale et la partie pigmentée de la 2<sup>e</sup> abcisse de la cubitale, les autres nervures pâles à décolorées; toutes les parties noires du corps sont satinées, excepté les parties lisses des axillae, les segments apicaux de l'abdomen et la base du tergite I; chez le ♂, la face, le mésonotum et le disque du scutellum sont satinés, les autres parties brillantes.

♂ ♀. *Tête* : face un peu plus large que haute, légèrement proéminente médialement à la partie supérieure, satinée, à très petite ponctuation peu dense; clypéus à peine différencié de la face; ostioles faciales plus près de l'apex du clypéus que des yeux; vertex et occiput imperceptiblement ponctués; espace oculo-ocellaire un peu plus grand que la distance séparant les ocelles postérieurs; antennes normales, un peu plus longues que le corps.

*Thorax* : mésonotum imperceptiblement et assez densément ponctué; sillon préscutellaire droit, à peu près lisse; disque du scutellum un peu plus long que sa largeur basale, sans ponctuation, mais fortement satiné; partie antérieure des axillae à peine sculptée, marquée d'un large sillon lisse et brillant le long du bord antérieur; mésopleures faiblement ponctués antérieurement, lisses ailleurs; cochléar faiblement déprimé; métapleures lisses; propodeum lisse, imponctué, ne portant que quelques soies latéralement à la base.

*Ailes* : 1<sup>re</sup> abcisse de la radiale et transverso-cubitale faiblement incurvées, leur point de jonction à peine discernable, la première un peu plus courte que la largeur du stigma et légèrement plus longue que la deuxième; partie

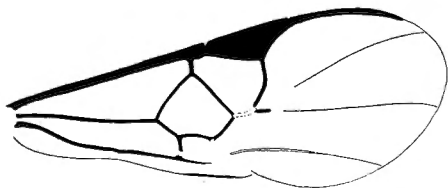


FIG. 152. — *Apanteles venustus* sp. n.,  
détail de la nervation de l'aile antérieure.

pigmentée de la 2<sup>e</sup> abcisse de la cubitale égale au sommet de la basale; récurrente double de la longueur de la partie apicale de la 1<sup>re</sup> abcisse de la cubitale; stigma plus court que le métacarpe (fig. 152).

*Pattes III* : hanches entièrement lisses, sauf à la partie inférieure; fémurs petitement ponctués. Proportions : hanches, 16/30; fémurs, 11/39; tibias, 8/45; tarsi : I, 22; II, 11; III, 9; IV, 7; V, 7; le plus long éperon des tibias 2/3 et le plus court un peu moins de la moitié, de la longueur des métatarses.

*Abdomen* (fig. 133) : tergite I lisse, brillant et excavé dans les 2/3 basilaire qui sont à angle droit avec le tergum, satiné et virtuellement sans sculpture dans le 1/3 apical, difficilement s'y aperçoivent quelques vagues pointillés, sa longueur médiane 4 fois sa largeur apicale et 2 fois sa largeur basale (20 : 5 : 10), ses bords latéraux parallèles dans les 2/3 basilaire, convergent ensuite vers l'apex tronqué; tergite II imponctué, ses sillons discaux bien marqués et droits, divergents vers l'apex où ils atteignent distinctement la 2<sup>e</sup> suture, sa longueur médiane 1,6 fois la largeur apicale du I et les 2/3 de

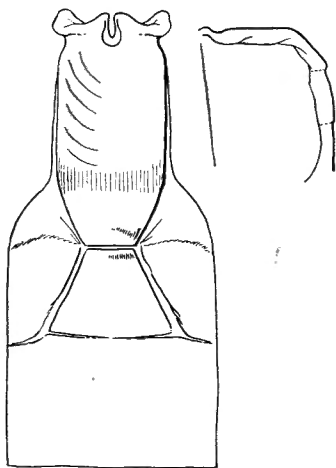


FIG. 153. — *Apanteles venustus* sp. n.,  
détail des trois premiers tergites abdominaux.

celle du III (8 : 5 : 12), 2<sup>e</sup> suture à peu près droite, mieux marquée latéralement qu'au milieu; tergite III ordinairement un peu proéminent médialement à la base, à ponctuation petite comme sur les tergites suivants; hypopygium aigu, dépassant un peu l'extrémité de l'abdomen; valves de la tarière à peine exsertes.

Longueur : ♂, 2,2 mm.; ♀, 2,5 mm.

DISTRIBUTION GÉOGRAPHIQUE : Ruhengeri, riv. Penge, Ruanda (alt. 1.800-1.825 m., 30-31.VIII.1934), holotype ♀; Ruhengeri, sources Kirii, Ruanda (alt. 1.800-1.825 m., 31.VIII.1934), allotype ♂; Rutshuru (alt. 1.285 m., VII.1935); Kinyamahura, Djomba (alt. 1.800 m., 23.VII.1934); 4 exemplaires : 2 ♂♂, 2 ♀♀.

AFFINITÉS : *Ap. venustus* se place, dans la clef de WILKINSON, avec l'espèce hindoue *Ap. colemani* VIER., mais en diffère par l'apparence légèrement laiteuse des ailes, l'absence de ponctuation sur le propodeum et le 1<sup>er</sup> tergite abdominal, ainsi que par la coloration des tibias et tarses postérieurs, les sillons du 2<sup>e</sup> tergite sont également moins divergents.

62. — *Apanteles eutelus* DE SAEGER.

*Apanteles eutelus* DE SAEGER, Rev. Zool. Bot. Afr., XXXV, 1941, p. 265, ♂ ♀.

DISTRIBUTION GÉOGRAPHIQUE : Congo Belge : Nyangwe (Lomami); Stanleyville; Elisabethville (Katanga); Adian (Ituri); Mulungu (Kivu); Butembo (Kivu); collection DE WITTE : Rutshuru (alt. 1.285 m., 29-31.V.1935); Rutshuru, riv. Kanzarue (alt. 1.200 m., 15.VII.1935); Ruhengeri, sources Kirii, Ruanda (alt. 1.800-1.825 m., 31.VIII.1934); Rwindi (alt. 1.000 m., 20-24.XI.1934); Kashwa, entre Ngesho et Bishakishaki (alt. 2.000 m., 7-23.I.1935); 6 exemplaires : 4 ♂♂, 2 ♀♀.

*Hôte* : Les spécimens de Stanleyville sont accompagnés de la dépouille d'une chenille de Lasiocampide portant les cocons. Les exemplaires originaires de Mulungu portent la mention « sur caféier ».

*Cocons* : petits, blancs, dressés sur la face dorsale de la chenille-hôte.

a) *Apanteles eutelus lacteipennis* ab. n.

♂ : présentant tous les caractères de *Ap. eutelus*, mais les ailes ont une apparence laiteuse, toutes les nervures sont incolores, sauf la 1<sup>re</sup> abcisse de la radiale, la transverso-cubitale, la partie apicale de la 1<sup>re</sup> abcisse de la cubitale et la partie habituellement pigmentée de la 2<sup>e</sup> abcisse; stigma brun, opaque; les sillons du 2<sup>e</sup> tergite abdominal sont plus rapprochés à la base et n'atteignent pas tout à fait la 2<sup>e</sup> suture.

DISTRIBUTION GÉOGRAPHIQUE : Ruhengeri, sources Kirii, Ruanda (alt. 1.800-1.825 m., 31.VIII.1934); 1 exemplaire ♂.

63. — *Apanteles gowdeyi* GAHAN.

*Apanteles gowdeyi* GAHAN, Proc. U. S. Nat. Mus., LIV, 1918 (1919), p. 589, ♂ ♀; WILKINSON, Trans. Ent. Soc. Lond., LXXX, 1932, p. 304; DE SAEGER, Rev. Zool. Bot. Afr., XXXIV, 1941, p. 330.

DISTRIBUTION GÉOGRAPHIQUE : Uganda; collection DE WITTE : Kalondo, lac Ndaraga, Mokoto (alt. 1.750 m., 22-27.III.1934); 1 exemplaire ♂.

*Hôte* : à Mutolere (Uganda), l'entomologiste GHESQUIÈRE a obtenu un exemplaire de cet *Apanteles* du cocon d'un Ichneumonide (*Charops* sp.).

*Cocon*, inconnu.

64. — *Apanteles spilosomae* DE SAEGER.

*Apanteles spilosomae* DE SAEGER, Rev. Zool. Bot. Afr., XXXIV, 1941, p. 328, ♂ ♀.

DISTRIBUTION GÉOGRAPHIQUE : Angola : Loanda; collection DE WITTE :

Rutshuru, riv. Rodahira (alt. 1.200 m., 1.VII.1935); Rutshuru (alt. 1.285 m., 2 et 11.VII.1935); Ngesho (alt. 2.000 m., 3-6.IV.1934); Sake, lac Kivu (alt. 1.460 m., 19-22.II.1934); Rwindi (alt. 1.000 m., 22-24.XI.1934); 6 exemplaires : 3 ♂♂, 3 ♀♀.

*Hôte* : parasite de *Spilosoma maculosa* STALB. (Arctiidae) sur *Ficus* sp. en Angola.

*Cocons* : blancs, un peu transparents.

65. — **Apanteles gahinga** sp. n.

(Fig. 154-159.)

♂♀ : noirs; pattes I, II et III, allant du rouge testacé au brunâtre, excepté les parties suivantes : hanches I rouge testacé, en partie noirâtres, tibias et tarses II plus foncés; hanches II noires avec tendance au rougeâtre, trochanters II parfois, tibias et tarses II plus foncés; hanches III entière-

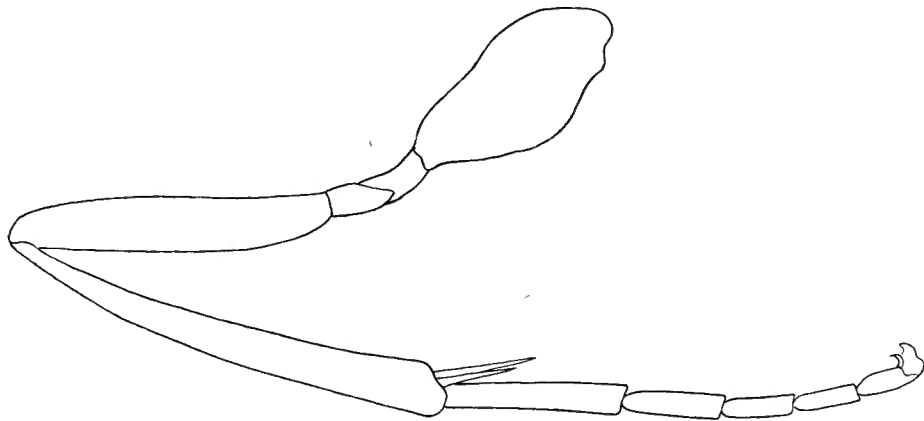


FIG. 154. — *Apanteles gahinga* sp. n., patte postérieure.

ment noires, trochanters, arête supérieure des fémurs, noirâtres, 1/2 à 1/3 apical des tibias et tarses entièrement des pattes III, noir brunâtre, ces colorations sont assez mal définissables, n'étant pas franchement délimitées et d'intensité un peu variable, les fémurs III, en tout cas, peuvent être considérés comme sombres; tegulae, éperons des tibias I, sternites abdominaux près de la base, rouge testacé; palpes brunâtres; éperons des tibias II et III, pâles; ailes hyalines; stigma diaphane, brun comme les nervures; la coloration des pattes est plus sombre chez le ♂.

♂♀. *Tête* : face un peu plus longue que large, portant une proéminence tuberculiforme un peu en dessous des torules, à ponctuation très petite, de densité moyenne; clypéus non différencié de la face, légèrement surélevé; ostioles faciales plus près de l'apex du clypéus que des yeux; espace oculomalaire environ égal à la largeur basale des mandibules; vertex brillant,

imperceptiblement ponctué, virtuellement lisse; occiput ponctué comme la face, mais plus distinctement; espace oculo-ocellaire égal ou un peu plus grand que la distance séparant les ocelles postérieurs; antennes normales, environ de la longueur du corps; 1<sup>er</sup> article du flagellum un peu moins de 4 fois plus long que large chez la ♀ (15 : 4), 3 fois chez le ♂ (15 : 5); articles préapicaux à peu près 2,5 fois plus longs que larges (fig. 155 et 156).

*Thorax* : mésonotum brillant à très petite ponctuation dense et sétigère, presque rugueuse antérieurement le long des lignes des notaulices, partie basale légèrement déprimée; sillon présutellaire un peu arqué, étroit et

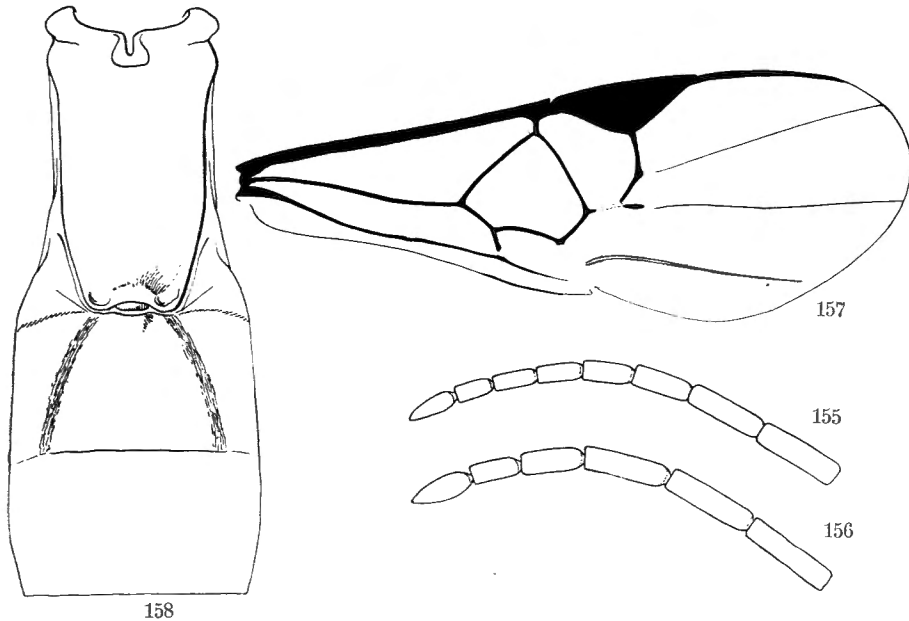


FIG. 155-158. — *Apanteles gahinga* sp. n.

FIG. 155. — Sommet de l'antenne ♀. FIG. 156. — Sommet de l'antenne ♂.

FIG. 157. — Détail de la nervation de l'aile antérieure.

FIG. 158. — Détail des trois premiers tergites abdominaux.

faiblement crénelé; disque du scutellum très convexe au milieu à la base, près de 1/3 plus long que sa largeur basale, brillant, lisse discalement, à petite ponctuation superficielle latéralement et à l'apex; partie lisse des axillae, largement arrondie au milieu, partie antérieure faiblement crénelée le long du disque du scutellum, lisse ailleurs, marqué d'un large sillon lisse antérieurement, se terminant par une excavation circulaire dans l'angle externe; mésopleures lisses et brillants, excepté une ponctuation bien marquée (degré 2) antérieurement, finement rugueux dans la moitié postérieure, à sillon lisse; propodeum brillant et presque lisse discalement dans la moitié basale, marqué de pointillés (degré 4) longuement sétigères,

bien séparés, accompagnés dans la moitié apicale par une fine sculpture donnant au tégument un aspect rugueux, à l'exception de deux petites aires lisses et brillantes, parfois très limitées, situées près des bords apicaux; le propodeum est plus ou moins fortement déprimé au milieu dans la moitié apicale; il présente un aspect mat, ordinairement plus accusé chez le ♂.

*Ailes* : largeur du stigma  $1/3$  plus longue que la 1<sup>re</sup> abcisce de la radiale, celle-ci formant un angle distinct avec la transverso-cubitale à peine plus longue, ces deux nervures épaissies à leur point de jonction; partie apicale de la 1<sup>re</sup> abcisce de la cubitale, punctiforme, légèrement plus courte que la transverso-cubitale et égale aux  $5/6$  de la longueur de la récurrente; stigma de longueur égale au métacarpe (fig. 157).

*Pattes III* : longues et grêles; hanches brillantes, à petite ponctuation à peu près semblable à celle de l'occiput et dépourvue de l'habituelle facette plane en dessus à la base; fémurs à petite ponctuation dense et régulière.

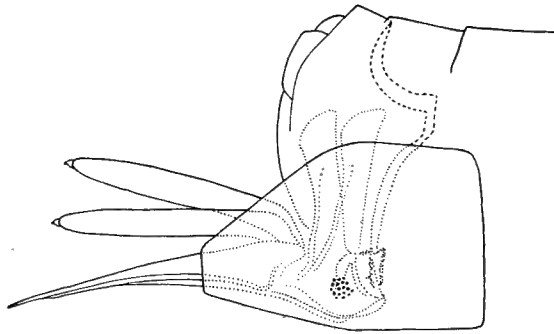


FIG. 159. — *Apanteles gahinga* sp. n.,  
hypopygium et genitalia, vus de profil.

Proportions : hanches, 18/36; fémurs, 10/50; tibias, 8/60; tarse : I, 28; II, 14; III, 10; IV, 9; V, 10; éperons des tibias subgaux, le plus long égal à la  $1/2$  de la longueur des métatarses (fig. 154).

*Abdomen* (fig. 158) : longueur médiane du tergite I, 2,66 fois sa largeur apicale, pas tout à fait 2 fois sa largeur basale et 2 fois sa largeur médiane (24 : 9 : 13 : 12), ses bords latéraux, évasés près de la base, sont parallèles jusqu'au  $1/3$  apical, ensuite convergents jusqu'à l'apex, celui-ci fortement émarginé, à angles arrondis; un peu excavé à la base, ce tergite est régulièrement convexe jusqu'à l'apex et faiblement courbé, à tégument assez mat, finement chagriné médialement, ponctué et ruguleux latéralement et dans le tiers apical, ponctuation assez confuse, mais distincte; longueur médiane du tergite II, environ 1,4 fois la largeur apicale du I et égale à celle du III, les sillons discaux marqués par une rugosité fine et dense partant des angles apicaux du tergite I et atteignant la 2<sup>e</sup> suture, l'aire médiane entre les

sillons finement ruguleuse, plus lisse discalement, ponctuée dans le tiers apical où le tégument est à peu près sculpté comme le tiers apical du I, la rugosité des sillons s'étendant plus ou moins fortement sur les aires latérales; 2<sup>e</sup> suture droite et bien marquée; tergite III légèrement satiné latéralement, lisse et imponctué médialement, portant une petite ponctuation légèrement rugueuse et peu dense à la base, devenant progressivement plus fine vers l'apex; tergites suivants lisses et brillants, portant l'habituelle petite ponctuation; hypopygium grand, à apex tronqué; valves de la tarière peu exsertes (fig. 159).

Longueur : 3,7 mm.

DISTRIBUTION GÉOGRAPHIQUE : Sommet du volcan Gahinga, Ruanda (alt. 3.475 m., 19.IV.1934); 10 exemplaires : 7 ♂♂, 3 ♀♀.

AFFINITÉS : Cette espèce se place, dans la clef de WILKINSON, en même temps que l'espèce javanaise *Ap. taylori* WILKN., qui semble localisée à une altitude de 2.000 à 5.000 pieds. Elle en diffère par de nombreux caractères. *Ap. gahinga* n'est pas sans présenter une certaine analogie avec *Ap. nigerimus* ROMAN, mais la forme des antennes et les proportions des tergites abdominaux sont très différentes.

#### 66. — *Apanteles melissus* sp. n.

(Fig. 160.)

Semblable à *Ap. gahinga*, en diffère par les caractères suivants :

♂ : palpes rouge testacé distalement; hanches I et II à plus forte tendance au rouge testacé; fémurs et tibias III, plus clairs, les premiers cependant plus sombres que la partie basale des tibias; stigma brun, presque opaque; partie apicale de la 1<sup>re</sup> abcisse de la cubitale pigmentée. Propodeum mat, finement rugueux, à ponctuation longuement sétigère; hanches III portant une facette plane en dessus à la base, mates, fortement rugose-ponctuées, la ponctuation plus visible et plus rugueuse que sur le propodeum; tergite I légèrement courbé vers le milieu, excavé à la base et un peu proéminent au milieu, près de 3 fois plus long que sa largeur apicale et 2 fois sa largeur basale (22 : 8 : 11), ses bords latéraux faiblement convergents de la base à l'apex, ce dernier à peine émarginé, à angles non arrondis, tégument assez mat, à petite sculpture secondaire et fortement ponctué latéralement et dans le tiers apical, dans cette partie les pointillés sont contigus et presque alvéolariformes, l'ensemble présentant un aspect rugueux; longueur médiane du tergite II égale à la largeur apicale du I et 1,75 fois plus courte que sa largeur apicale entre les sillons (8 : 8 : 14), ces derniers droits, larges, bien marqués, atteignant la 2<sup>e</sup> suture, l'aire médiane assez convexe, finement rugueuse latéralement et ponctuée à peu près comme l'apex du I dans le tiers apical; 2<sup>e</sup> suture droite, mince mais bien marquée; tergite III, 1,37 fois plus long que le II, brillant à légèrement

satiné, entièrement ponctué comme la base du tergite III chez *Ap. gahinga*, mais moins fortement et à pointillés plus espacés (fig. 160).

Longueur : 3,2 mm.; ♀, inconnue.

DISTRIBUTION GÉOGRAPHIQUE : Nyabirehe, volcan Karisimbi, Ruanda (alt. 2.000 m., 22.III.1935), holotype ♂, 1 paratype; mont Tamira, près du lac Gando, Ruanda (alt. 2.600 m., 11.III.1935); Rutshuru (alt. 1.285 m., 11.VII.1935); 4 exemplaires.

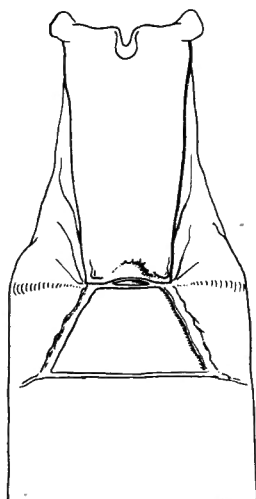


FIG. 160. — *Apanteles melissus* sp. n. ♂, détail des trois premiers tergites abdominaux.

67. — ***Apanteles argus*** sp. n.

(Fig. 161-162.)

Espèce remarquablement semblable à *Ap. intricatus* (v. n° 71), dont elle se différencie par les caractères suivants :

♂ : antennes un peu plus longues, à articles plus allongés (fig. 161); ponctuation du mésonotum un peu plus fine surtout à la base où elle est également plus rare; disque du scutellum lisse au milieu, très finement ponctué latéralement; dépression médiane du propodeum un peu plus forte; 1<sup>re</sup> abcisse de la radiale et transverso-cubitale formant un angle moins accusé entre elles; hanches III, vues de dessus, étroites, dépourvues de l'habituelle facette plane dans la partie basale à la face supérieure, régulièrement arrondies et petitement ponctuées entièrement; proportions des pattes III : hanches, 16/32; fémurs, 10/48; tibias, 7/56; tarses : I, 28; II, 14; III, 11; IV, 8; V, 9; tergite I étroit à l'apex, sa longueur médiane 3,66 fois sa largeur apicale et 2,44 fois sa largeur basale (22 : 6 : 9), ses bords latéraux convergents en ligne droite jusqu'à l'apex; tégument marqué de quel-

ques petits pointillés dans le tiers apical, lisse près de l'apex; tergite II un peu plus de 2 fois la largeur apicale du I et presque égal à sa propre largeur apicale entre les sillons (13 : 6 : 12), les sillons discaux sont, par suite, moins divergents que chez *Ap. intricatus*, à tégument moins striolé et petitement ponctué dans la moitié apicale; tergite III de longueur égale au II.

La ♀, rattachée à cette série par la conformation des hanches, est un peu différente : l'angle formé par la 1<sup>re</sup> abcisse de la radiale et la transverso-cubitale est presque nul, ces nervures étant plus régulièrement incurvées:

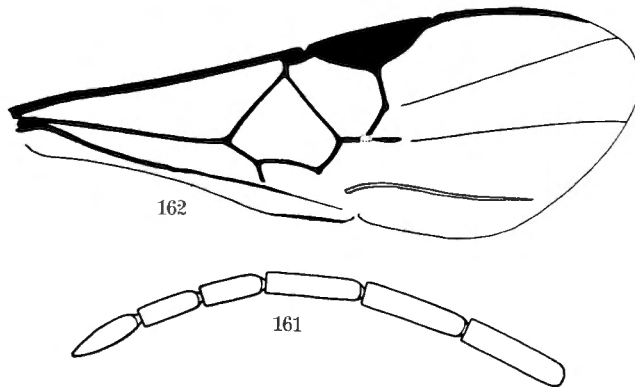


FIG. 161-162. — *Apanteles argus* sp. n. ♂.

FIG. 161. — Sommet de l'antenne.

FIG. 162. — Détail de la nervation de l'aile antérieure.

tergites I et II de proportions semblables à celles des tergites correspondants de *Ap. intricatus*, les sillons discaux du tergite II assez confondus avec la sculpture.

Longueur : 3,2 mm.

DISTRIBUTION GÉOGRAPHIQUE : volcan Karisimbi, riv. Bikwi, Ruanda (alt. 3.100 m., 27-28.II.1935), holotype ♂, paratypes ♂ ♀, 1 ♀; volcan Visoke (alt. 2.800-3.300 m., 13-14.II.1935); vallée Rwebeya, volcan Sabinyo, Ruanda (alt. 2.300 m., 11.II.1935); Nyasheke, volcan Nyamuragira (alt. 1.820 m., 14-26.VI.1935); Tshamugussa, Bweza (alt. 2.400 m., 11.II.1935); 16 exemplaires : 15 ♂♂, 1 ♀.

AFFINITÉS : *Ap. argus* et *Ap. gahinga* présentent de nombreux caractères communs, mais ce dernier offre une matité très caractéristique du propodeum et des deux premiers tergites abdominaux, ainsi qu'une autre conformation de ces derniers.

#### 68. — *Apanteles amenophis* sp. n.

(Fig. 163-165.)

♂ ♀ : noirs; pattes I et II (tarses un peu enfumés), extrême apex des hanches en dessous, fémurs (sauf l'apex en dessous) et 2/3 basiliaires des

tibias (sauf l'extrême base) des pattes III, palpes et tegulae, rouge testacé; fémurs et tibias III ailleurs, noir brunâtre; tarsi III, brun rougeâtre à noir brunâtre; coloration des pattes chez le ♂, plus irrégulière, en général plus sombre, l'enfumure apicale des fémurs III s'étendant plus ou moins fortement sur la face supérieure, tibias III paraissant, parfois, entièrement sombres; éperons des tibias rouges, flagellum brun foncé; bords latéraux membraneux des tergites I et II, jaune testacé à rougeâtre sombre; ailes très légèrement enfumées entièrement; nervures et stigma bruns.

*Tête* : face un peu plus longue que large, un peu plus étroite à la base qu'au sommet, légèrement satinée et à petite ponctuation sétigère; clypéus

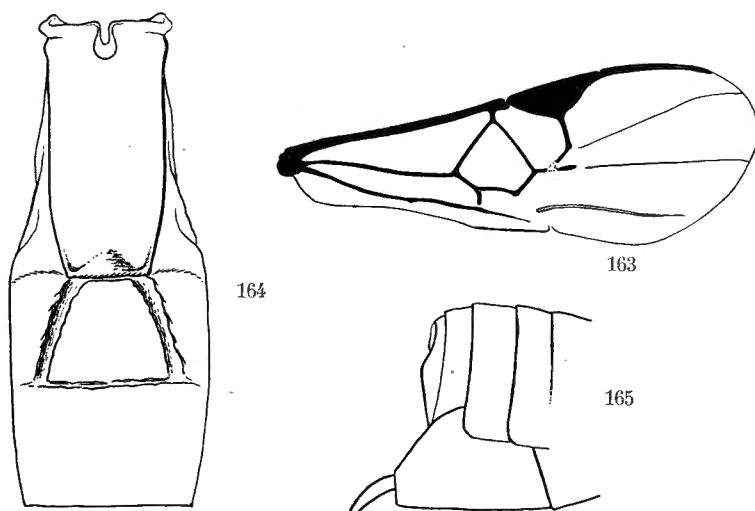


FIG. 163-165. — *Apanteles amenophis* sp. n.

FIG. 163. — Détail de la nervation de l'aile antérieure.

FIG. 164. — Détail des trois premiers tergites abdominaux.

FIG. 165. — Apex de l'abdomen.

faiblement différencié de la face; ostioles faciales plus près de l'apex du clypéus que des yeux; vertex lisse et brillant; occiput à très petite ponctuation; espace oculo-ocellaire plus grand que la distance séparant les ocelles postérieurs; antennes plus longues que le corps; 1<sup>er</sup> article du flagellum environ 4 fois plus long que large chez la ♀ (12 : 3), 3 fois chez le ♂ (12 : 4).

*Thorax* : mésonotum assez mat antérieurement, brillant ailleurs, à forte ponctuation (au moins degré 4), dense, profonde et bien marquée, les pointillés séparés par une distance plus petite que leur propre diamètre, le mésonotum porte ordinairement, au milieu et près de la base, une petite surface longitudinale un peu surélevée et souvent plus lisse; sillon préscutellaire droit ou faiblement arqué, irrégulièrement et peu distinctement crénelé, portant, parfois, une échancrure médiane au bord antérieur;

disque du scutellum brillant, à ponctuation éparses et très superficielle; faiblement convexe, environ aussi long que sa largeur basale, à apex plus ou moins distinctement déprimé; partie antérieure des axillae striée; méso-pleures ponctués antérieurement, lisses ailleurs, cochléar fortement déprimé; suture méso-métapleurale finement et petitement crénelée; métapleures lisses sauf près du bord coxal, à sillon médian lisse; propodeum mat et rugueux, excepté une étroite bande brillante à l'extrême bord basal, de part et d'autre d'une très petite protubérance médiane également rugueuse, et dans les angles latéro-postérieurs, où il est brillant et un peu rugueux .

*Ailes* : 1<sup>re</sup> abcisse de la radiale un peu plus courte que la largeur du stigma et 1,4 fois plus longue que la transverso-cubitale, ces nervures formant, entre elles, un angle bien marqué; partie apicale de la 1<sup>re</sup> abcisse de la cubitale et partie pigmentée de la 2<sup>e</sup> abcisse égales, 1,25 fois plus courtes que la récurrente; sommet de la basale très court; stigma un peu plus court que le métacarpe (fig. 163).

*Pattes III* : hanches rugoso-ponctuées, plus faiblement sur la face externe qu'à la face supérieure, ou à grosse ponctuation bien séparée; fémurs petitement ponctués. Proportions : hanches, 17/30; fémurs, 10/38; tibias, 8/46; tarsi : I, 20; II, 10; III, 8; IV, 6; V, 8; le plus long éperon des tibias la 1/2 et le plus court les 2/5 de la longueur des métatarses, onychiums bien développés.

*Abdomen* (fig. 164) : tergite I entièrement rugueux et mat, légèrement excavé près de la base, proéminent dans les 2/3 apicaux et portant un petit tubercule médian à l'apex, sa longueur médiane 3 fois sa largeur apicale et 2,2 fois sa largeur basale (22 : 7 : 10), ses bords latéraux parallèles jusqu'au 1/3 apical, ensuite convergents vers l'apex tronqué; tergite II, rugueux comme le I, à sillons discaux larges, irréguliers, droits ou faiblement courbés jusqu'à la 2<sup>e</sup> suture et assez confondus avec la rugosité du tégument, sa longueur médiane un peu plus longue que la largeur apicale du I et un peu plus courte que celle du III (9 : 7 : 11); 2<sup>e</sup> suture droite, irrégulière, bien marquée; tergites III et suivants brillants, lisses et portant l'habituelle petite ponctuation; hypopygium court, à apex tronqué; valves de la tarière peu exsertes (fig. 165).

Longueur : 2,5 mm.

DISTRIBUTION GÉOGRAPHIQUE : Nyarusambo (alt. 2.000 m., 2.VII.1934), holotype ♀ et paratypes; Kalondo, lac Ndaraga, Mokoto (alt. 1.750 m., 22-27.III.1934), allotype ♂ et paratypes; Mushumangabo, volcan Nyamuragira (alt. 2.075 m., 14-26.VI.1935); vers Rweru, volcan Mikeno, forêt de Bambous (alt. 2.400 m., 3 et 6.VII.1934); Burunga, Mokoto (alt. 2.000 m., 17-19.III.1934); Ngesho (alt. 2.000 m., 3-6.IV.1934); vers le mont Kamatembe (alt. vers 2.300 m., 7-23.I.1935); 16 exemplaires : 13 ♂♂, 3 ♀♀.

AFFINITÉS : *Ap. amenophis* se place, dans la clef de WILKINSON, en même temps que l'espèce paléarctique *Ap. parallelus* LYLE dont elle se sépare par la rugosité des hanches et des tergites I et II, ainsi que par l'apex du tergite I nettement tronqué, pas arrondi comme chez cette espèce.

69. — **Apanteles nkuli** DE SAEGER.

*Apanteles nkuli* DE SAEGER, Rev. Zool. Bot. Afr., XXXIV, 1941. p. 341, ♂ ♀.

DISTRIBUTION GÉOGRAPHIQUE : Ruanda : Nkuli; collection DE WITTE : Rweru, volcan Mikeno, forêt de Bambous (alt. 2.400 m., 26-27.VII.1934); volcan Visoke, Ruanda (alt. 2.800-3.300 m., 13-14.II.1935); riv. Bikwi, volcan Kari-simbi, Ruanda (alt. 3.100 m., 27-28.II.1935); volcan Gahinga (alt. 3.475 m., 19.IX.1934); Burambi, volcan Muhavura, Ruanda (alt. 2.325 m., 5.IX.1934); mont Tamira, près du lac Gando, Ruanda (alt. 2.600 m., 11.III.1935); 8 exemplaires : 7 ♂♂, 1 ♀.

En réexaminant cette espèce, je m'aperçois que c'est évidemment par erreur que j'é l'ai placée dans le groupe F; par la forme des deux premiers tergites abdominaux, elle appartient, sans aucun doute, au groupe A. Une erreur s'est également glissée dans le dessin accompagnant la description originale, le 1<sup>er</sup> tergite est effectivement beaucoup plus long (près de 3 fois sa largeur apicale), il a, par suite, une apparence beaucoup plus étroite. Je constate que certains spécimens ont tendance à présenter une faible carène longitudinale médiane naissante, à la base du propodeum.

70. — **Apanteles ninus** sp. n.

(Fig. 166-168.)

♂ ♀ : noirs; palpes, tegulae, pattes I et II y compris les hanches (tarses II un peu plus sombres), apex des hanches (plus largement en dessous), fémurs, tibias et largement la base des métatarses des pattes III, sternites de la base et nervation à la base de l'aile, rouge testacé; apex des fémurs et des tibias des pattes III, à peine plus sombres chez la ♀, distinctement plus assombris chez le ♂; tarses, ailleurs, bruns; éperons des tibias III, pâles; bords latéraux membraneux des tergites I et II, rouge sombre; ailes hyalines; stigma jaune, diaphane, à peine plus sombre sur les bords; nervures brun clair.

♂ ♀. *Tête* : face finement ponctuée, ostioles faciales très près de l'apex du clypéus; vertex virtuellement lisse; ocelles postérieurs plus près l'un de l'autre que des yeux; occiput ponctué comme la face; antennes du type de celles de *Ap. cinyras* (fig. 174 et 175).

*Thorax* : mésonotum très finement ponctué (degré 1), presque imperceptiblement vers la base; sillon préscutellaire étroit; disque du scutellum presque plat, lisse et brillant, très faiblement ponctué latéralement; méso-

pleures lisses et brillants, un peu ponctués antérieurement; métapleures lisses sauf près du bord coxal, à sillon médian lisse et superficiel; propodeum assez mat, à ponctuation (degré 3) de densité moyenne, absente au milieu dans la moitié basale, finement rugueux vers l'apex, lisse et brillant près des bords apicaux.

*Ailes* : nervation identique à celle de *Ap. cinyras* (fig. 176).

*Pattes III* : hanches finement et densément ponctuées, presque rugueuses sur la facette plane en dessus à la base; fémurs à petite ponctuation habituelle. Proportions : hanches, 18/34; fémurs, 10/46; tibias, 8/52; tarses : I, 30; II, 13; III, 10; IV, 8; V, 9.

*Abdomen* (fig. 166 et 167) : tergite I excavé près de la base, courbé au milieu et faiblement convexe dans la moitié apicale, à tégument assez mat, ponctué et vaguement rugueux dans le 1/3 apical, son apex échancré, à

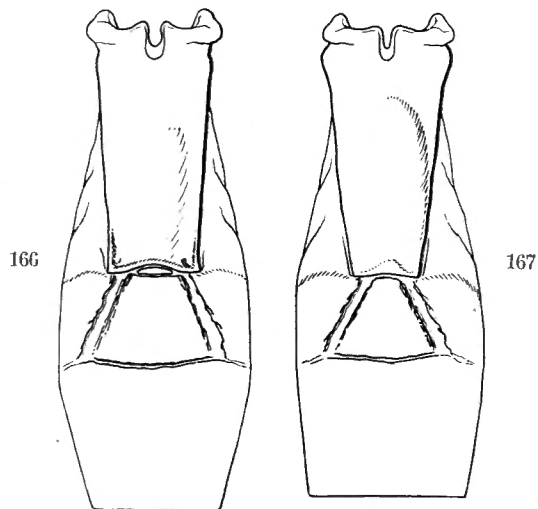


FIG. 166-167. — *Apanteles ninus* sp. n.

FIG. 166. — Détail des trois premiers tergites abdominaux de la ♀.

FIG. 167. — Idem du ♂.

angles latéraux un peu saillants extérieurement, sa longueur médiane 3 fois sa largeur apicale et à peine plus de 2 fois sa largeur basale (21 : 7 : 10), ses bords latéraux convergents en ligne droite jusqu'à l'apex; chez le ♂, ce tergite est d'apparence un peu différente, sa largeur apicale étant plus étroite et sa base un peu évasée, il est beaucoup plus proéminent dans les 3/4 apicaux environ et l'apex est moins émarginé; tergite II brillant, faiblement convexe au milieu, finement et irrégulièrement strié surtout latéralement, ses sillons bien marqués, un peu irréguliers, droits et divergents jusqu'à

la 2<sup>e</sup> suture à un angle de 45°, sa longueur médiane à peine plus grande que la largeur apicale du I et 2/3 de celle du III (8 : 7 : 12), un peu plus court chez le ♂ (7 : 6 : 12) dont les sillons sont plus rapprochés à la base; tergites III et suivants, brillants, à petite ponctuation; hypopygium largement tronqué, à angle droit; valves de la tarière assez longues, environ égales aux 2/3 de la longueur des métatarses (fig. 168).

Longueur : 3,2 mm.

DISTRIBUTION GÉOGRAPHIQUE : Tshamugussa, Bweza, forêt de Bambous (alt. 2.250 m., 10.VIII.1934); 6 exemplaires : 3 ♂♂, 3 ♀♀.

AFFINITÉS : Cette espèce présente des caractères communs à *Ap. intricatus* et à *Ap. cinyras*. Elle se caractérise par la coloration uniforme des fémurs et des tibias des pattes III et chez la ♀, par l'apex de l'hypopygium. Elle

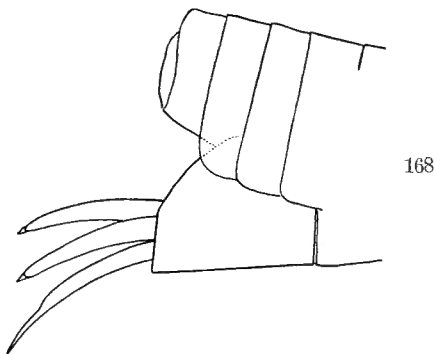


FIG. 168. — *Apanteles ninus*, sp. n., apex de l'abdomen.

se sépare de *Ap. intricatus* par son stigma diaphane, des antennes plus minces, une plus petite ponctuation des hanches III qui sont rouge testacé plus largement à l'apex, par la longueur du tergite II, et de *Ap. cinyras*, par le propodeum non rugueux, les hanches moins fortement ponctuées, la forme de l'hypopygium et notamment les longueurs respectives des tergites II et III.

71. — ***Apanteles intricatus*** sp. n.

(Fig. 169-173.)

♂ ♀ : noirs; palpes, tegulae, pattes I et II (y compris les hanches et excepté les tarses qui sont brunâtres, comme parfois légèrement l'apex des tibias II), extrême apex des hanches parfois, fémurs sauf à l'apex (la partie sombre apicale s'étendant, quelquefois, plus longuement sur la face supérieure), environ les 3/5 basilaires des tibias des pattes III (ceux-ci, parfois plus rougeâtres que les fémurs), sternites de la base et légèrement la base de la nervure costale, rouge testacé; 2/5 apicaux des tibias et tarses III, brun noirâtre; éperons des tibias III, pâles; bords latéraux membraneux des ter-

gites I et II, rougeâtre sombre; nervures et stigma bruns; ailes très faiblement enfumées entièrement.

♂ ♀. *Tête* : face aussi haute que large, brillante, à très petite ponctuation; clypéus à peine différencié de la face; ostioles faciales plus près de l'apex du clypéus que des yeux; vertex virtuellement lisse; occiput très finement ponctué; espace oculo-ocellaire un peu plus grand que la distance séparant les ocelles postérieurs; antennes un peu plus longues que le corps; 1<sup>er</sup> article du flagellum 3,5 fois plus long que large, les 6 articles préapicaux submoniliformes chez la ♀, le 1<sup>er</sup> article 3,75 fois plus long que large chez le ♂, les articles apicaux allongés, sauf les trois derniers (fig. 169 et 170).

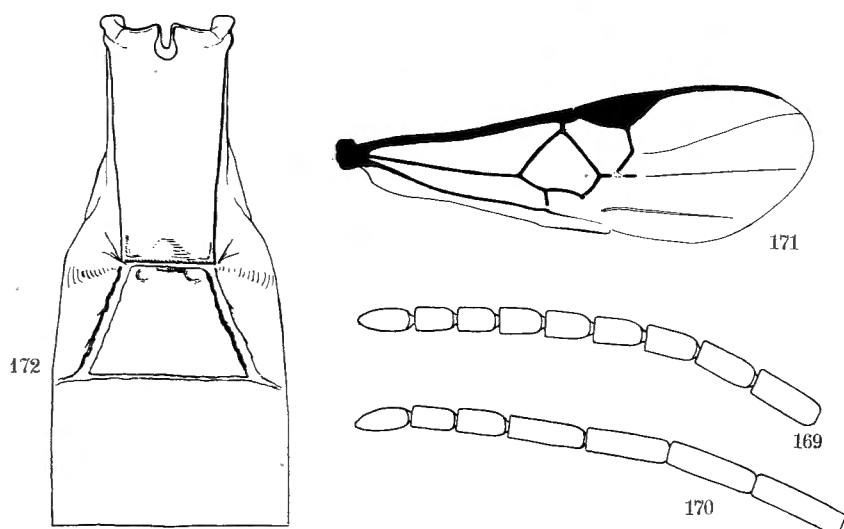


Fig. 169-172. — *Apanteles intricatus* sp. n.

Fig. 169. — Sommet de l'antenne ♀. Fig. 170. — Sommet de l'antenne ♂.

Fig. 171. — Détail de la nervation de l'aile antérieure.

Fig. 172. — Détail des trois premiers tergites abdominaux.

*Thorax* : mésonotum brillant, à petite ponctuation (degré 1) régulière, plus dense antérieurement, se continuant jusqu'à la base; sillon préscutellaire droit, étroit, faiblement crénelé; disque du scutellum convexe, 1,5 fois plus long que large, faiblement rétréci à l'apex, brillant, à ponctuation éparse et superficielle, un peu plus forte que celle du mésonotum, plus rare et parfois absente au milieu; axillae faiblement crénelées le long du disque du scutellum, plus ou moins lisses ailleurs, excavées antérieurement et dans l'angle externe; mésopleures ponctués antérieurement, lisses ailleurs; suture méso-métapleurale petitement et peu crénelée; métapleurales lisses et brillants, ponctués près du bord coxal, à sillon médian lisse; propodeum brillant, régulièrement convexe, portant une ponctuation (degré 3-4) espacée, bien marquée et une fine sculpture près du bord apical.

*Ailes* : 1<sup>re</sup> abcisse de la radiale et transverso-cubitale égales et plus courtes que la largeur du stigma, à peine plus longues que la récurrente; partie apicale de la 1<sup>re</sup> abcisse de la cubitale égale à la partie pigmentée de la 2<sup>e</sup> abcisse; stigma plus court que le métacarpe (fig. 171).

*Pattes III* : hanches à petite ponctuation assez dense et régulière, un peu plus forte sur la facette plane en dessus à la base, où elle présente une certaine tendance à devenir rugueuse; fémurs à petite ponctuation dense et assez superficielle. Proportions : hanches, 22/38; fémurs, 12/50; tibias, 8/58; tarses : I, 30; II, 13; III, 11; IV, 8; V, 10; le plus long éperon des tibias un peu moins de la moitié et le plus court le 1/3 de la longueur des métatarses.

*Abdomen* (fig. 172) : longueur médiane du tergite I, 2,5 fois sa largeur apicale et 2 fois sa largeur basale (20 : 8 : 10), ses bords latéraux droits et convergents régulièrement jusqu'à l'apex tronqué, légèrement excavé à la

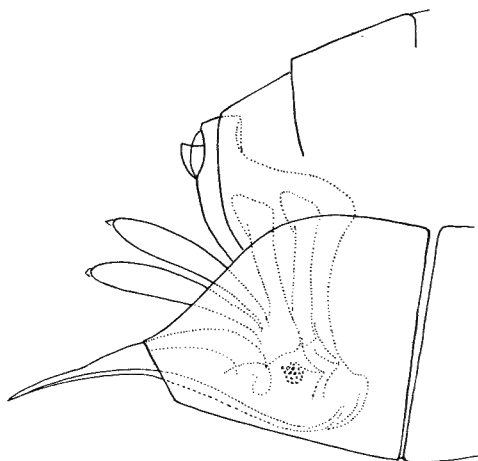


Fig. 173. — *Apanteles intricatus* sp. n. ♀, hypopygium et genitalia, vus de profil.

base, peu convexe ailleurs et courbé vers le quart apical, à sculpture mal définie, plutôt petitement rugueuse, mate, sans ponctuation apparente [chez le ♂, le tergite I est plus petit et beaucoup plus étroit à l'apex, 3 fois plus long que sa largeur apicale et 2 fois sa largeur basale (18 : 6 : 9)]; longueur médiane du tergite II, 1/4 plus longue que la largeur apicale du I et 1,4 fois plus courte que sa propre largeur apicale entre les sillons (10 : 8 : 14), ceux-ci fortement marqués, lisses et brillants, droits, divergents à un angle de 45°, jusqu'à l'apex, l'aire médiane assez mate, légèrement convexe, portant deux fossettes latérales à la base, à tégument finement et irrégulièrement striolé longitudinalement, plus lisse discalement et portant quelques pointillés vagues près du bord apical; 2<sup>e</sup> suture droite et bien marquée; tergite III, 1,3 fois plus long que le II, lisse et brillant et portant, comme les suivants,

l'habituelle petite ponctuation; hypopygium tronqué en biseau, l'angle inférieur obtus et le supérieur aigu; valves de la tarière courtes (fig. 173).

Longueur : 3,3 mm.

DISTRIBUTION GÉOGRAPHIQUE : Nyabirehe, volcan Karisimbi, Ruanda (alt. 2.000 m., 22.II.1935), holotype ♀, allotype ♂, paratypes; lac Gando, volcan Karisimbi, Ruanda (alt. 2.400 m., 6-9.III.1935); Ilega, volcan Karisimbi, Ruanda (alt. 2.400 m., 12.II.1935); riv. Bikwi, volcan Karisimbi, Ruanda (alt. 3.100 m., 28.II.1935); Kanzenze, volcan Karisimbi, Ruanda (alt. 2.400 m., 4.III.1935); Gihorve, volcan Karisimbi, Ruanda (alt. 2.400 m., 7.III.1935); Gitebe, volcan Nyamuragira (alt. 2.324 m., 14-26.VI.1935); Nyasheke, volcan Nyamuragira (alt. 1.820 m., 14-26.VI.1935); Shamuheru, volcan Nyamuragira (alt. 1.843 m., 14-26.VI.1935); Mubiliba, volcan Nyamuragira (alt. 2.400 m., 26.VI.1935); vers Rweru, volcan Mikeno, forêt de Bambous (alt. 2.400 m., 3.VII.1934, 26-27.VII.1934); Kabare, volcan Mikeno (alt. 3.200 m. 15-16.VII.1934); lac Magera (alt. 2.000 m., 26-27.II.1934, 6.III.1934); Tshamugussa, Bweza, forêt de Bambous (alt. 2.250 m., 6, 9, 10 et 15.VIII.1934); mont Tamira, près du lac Gando, Ruanda (alt. 2.600 m., 11.III.1935); Kibga, volcan Visoke, Ruanda (alt. 2.400 m., 11.II.1935); vers le mont Kamatembe (vers alt. 2.300 m., 7-23.I.1935); Kamatembe, forêt primaire (alt. 2.100 m., 15-20.IV.1934); vallée Rwebeya, Sabinyo, Ruanda (alt. 3.000 m., 22, 26.IX.1934); Burunga, Mokoto (alt. 2.000 m., 16.III.1934); volcan Gahinga (alt. 3.475 m., 19.IX.1934); lac Kanyamenoni, vers le volcan Musule (alt. 2.300 m., 14.VIII.1934); Ruhengeri, riv. Penge, Ruanda (alt. 1.800-1.825 m., 30-31.VIII.1934); Ngesho (alt. 2.000 m., 3-6.IV.1934); Kinyamahura, Djomba (alt. 1.800 m., 23.VIII.1934); Ruhengeri, riv. Kirii, Ruanda (alt. 1.800-1.825 m., 31.VIII.1934); volcan Visoke (alt. 2.800-3.300 m., 13-14.II.1935); mont Sesero, près de Bitashimwa, forêt de Bambous (alt. 2.000 m., 1-2.VIII.1934); Tshengelero, près de Munagana (alt. 1.750 m., 21.VIII.1934); 170 exemplaires : 148 ♂♂, 22 ♀♀.

AFFINITÉS : *Ap. intricatus* appartient au sous-groupe *vitripennis* de WILKINSON et se place, dans la clef de cet auteur, au couplet 49. Cette espèce se rapproche plus de l'espèce paléarctique *Ap. fulvipes* HAL., que de l'espèce ugandaise *Ap. glyphodes* WILKN. Elle diffère de la première par les proportions du 1<sup>er</sup> tergite abdominal, sa sculpture et celle du 2<sup>e</sup> tergite, qui est moins fine qu'une aciculation; de la deuxième, par l'absence de toute trace de carène longitudinale médiane sur le propodeum, ainsi que par les bords latéraux du 1<sup>er</sup> tergite qui ne sont pas fortement arrondis à l'extrême apex.

Cette espèce paraît être localisée uniquement aux hautes altitudes, mais dans des stations très diverses. Elle appartient à un groupe d'espèces extrêmement difficiles à séparer, car leurs caractères sont peu différenciés et fort enchevêtrés. Il est très possible, que dans la série de ♂♂ réunis sous cette dénomination figurent des spécimens n'appartenant pas à cette espèce, mais il m'a été impossible de les séparer sur la seule base des caractères externes.

72. — *Apanteles cinyras* sp. n.

(Fig. 174-178.)

Semblable à *Ap. intricatus*, à l'exception des caractères suivants :

♂ ♀ : noirs; palpes, tegulae, pattes I et II (tarses un peu enfumés), extrême apex des hanches, trochanters, trochantelles, fémurs et tibias (sauf une légère brunissure à l'apex de ces derniers) des pattes III, sternites de la base et base de la nervure costale, rouge testacé; tarses III, bruns; bords latéraux membraneux des tergites I et II rougeâtres, sombres; ailes hyalines, stigma jaunâtre, diaphane; nervures brun clair.

♂ ♀ : antennes minces, effilées distalement (fig. 174 et 175); propodeum mat, entièrement et assez densément ponctué (degré 3 à 4), ponctuation

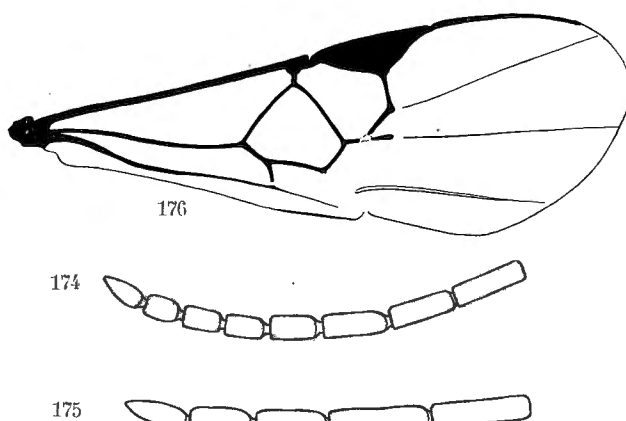
Fig. 174-176. — *Apanteles cinyras* sp. n.

Fig. 174. — Sommet de l'antenne ♀. Fig. 175. — Sommet de l'antenne ♂.

Fig. 176. — Détail de la nervation de l'aile antérieure.

accompagnée d'une petite sculpture intervallaire ruguleuse; hanches III fortement et densément ponctuées, rugueuses en dessus; proportions des pattes III : hanches, 18/32; fémurs, 10/50; tibias, 8/56; tarses : I, 28; II, 14; III, 11; IV, 9; V, 9; le plus long éperon des tibias un peu plus de la moitié et le plus court environ le tiers de la longueur des métatarses; longueur médiane du tergite I, 3 fois sa largeur apicale et 2,4 fois sa largeur basale (24 : 8 : 10), ses bords latéraux droits et légèrement convergents vers l'apex, un peu plus proéminents au milieu que chez *Ap. intricatus*, à tégument mat, confusément ponctué et finement ruguleux, un peu comme le mésonotum; tergite II, 1,37 fois plus long que la largeur apicale du I (11 : 8) et environ égal à sa propre largeur apicale entre les sillons, ceux-ci, larges, bien marqués, légèrement courbés, tégument semblable à celui du tergite I, à ponctuation localisée à la moitié apicale; longueur du tergite III égale à celle du II, brillant, ponctué comme habituellement; hypopygium aigu, courte-

ment tronqué à l'apex; valves de la tarière particulièrement longues pour cette section du genre, un peu plus longues que les métatarses III (fig. 177 et 178).

DISTRIBUTION GÉOGRAPHIQUE : Nyabitsindi, volcans Visoke-Musule, Ruanda (alt. 2.450 m., 18.II.1935); Tshamugussa, Bweza, forêt de Bambous (alt. 2.250 m., 10.VIII.1934); Nyabirehe, volcan Karisimbi (alt. 2.000 m., 22.II.1935), holotype ♀; volcan Visoke (alt. 2.800-3.300 m., 13-14.II.1935), allo-

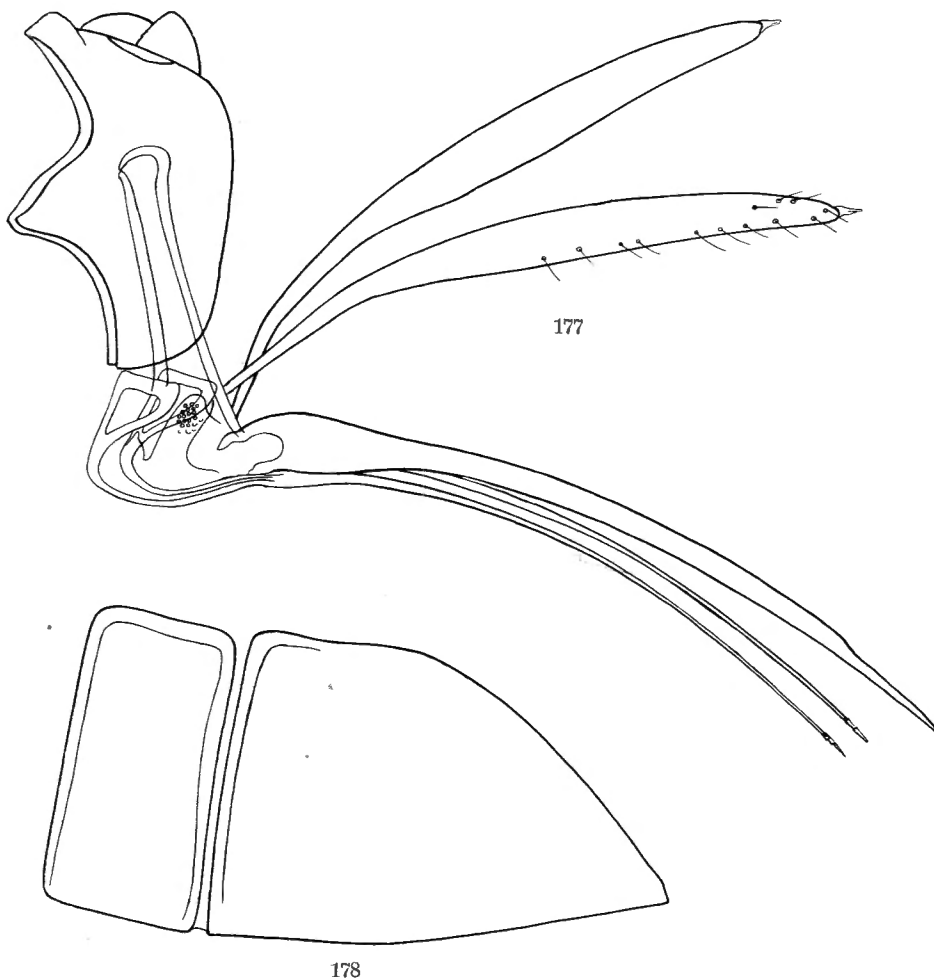


Fig. 177-178. — *Apanteles cinyras* sp. n. ♀.

Fig. 177. — Genitalia, vu de profil. Fig. 178. — Hypopygium.

type ♂ et paratypes; lac Gando, volcan Karisimbi, Ruanda (alt. 2.400 m., 9.I.1935); Ruhengeri, riv. Penge, Ruanda (alt. 1.800-1.825 m., 4-5.X.1934); 19 exemplaires : 10 ♂♂, 9 ♀♀.

AFFINITÉS : Outre sa grande similitude avec *Ap. intricatus*, *Ap. cinyras* présente également une certaine affinité avec *Ap. nkuli* DE S., notamment par ses hanches rugueuses et le stigma jaune diaphane. Toutefois, la rugosité des hanches et du propodeum est plus forte chez cette dernière espèce, la ponctuation du mésonotum est également nettement différente et le 1<sup>er</sup> tergite abdominal est distinctement plus étroit chez *Ap. nkuli*.

### Groupe F.

Premier tergite abdominal carré ou rectangulaire, aussi large ou plus large au sommet qu'à la base; deuxième tergite presque toujours aciculé, ponctué, rugueux ou autrement sculpté, souvent aussi long que le 3<sup>e</sup>, orné de sillons discaux parallèles ou convergents, ou de sillons le délimitant sur ses bords latéraux; propodeum fréquemment pourvu d'une carène longitudinale médiane, parfois de carènes transverso-basales ou de l'une et l'autre, mais ne présentant jamais une aréole ou une apparence d'aréole; valves de la tarière invariablement courtes et insérées à la base des plaques oblongues.

#### Sous-groupe MLANJE.

Deuxième tergite orné d'une aire médiane de forme variable, délimitée par des sillons discaux plus ou moins forts, à tégument pas particulièrement chitinisé.

#### 73. — *Apanteles osiris* sp. n.

(Fig. 179-184.)

♂ ♀ : noirs; pièces buccales, tegulae et sclérites axillaires, pattes I et II, y compris les hanches, apex des hanches en dessous, trochanters, trochantelles, base et face inférieure des fémurs des pattes III sur une plus grande étendue, bords latéraux membraneux du tergite I et latéralement de chaque côté de l'aire médiane du tergite II, jaune-rouge testacé; costale à la base parfois et sternites basilaires, rouge testacé; pattes III ailleurs, brun noirâtre; base des tibias et extrême base des métatarses, rougeâtres; ailes légèrement enfumées entièrement; stigma brun, opaque; nervures brunes, médiane et anale jaunâtres à la base. La coloration varie, mais dans des limites restreintes : tarsi I, tibias et tarsi II peuvent être légèrement brunâtres, l'obscurcissement des fémurs III est très variable en étendue, mais la base reste toujours testacée, enfin, les bords latéraux membraneux du tergite I et les parties latérales du tergite II sont souvent rouge sombre à brunâtre, surtout chez le ♂, certains spécimens présentent un rougissement des parties latérales et du bord apical du tergite III.

♂ ♀. *Tête* : environ 1,6 fois plus large que longue (fig. 179); face à peu près aussi large que longue, un peu proéminente médialement, légèrement satinée, à ponctuation (degré I) peu dense, régulière et un peu saillante; clypéus différencié de la face; ostioles faciales plus près

de l'apex du clypéus que des yeux; vertex lisse; occiput à petite ponctuation courtement sétigère; espace oculo-ocellaire un peu plus grand que la distance séparant les ocelles postérieurs; antennes plus longues que le corps; 1<sup>er</sup> article du flagellum 4 fois plus long que largé chez la ♀ (18 : 4,5), 3 fois chez le ♂ (16 : 5), chez ce dernier les articles apicaux sont allongés, courts et gros chez la ♀ (fig. 180 et 181).

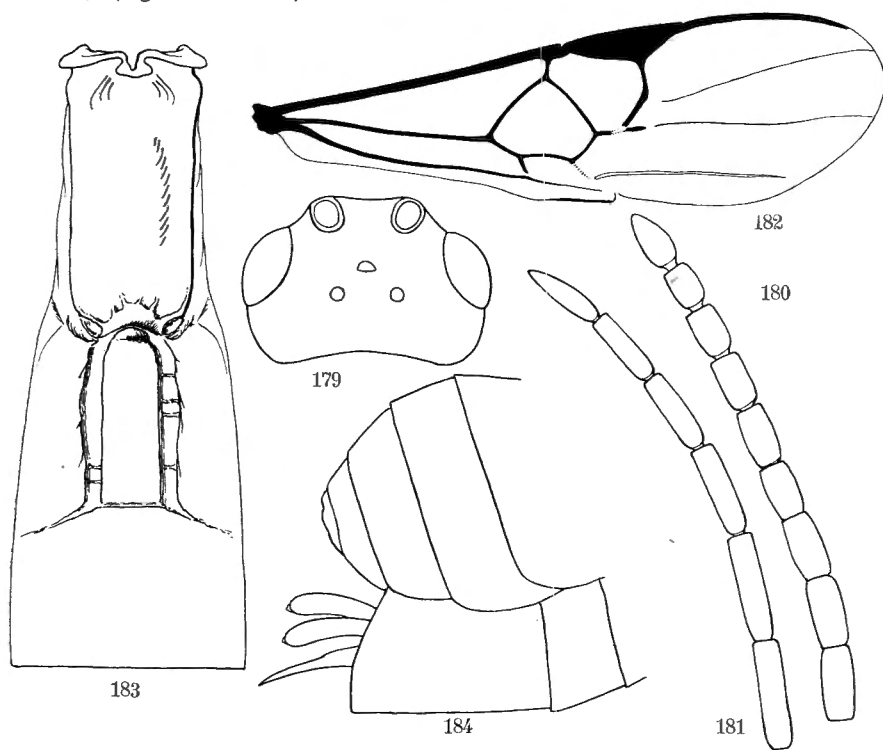


Fig. 179-184. — *Apanteles osiris* sp. n.

Fig. 179. — Tête, vue de dessus.

Fig. 180. — Sommet de l'antenne ♀. Fig. 181. — Sommet de l'antenne ♂.

Fig. 182. — Détail de la nervation de l'aile antérieure.

Fig. 183. — Détail des trois premiers tergites abdominaux.

Fig. 184. — Apex de l'abdomen.

**Thorax** : mésonotum assez mat, à ponctuation (degré 3-4) régulière et étroitement placée; sillon préscutellaire droit, brillant, irrégulièrement crénelé; disque du scutellum ponctué à peu près comme le mésonotum, mais plus superficiellement, à apex faiblement déprimé; partie lisse des axillae atteignant, à leur plus grande largeur, la moitié de la longueur du disque, partie antérieure faiblement striée; mésopleures densément ponctués antérieurement, aciculés dans le cochléar et portant quelques pointillés épars près du bord coxal, lisses et plutôt satinés que brillants ailleurs; suture méso-métapleurale non crénelée; métapleures satinés, lisses à aciculés dans

la partie postérieure, sillon médian habituellement étroit et non ou faiblement crénelé; propodeum finement rugueux et mat, sauf dans le tiers ou le quart apical, où il est brillant et parcouru irrégulièrement par quelques carènes secondaires, qui s'étendent latéralement jusqu'aux stigmates, carène longitudinale médiane assez forte, parfois incomplète et un peu crénelée.

*Ailes* : allongées, stigma assez étroit, au moins 3 fois plus long que large; 1<sup>re</sup> abscisse de la radiale naissant au tiers distal du stigma, de longueur égale à la transverso-cubitale et formant avec celle-ci un angle qui varie quelque peu, mais n'est jamais très accusé, leur point de jonction à peine discernable; partie apicale de la 1<sup>re</sup> abscisse de la cubitale incomplètement pigmentée et environ égale aux 2/3 de la longueur de la récurrente qui, elle-même, est à peine plus courte que la transverso-cubitale; stigma beaucoup plus court que le métacarpe (fig. 182).

*Pattes III* : hanches finement rugoso-punctuées entièrement, un peu plus étroitement à la base, qui présente une apparence semblable à celle de la partie postérieure des métapleures, mais moins longuement sétifère; fémurs petitement et régulièrement ponctués, à pointillés un peu saillants. Proportions : hanches, 20/45; fémurs, 12/57; tibias, 9/68; tarsi : I, 34; II, 15; III, 11; IV, 9; V, 10; le plus long éperon des tibias environ les 2/5 et le plus court moins du 1/3 de la longueur des métatarses.

*Abdomen* (fig. 183) : abdomen plus long que le thorax; tergite I légèrement excavé à la base, fortement proéminent médialement jusqu'au 1/3 apical, à tégument grossièrement rugueux, plus lisse dans la partie excavée et lisse et brillant sur une petite aire médiane à l'apex; ce tergite est courbé au tiers apical et porte dans cette partie quelques courtes soies, sa longueur médiane 3,6 fois sa largeur apicale et 2,27 fois sa largeur basale (25 : 7 : 11), ses bords latéraux parallèles, convergent seulement près de l'apex, celui-ci est échancré et porte deux fovéoles dans les angles latéraux; tergite II lisse et brillant, marqué de deux forts sillons, plus ou moins parallèles sur toute sa longueur, parfois faiblement crénelés, l'aire médiane ainsi délimitée est habituellement 3 fois plus longue que large, marquée souvent d'une très fine sculpture et portant à la base un petit tubercule s'encastant dans l'échancrure apicale du tergite I; longueur médiane du tergite II un peu plus de 2 fois la largeur apicale du I et à peu près égale à la longueur médiane du III (15 : 7 : 14); 2<sup>e</sup> suture droite et bien marquée au milieu, fine et oblique latéralement; tergite III lisse et brillant comme les suivants et portant une petite ponctuation latérale; hypopygium court, à bord supérieur arrondi, en sorte que l'angle formé à l'apex avec le bord inférieur est presque droit; valves de la tarière courtes, arrondies à l'extrémité (fig. 184). Chez certains spécimens, l'aire médiane du tergite II est un peu plus courte, parfois aussi un peu plus large ou un peu plus étroite. Chez le ♂, le tergite I est moins grossièrement rugueux et moins proéminent médialement.

Longueur : 2,8 à 3,3 mm.

DISTRIBUTION GÉOGRAPHIQUE: vers Rweru, volcan Mikeno, forêt de Bambous (alt. 2.400 m., 3-12 et 26-27.VIII.1934), holotype ♀, allotype ♂ et nombreux paratypes; Tshamugussa, Bweza, forêt de Bambous (alt. 2.250 m., 10.VIII.1934); Tshumba, Mushari (alt. 2.100 m., 28.IV, 1.V.1934); Kitondo, près de Gandjo (alt. 2.000 m., 7-23.I.1935); Mubiliba, volcan Nyamuragira (alt. 2.000 m., 14-26.VI.1935); Burunga, Mokoto (alt. 2.000 m., 15-16.III.1934); Gitebe, volcan Nyamuragira (alt. 2.324 m., 14-26.VI.1935); Kibga, volcan Visoke, Ruanda (alt. 2.400 m., 11.II.1935); mont Sesero, près de Bitashimwa, forêt de Bambous (alt. 2.000 m., 1-2.VIII.1934); lac Gando, au pied du volcan Karisimbi, Ruanda (alt. 2.400 m., 8.III.1935); lac Kanyamenoni, vers le volcan Musule (alt. 2.300 m., 14.VIII.1934); Mushumangabo, volcan Nyamuragira (alt. 2.075 m., 14.VI.1935); Shamuheru, volcan Nyamuragira (alt. 1.820 m., 14-26.VI.1935); Mayumbu, volcan Nyamuragira (alt. 2.100 m., 14-26.VI.1935); Nyasheke, volcan Nyamuragira (alt. 1.820 m., 14-26.VI.1935); 107 exemplaires : 87 ♂, 20 ♀.

A l'exception d'un spécimen, tous ces exemplaires ont été récoltés à des altitudes allant de 2000 à 2.400 m., dans des stations où dominant la forêt sclérophylle ou les Bambous. C'est la station de Rweru qui a fourni le plus d'exemplaires.

AFFINITÉS : *Ap. osiris* appartient au sous-groupe *mlanje* du groupe F. Par la forme du 1<sup>er</sup> tergite abdominal et celle de l'aire médiane du 2<sup>e</sup>, cette espèce s'apparente à *Ap. neavei* WILKIN., mais elle s'en sépare par l'apex du 1<sup>er</sup> tergite nettement échancré et plus étroit que la base, par l'aire médiane du 2<sup>e</sup> tergite beaucoup plus longue, ainsi que par la rugosité du propodeum.

Sauf pour les variations — encore que de faible amplitude — signalées dans la description, cette espèce paraît stable et l'aspect des tergites I et II de l'abdomen ainsi que la rugosité de la base des hanches, semblable à celle de la partie postérieure des métapleures, permettent de l'identifier facilement.

#### 74. — *Apanteles neavei* WILKINSON.

*Apanteles neavei* WILKINSON, Bull. Ent. Res., XX, 1929, ♂ ♀, p. 447;  
DE SAEGER, Rev. Zool. Bot. Afr., XXXIV, 1941, p. 338.

*Hôte et cocon*, inconnus.

DISTRIBUTION GÉOGRAPHIQUE : Nyasaland; Congo Belge : Rutshuru; collection DE WITTE : Rutshuru (alt. 1.285 m., 6-8.VI.1934); 1 exemplaire ♀.

Cet unique spécimen est le seul qui, dans la collection de la Mission G. F. DE WITTE, présente le plus exactement les caractères décrits de cette espèce. Il diffère cependant par la coloration : les hanches I et II sont entièrement rouge testacé et les hanches III. sont noires à peine à la base, le tergite II présente également une certaine tendance au rougeâtre vers l'apex.

75. — **Apanteles achaeus** sp. n.

(Fig. 185-187.)

♀ : noire; pattes I (sauf les hanches), bords latéraux membraneux du tergite I, parties latérales du II et III parfois entièrement (sauf un assombrissement discal plus ou moins étendu), rouge testacé; pattes II (sauf les hanches), fémurs plus ou moins à la base et tibias confusément dans la moitié basale, apex des hanches I, II et extrême apex des hanches III, rouge testacé foncé à brunâtre; pattes ailleurs brunâtres à brun noirâtre; tegulae et sclérites axillaires, jaune-rouge testacé; palpes et éperons des tibias, pâles à rouge testacé; nervures pâles, 1<sup>re</sup> abcisse de la médiane et de l'anale, incolores; stigma brun opaque.

♀. *Tête* : face un peu plus large que longue, assez mate, faiblement proéminente médialement et portant à la partie supérieure un court tronçon de carène médiane lisse et brillant, tégument à très petite ponctuation assez imprécise; ostioles faciales beaucoup plus près de l'apex du clypéus que des yeux; clypéus différencié de la face; vertex lisse et brillant; occiput légèrement satiné, ponctué environ comme la face; espace oculo-ocellaire plus grand que la distance séparant les ocelles postérieurs; antennes à peine plus longues que le corps, effilées distalement; 1<sup>er</sup> article du flagellum environ 3 fois plus long que large (10 : 3), articles apicaux un peu allongés (fig. 185).

*Thorax* : mésonotum plat, densément ponctué (degré 3) antérieurement, plus fortement (degré 3-4) postérieurement, à petites soies courtes; sillon préscutellaire droit, assez profond, vaguement crénelé; disque du scutellum brillant portant quelques gros pointillés superficiels; mésopleures marqués d'un grosse ponctuation bien séparée antérieurement, lisses discalement jusqu'au bord coxal, parfois un peu aciculés, cochléar à forte dépression médiane et parfois fortement aciculé; protubérance humérale séparée du pleure par un sillon fort et étroitement crénelé; suture méso-métapleurale lisse; métapleures lisses antérieurement, partie postérieure à petite rugosité réticulaire, sillon médian faible; propodeum à carène longitudinale médiane crénelée, entièrement ruguleux sauf près de l'apex où il est plus brillant et parcouru par quelques carènes secondaires, vaguement ponctué dans la moitié basale.

*Ailes* : 1<sup>re</sup> abcisse de la radiale naissant au tiers distal du stigma, de longueur égale à la largeur de celui-ci, très faiblement incurvée et formant un angle faible avec la transverso-cubitale, qui est un peu plus courte, leur point de jonction marqué par un petit tronçon court; partie apicale de la 1<sup>re</sup> abcisse de la cubitale punctiforme et à peu près égale aux 2/3 de la longueur de la transverso-cubitale et de la récurrente; stigma plus court que le métacarpe (fig. 186).

*Pattes III* : hanches mates et finement ruguleuses, sétifères seulement vers la partie inférieure, 3 ou 4 gros pointillés apparaissent sur la facette plane en dessus à la base; fémurs à petite ponctuation. Proportions : hanches, 16/30; fémurs, 12/42; tibias, 8/48; tarses : I, 24; II, 11; III, 8; IV, 7; V, 8; le plus long éperon des tibias la  $1/2$  et le plus court le  $1/3$  de la longueur des métatarses.

*Abdomen* (fig. 187) : tergite I assez mat, excavé à la base, à bords latéraux relevés dans la moitié basale, entièrement ruguleux, moins fortement dans la partie médiane et recourbé un peu au delà du milieu, sa longueur médiane 1,8 fois plus longue que sa largeur apicale, 2 fois sa largeur basale et 1,42 fois sa plus grande largeur située au  $1/4$  apical (20 : 11 : 10 : 14), ses

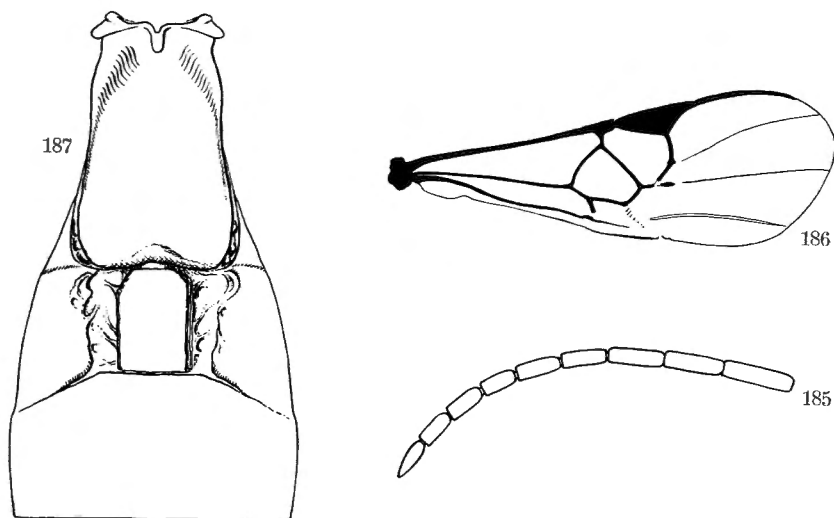


Fig. 185-187. — *Apanteles achaeus* sp. n. ♀.

Fig. 185. — Sommet de l'antenne.

Fig. 186. — Détail de la nervation de l'aile antérieure.

Fig. 187. — Détail des trois premiers tergites abdominaux.

bords latéraux légèrement sinueux, divergents jusqu'au  $1/4$  apical et ensuite franchement incurvés vers l'apex émarginé, dont les angles sont ainsi largement arrondis; tergite II orné d'une aire médiane rectangulaire, à peine plus longue que large, plate, un peu mate, finement ruguleuse, bordée latéralement par de larges sillons irréguliers, brillants et vaguement ruguleux, sa longueur médiane 1,22 fois plus courte que largeur apicale du I et 1,28 fois plus longue que sa propre largeur (9 : 11 : 7); 2<sup>e</sup> suture droite médialement et fortement oblique latéralement; tergite III, 1,33 fois plus long que le II (12 : 9), légèrement satiné et portant quelques rares soies; tergites suivants lisses et brillants, leur ponctuation très petite et rare;

hypopygium tronqué, mais l'angle formé à l'apex est légèrement aigu, par suite, la partie tronquée et le bord supérieur forment un angle obtus très faible; valves de la tarière à peine exsertes.

Longueur : 2,6 à 3 mm.; ♂ inconnu.

DISTRIBUTION GÉOGRAPHIQUE : Bitale, lac Bulero, Ruanda (alt. 1.862 m., 10-11.IX.1934), holotype ♀; Ruhengeri, sources Kirii, Ruanda (alt. 1.800-1.825 m., 2-3.X.1934); Bulengo, Mugunga (alt. 1.560 m., 31.I.1934); 4 exemplaires.

AFFINITÉS : Cette espèce est très voisine de l'espèce éthiopienne *Ap. neavei* WILKN., dont elle se différencie immédiatement par le 1<sup>er</sup> tergite plus large à l'apex qu'à la base et l'aire médiane du 2<sup>e</sup> tergite plus courte.

[76. — **Apanteles mlanje** WILKINSON.]

*Apanteles mlanje* WILKINSON, Bull. Ent. Res., XX, 1929, p. 449, ♂ ♀.  
Nyasaland.

Hôte et cocon, inconnus.

[**Apanteles mlanje nigricoxis** WILKINSON.]

*Apanteles mlanje nigricoxis* WILKINSON, Trans. Ent. Soc. Lond., LXXX, 1932, p. 308, ♂ ♀, ssp.

Uganda : Kampala.

Hôte : inconnu. Cocons : jaune verdâtre, entassés comme ceux de *Ap. glomeratus* L.

a) **Apanteles mlanje mimus** ab. n.

Semblable à la description de *Ap. mlanje* WILKN., excepté les caractères suivants :

♀ : hanches III rouge testacé, sauf à la base ou l'extrême base; scapes noirs; moitié basale de la nervure costale, bords latéraux membraneux des tergites I et II et parfois partiellement, ceux du III, ainsi qu'occasionnellement une bande apicale à ce dernier, rouge testacé; apex des fémurs III en dessus et apex des tibias, légèrement enfumés; ailes faiblement enfumées entièrement, légèrement jaunâtres.

♀ : tergite I peu proéminent médialement dans la moitié apicale; sillons discaux convergents du tergite II, forts, larges et bien marqués; 2<sup>e</sup> suture latéralement plus oblique que chez *Ap. mlanje*.

♂ : semblable à la ♀, n'en diffère que par la coloration des hanches III, progressivement rouge testacé dans la moitié apicale et la nervure costale entièrement brune.

DISTRIBUTION GÉOGRAPHIQUE : Rweru, volcan Mikeno, forêt de Bambous (alt. 2.400 m., 26-27.VII.1934), holotype ♀ et paratypes; vers Rweru, forêt de Bambous (alt. 2.400 m., 12.VII.1934); Mont Sesero, près de Bitashimwa,

forêt de Bambous (alt. 2.000 m., 1-2.VIII.1934); Burunga, Mokoto (alt. 2.000 m., 15-16.III.1934); Nyarusambo (alt. 2.000 m., 30.VI-2.VII.1934); 15 exemplaires : 1 ♂, 14 ♀ ♀.

b) *Apanteles mlanje metus* ab. n.

♂ ♀ : ne diffèrent de l'aberration précédente que par les caractères suivants :

Hanches III rouge testacé, sauf le 1/4 ou le 1/3 basal; moitié apicale des tibias et tarses des pattes III, noirâtres, la tache apicale des fémurs ordinairement plus forte; costale unicolore ou à peine légèrement plus claire à la base.

DISTRIBUTION GÉOGRAPHIQUE : Rutshuru (alt. 1.285 m., 29-31.V.1935, 2 et 6.VI.1935), holotype ♀ et paratypes; Rutshuru, riv. Fuku (alt. 1.250 m., 2 et 4.VII.1935); Tshumba, Mushari (alt. 2.100 m., 28.IV-1.V.1934); Kitondo, près de Gandjo (alt. 2.000 m., 7-23.I.1935); forêt près de Kamatembe (alt. 2.200 m., 12.IV.1934); Mayumbu, volcan Nyamuragira (alt. 2.100 m., 14-26.VI.1935); mont Sesero, près de Bitashimwa, forêt de Bambous (alt. 2.000 m., 1-2.VIII.1934); Kanyabayongo, Kabasha (alt. 1.760 m., 8.XII.1934). allotype ♂ et 1 paratype; Sake, lac Kivu (alt. 1.460 m., 19-22.II.1934); vers Rweru, volcan Mikeno, forêt de Bambous (alt. 2.400 m., 26-27.VII.1934); lac Magera (alt. 2.000 m., 6.III.1934); Nyongera, près de Rutshuru (alt. 1.218 m., 22.VII.1935); Kamatembe, forêt primaire (alt. 2.100 m., 15-20.IV.1934); Burunga, Mokoto (alt. 2.000 m., 17-19.III.1934); vers Kamatembe (vers 2.300 m., 7-23.I.1935); mont Kamatembe, riv. Bishakishaki, forêt (alt. 2.100 m., 14-17.IV.1934); Rutshuru, riv. Kanzarue (alt. 1.200 m., 15.VII.1935); Rutshuru, riv. Musugereza (alt. 1.100 m., 4.VII.1935); 42 exemplaires : 16 ♂♂, 26 ♀♀.

c) *Apanteles mlanje nox* ab. n.

♂ ♀ : ne diffèrent de *Ap. mlanje mimus*, que par les caractères suivants :

Scapes faiblement rougeâtres partiellement; hanches III noires, environ dans la 1/2 basale; tibias III fortement noircis dans les 2/3 ou les 3/4 apicaux; tarses également très sombres; costale sombre. Les deux exemplaires ♂♂ réunis à cette aberration ont les hanches III noires, excepté à l'apex ou l'extrême apex et plus largement en dessous.

DISTRIBUTION GÉOGRAPHIQUE : Rutshuru, riv. Kanzarue (alt. 1.285 m., 6-7.VI.1935, 3-4-13 et 15.VII.1935), allotype ♂ et 1 paratype ♀; vers Rweru, volcan Mikeno, forêt de Bambous (alt. 2.400 m., 26-27.VII.1934); Tshengerero, près de Munagana (alt. 1.750 m., 21.VIII.1934); mont Sesero, près de Bitashimwa, forêt de Bambous (alt. 2.000 m., 1-2.VII.1934); Nyongera, près de Rutshuru, Butumba (alt. 1.218 m., 17.VII.1935); Rutshuru, riv. Lubirizi (alt. 1.285 m., 13.VII.1935); Rutshuru, riv. Fuku (alt. 1.250 m., 5.VII.1935); 16 exemplaires : 11 ♂♂, 5 ♀♀.

Il est difficile d'estimer si ces variantes sont valables, les caractères qui les séparent paraissent avoir tendance à s'enchevêtrer, mais d'une façon si ténue qu'il serait nécessaire d'en étudier de grandes séries pour être fixé. Les caractères plastiques sont ceux de *Ap. mlanje* WILKN.; je relève, toutefois, les points suivants non signalés dans la diagnose de WILKINSON : aspect du mésonotum et du disque du scutellum légèrement satiné; propodeum, pour la plus grande partie, mat; tergites abdominaux plus ou moins mats. Chez tous ces spécimens, le sommet de la nervure basale n'est pas particulièrement long, paraissant toujours plus court que la partie apicale de la 1<sup>re</sup> abcisse de la cubitale et la nervure radiale prend naissance au tiers distal du stigma.

Il se peut que ces exemplaires ne soient pas de vrais *Ap. mlanje*, mais il est impossible de les séparer sur les données fournies par la diagnose de cette espèce.

77. — **Apanteles hiero** sp. n.

(Fig. 188-189.)

Cette espèce correspond à la description de *Ap. mlanje nigricoxis* WILKN., elle en diffère par les caractères suivants :

♀ : tegulae franchement sombres; coloration rouge testacé des pattes, très rouge, fémurs III entièrement de cette couleur; tibias III très sombres, à peine plus clairs dans le tiers basal; tarses I et II assombrés, III brun noirâtre comme les tibias.

♀. *Thorax* : ponctuation du scutellum rare, très superficielle, à peine apparente; propodeum mat, ruguleux à rugueux, plus finement à la base où la ponctuation n'est pas discernable, carène longitudinale médiane disparaissant vers le tiers apical dans la rugosité et entre deux courtes carènes divergentes partant de la lunule médi-apicale.

*Ailes* : partie apicale de la 1<sup>re</sup> abcisse de la cubitale distinctement plus longue que le sommet de la basale et un peu plus courte que la récurrente (fig. 189).

*Pattes III* : hanches lisses, à peine quelques rares gros pointillés apparaissant sur la face supérieure, l'aciculation vers l'apex très petite. Proportions : hanches, 22/38; fémurs, 13/46; tibias, 9/53; tarses : I, 27; II, 13; III, 10; IV, 8; V, 8; le plus long éperon des tibias la moitié et le plus court un peu plus du tiers de la longueur des métatarses.

*Abdomen* : tergite I excavé et ruguleux dans le quart basal, faiblement courbé et peu proéminent dans la partie apicale, rugueux dans les 3/4 apicaux, apex émarginé et portant une petite aire médiane lisse et brillante, sa longueur médiane environ 1,5 fois sa largeur apicale qui est peu plus longue que sa largeur basale et 1,47 fois sa plus grande largeur située au quart apical (21 : 13 : 10 : 17), ses bords latéraux divergents jusqu'au quart apical et convergents ensuite vers l'apex dont les angles sont arrondis et

bordés latéralement par une expansion latérale plus ou moins fovéolée; aire médiane du tergite II en trapèze allongé, son sommet 1,6 fois plus court que sa base, qui est elle-même égale aux  $\frac{2}{3}$  de la largeur apicale du I et de sa propre longueur médiane (5 : 8 : 13 : 13), cette aire porte une petite sculpture rugueuse dans la moitié basale, lisse ailleurs, plate et un peu surélevée, les sillons qui la délimitent, très larges à la base, plus larges que l'apex du I, profondément marqués et fortement sculptés, à l'apex ces sillons se continuent en une ligne courbe pour former la 2<sup>e</sup> suture latéralement à l'aire médiane, assez bien comme il est figuré pour *Microgaster indica* WILKINSON (1929b, p. 110). mais les branches latérales de la 2<sup>e</sup> suture sont plus obliques

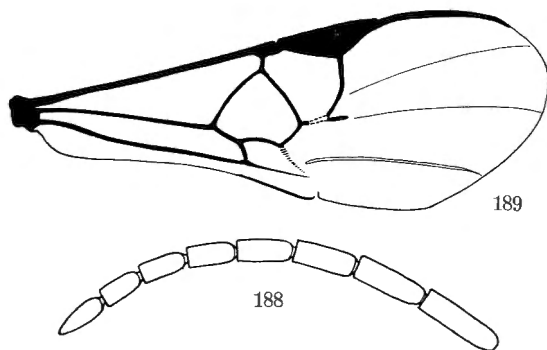


Fig. 188-189. — *Apanteles hiero* sp. n. ♀.

Fig. 188. — Sommet de l'antenne.

Fig. 189. — Détail de la nervation de l'aile antérieure.

antéro-postérieurement; tergite III de même longueur médiane que le II, lisse et brillant comme les suivants et portant une très petite ponctuation apicale; hypopygium aigu; valves de la tarière à peine exsertes.

♂ : semblable à la ♀, mais la sculpture des tergites I et II beaucoup moins forte, l'aire médiane du II est plus étroite et les sillons discaux moins largement sculptés, la moitié basale de cette aire est distinctement sculptée, quoique plus faiblement.

Un exemplaire ♀ est rattaché à cette espèce par l'ensemble des caractères, mais la sculpture est beaucoup moins caractérisée, l'aire médiane du tergite II n'est pas franchement sculptée dans la moitié basale, elle est plutôt aciculée latéralement, mais l'incurvation de la 2<sup>e</sup> suture, prolongeant latéralement les sillons discaux, est bien la même.

Longueur : 3,2 mm.

DISTRIBUTION GÉOGRAPHIQUE : Rutshuru (alt. 1.285 m., 11.VII.1935), holotype ♀, idem (12.VII.1935), allotype ♂ et 1 ♀; 3 exemplaires : 1 ♂ et 2 ♀.

AFFINITÉS : Cette espèce, très affine de *Ap. mlanje* WILKN., s'en distingue cependant par une plus forte rugosité du tergite I, la sculpture des sillons du tergite II et un hypopygium nettement aigu.

78. — *Apanteles neleus* sp. n.

(Fig. 190-192.)

♂ ♀ : noirs; pattes I et II (sauf les tarsi II), hanches III (sauf le 1/3 basal) trochanters, trochantelles, fémurs (sauf une légère enfumure apicale) et éperons des tibias des pattes III, sternites de la base, bords latéraux membraneux du tergite I et largement les parties latérales du II, rouge testacé; tibias III rougeâtres, progressivement enfumés vers l'apex; tarsi II brunâtres; tarsi III brun noirâtre; palpes assez pâles; ailes légèrement enfumées

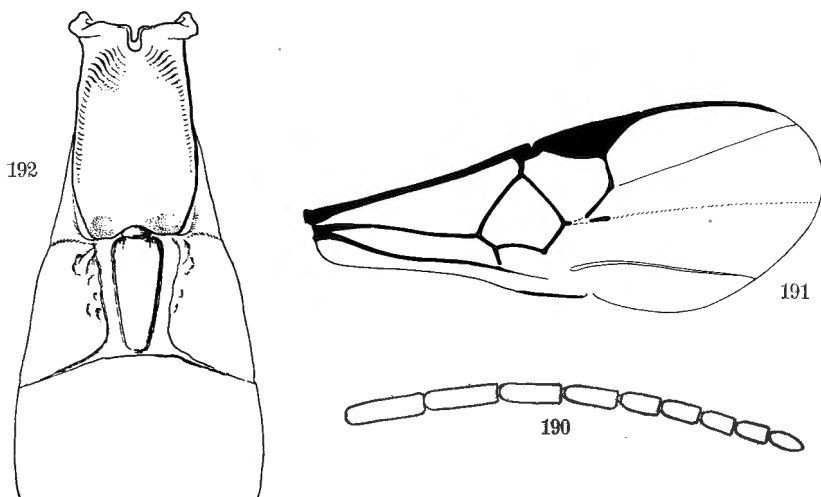
Fig. 190-192. — *Apanteles neleus* sp. n. ♀.

Fig. 190. — Sommet de l'antenne.

Fig. 191. — Détail de la nervation de l'aile antérieure.

Fig. 192. — Détail des trois premiers tergites abdominaux.

entièrement; nervures brun clair; stigma brun sombre, opaque; chez le ♂ la partie sombre de la base des hanches III s'étend en traces rougeâtres plus ou moins étendues vers l'apex.

♂ ♀. *Tête* : face aussi large que longue, brillante et, comme vertex et occiput, très petitement ponctuée, faiblement proéminente médialement; clypéus différencié de la face; ostioles faciales plus près de l'apex du clypéus que des yeux; espace oculo-ocellaire plus grand que la distance séparant les ocelles postérieurs.

*Thorax* : mésonotum brillant, à petite ponctuation (degré 2) devenant plus faible (degré 1) vers l'apex et y disparaissant tout à fait; sillon préscutellaire droit, mince, petitement crénelé; propodeum lisse et brillant dans la moitié basale et portant vers l'apex quelques carènes secondaires peu marquées, carène longitudinale médiane complète et légèrement crénelée.

*Ailes* : 1<sup>re</sup> abcisse de la cubitale à peine plus courte que la largeur du stigma, environ 1/6 plus courte que la transverso-cubitale, plus mince et formant un angle avec elle; partie apicale de la 1<sup>re</sup> abcisse de la cubitale égale à la moitié de la transverso-cubitale et environ égale aux 2/3 de la récurrente; stigma plus court que le métacarpe (fig. 191).

*Pattes III* : hanches étroites, lisses et brillantes, sauf quelques pointillés sur la facette plane en dessus à la base; fémurs petitement ponctués, à très faible aciculation. Proportions : hanches, 14/32; fémurs, 9/42; tibias 8/50; tarses : I, 24; II, 13; III, 10; IV, 8; V, 8; le plus long éperon des tibias un peu plus de la moitié et le plus court le tiers de la longueur des métatarses.

*Abdomen* (fig. 192) : tergite I brillant, excavé, lisse à vaguement ruguleux à la base, légèrement proéminent dans le 1/3 apical, plus ou moins ruguleux et portant quelques gros pointillés aux environs de ce tiers où il est courbé, lisse et brillant près de l'apex, celui-ci relevé médialement et déprimé en fovéoles sur les côtés, sa longueur médiane 2,6 fois sa largeur à l'extrême apex, 1,8 fois sa largeur basale et 1,63 fois sa plus grande largeur, située environ au tiers apical (18 : 7 : 10 : 11), ses bords latéraux légèrement divergents jusqu'au 1/3 apical ensuite légèrement incurvés et convergents vers l'apex fortement échancré, angles apicaux faiblement arrondis; tergite II brillant, portant une aire médiane étroite, triangulaire et surélevée, 2,5 fois plus longue que large à la base, sillons discaux bien marqués et à peu près lisses, parties latérales portant quelques soies, très petites, au tiers apical; longueur médiane du tergite II, 1,42 fois la largeur apicale du I et 1,3 fois plus courte que celle du III (10 : 7 : 13); 2<sup>e</sup> suture bien marquée, latéralement oblique antéro-postérieurement; tergites III et suivants, lisses et brillants et portant quelques petites punctuations rares; hypopygium court et aigu; valves de la tarière à peine exsertes, étroites.

Longueur : 2,6 mm.

DISTRIBUTION GÉOGRAPHIQUE : Mont Sesero, près de Bitashimwa, forêt de Bambous (alt. 2.000 m., 1-2.VIII.1934), holotype ♀; vers Rweru, volcan Mikeno, forêt de Bambous (alt. 2.400 m., 3.VII.1934), allotype ♂; 2 exemplaires : 1 ♂, 1 ♀ + 1 ♀.

Un exemplaire ♀, originaire de Rutshuru (1-6.VI.1935), est rapporté avec doute à cette espèce; l'enfumure apicale des fémurs III est plus forte, 2/3 apicaux des tibias noirâtres, punctuation du mésonotum un peu plus forte jusqu'au sillon préscutellaire; disque du scutellum ponctué à peu près de même; propodeum plus mat et portant une petite punctuation sétigère distincte dans la moitié basale; aire médiane du tergite II de forme semblable, mais mate.

Les caractéristiques de cette espèce, en dehors de la forme de l'aire médiane du tergite II, résident dans la punctuation du mésonotum, les tegulae noires, la longueur de la nervure transverso-cubitale et les hanches postérieures plus de 2 fois plus longues que larges.

79. — *Apanteles bifissus* sp. n.

(Fig. 193-197.)

♀ : noire; pattes I et II y compris les hanches (celles-ci présentant parfois une trace noire près de la base et l'article apical des tarsi est toujours sombre), moitié ou tiers apical des hanches, trochanters, trochantelles, fémurs et tibiai des pattes III (ces derniers enfumés progressivement de la base à l'apex où ils sont aussi sombres que les tarsi; les fémurs présentent parfois aussi une enfumure apicale sur la face supérieure), épérons des tibiai et sternites de la base, rouge testacé; palpes jaune testacé; apex des tibiai III et tarsi III, nervation et stigma, bruns, ce dernier opaque; ailes légèrement enfumées entièrement.

♀. *Tête* : face aussi longue que large, brillante, portant une ponctuation extrêmement fine et un faible tronçon de carène médiane à la partie supérieure; clypéus différencié de la face; ostioles faciales plus près de l'apex du clypéus que des yeux; vertex et occiput virtuellement lisses, brillants; espace oculo-ocellaire plus grand que la distance séparant les ocelles postérieurs, antennes de la longueur du corps, effilées distalement; 1<sup>er</sup> article du flagellum 3,5 fois plus long que large (11 : 3), articles préapicaux 2 fois plus longs que larges, tous les articles à sensilla espacés et très visibles (fig. 193).

*Thorax* : mésonotum brillant, à petite ponctuation (degré 2 et peut être même 3) assez irrégulière et plus dense antérieurement, totalement absente sur une grande aire apicale qui laisse une marge latérale ponctuée; sillon préscutellaire droit, faible, irrégulièrement ponctué; disque du scutellum à très faible convexité, lisse et brillant; méso- et métapleures lisses et brillants; propodeum brillant ou un peu mat, orné seulement d'une carène longitudinale médiane, plus ou moins ruguleuse, dans la moitié apicale, quelques très courtes soies apparaissent près de la carène médiane à la base, sans, toutefois, qu'une ponctuation soit discernable, stigmates circulaires, un peu plus grands que la normale.

*Ailes* : 1<sup>re</sup> abcisse de la radiale et transverso-cubitale régulièrement incurvées ou formant un angle très faible, leur point de jonction pas ou à peine discernable; partie apicale de la 1<sup>re</sup> abcisse de la cubitale égale ou un peu plus courte que la partie pigmentée de la 2<sup>e</sup> abcisse, environ la moitié de la longueur de la récurrente et parfois presque égale au sommet de la basale; stigma un peu plus court que le métacarpe.

*Pattes III* : hanches lisses et brillantes sur la face supérieure et la majorité de la face externe, quelque peu aciculées vers l'apex et à petite ponctuation dense à la face inférieure. Proportions : hanches, 15/23; fémurs, 10/35; tibiai, 7/44; tarsi : I, 22; II, 11; III, 9; IV, 7; V, 7; le plus long épéron des tibiai un peu moins de la moitié et le plus court le tiers de la longueur des métatarses.

*Abdomen* (fig. 194) : tergite I excavé et à bords latéraux relevés dans les 2/3 basilaires, légèrement convexe dans le 1/3 apical, brillant et ruguleux, plus fortement vers l'apex, sauf la partie la plus excavée à la base et une grande aire occupant le tiers médian dans la partie apicale, qui sont absolument lisses, de part et d'autre de cette aire apparaît une ponctuation confondue avec la sculpture du tégument; longueur médiane du tergite I 1,63 fois sa largeur apicale, 1,8 fois sa largeur basale et 1,28 fois sa plus grande largeur située au quart apical (18 : 11 : 10 : 14), ses bords latéraux divergents jusqu'au quart apical, ensuite largement incurvés jusqu'à l'apex tronqué, le quart api-

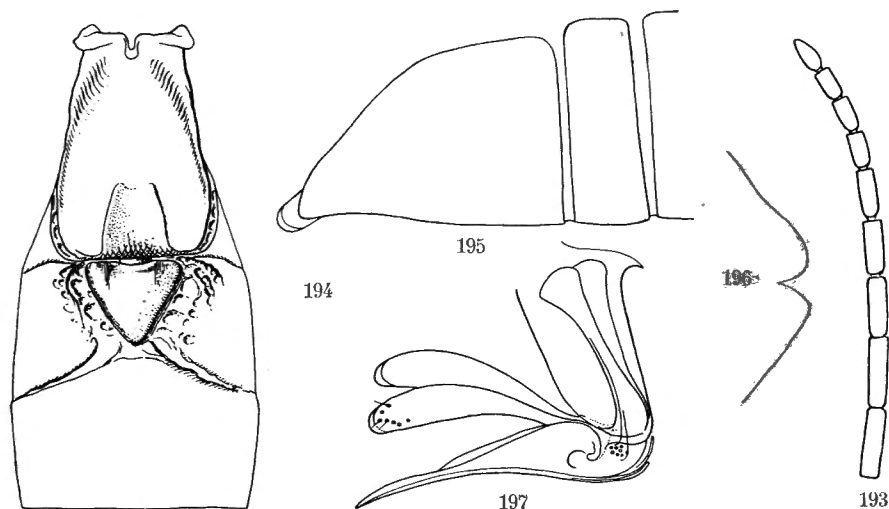


Fig. 193-197. — *Apanteles bifissus* sp. n. ♀.

Fig. 193. — Sommet de l'antenne.

Fig. 194. — Détail des trois premiers tergites abdominaux.

Fig. 195. — Hypopygium, vu de profil. Fig. 196. — Apex de l'hypopygium, ouvert.

Fig. 197. — Genitalia, vu de profil.

cal est élargi par des expansions latérales étroites et plus ou moins fovéolées; tergite II orné d'une aire médiane cordiforme, lisse et brillante, faiblement convexe, à base plus étroite que l'apex du I et dont le sommet n'atteint pas la 2<sup>e</sup> suture, cette aire est bordée latéralement par de larges sillons superficiels et plus ou moins irrégulièrement sculptés, sa longueur médiane un peu plus courte que sa largeur basale (7 : 8) et la longueur médiane du tergite légèrement plus courte que la largeur apicale du I; 2<sup>e</sup> suture bien marquée et oblique latéralement; tergite III environ 1,44 fois plus long que le II et, comme les suivants, lisse, brillant et sans ponctuation apparente; hypopygium aigu, faiblement arrondi à l'apex et légèrement courbé vers le bas, l'apex porte une fente dans laquelle viennent s'encaster la tarière et ses valves; valves à peine exsertes, prolongeant le bec formé par l'hypopygium (fig. 195-197).

Longueur : 2,5 mm. : ♂ inconnu.

DISTRIBUTION GÉOGRAPHIQUE: Mayumbu, volcan Nyamuragira (alt. 2.100 m., 14-26.VI.1935), holotype ♀ et 1 paratype; Gitebe, volcan Nyamuragira (alt. 2.324 m., 14-26.VI.1935); forêt près de Kamatembe (alt. 2.200 m., 12.IV.1934); riv. Bishakishaki, Kamatembe, plaine de lave (alt. 2.100 m., 7-23.I.1935); Rutshuru, riv. Lubirizi (alt. 1.285 m., 13.VII.1935); 7 exemplaires ♀ ♀.

Cette espèce est caractérisée par la partie lisse à l'apex du 1<sup>er</sup> tergite abdominal, la forme de l'aire médiane du 2<sup>e</sup> tergite et la forme de l'hypopygium.

80. — **Apanteles circinus** sp. n.

(Fig. 198-199.)

♀ : noire; palpes, toutes les pattes, jaune-rouge testacé (excepté les hanches III, sauf à l'apex et plus largement en dessous); une légère enfumure des tarses II, des tibias et tarses des pattes III, brun rougeâtre clair; tegulae, sclérites axillaires, base de la costale et ventrites de la base, rouge testacé; flagellum brunâtre à la base, brun noirâtre vers l'apex; ailes hyalines, nervures et stigma, jaune très pâle et diaphane.

♀. *Tête* : face aussi large que longue, brillante et à très fine ponctuation espacée; clypéus différencié de la face; ostioles faciales plus près de l'apex du clypéus que des yeux; vertex virtuellement lisse; occiput ponctué à peu près comme la face; espace oculo-ocellaire un peu plus grand que la distance séparant les ocelles postérieurs; antennes plus longues que le corps; 1<sup>er</sup> article du flagellum 3 fois plus long que large (12 : 4), articles apicaux environ 2 fois plus longs que larges (fig. 198).

*Thorax* : mésonotum brillant, à ponctuation moyenne (environ degré 3), dense antérieurement, un peu moins espacée que le diamètre des pointillés ailleurs, absente près de la base; sillon préscutellaire droit, étroit et très faiblement crénelé; disque du scutellum à faible convexité, brillant, présentant des traces faibles et superficielles de ponctuation; mésopleures lisses et brillants, cochléar marqué d'une fossette médiane; suture mésométopleurale lisse; métapleures lisses et brillants, à peine finement rugueux près du bord coxal, à sillon médian lisse et superficiel; propodeum mat, sauf dans les angles latéro-postérieurs, à petite ponctuation peu distincte et faiblement sétigère dans la 1/2 basale, portant quelques faibles et courtes carènes autour de la lunule médi-apicale, carène longitudinale médiane complète, mais mince et peu apparente.

*Ailes* : 1<sup>re</sup> abcisse de la radiale et transverso-cubitale fortement et régulièrement incurvées, sans point de jonction discernable; partie apicale de la 1<sup>re</sup> abcisse de la cubitale double de la longueur de la partie pigmentée de la 2<sup>e</sup> abcisse et égale aux 2/3 de la récurrente; sommet de la basale très court, plus court que la partie pigmentée de la 2<sup>e</sup> abcisse de la cubitale; stigma un peu plus court que le métacarpe.

*Pattes III* : hanches III finement et superficiellement rugueuses, un peu aciculées vers l'apex et faiblement sétifères. Proportions : hanches, 16/30;

fémurs, 9/41; tibias, 7/46; tarsi : I, 23; II, 11; III, 9; IV, 7; V, 8; le plus long éperon des tibias un peu plus court que la 1/2 et le plus court environ le 1/3 de la longueur des métatarses.

*Abdomen* (fig. 199) : tergite I faiblement brillant, finement rugueux, superficiellement au milieu, plus fortement sur les côtés et vers l'apex, dans la moitié apicale apparaît une ponctuation superficielle et mal définie, apex très faiblement émarginé et à angles latéraux arrondis largement, portant une petite aire médiane lisse et brillante accompagnée de chaque côté d'une fovéole bordée, latéralement, par une petite carène prolongeant le bord latéral et paraissant former l'apex, en réalité celui-ci est prolongé

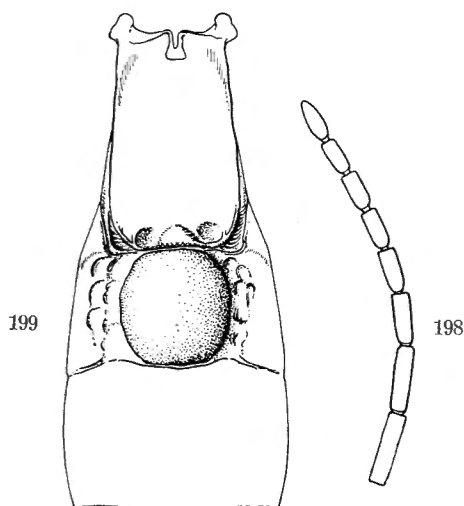


Fig. 198-199. — *Apanteles circinus* sp. n. ♀.

Fig. 198. — Sommet de l'antenne.

Fig. 199. — Détail des trois premiers tergites abdominaux.

par deux expansions latérales excavées; ce tergite est légèrement courbé et régulièrement convexe dans la moitié apicale, sa longueur médiane 1,5 fois plus longue que sa largeur apicale et 1,8 fois sa largeur basale (18 : 12 : 10), ses bords latéraux droits et régulièrement divergents jusque près de l'apex, ensuite franchement incurvés; tergite II orné d'une aire médiane circulaire, lisse, brillante, polie, régulièrement convexe, occupant toute sa longueur, latéralement à cette aire le tergite porte une esquisse de sillon, superficielle et faiblement sculptée ainsi que quelques soies vers l'apex, sa longueur médiane égale aux 5/6 de la largeur apicale du I et environ égale aux 5/6 du III (10 : 12 : 12-12,5); tergites III et suivants lisses et brillants, portant une seule rangée de fines soies dans la 1/2 apicale; hypopygium court, à bord supérieur arrondi en sorte qu'il paraît presque tronqué; valves de la tarière à peine exsertes.

Longueur : 2,6 mm.; ♂, inconnu.

DISTRIBUTION GÉOGRAPHIQUE : Rweru, volcan Mikeno, forêt de Bambous (26-27.VII.1934); 1 exemplaire holotype ♀.

Cette espèce se caractérise par l'aire médiane grande et circulaire du tergite II et le stigma diaphane.

81. — **Apanteles epaphus** sp. n.

(Fig. 200.)

Cette espèce est étroitement apparentée à *Ap. triptolemus* (v. n° 83) par de nombreux caractères, elle s'en différencie par les suivants :

♀ : hanches I et II toujours rouge testacé, les II présentent, parfois, une très faible trace noire à l'extrême base; enfumure des tibias et tarse III souvent faible; nervures et stigma brun clair à jaune, diaphane, ce dernier beaucoup plus clair que chez *Ap. triptolemus*.

♀ : antennes plus minces, à articles plus courts, mais de même rapport que chez *Ap. triptolemus* (fig. 200); ponctuation du mésonotum plus petite (degré 2-3), moins densément placée, sauf antérieurement, moins forte vers



Fig. 200. — *Apanteles epaphus* sp. n. ♀, sommet de l'antenne.

l'apex (degré 1) et totalement absente près de celui-ci; hanches III à rugosité plus fine, une forte ponctuation apparaît distinctement sur la facette plane en dessus à la base; tergite I de mêmes proportions, à apex comme *Ap. circinus*, plutôt rugueux que rugeux, légèrement convexe et ne présentant pas du tout la proéminence médiane accusée, très caractéristique chez *Ap. triptolemus*; l'aire médiane du tergite II est plus lisse et brillante, légèrement plus étroite à la base, les sillons discaux sont, par suite, moins convergents, mais ne sont jamais tout à fait parallèles.

Longueur : 2,2 à 2,5 mm.; ♂, inconnu.

Cette espèce est caractérisée par la ponctuation du mésonotum, l'aspect du tergite I et la pâleur du stigma.

DISTRIBUTION GÉOGRAPHIQUE : Burunga, Mokoto (alt. 2.000 m., 15-16 et 17-19.III.1934), holotype ♀ et paratypes; Ilega, volcan Karisimbi, Ruanda (alt. 2.400 m., 12.III.1935); Nyabirehe, pied du volcan Karisimbi, Ruanda (alt. 2.000 m., 22.II.1935); mont Kamatembe, riv. Bishakishaki, forêt (alt. 2.100 m., 14-17.VI.1934); Rweru, volcan Mikeno, forêt de Bambous (alt. 2.400 m., 26-27.VII.1934); lac Magera (alt. 2.000 m., 1.III.1934); Ngesho (al. 2.000 m., 3-6.IV.1934); Rutshuru (alt. 1.285 m., 2.VII, 15.VII.1935); escarpement de Kabasha (alt. 1.500 m., 14.XII.1934); Nyarusambo (alt. 2.000 m., 30.VI, 2.VII.1934); Rutshuru, riv. Kanzarue (alt. 1.200 m., 15.VII.1935); 26 exemplaires ♀ ♀.

82. — *Apanteles tereus* sp. n.

(Fig. 201.)

Cette espèce est très voisine de *Ap. triptolemus*, elle s'en différencie par les caractères suivants :

♀ : noire; palpes, tegulae, extrême apex de toutes les hanches, pattes I et II ailleurs (sauf les tarsi qui sont plus sombres), trochanters, trochantelles, fémurs et tibias des pattes III (sauf une très légère enfumure à l'extrême apex des fémurs et à l'apex des tibias), sternites de la base à peine,

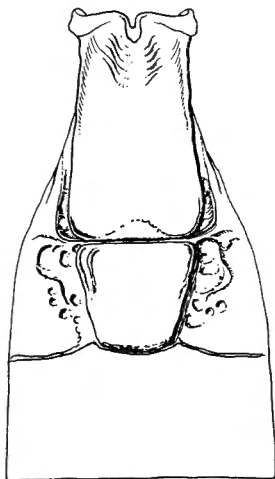


Fig. 201. — *Apanteles tereus* sp. n. ♀,  
détail des trois premiers tergites abdominaux.

rouge testacé; tarsi III bruns; épérons des tibias rouge testacé pâle; ailes très légèrement enfumées entièrement; nervures brun pâle; stigma brun, un peu diaphane.

*Tête* : ponctuation de la face un peu plus distincte que chez *Ap. triptolemus*.

*Thorax* : ponctuation du mésonotum plus petite (degré 2), régulière et plus densément placée; disque du scutellum lisse; aciculation du cochléar faible; propodeum mat, à carène longitudinale médiane forte et crénelée sur les côtés, des carènes secondaires apparaissent latéralement dans la moitié apicale près des carènes operculaires, où le tégument est aussi plus brillant.

*Ailes* : 1<sup>re</sup> abcisse de la radiale naissant au milieu du stigma ou très faiblement au delà; cette nervure et la transverso-cubitale environ de longueurs égales et formant entre elles un angle distinct; partie apicale de la 1<sup>re</sup> abcisse de la cubitale un peu plus de la moitié de la récurrente, stigma plus court que le métacarpe.

*Pattes III* : hanches finement rugueuses, pas tout à fait de la même façon que la partie postérieure des métapleures. Proportions : hanches, 15/30; fémurs, 9/40; tibias, 7/48; tarsi : I, 23; II, 11; III, 9; IV, 7; V, 7.

*Abdomen* (fig. 201) : tergite I lisse et brillant dans la partie excavée au milieu à la base, ailleurs rugueux mais plus finement que chez *Ap. triptolemus*, faiblement convexe dans la 1/2 apicale et courbé au 1/3 postérieur, sa longueur médiane 2 fois ses largeurs basale et apicale, et 1,66 fois sa plus grande largeur située au quart apical (20 : 10 : 10 : 12), ses bords latéraux divergents jusqu'au quart apical, ensuite courbés vers l'apex tronqué; dans la partie apicale, ce tergite est élargi de chaque côté par une expansion latérale plus ou moins fovéolée; tergite II orné d'une grande aire médiane en relief et légèrement convexe, dont la base est au moins aussi large que la largeur apicale du I, les sillons discaux la délimitant assez superficiels, à sculpture vague s'étendant sur les parties latérales du tergite, l'aire médiane est plus ou moins ruguleuse surtout sur les côtés, son apex, légèrement arrondi, est épousé par la 2<sup>e</sup> suture qui s'infléchit latéralement; longueur médiane du tergite II, à peine plus courte que la largeur apicale du I, 1,66 fois plus longue que la largeur apicale de l'aire médiane et à peine plus courte que la longueur médiane du III (10 : 11 : 6 : 11); tergites III et suivants légèrement satinés et portant quelques rares petites soies, latéralement et vers l'apex; hypopygium tronqué; valves de la tarière à peine exsertes.

Longueur : 2,5 mm.; ♂, inconnu.

DISTRIBUTION GÉOGRAPHIQUE : mont Tamira, près du lac Gando, Ruanda (alt. 2.600 m., 11.III.1935); 1 exemplaire holotype ♀.

### 83. — *Apanteles triptolemus* sp. n.

(Fig. 202-206.)

♂ ♀ : noirs; palpes, pattes I et II (excepté la base des hanches sur une plus ou moins grande étendue, et les tarsi), apex ou extrême apex des hanches (sur une plus ou moins grande étendue et toujours plus largement en dessous), trochanters, trochantelles et fémurs des pattes III (sauf une légère enfumure en dessus, à l'apex de ces derniers), extrême bord des parties latérales membraneuses des tergites I et II et sternites de la base, rouge testacé; tarsi I parfois un peu plus sombres, tarsi II toujours; tibias III roussâtres, coloration s'intensifiant de la base au sommet, mais parfois peu évidente; tarsi III brun à brun noirâtre; tegulae variables, rouge testacé à brunâtre; flagellum noir brunâtre; éperons des tibias III, pâles; ailes hyalines à très légèrement enfumées entièrement; sclérites axillaires et base de la costale, rouge testacé à brun rougeâtre clair; stigma brun, opaque; nervures brunes légèrement plus pâles que le stigma, excepté la base décolorée des nervures médiane et anale. La coloration des hanches

est très variable, I et II parfois presque entièrement noires, I parfois presque entièrement rouge testacé et III, toujours pour la majeure partie, noires.

♂ ♀. *Tête* : 1,77 fois plus longue que large (fig. 203); face environ aussi longue que large, brillante, à très petite ponctuation régulière; clypéus différencié de la face; ostioles faciales plus près de l'apex du clypéus que des yeux; vertex lisse et brillant; occiput ponctué comme la face; espace oculo-ocellaire égal à la distance séparant les ocellus postérieurs; antennes un peu plus longues que le corps; 1<sup>er</sup> article du flagellum près de 4 fois plus long que large (11 : 3) chez la ♀ et environ 3,5 fois chez le ♂, les articles apicaux peu allongés dans les deux sexes (fig. 204 et 205).

*Thorax* : mésonotum brillant, à ponctuation assez forte (degré 3), à soies courtes, les pointillés presque contigus antérieurement, plus espacés vers la base, mais toujours séparés par une distance moindre que leur propre diamètre, assez superficiels près du sillon préscutellaire; ce dernier, droit,

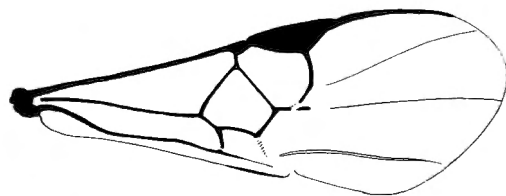


Fig. 202. — *Apanteles triptolemus* sp. n.,  
détail de la nervation de l'aile antérieure.

assez large et plus ou moins crénelé; disque du scutellum brillant, à faible convexité, marqué d'une ponctuation très superficielle et peu apparente, l'apex est tronqué et faiblement déprimé; mésopleures lisses et brillants, excepté une ponctuation dense antérieurement, cochléar à dépression subsulciforme et aciculé à la partie inférieure; suture méso-métapleurale lisse; métapleurales lisses et brillants antérieurement, plus ou moins fortement ruguleux postérieurement vers le bord coxal; propodeum parfois assez mat et à forte ponctuation sétigère, mais peu distincte, dans la moitié basale; pourvu d'une carène longitudinale médiane forte, qui n'atteint généralement pas l'apex, mais s'arrête entre les branches d'un V formé par deux carènes divergentes partant de la lunule médiane apicale et qui se continuent plus ou moins horizontalement sur les côtés, comme des costules, pour rejoindre les carènes latérales; la partie entre ces carènes et l'apex est ordinairement plus brillante, irrégulièrement parcourue par des carènes secondaires plus ou moins espacées et dépourvue de ponctuation.

*Ailes* : nervation du type de celle de *Ap. osiris*, mais la nervure radiale a son origine un peu au delà de la moitié du stigma, en sorte que la 1<sup>re</sup> cellule cubitale est moins large (fig. 202).

*Pattes III* : hanches assez mates, très rugueuses et courtement sétifères en dessus et sur la face externe, où apparaissent des acicules vers l'apex,

petitement et très étroitement ponctuées en dessous. Proportions : hanches, 15/28; fémurs, 8/39; tibias, 7/46; tarsi : I, 23; II, 11; III, 9; IV, 7; V, 7; éperons des tibias subgéraux, le plus long un peu plus court que la 1/2 de la longueur des métatarses.

*Abdomen* (fig. 206) : tergite I rugueux entièrement, à peine plus lisse à la base où il est faiblement excavé au milieu, fortement proéminent au milieu depuis le tiers basal, proéminence s'atténuant pour atteindre l'apex tronqué et latéralement bordée par un sillon large et grossièrement crénelé (cette proéminence est parfois un peu moins forte chez le ♂); angles apicaux

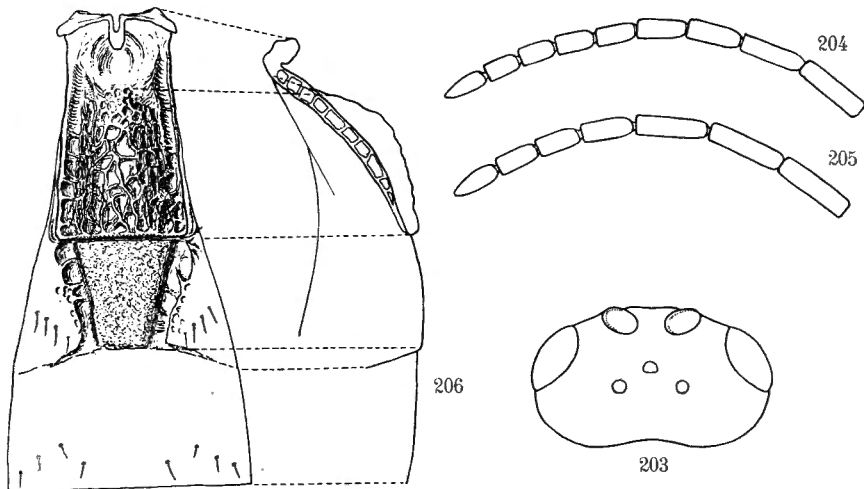


Fig. 203-206. — *Apanteles triptolemus* sp. n.

Fig. 203. — Tête, vue de dessus.

Fig. 204. — Sommet de l'antenne ♀. Fig. 205. — Sommet de l'antenne ♂.

Fig. 206. — Détail des trois premiers tergites abdominaux, face et profil.

arrondis; longueur médiane du tergite, 1,66 fois plus longue que la largeur apicale et 2,22 fois sa largeur basale (20 : 12 : 9), ses bords latéraux droits et divergents de la base à l'apex; tergite II marqué de deux larges sillons discaux délimitant une aire trapézoïdale plate et surélevée, dont la base est ordinairement double du sommet, à tégument finement rugueux; latéralement, ce tergite est lisse et brillant, sauf quelques rares petits pointillés latéraux, longueur médiane un peu plus courte que la largeur apicale du I et égale ou un peu plus courte que la longueur médiane du III (10 : 12 : 10-11); 2<sup>e</sup> suture bien marquée, oblique de part et d'autre de l'apex de l'aire médiane du tergite II; tergite III lisse et brillant, ne portant que quelques soies éparses vers l'apex; hypopygium court, tronqué; valves de la tarière à peine exsertes.

Longueur : 2,3 à 2,8 mm.

DISTRIBUTION GÉOGRAPHIQUE : pied du volcan Karisimbi (alt. 2.400 m., 12.III.1935), holotype ♀, allotype ♂ et paratypes ♀ ♀; mont Sesero, près de Bitashimwa, forêt de Bambous (alt. 2.000 m., 1-2.VIII.1934); vers Rweru, volcan Mikeno, forêt de Bambous (alt. 2.400 m., 3.VII et 26-27.VII.1934); Tshamugussa, Bweza, forêt de Bambous (alt. 2.250 m., 9-10.VIII.1934); Tshumba, Mushari (alt. 2.100 m., 28.IV au 1.V.1934); lac Gando, pied du volcan Karisimbi, Ruanda (alt. 2.400 m., 6 et 8.III.1934); Kundhuru ya Tshuve, col Gahinga-Sabinyo, Ruanda, forêt de Bambous (alt. 2.600 m., 15-18.IX.1934); mont Tamira, près du lac Gando, Ruanda (alt. 2.600 m., 11.III.1935); Nyarusambo, Kikere (alt. 2.226 m., 28-29.VI.1934); Kibga, volcan Visoke, limite de la forêt de Bambous (alt. 2.400 m., 11.II.1935); Kitondo, près de Gandjo (alt. 2.000 m., 7-23.I.1935); 73 exemplaires : 30 ♂ ♂, 43 ♀ ♀.

AFFINITÉS : Par la conformation des 1<sup>er</sup> et 2<sup>e</sup> tergites abdominaux, cette espèce se place, dans la clef de WILKINSON, en même temps que l'espèce éthiopienne *mlanje* WILKN., dont elle se sépare par la rugosité du 1<sup>er</sup> tergite et des hanches postérieures, ainsi que par une ponctuation du mésonotum beaucoup plus forte.

a) ***Apanteles triptolemus pullus* ab. n.**

Cette aberration ne diffère de l'espèce que par les caractères suivants :

Hanches I et II à peine rouge testacé à l'extrême apex; toutes les autres parties des pattes beaucoup plus sombres que chez *Ap. triptolemus*, presque brunes; tibias et tarses des pattes III concolores, brun foncé, tibias assez rarement plus clairs dans la moitié basale; tegulae toujours brun sombre presque noires; mésonotum plus ou moins satiné, à ponctuation distinctement plus fine (degré 3) et plus dense.

DISTRIBUTION GÉOGRAPHIQUE : Ilega, pied du volcan Karisimbi, Ruanda (alt. 2.400 m., 12.III.1935), holotype ♀, allotype ♂ et paratypes; mont Tamira, près du lac Gando, Ruanda (alt. 2.600 m., 11.III.1935); Nyabirehe, volcan Karisimbi, Ruanda (alt. 2.000 m., 22.II.1935); Gihorwe, pied du volcan Karisimbi, Ruanda (alt. 2.400 m., 7.III.1935); 18 exemplaires : 14 ♂ ♂, 4 ♀ ♀.

*Ap. triptolemus* et son aberration ont été récoltés dans quatorze stations différentes, toutes situées à des altitudes de 2.000 à 2.600 m., dans la région des volcans; cinq, au moins, de ces stations sont situées dans des forêts de Bambous ou à proximité, on peut en conclure que cette espèce appartient à la faune afro-subalpine et très probablement exclusivement à celle-ci.

## Sous-groupe RUFICRUS.

Deuxième tergite sans aire médiane délimitée par des sillons discaux, à tégument rugueux, fortement chitinisé et habituellement plus large que le premier.

84. — *Apanteles elaeodes* sp. n.

(Fig. 207-209.)

♀ : noire; pièces buccales (sauf le labre), palpes, fémurs (sauf le 1/3 basal) et tibias des pattes I, environ la moitié basale des tibias II, base des tibias et extrême base des métatarses des pattes III, nervure costale presque jusqu'au stigma, bords latéraux membraneux des tergites I et II et sternites de la base, rouge testacé; pattes ailleurs, brunâtres ou brun foncé à noir; épérons des tibias III pâles; ailes hyalines à soies colorées, stigma opaque, brun foncé; 1<sup>re</sup> abcisse de la radiale, transverso-cubitale et 2<sup>e</sup> abcisse de la médiane, brunes, les autres nervures faiblement pigmentées.

♀. *Tête* : transverse, 2 fois plus large que longue, face un peu plus large que longue, brillante, à petite ponctuation mal définie; clypéus différencié de la face; ostioles faciales plus près de l'apex du clypéus que des yeux; vertex à très petite ponctuation, assez densément placée; stematicum lisse et brillant; occiput plus fortement ponctué que la face; espace oculo-ocellaire un peu plus grand que la distance séparant les ocelles postérieurs; 1<sup>er</sup> article du flagellum 2,5 fois plus long que large (10 : 4) (fig. 207).

*Thorax* : mésonotum assez mat, à ponctuation (degré 3) densément placée, presque coalescente le long des lignes des notaulices et d'une ligne longitudinale médiane; sillon préscutellaire droit et assez étroitement crénelé; disque du scutellum convexe, plus brillant que le mésonotum, à ponctuation (degré 3) mieux séparée et légèrement plus superficielle; mésopleures lisses et brillants sauf une forte ponctuation antérieure, cochléar marqué d'un sillon petitement crénelé; métapleures lisses antérieurement, grossièrement ponctués et longuement sétigères postérieurement, à sillon médian crénelé; propodeum brillant, grossièrement rugoso-réticulé sauf près de la base, portant une esquisse de carène longitudinale médiane ou de carènes transversales, mais ces carènes ne sont jamais très distinctes.

*Ailes* : stigma 2,5 fois plus long que large; 1<sup>re</sup> abcisse de la radiale égale à la largeur du stigma et un peu plus de 1,5 fois la longueur de la transverso-cubitale, celle-ci à peine plus longue que la partie apicale de la 1<sup>re</sup> abcisse de la cubitale, qui est elle-même environ égale aux 2/3 de la récurrente; stigma égal au métacarpe; par suite de la largeur du stigma et de la longueur de la 1<sup>re</sup> abcisse de la radiale, la 1<sup>re</sup> cellule cubitale est particulièrement longue (fig. 208).

*Pattes III* : brillantes, portant de grosses ponctuations sur la facette plane en dessus à la base, à ponctuation assez mal définie sur la face externe, plus

nette et plus dense à la face inférieure; fémurs brillants, à petite ponctuation légèrement saillante. Proportions : hanches, 20/32; fémurs, 11/38; tibias, 8/44; tarses : I, 20; II, 10; III, 8; IV, 6; V, 7; éperons des tibias subégaux, le plus long un peu moins que la moitié de la longueur des métatarses.

*Abdomen* (fig. 209) : tergite I excavé médialement à la base, courbé un peu au delà du milieu, brillant, faiblement sculpté dans la moitié basale, rugoso-ponctué dans la moitié apicale, sa longueur médiane environ égale à sa largeur apicale et 1,8 fois sa largeur basale (22 : 21 : 12), ses bords latéraux divergents assez régulièrement de la base à l'apex, celui-ci est échancré au

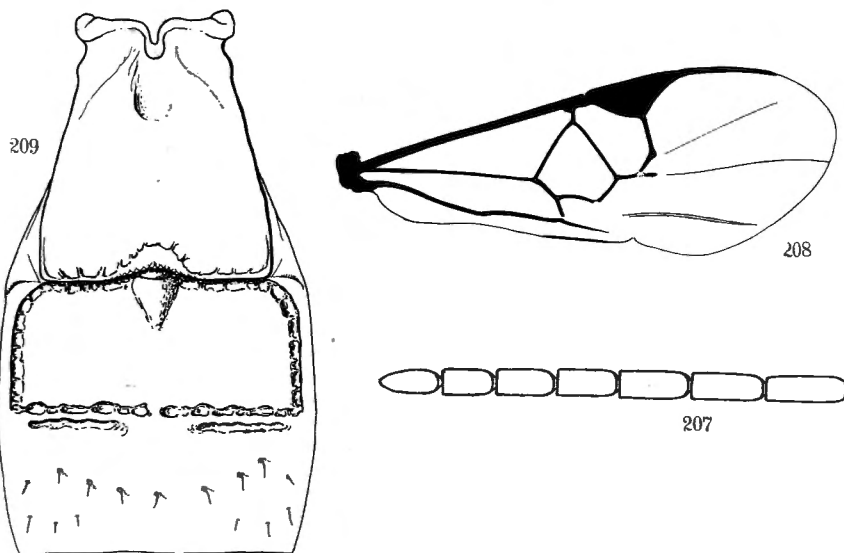


Fig. 207-209. — *Apanteles elaeodes* sp. n. ♀.

Fig. 207. — Sommet de l'antenne.

Fig. 208. — Détail de la nervation de l'aile antérieure.

Fig. 209. — Détail des trois premiers tergites abdominaux.

milieu et porte une petite aire médiane lisse et brillante, angles apicaux à peine arrondis; tergite II rugoso-ponctué plus grossièrement que le I et présentant au milieu, à la base, une petite aire triangulaire un peu surélevée, sculptée comme le restant du tergite, sillons latéraux distincts, arrondis dans les angles antérieurs, parallèles latéralement, sa longueur médiane 1,7 fois plus courte que la largeur apicale du I et un peu moins de la moitié de sa propre largeur; 2<sup>e</sup> suture droite, forte, doublée parfois à la base du tergite III, par une dépression transversale irrégulière, interrompue au milieu; tergite III de même longueur que le II, brillant, portant quelques soies latérales et une rangée de très petits pointillés disposés en arc de cercle vers la moitié; tergites suivants brillants, à petite ponctuation habituelle; hypopygium court,

à apex presque à angle droit; valves de la tarière peu exsertes, environ de la longueur des éperons des tibias III.

Longueur : 2,5 mm.; ♂, inconnu.

DISTRIBUTION GÉOGRAPHIQUE: vers Rweru, volcan Mikeno, forêt de Bambous (alt. 2.400 m., 3.VII.1934), holotype ♀; Tshengelero, près de Munagana (alt. 1.750 m., 21.VIII.1934); 2 exemplaires.

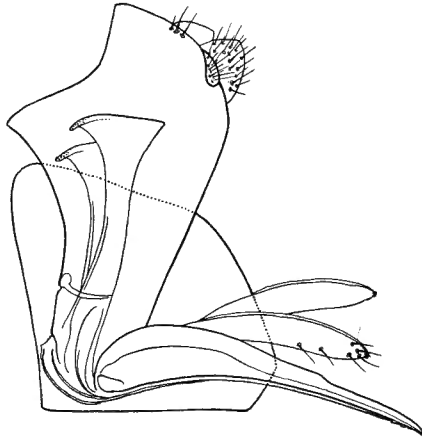


Fig. 210. — *Apanteles hyperion* sp. n. ♀.  
Hypopygium et genitalia, vus de profil.

85. — ***Apanteles hyperion*** sp. n.

(Fig. 210-213.)

♂ ♀ : noirs; tegulae, pattes I et II entièrement, apex des hanches III (plus largement en dessous), fémurs (sauf à l'apex) et tibias (sauf l'extrême base et l'apex) des pattes III et sternites de la base, rouge testacé; palpes, jaune testacé à pâles; éperons des tibias III pâles; antennes noir brunâtre; fémurs et tibias III ailleurs et tarses III, brun rougeâtre, l'enfumure des fémurs et tibias III légèrement variable en étendue et en intensité; ailes très légèrement enfumées, à soies colorées; stigma, 1<sup>re</sup> abcisse de la radiale, transverso-cubitale et partie pigmentée de la 2<sup>e</sup> abcisse de la cubitale, brun clair, les autres nervures plus pâles, médiane et anale décolorées à la base.

♂ ♀. *Tête* : 1,7 fois plus large que longue (29 : 17); face légèrement plus large que longue, brillante, à très petite ponctuation peu marquée; clypéus différencié de la face; ostioles faciales plus près de l'apex du clypéus que des yeux; vertex et occiput à ponctuation encore plus fine que celle de la face, virtuellement lisses; espace oculo-ocellaire beaucoup plus grand que la distance séparant les ocelles postérieurs; antennes plus longues que le corps; 1<sup>er</sup> article du flagellum 4 fois plus long que large (10 : 2,5) chez la ♀, 3 fois chez le ♂ (10 : 3), les articles préapicaux subégaux, 2 fois plus longs que larges chez la ♀, 2,5 fois chez le ♂ (fig. 211 et 212).

*Thorax* : mésonotum mat, à forte ponctuation un peu alvéolariforme (degré 4), densément placée, plus dense le long des lignes des notaulices,

brillant près des bords latéraux où la ponctuation est, ou absente, ou plus espacée et plus superficielle, l'extrême bord latéral est, à nouveau, étroitement ponctué, presque rugueux et mat; sillon préscutellaire droit et fortement crénelé; disque du scutellum un peu mat, à ponctuation (au moins degré 3) bien séparée, plus dense près des bords latéraux où elle a tendance à former une rugosité comme à l'apex, qui est franchement rugueux; mésopleures ponctués à peu près comme la partie médiane du mésonotum antérieurement, lisses et brillants ailleurs, excepté des stries, ordinairement bien marquées, dans le cochléar qui est fortement déprimé; suture méso-méta-pleurale lisse; métapleures lisses et brillants antérieurement, rugueux et striés postérieurement; propodeum semblable à la description de *Ap. plutellae* KURDJ. par WILKINSON (1939, p. 80), très fortement et très grossièrement réticulo-rugueux, légèrement déprimé dans la partie médiane et portant occasionnellement une carène longitudinale médiane faible.

*Ailes* : 1<sup>re</sup> abcisse de la radiale un peu variable, ordinairement 1/4 plus courte que la largeur du stigma, naissant un peu avant le 1/3 distal de celui-ci, formant nettement un angle avec la transverso-cubitale, à peine plus

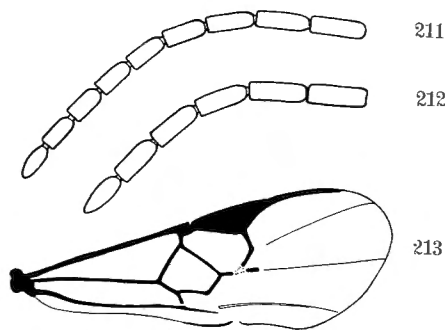


Fig. 211-213. — *Apanteles hyperion* sp. n.

Fig. 211. — Sommet de l'antenne ♀. Fig. 212. — Sommet de l'antenne ♂.

Fig. 213. — Détail de la nervation de l'aile antérieure.

courte que celle-ci et à peu près égale à la partie apicale de la 1<sup>re</sup> abcisse de la cubitale; transverso-cubitale et récurrente d'égale longueur; stigma de même longueur que le métacarpe; la 1<sup>re</sup> abcisse de la radiale peut être égale ou un peu plus longue que la transverso-cubitale (fig. 213).

*Pattes III* : hanches rugueuses et courtes; fémurs petitement ponctués. Proportions : hanches, 16/22; fémurs, 7/33; tibias, 5/41; tarses : I, 18; II, 9; III, 7; IV, 6; V, 6; éperons des tibias subégaux, le plus long un peu moins de la moitié de la longueur des métatarses; tarses des pattes I, légèrement plus courts que les tibias de la même paire (ordinairement légèrement plus longs chez les autres espèces).

*Abdomen* : tergite I exactement semblable à l'excellent dessin qui accompagne la redescription de *Ap. plutellae* (l. c., p. 81) et conforme à cette

redescription : fortement excavé à la base, très fortement médialement, proéminent et portant (parfois) une sorte de carène longitudinale médiane, courbé apicalement, plus ou moins lisse dans la partie basale excavée, ailleurs rugoso-punctué, sa longueur médiane 1,2 fois sa largeur apicale et 2,25 fois sa largeur basale (18 : 15 : 8), ses bords latéraux droits, divergents de la base à l'apex, angles apicaux arrondis; tergite II, transverse, légèrement plus large que l'apex du I et 1,87 fois plus court au milieu que ce dernier (8 : 15), sa sculpture n'est pas aussi réticulée que celle figurée pour *Ap. plutellae*, des stries longitudinales sont plus apparentes sur un fond à sculpture plus vague, ce tergite présente une bande longitudinale médiane un peu surélevée et irrégulière qui n'existe pas chez *Ap. plutellae*; 2° suture fortement déprimée et bien marquée par deux sillons droits ou légèrement courbés vers l'arrière, qui se rejoignent presque au milieu; tergite III, 1,37 fois plus long que le II (11 : 8), lisse et brillant comme les suivants et ne portant, comme ceux-ci, qu'une seule rangée de fines soies au tiers apical environ; hypopygium à apex coupé en biais, le bord postérieur 1,37 fois plus long que la largeur des valves; valves de la tarière à peine exsertes, environ de la longueur du 3° article des métatarses III (fig. 210).

Longueur : 2,3 à 2,5 mm.

DISTRIBUTION GÉOGRAPHIQUE : Kalondo, lac Ndaraga, Mokoto (alt. 1.750 m., 22-27.III.1934), holotype ♀, paratype ♀ et allotype ♂; Ruhengeri, riv. Penge, Ruanda (alt. 1.800 m., 30-31.VIII.1934, 29.IX.1934); Ruhengeri, sources Kirii, Ruanda (alt. 1.800-1.825 m., 3.X.1934); Luofu (alt. 1.700 m., 10.XII.1934); île Tshegera, lac Kivu (alt. 1.400 m., 10.II.1934); Rutshuru (alt. 1.285 m., 22.V-4 et 3-8.VI.1934); 15 exemplaires : 5 ♂♂, 10 ♀♀.

AFFINITÉS : Cette espèce se place, dans les clefs de WILKINSON et de FAHRINGER, en même temps que *Ap. ruficrus* HAL., avec lequel elle présente une très étroite affinité; elle s'en sépare, néanmoins, par les caractères suivants : fémurs III, toujours à peine enfumés à l'apex; tergite III ne présentant jamais de partie rouge testacé; ponctuation de la tête beaucoup plus fine; ocelles postérieurs distinctement plus près l'un de l'autre que des yeux; tergite II présentant une légère surélévation médiane, paraissant former une petite aire médiane triangulaire, aussi rugueuse que les parties latérales; tergite III, distinctement plus long que le II. J'ai beaucoup hésité à séparer ces spécimens, mais c'est ce dernier caractère qui a emporté ma décision.

Dans la collection se trouve un spécimen ♀, malheureusement incomplet, présentant assez bien les caractères de *Ap. ruficrus*, mais les hanches III sont rouge testacé dans le tiers distal et l'abdomen est entièrement rouge testacé sauf les tergites I et II, un vague assombrissement des tergites III, IV et V ainsi que les segments suivants; le tergite I est environ aussi large à l'apex que sa longueur médiane, les valves de la tarière sont assez exsertes, larges à la base et s'amincissant vers l'apex. Rwindi (alt. 1.000 m., 22-24.XI.1934).

86. — **Apanteles nycteus** sp. n.

(Fig. 214-218.)

♂ ♀ : noirs; palpes et éperons des tibias II et III pâles (base des palpes maxillaires et palpes labiaux, parfois brunâtres); sclérites axillaires, un peu la base de la nervure costale, sternites de la base plus ou moins, rouge testacé; les parties suivantes ont parfois une coloration brunâtre tendant au rouge testacé: trochantelles, apex des fémurs I et tibias I, la base des tibias II, tibias et tarses III, ceux-ci habituellement plutôt noir brunâtre; tegulae variables, généralement noires chez le ♂, du brunâtre au rouge testacé chez la ♀; ailes enfumées et jaunâtres, plus faiblement dans la 1<sup>re</sup> cellule basale et les 2/3 basilaires de la 2<sup>e</sup> cellule basale, ainsi qu'une éclaircie sous la partie apicale de la 1<sup>re</sup> abcisse de la radiale; stigma opaque, brun comme les nervures, médiane et anale plus claires vers la base.

♂ ♀. *Tête* : environ 1,7 fois plus large que longue, assez étendue derrière les yeux (fig. 214), légèrement rostriforme; face aussi longue que large, légèrement satinée, à petite ponctuation, plus dense vers la partie médiane; clypéus différencié de la face; ostioles faciales un peu plus près de l'apex du clypéus que des yeux; espace oculo-malaire plus grand que la largeur des mandibules à la base; vertex et occiput ponctués à peu près comme la face; espace oculo-ocellaire plus grand que la distance séparant les ocelles postérieurs; antennes de la ♀ de la longueur du corps plus 1 fois la tête, de la longueur du corps plus 1 fois l'abdomen chez le ♂; 1<sup>er</sup> article du flagellum 4 fois plus long que large chez la ♀ (12 : 3), environ 2,5 fois chez le ♂ (12 : 5), articles préapicaux en moyenne 1,5 fois plus longs que larges chez la ♀ et 3 fois chez le ♂ (fig. 215 et 216).

*Thorax* : mésonotum mat, densément ponctué (au moins degré 3), rugueux le long des lignes des notaulices et une ligne longitudinale médiane confluant vers l'apex, où la ponctuation est plus forte; sillon préscutellaire presque droit, bien marqué, divisé par de nombreuses carènes régulières et étroites; disque du scutellum à faible convexité, mat, à ponctuation (degré 3) assez bien marquée, mais un peu plus superficielle que sur le mésonotum, rugueux à l'apex; mésopleures à forte ponctuation antérieurement, petite près du bord coxal, lisses et brillants ailleurs, cochléar fortement déprimé, plus ou moins strié, protubérance humérale séparée du mésopleure par un sillon crénelé; suture méso-métapleurale crénelée; métapleures lisses antérieurement, finement rugueux postérieurement, à sillon médian crénelé; propodeum parcouru par un réseau irrégulier de carènes assez fortes, présentant parfois deux carènes obliques plus fortes, partant d'un point situé au 1/4 basal et distancées l'une de l'autre, rejoignant latéralement une carène qui entoure les stigmates, intervalles brillants et plus ou moins vaguement rugueux, partie médiane parfois un peu déprimée.

*Ailes* (fig 217) : 1<sup>re</sup> abcisse de la radiale naissant un peu au delà du milieu du stigma, à obliquité un peu variable, plus ou moins parallèle à

la 1<sup>re</sup> abcisse de la cubitale, plus courte que la largeur du stigma, égale ou un peu plus courte que la transverso-cubitale, formant avec cette dernière un angle un peu plus grand qu'un angle droit, ces nervures renflées à leur point de jonction; partie apicale de la 1<sup>re</sup> abcisse de la cubitale égale aux 2/3 de la récurrente et égale à la partie pigmentée de la 2<sup>e</sup> abcisse; stigma un peu plus court que le métacarpe.

*Pattes III* : hanches mates, très densément ponctuées, presque rugueuses; fémurs à petite ponctuation dense, un peu saillante. Proportions : hanches, 18/30; fémurs, 11/42; tibias, 8/51; tarses : I, 25; II, 11; III, 9; IV, 6; V, 8; éperons des tibias subégaux, le plus long un peu moins de la 1/2 de la longueur des métatarses.

*Abdomen* (fig. 218) : tergite I, un peu mat, rugoso-ponctué, à sculpture semblable à celle représentant *Ap. plutellae* KURDJ. (WILKINSON, 1939, p. 81), excavé à la base et plus fortement au milieu, proéminent dans les

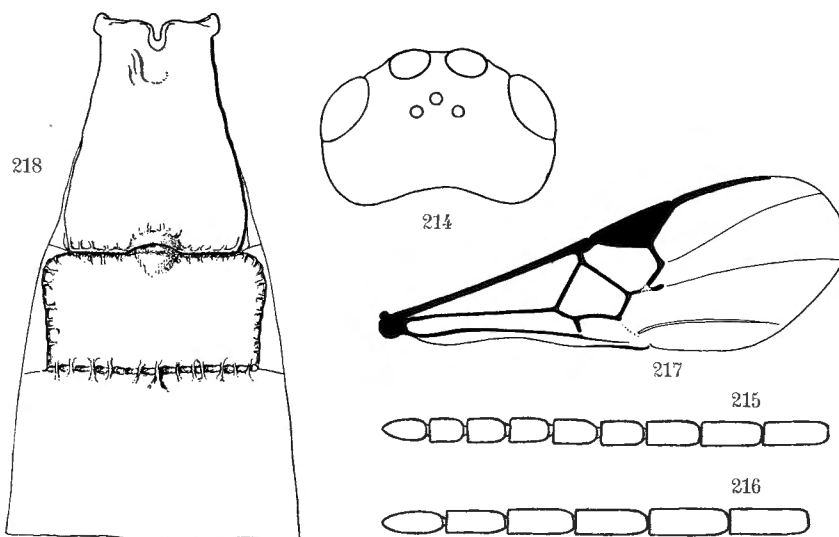


Fig. 214-218. — *Apanteles nycteus* sp. n.

Fig. 214. — Tête, vue de dessus.

Fig. 215. — Sommet de l'antenne ♀. Fig. 216. — Sommet de l'antenne ♂.

Fig. 217. — Détail de la nervation de l'aile antérieure.

Fig. 218. — Détail des trois premiers tergites abdominaux.

2/3 apicaux, occasionnellement apparaît sur le sommet de la partie proéminente une sorte de crête longitudinale médiane; longueur médiane du tergite 1,33 fois sa largeur apicale, environ 2 fois sa largeur basale et 1,25 fois sa plus grande largeur située un peu avant l'apex (19 : 15 : 10 : 16), ses bords latéraux divergents en ligne droite jusque peu avant l'apex, ensuite un peu infléchis, angles apicaux non arrondis; tergite II à sculpture identique à celle du I, ayant occasionnellement quelques stries longitudinales

plus dominantes, partie médiane du tergite un peu surélevée et portant un petit tubercule lisse et brillant à la base, sa longueur médiane 1,36 fois plus courte que la largeur apicale du I, un peu plus de la 1/2 de sa propre largeur et 1,26 fois plus courte que celle du III (11 : 15 : 20 : 14), ce tergite est parfois un peu plus long chez le ♂; 2° suture fortement marquée, chevauchée par les carènes de la sculpture des tergites; tergite III sculpté beaucoup plus superficiellement que les précédents, jusqu'au 1/3 apical chez la ♀, presque entièrement, sauf un étroit bord apical, chez le ♂, souvent marqué d'une ligne de pointillés plus forts, disposés en arc de cercle vers le tiers apical, partie médiane légèrement proéminente, téguement granuleux, mais plus souvent striolé dans une aire triangulaire dont la base correspond à la base du tergite et sans ponctuation, latéralement la ponctuation est disposée assez bien comme chez *Ap. plutellae*; quoique plus proéminents médialement, les tergites I à III ne peuvent être considérés réellement comme carénés; tergites suivants lisses et brillants, à petite ponctuation habituelle; hypopygium tronqué, mais moins largement que chez *Ap. hyperion*; valves de la tarière à peine exsertes.

Longueur : 2,5 à 3,0 mm.

DISTRIBUTION GÉOGRAPHIQUE : riv. Bishakishaki, Kamatembe (alt. 2.100 m., 11-22.IV.1934), holotype ♀; Shamuheru, volcan Nyamuragira (alt. 1.820 m., 14-15-26.VI.1935); Ngesho (alt. 2.000 m., 3-6.IV.1934); Rutshuru (alt. 1.285 m., 2.VII.1934); Kanyabayongo, Kabasha (alt. 1.760 m., 7.XII.1934), allotype ♂; Gitebe, volcan Nyamuragira (alt. 2.324 m., 14-26.III.1935); Mushumangabo, volcan Nyamuragira (alt. 2.075 m., 14-26.VI.1935); lac Gando, volcan Karisimbi, Ruanda (alt. 2.400 m., 6-9.III.1935); lac Magera (alt. 2.000 m., 27-28.II.1934); Kalondo, lac Ndaraga, Mokoto (alt. 1.750 m., 22-27.III.1934); Kinyamahura, Djomba (alt. 1.800 m., 23.VIII.1934); Nyarusambo, Kikere (alt. 2.226 m., 28-29.VI, 2.VII.1934); Burunga, Mokoto (alt. 2.000 m., 2.VII.1934); Ruhengeri, riv. Penge, Ruanda (alt. 1.800-1.825 m., 4-5.X.1934); Tshumba, Mushari (alt. 2.100 m., 28.IV, 1.V.1934); Rutshuru, riv. Musugereza (alt. 1.100 m., 4.VII.1935); Kamatembe, forêt primaire (alt. 2.100 m., 15-20.IV.1934); Rutshuru, rivière Fuku (alt. 1.250 m., 5.VII.1935); Rutshuru, riv. Lubirizi (alt. 1.285 m., 13.VII.1935); Nyabirehe, pied du volcan Karisimbi, Ruanda (alt. 2.000 m., 22.II.1935); vers Rweru, volcan Mikeno, forêt de Bambous (alt. 2.400 m., 26-27.VII.1934); vers Kamatembe (alt. vers 2.300 m., 7-23.I.1935); Ruhengeri, sources Kirii, Ruanda (alt. 1.800-1.825 m., 3.X.1934); mont Sesero, près de Bitashimwa (alt. 2.000 m., 1-2.VIII.1934); Nyongera, près de Rutshuru (alt. 1.218 m., 18.VII.1935); Bitale, lac Bulero, Ruanda (alt. 1.862 m., 11.IX.1934); Mushumangabo (alt. 2.075 m., 14.VI.1935); 66 exemplaires : 49 ♂♂, 17 ♀♀.

Cette espèce se place, dans la clef de WILKINSON, avec l'espèce paléarctique *Ap. salebrosus* MARSHALL, elle s'en sépare par les caractères suivants : ailes enfumées, toutes les pattes noires, hanches postérieures mates et étroitement ponctuées; 2° tergite plus court que le 3°.

VARIATIONS : Cette espèce présente de notables variations portant sur les caractères suivants : tegulae, apex de toutes les hanches, trochantelles I ou tous, ou trochanters et trochantelles, apex des fémurs I, tibias et tarses I, rouge testacé; ponctuation de la face plus dense, celle du mésonotum un peu plus forte et plus espacée, tégument moins mat; sculpture du tergite II à stries dominantes; sculpture du tergite III d'intensité variable, limitée à un large triangle médian ou comprenant tout le tergite sauf une étroite bande apicale.

87. — **Apanteles transutus** sp. n.

(Fig. 219-221.)

Espèce ayant une grande analogie avec *Ap. nycteus*, dont elle se différencie par les caractères suivants :

♂ ♀ : noirs; tegulae, sclérites axillaires, costale à la base, pattes I (sauf un peu la base des hanches ainsi qu'une enfumure étendue sur la face externe des fémurs et des tarses), hanches (sauf la face supérieure), trochanters, trochantelles, confusément la base des fémurs et la base des tibias des pattes II, trochanters, trochantelles et extrême base des fémurs (en dessous) des pattes III, sternites de la base, rouge testacé; tarses I et II, brun rougeâtre; tarses III brunâtres; palpes rouge testacé à pâle; éperons des II et III pâles; ailes moins fortement enfumées que chez *Ap. nycteus*.

♂ ♀ : articles préapicaux du flagellum en moyenne 2 fois plus longs que larges chez la ♀, 3,5 fois chez le ♂ (fig. 219 et 220); ponctuation du méso-



219



220

Fig. 219-220. — *Apanteles transutus* sp. n.

Fig. 219. — Sommet de l'antenne ♂. Fig. 220. — Sommet de l'antenne ♀.

notum un peu plus forte (degré 4); cochléar mésopleural marqué souvent d'un sillon longitudinal crénelé; obliquité de la 1<sup>re</sup> abcisse de la radiale moins forte; tergite I, 1,5 fois plus long que sa largeur apicale, 1,8 fois sa largeur basale et 1,28 fois sa plus grande largeur située au 1/4 apical environ, ses bords latéraux droits, divergents jusqu'à l'apex tronqué dont les angles sont plus arrondis que chez *Ap. nycteus*; tergite II plus long de 1/6 que la largeur apicale du I, 1,2 fois sa propre largeur et égal à la longueur du III (14 : 12 : 17 : 14) (fig. 221); sculpture des trois tergites basilaires identique à celle des tergites correspondants de *Ap. nycteus*, la crête médiane du I et la carène médiane du II parfois plus distinctes; hypopygium un peu plus saillant et valves de la tarière paraissant un peu plus fortes.

Longueur : 3 mm.

VARIATIONS : Comme *Ap. nycteus* et, peut-être dans des proportions plus fortes, cette espèce présente une certaine gamme de variations :

Hanches I, entièrement ou presque pas, II partiellement, entièrement ou pas du tout, fémurs I entièrement ou très partiellement, tous les trochanters et trochantelles entièrement ou partiellement; bords latéraux membraneux des tergites I et II et même du III, rouge testacé; crête ou carène médiane des

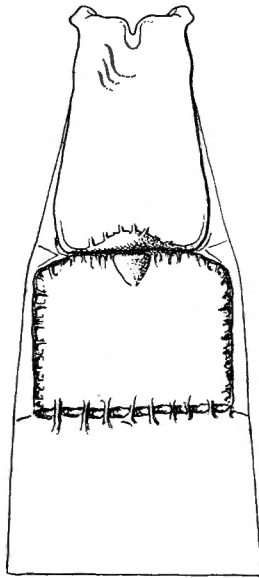


Fig. 221. — *Apanteles transutus* sp. n.,  
détail des trois premiers tergites abdominaux.

tergites I et II et protubérance basale de ce dernier, parfois très évidentes ou complètement absentes; striation du tergite II quelquefois très bien marquée ou à peine perceptible; sculpture du tergite III, plus ou moins aciculée, souvent presque striolée, ou très faible, ne comprenant qu'une grande aire médiane obtriangulaire ou toute la largeur du tergite, cependant toujours plus faible latéralement et n'atteignant jamais le bord apical.

DISTRIBUTION GÉOGRAPHIQUE: vers Rweru, volcan Mikenô, forêt de Bambous (alt. 2.400 m., 3.VII.1934), holotype ♀ et paratypes; vers le mont Kamatembe (vers 2.300 m., 7-23.I.1935); mont Sesero, près de Bitashimwa, forêt de Bambous (alt. 2.000 m., 1-2.VIII.1934); lac Gando, volcan Karisimbi, Ruanda (alt. 2.400 m., 6.III.1935); Kashwa, entre Ngesho et Bishakishaki (alt. 2.000 m., 7-23.XII.1935); lac Magera (alt. 2.000 m., 27-28.II.1934); Nyarusambo, Kikere (alt. 2.226 m., 28-29.VI.1934); Ruhengeri, riv. Penge, Ruanda (alt. 1.800-1.825 m., 30-31.VIII.1934); Ruhengeri, sources Kirii, Ruanda (alt. 1.800-1.825 m., 31.VIII.1934-1.X.1934); Burunga, Mokoto (alt. 2.000 m., 15-16.III.

1934), allotype ♂; Kitondo, près de Gandjo (alt. 2.000 m., 7-23.I.1935); Mayumbu, volcan Nyamuragira (alt. 2.100 m., 14-26.VI.1935); Tshamugussa, Bweza, forêt de Bambous (alt. 2.250 m., 10.VIII.1934); Tshumba, Mushari (alt. 2.100 m., 28-IV, 1.V.1934); riv. Bishakishaki, Kamatembe (alt. 2.100 m., 11-22.IV.1934); forêt près de Kamatembe (alt. 2.200 m., 12.IV.1934); Gitebe, volcan Nyamuragira (alt. 2.324 m., 14-26.VI.1935); Ngesho (alt. 2.000 m., 3-6.IV.1934); lac Kanyamenoni, vers le volcan Musule (alt. 2.300 m., 14.VIII.1934); Nyabirehe; volcan Karisimbi, Ruanda (alt. 2.000 m., 22.II.1935); Kanyabayongo, Kabasha (alt. 1.760 m., 7.XII.1934); 36 exemplaires : 23 ♂♂, 13 ♀♀.

Cette espèce est caractérisée par la forme des tergites I et II, ce dernier étant presque carré, tandis qu'il est nettement transverse chez *Ap. nycteus*, c'est le caractère essentiel d'après lequel ces deux espèces peuvent être séparées.

\*  
\* \*

Un groupe d'exemplaires, originaires des localités citées ci-après, présentent simultanément certains caractères d'*Ap. nycteus* et d'*Ap. transutus*. Je ne suis pas parvenu à les séparer. Les pièces génitales ne présentent pas de différences sensibles; ils offrent les mêmes détails de sculpture et de ponctuation à peu de différence près, hypopygium tronqué, formes générales identiques, variation dans les articles apicaux des antennes et les longueurs respectives des 2<sup>e</sup> et 3<sup>e</sup> tergites abdominaux.

Il est possible que parmi ces exemplaires figurent des espèces différentes, comme il est possible aussi que ce ne soit qu'un mélange d'aberrations des espèces citées ci-après. Des données biologiques seraient nécessaires pour les séparer.

DISTRIBUTION GÉOGRAPHIQUE: vers Rweru, volcan Mikeno, forêt de Bambous (alt. 2.400 m., 3 et 26-27.VII.1934), 20 ♂♂, 16 ♀♀; Rutshuru, riv. Musugereza (alt. 1.100 m., 10.VII.1935), 1 ♀; Rutshuru (alt. 1.285 m., 6.VI., 2 et 4.VII.1935, 16.X.1934), 9 ♂♂, 4 ♀♀; Rutshuru, riv. Rodahira (alt. 1.200 m., 1.VII.1935), 1 ♀; Rutshuru, riv. Fuku (alt. 1.200 m., 6.VII.1935), 2 ♂♂; Rutshuru, riv. Kanzarue (alt. 1.200 m., 15.VII.1934), 1 ♂; Rutshuru, riv. Lubirizi (alt. 1.285 m., 13.VII.1935), 2 ♀♀; lac Magera (alt. 2.000 m., 27-28.II.1923), 2 ♂♂, 1 ♀; Nyakibumba, près de Kikere (alt. 2.250 m., 5.VII.1934), 1 ♂, 1 ♀; mont Tamira, près du lac Gando, Ruanda (alt. 2.000 m., 11.III.1935), 1 ♂, 1 ♀; Ruhengeri, riv. Penge, Ruanda (alt. 1.800-1.825 m., 4-5.X.1934), 2 ♂♂, 5 ♀♀; Tshamugussa, Bweza, forêt de Bambous (alt. 2.250 m., 10.VIII.1934), 1 ♂, 2 ♀♀; Kundhuru ya Tshuve, Ruanda, forêt de Bambous (alt. 2.600 m., 15.IX.1934), 2 ♂♂, 1 ♀; Ruhengeri, sources Kirii, Ruanda (alt. 1.800-1.825 m., 31.VIII.1934), 4 ♂♂, 1 ♀; Ruhengeri, Moruguhu, Ruanda (alt. 1.800-1.825 m., 6.II.1935), 1 ♂; Ruhengeri, Mugara Kigombe, Ruanda (alt. 1.800-1.825 m., 6.II.1935), 1 ♂; Nyarusambo (alt. 2.000 m.,

2.VII.1934), 1 ♂; mont Sesero, près de Bitashimwa, forêt de Bambous (alt. 2.000 m., 1-2.VIII.1934), 12 ♂♂, 5 ♀♀; Nyabirehe, volcan Karisimbi, Ruanda (alt. 2.000 m., 22.II.1935), 2 ♂♂, 9 ♀♀; Tshumba, Mushari (alt. 2.100 m., 28.IV, 1.V.1934), 1 ♂, 1 ♀; Burunga, Mokoto (alt. 2.000 m., 15-16.VI.1934), 6 ♂♂, 1 ♀; May ya Moto (alt. 950 m., 15.XI.1934), 1 ♂; Ilega, volcan Karisimbi, Ruanda (alt. 2.400 m., 12.III.1935), 2 ♂♂; Kitondo, près de Gandjo (alt. 2.000 m., 7-23.I.1935), 3 ♂♂, 3 ♀♀; Nyarusambo (alt. 2.000 m., 2.VII.1934), 1 ♀; Shamuhuru, volcan Nyamuragira (alt. 1.800 m., 14-26.VI.1935), 2 ♂♂, 1 ♀; riv. Bishakishaki, Kamatembe (alt. 2.100 m., 11-23.IV.1934), 3 ♂♂, 6 ♀♀; Nyasheke, volcan Nyamuragira (alt. 1.820 m., 14-26.VI.1935), 2 ♂♂, 1 ♀; Ngesho (alt. 2.000 m., 7-23.I.1935), 1 ♂; Tshengelero, près de Munagana (alt. 1.750 m., 17.VIII.1934), 2 ♂♂, 1 ♀; Kalondo, lac Ndaraga, Mokoto (alt. 1.750 m., 17.VIII.1934), 2 ♂♂; Mushumangabo, volcan Nyamuragira (alt. 2.075 m., 14-26.VI.1935), 2 ♂♂, 1 ♀; Munagana, vers Gahinga-Sabinyo (alt. 2.200 m., 18.VIII.1934), 2 ♀♀; lac Gando, volcan Karisimbi, Ruanda (alt. 2.400 m., 7-8.III.1935), 4 ♂♂, 2 ♀♀; lac Kanyamenoni, vers le volcan Musule (alt. 2.300 m., 14.VIII.1934), 1 ♂; Kashwa, entre Ngesho et Bishakishaki (alt. 2.000 m., 7-23.VII.1935), 2 ♂♂; Kinyamahura, Djomba (alt. 1.800 m., 23.VIII.1934), 2 ♀♀; forêt près de Kamatembe (alt. 2.200 m., 12.IV.1934), 1 ♂; vers le mont Kamatembe (alt. vers 2.300 m., 7-23.I.1935), 1 ♂; Kamatembe, forêt primaire (alt. 2.100 m., 15-20.IV.1934), 5 ♂♂, 1 ♀; riv. Molindi entre Kirumba et le lac Kibuga (alt. 1.000 m., 31.IV-2.V.1934), 1 ♀ : 177 exemplaires : 104 ♂♂, 73 ♀♀.

### Groupe U.

Premier tergite abdominal de forme variable; 2<sup>e</sup> tergite fortement transverse et beaucoup plus court que le 3<sup>e</sup>, délimité par des sillons latéraux, ou, comme dans le groupe A, orné de sillons discaux divergents, mais dans ce cas, il est toutefois habituellement plus court que le 3<sup>e</sup>; propodeum aréolé ou portant une carène longitudinale médiane ou sans carénation, l'aréole peut être seulement esquissée à l'apex ou totalement absente; jamais de costules; valves de la tarière généralement longues et insérées au sommet des plaques oblongues.

#### 88. — *Apanteles thespis* sp. n.

(Fig. 222-224.)

♂♀ : noirs; palpes, tegulae, pattes I et II y compris les hanches (tarses légèrement plus sombres), apex des hanches (plus de la moitié apicale en dessous), fémurs (sauf en dessus vers l'apex) des pattes III, bords latéraux membraneux du tergite I parfois et sternites de la base, rouge testacé; pattes ailleurs, brunâtres (sauf les hanches III), tibias III progressivement assombris de la base au sommet; éperons des tibias III, pâles; ailes hyalines, nervation à la base des ailes, rouge testacé, ailleurs brun clair y compris le stigma qui est assez diaphane discalement, costale brune.

♂ ♀. *Tête* : face un peu plus large que longue, légèrement proéminente médialement, terne, à ponctuation petite, assez dense et irrégulière; clypéus plus brillant que la face, différencié de celle-ci et un peu surélevé; ostioles faciales plus près de l'apex du clypéus que des yeux; vertex très finement ponctué; occiput plus densément; espace oculo-ocellaire plus grand que la distance entre les ocelles postérieurs; antennes plus longues que le corps, à articles allongés; 1<sup>er</sup> article du flagellum 4 fois plus long que large chez la ♀ (12 : 3), 3 fois chez le ♂ (12 : 4).

*Thorax* : mésonotum brillant à légèrement satiné, à ponctuation (degré 2) assez dense, mais plutôt mal définie, devenant très petite, presque inapparente à la base au milieu; sillon préscutellaire droit, étroit et faiblement crénelé; disque du scutellum un peu plus long que sa largeur basale, plat, à apex aigu, brillant et portant quelques imperceptibles pointillés rares, virtuellement lisse; partie antérieure des axillae lisse et mate, parfois légèrement crénelée sur les bords interne et postérieur; mésopleures faiblement satinés, ponctués grossièrement mais assez superficiellement à l'avant, lisses ailleurs; propodeum mat, à sculpture plus ou moins fortement ruguleuse, dissimulant une ponctuation sétigère, parfois plus lisse dans les angles latéro-postérieurs et divisé par une carène longitudinale médiane complète.

*Ailes* : 1<sup>re</sup> abcisse de la radiale égale aux 2/3 de la largeur du stigma et 1/5 plus courte que la transverso-cubitale, cette dernière plus épaisse et à angle

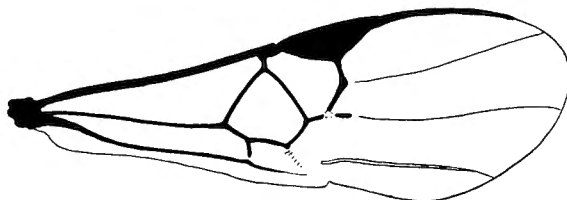


Fig. 222. — *Apanteles thespis* sp. n.,  
détail de la nervation de l'aile antérieure.

avec la précédente; partie apicale de la 1<sup>re</sup> abcisse de la cubitale et partie pigmentée de la 2<sup>e</sup> abcisse, environ égales et un peu plus longues que la moitié de la récurrente; stigma plus court que le métacarpe (fig. 222).

*Pattes III* : hanches sétifères, portant une forte ponctuation un peu rugueuse sur la partie supérieure à la base et une grande aire lisse sur la face externe, ailleurs petitement et densément ponctuées; fémurs à petite ponctuation longuement sétigère. Proportions : hanches, 14/35; fémurs, 9/44; tibias, 7/48; tarses : I, 26; II, 11; III, 10; IV, 7; V, 8; le plus long éperon des tibias distinctement moins de la 1/2 et le plus court moins du 1/4 de la longueur des métatarses.

*Abdomen* : tergite I, mat, plus ou moins lisse basalement, rugueux à ruguleux dans le 1/3 apical, faiblement excavé à la base et légèrement proéminent médialement dans les 2/3 apicaux, plat vers l'apex et à peine courbé, sa longueur médiane 3,33 fois plus grande que sa largeur apicale

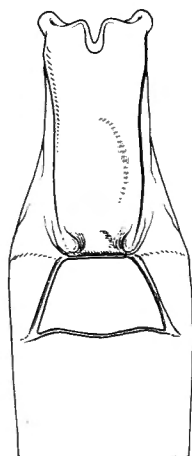


Fig. 223. — *Apanteles thespis* sp. n. ♂.  
détail des trois premiers tergites abdominaux.

et 2,22 fois sa largeur basale (20 : 6 : 9), ses bords latéraux faiblement incurvés vers le milieu, convergents légèrement vers l'apex tronqué, celui-ci porte, dans les angles latéraux, une petite excavation formant ainsi un étranglement de la partie médiane plus ou moins tuberculée; tergite II assez mat, très finement et peu distinctement sculpté, à sillons discaux à peu près droits et divergents jusqu'à la 2° suture à un angle d'environ 45°, sa lon-

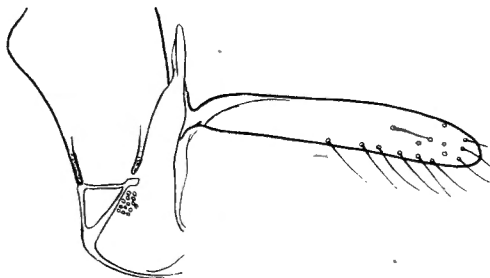


Fig 224. — *Apanteles thespis* sp. n. ♀, valve de la tarière.

gueur médiane à peine plus longue que la largeur apicale du I et 1,57 fois plus courte que celle du III (7 : 6 : 11) chez le ♂ (fig. 223); 2° suture sinuée et bien marquée; tergite III portant quelques petits pointillés sétigères dans la moitié apicale, brillant comme les suivants; chez la ♀, le tergite I présente une rugosité plus grossière que chez le ♂ et son apex est émarginé,

le tergite II est plus court, égal à la largeur apicale du I et par suite près de la moitié de la longueur du III (6 : 6 : 11), sa rugosité est également un peu plus accusée et la 2<sup>e</sup> suture est moins sinuée; hypopygium court et aigu; valves de la tarière courtes, ne dépassant pas la moitié de la longueur des métatarses (fig. 224).

Longueur : 2,8 à 3 mm.

DISTRIBUTION GÉOGRAPHIQUE : Burunga, Mokoto (alt. 2.000 m., 15-16.III.1934), holotype ♀ et 1 paratype ♀; vers Rweru, volcan Mikeno, forêt de Bambous (alt. 2.400 m., 3 et 26.VII.1934), allotype ♂; volcan Visoke (alt. 2.800 à 3.300 m., 13-14.II.1935); 6 exemplaires : 3 ♂♂, 3 ♀♀.

OBSERVATION : Il est probable que cette espèce devra être placée dans un autre groupe, comme le fait soupçonner l'insertion des valves de la tarière. Un plus abondant matériel sera nécessaire pour permettre l'étude de l'appareil génital et des sternites abdominaux.

#### 89. — *Apanteles montanus* sp. n.

(Fig. 225-229.)

♂ ♀ : noirs; pièces buccales (sauf le labre), palpes, pattes I et II y compris les hanches, trochanters, trochantelles, fémurs et extrême base des tibias des pattes III, sternites de la base, hypopygium, rouge testacé; tibias ailleurs et tarses des pattes III, bruns; propectus, brun rougeâtre, tendant au rouge testacé; éperons des tibias III rouge brunâtre; ailes légèrement enfumées, présentant parfois une légère coloration jaunâtre; stigma opaque, brun comme les nervures, costale brun noirâtre. Chez certains spécimens et notamment chez les ♂♂, les hanches III sont rougeâtres à l'apex, ou à forte tendance au rougeâtre; un spécimen ♀ a les fémurs III très sombres, presque bruns.

♂ ♀. *Tête* : ligne faciale un peu plus courte que la transfaciale; face faiblement proéminente médialement, brillante, à petite ponctuation superficielle et peu densément placée; clypéus à peine différencié de la face; ostioles faciales plus près de l'apex du clypéus que des yeux; vertex brillant, imperceptiblement ponctué, virtuellement lisse; occiput à ponctuation à peine plus prononcée que celle du vertex; ocelles disposés à peu près en triangle équilatéral, les postérieurs beaucoup plus près l'un de l'autre que des yeux; antennes de la ♀ égales à la longueur du corps plus une fois la tête, à la longueur du corps plus une fois l'abdomen chez le ♂; 1<sup>er</sup> article du flagellum environ 3 fois plus long que large dans les deux sexes (fig. 225 et 226).

*Thorax* : mésonotum brillant, à ponctuation (degré 4) bien marquée, les pointillés séparés par une distance égale ou un peu moindre que leur propre diamètre, cette ponctuation est un peu plus faible antérieurement et latéralement; sillon préscutellaire droit et irrégulièrement crénelé; disque du

scutellum assez plat, brillant, à ponctuation rare et superficielle; méso- et métapleures lisses et brillants à très fine ponctuation sétigère postérieurement, cochléar marqué d'un sillon plus ou moins lisse; propodeum entièrement brillant et ruguleux, orné d'une carène longitudinale médiane complète, mince, généralement peu distincte, mais toujours présente.

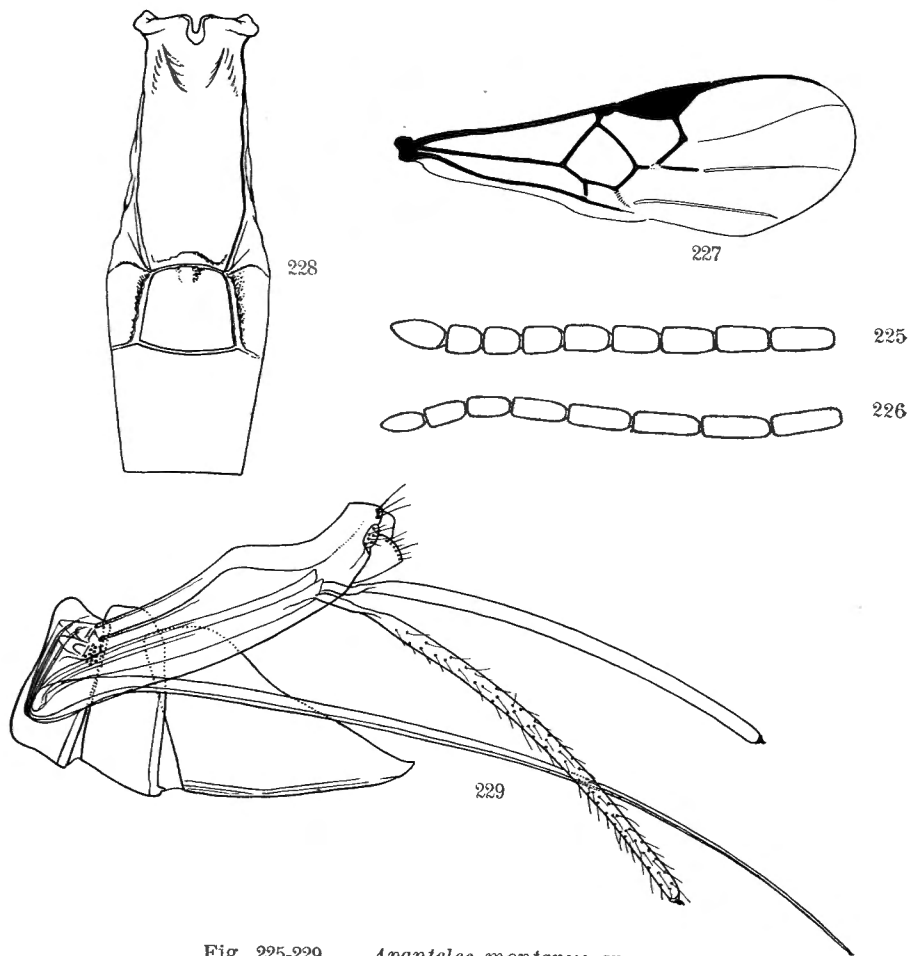


Fig. 225-229. — *Apanteles montanus* sp. n.

Fig. 225. — Sommet de l'antenne ♀. Fig. 226. — Sommet de l'antenne ♂.

Fig. 227. — Détail de la nervation de l'aile antérieure.

Fig. 228. — Détail des trois premiers tergites abdominaux.

Fig. 229. — Hypopygium et genitalia, vus de profil.

*Ailes* : 1<sup>re</sup> abcisse de la radiale ayant son origine près du tiers distal du stigma, distinctement plus courte que la largeur de celui-ci, environ égale aux 2/3 de la longueur de la transverso-cubitale et formant un angle accusé avec elle, leur point de jonction marqué par un épaississement externe;

partie apicale de la 1<sup>re</sup> abcisse de la cubitale égale à la moitié de la transverso-cubitale et aux 2/3 de la récurrente; partie pigmentée de la 2<sup>e</sup> abcisse de la cubitale d'une longueur inhabituelle, au moins aussi longue que la transverso-cubitale; stigma plus court que le métacarpe (fig. 227).

*Pattes III* : hanches brillantes, aciculées et petitement ponctuées sur la facette plane en dessus à la base, lisses ailleurs, ou portant quelques rares petits pointillés, aciculées à la base vers la partie inférieure; fémurs brillants à faible ponctuation. Proportions : hanches, 14/25; fémurs, 9/38; tibias, 7/46; tarsi : I, 20; II, 10; III, 8; IV, 6; V, 8; le plus long éperon des tibias près de la 1/2 et le plus court les 2/5 de la longueur des métatarses.

*Abdomen* (fig. 228) : tergite I brillant, excavé et plus ou moins lisse près de la base, faiblement courbé au delà du milieu, grossièrement ruguleux et proéminent dans la moitié apicale, sa longueur médiane 3 fois sa largeur apicale, un peu plus de 2 fois sa largeur basale et 2 fois sa plus grande largeur située au 1/4 apical (20 : 7 : 9 : 9,5), ses bords latéraux faiblement divergents jusqu'au 1/4 apical, légèrement convergents ensuite jusqu'à l'apex régulièrement émarginé et à angles non arrondis; tergite II, brillant, ruguleux, portant une aire médiane lisse et brillante à la base et quelques petites soies vers l'apex, ses sillons latéraux bien marqués, droits et faiblement divergents jusqu'à la 2<sup>e</sup> suture, celle-ci également bien marquée et arquée vers l'apex, longueur médiane du tergite II un peu plus longue que la largeur apicale du I et au moins égale aux 4/5 de la longueur médiane du III (8 : 7 : 10-11); tergites III et suivants lisses et brillants, portant une rangée de petites soies près de l'apex; hypopygium largement membraneux à apex prolongé, aigu; valves de la tarière grêles, de la longueur des tarsi III (fig. 229).

Longueur : 2,5 mm.

**DISTRIBUTION GÉOGRAPHIQUE** : Shamuheru, volcan Nyamuragira (alt. 1.843 m., 15.VI.1935), holotype ♀, allotype ♂, 1 paratype ♂; Nyasheke, volcan Nyamuragira (alt. 1.820 m., 14-26.VI.1935); forêt près de Kamatembe (alt. 2.200 m., 12.IV.1934); Burunga, Mokoto (alt. 2.000 m., 15-16.III.1934); 9 exemplaires : 4 ♂♂, 5 ♀♀.

**AFFINITÉS** : Par la conformation du 1<sup>er</sup> tergite abdominal et surtout du 2<sup>e</sup>, cette espèce pourrait se placer dans le groupe A, toutefois, j'estime que les caractères de l'hypopygium et des valves de la tarière, très particuliers, l'éloignent complètement de ce groupe et l'apparentent aux espèces appartenant au groupe U.

#### 90. — *Apanteles uroxys* DE SAEGER.

*Apanteles uroxys* DE SAEGER, Rev. Zool. Bot. Afr., XXXV, 1941, p. 223, ♀.

**DISTRIBUTION GÉOGRAPHIQUE** : Congo Belge : Eala (Équateur); collection DE WITTE : Luofu (alt. 1.700 m., 10.XII.1934); Burambi, volcan Muhavura,

Ruanda (alt. 2.325 m., 5.IX. 1934); Rutshuru, riv. Musugereza (alt. 1.100 m., 10.VII.1935); 3 exemplaires : 2 ♀ ♀, 1 ?.

*Hôte* : ex-fleurs de *Coelocaryon staneri* GHESQ., (*Myristicacées*) + *Crystallozyga anthotropha* GHESQ. (Phycitidae). Cette Phycite était erronément déterminée dans les collections du Musée du Congo, sous le nom de *Myelois ceratoniae* ZELL. J'ai reproduit cette erreur — in fine — de la description originale.

*Cocon*, inconnu.

91. — **Apanteles burunganus** sp. n.

(Fig. 230-232.)

♀ : noire; toutes les pattes (sauf les hanches, tiers apical des tibias III et tarses III depuis le quart basal des métatarses), palpes, tegulae, sclérites axillaires, base de la costale et partie membraneuse de l'hypopygium, rouge testacé; tarses II légèrement enfumés; apex des tibias et tarses III ailleurs, bruns; ailes hyalines à soies nombreuses dans la moitié distale; stigma opaque, brun, ainsi que la costale ailleurs, métacarpe, 1<sup>re</sup> abcisse de la radiale, transverso-cubitale et partie pigmentée de la 2<sup>e</sup> abcisse de la cubitale, les autres nervures jaune testacé.

♀. *Tête* : face carrée, mate, à petite ponctuation (degré 1), régulière, un peu saillante, portant une courte carène médiane à petites stries transversales de chaque côté, à la partie supérieure; clypéus faiblement différencié de la face; ostioles faciales à égale distance entre les yeux et l'apex du clypéus; vertex densément et très petitement ponctué, à légèrement chagriné; occiput un peu plus fortement ponctué que le vertex; espace oculo-ocellaire plus long que la distance séparant les ocelles postérieurs; antennes de la longueur du corps; 1<sup>er</sup> article du flagellum 3,7 fois plus long que large (13 : 3,5) (fig. 230).

*Thorax* : mésonotum assez mat, à ponctuation (degré 3) étroitement placée, particulièrement le long des lignes des notaulices, présentant un aspect presque rugueux, à petites soies courtes; sillon présutellaire droit, irrégulièrement crénelé; disque du scutellum plus long que sa largeur basale, à faible convexité, à ponctuation plus distincte et plus séparée que celle du mésonotum, absente discalement où le tégument est satiné; méso-pleures lisses et brillants, sauf une ponctuation antérieure, mal définie, cochléar bien marqué, aciculé à striolé; métapleures lisses antérieurement, vaguement ponctués postérieurement, à sillon médian lisse et superficiel; propodeum grossièrement rugoso-ponctué, marqué d'une aréole à carènes fortes mais irrégulières, en forme de V à l'apex et n'atteignant pas la base à laquelle elle est reliée par une carène longitudinale médiane, présence ou absence de costules, indéterminable, aréole parfois assez mal marquée.

*Ailes* : 1<sup>re</sup> abcisse de la radiale paraissant un peu plus longue que la largeur du stigma, ne formant pas un angle marqué avec la transverso-

cubitale qui paraît un peu plus courte, ces nervures présentent un léger épaississement à leur point de jonction; partie apicale de la 1<sup>re</sup> abcisse de la cubitale égale aux 2/3 de la récurrente, qui, elle-même, est égale ou un peu plus courte que la transverso-cubitale; stigma plus court que le métacarpe.

*Pattes III* : hanches satinées, portant quelques grosses ponctuations, assez mal définies, sur la facette plane en dessus à la base et une petite ponctuation peu dense ailleurs, paraissant, cependant, présenter une aire lisse sur la face externe. Proportions : hanches, 25/38; fémurs, 14/48; tibias, 9/58;

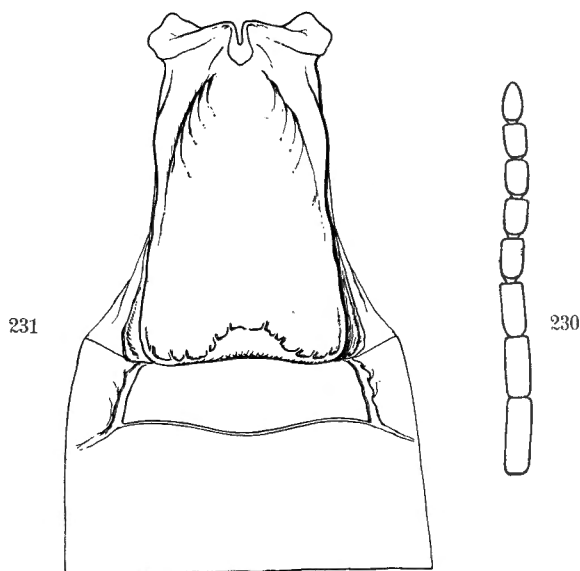


Fig. 230-231. — *Apanteles burunganus* sp. n. ♀.

Fig. 230. — Sommet de l'antenne.

Fig. 231. — Détail des trois premiers tergites abdominaux.

tarses : I, 33; II, 12; III, 10; IV, 8; V, 8; le plus long éperon des tibias un peu moins de la 1/2 et le plus court un peu moins du 1/3 de la longueur des métatarses.

*Abdomen* (fig. 231) : tergite I brillant, excavé à la base médialement, courbé un peu avant la moitié et proéminent au milieu, plat dans la partie apicale, ruguleux dans le 1/3 basal, rugoso-ponctué ailleurs et portant à l'apex une petite aire médiane lisse et brillante; longueur médiane du tergite environ 1,5 fois plus longue que sa largeur apicale et un peu plus de 2 fois sa largeur basale (30 : 19 : 14), ses bords latéraux divergents de la base à l'apex émarginé, dont les angles sont arrondis; tergite II plus large à la base que l'apex du I, à tégument finement sculpté, subchagriné, portant une rangée de pointillés près de l'apex et quelques pointillés latéraux,

ses sillons latéraux courts, bien marqués et légèrement divergents; sa longueur médiane environ le 1/3 de la largeur apicale du I et la 1/2 de la longueur médiane du III; 2<sup>e</sup> suture fine, bisinuée; tergite III satiné à brillant, à petite ponctuation localisée latéralement; hypopygium saillant, largement membraneux, à apex relevé, fendu et pourvu d'un foramen préapical placé à environ 3 fois son diamètre de l'apex; valves de la tarière de la longueur des tarsi III, à bords parallèles, à peine élargies distalement (fig. 232).

Longueur : 3 mm.; ♂, inconnu.

DISTRIBUTION GÉOGRAPHIQUE : Burunga, Mokoto (alt. 2.000 m., 15-16.III et 19.III.1934), holotype et paratypes; Nyarusambo (alt. 2.000 m., 30.VI-2.VII.

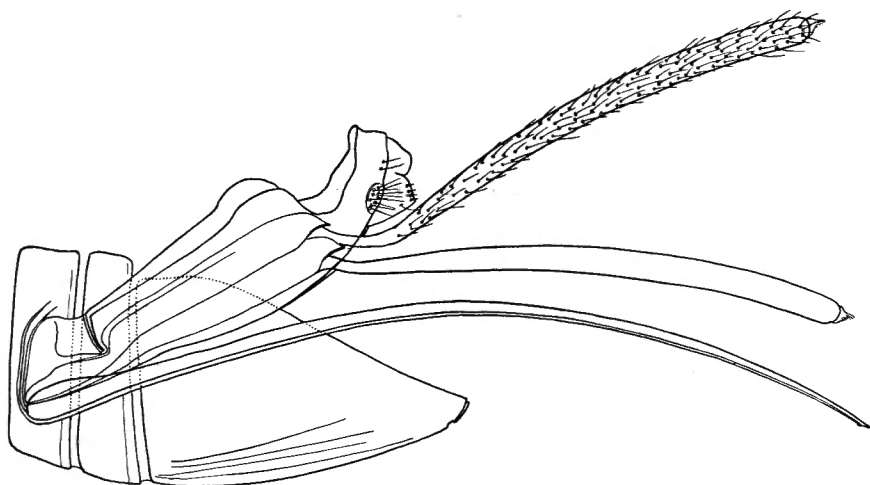


Fig. 232. — *Apanteles burunganus* sp. n., hypopygium et genitalia, vus de profil.

1934); Tshamugussa, Bweza, forêt de Bambous (alt. 2.250 m., 9.VIII.1934); 5 exemplaires ♀♀.

AFFINITÉS : *Ap. burunganus* se place au couplet 105 de la clef de WILKINSON, mais diffère de l'espèce éthiopienne *Ap. trochanterus* SZÉPL., notamment par une ponctuation du mésonotum différente, le 1<sup>er</sup> tergite abdominal plus long et la 2<sup>e</sup> suture bisinuée; par la sculpture, ne peut être confondu avec l'espèce javanaise *Ap. hyblaeae* WILKN. *Ap. burunganus* correspond, dans la clef de FAHRINGER, à l'espèce paléarctique *Ap. falcatus* NEES, mais s'en sépare par plusieurs caractères.

92. — ***Apanteles pyrodercetus*** DE SAEGER.

*Apanteles pyrodercetus* DE SAEGER, Rev. Zool. Bot. Afr., XXXV, 1941, p. 230, ♂♀.

CONGO BELGE : Congo Belge : Likete s/Lomela (Sankuru); coll. DE WITTE :

Shamuheru, volcan Nyamuragira (alt. 1.820 m., 4-26.VI.1935); 1 exemplaire ♀.

*Hôte* : *Pyroderces cecidicida* GHESQ. (Cosmopterygidae), se nourrissant de Cécidies foliaires provoquées par un Glyphiptérygide, sur *Berlinia heudelotiana* (Légum.).

*Cocon*, inconnu.

[93. — **Apanteles ghesquièrei** DE SAEGER.]

*Apanteles ghesquièrei* DE SAEGER, Rev. Zool. Bot. Afr., XXXV, 1942, p. 226, ♂ ♀.

CONGO BELGE : Ndele (Ituri); Rutshuru (Kivu); Costermansville (Kivu).

*Hôtes* : *Eublemma costimaculata* SAALM. (Noctuidae), chenilles prédatrices de Coccides *Inglisia* sp., sur Goyavier. Parasite solitaire. La chenille parasitée construit parfois son cocon, mais celui-ci est beaucoup plus petit que le cocon normal; *Eublemma* sp., chenilles prédatrices de Coccides *Stictococcus* sp., sur *Annona muricata*, durée de la nymphose 15 jours; *Eublemma costimaculata* SAALM., chenilles prédatrices de *Ceroplastes destructor* NWST., sur Caféier; *Eublemma costimaculata* SAALM., chenilles prédatrices de Lécanine Gn. sp., sur *Entada abyssinica* (Légum.); *Eublemma* sp., chenilles prédatrices de Lécanine Gn. sp., sur Goyavier. Durée de la nymphose, 15 jours (Kivu, janvier).

*Cocon*, inconnu.

a) **Apanteles ghesquièrei rufipes** ab. n.

(Fig. 233-234.)

Cette aberration ne diffère de l'espèce que par la coloration des pattes. Quelques détails de structure sont très légèrement différents, mais ils ne représentent guère que des variations qui ne modifient pas les caractères spécifiques essentiels; il en est ainsi pour le thorax, qui est distinctement plus robuste et pour la rugosité continuant les carènes de l'aréole du propodeum qui est, ici, presque inexistante.

Je donne, ci-après, la description de la coloration de cette aberration, suivie d'un complément de diagnose concernant aussi bien l'espèce que son aberration :

♀ : pattes I (excepté les hanches), moitié apicale des fémurs, tibias et tarses des pattes II, trochantelles et tibias des pattes III (sauf ces derniers à l'apex), rouge testacé; trochanters, trochantelles et moitié basale des fémurs des pattes II, environ le tiers apical des tibias III, rouge brunâtre; tarses III, jaune pâle testacé, à l'exception d'une faible enfumure sur chaque article, plus intense dans les 2/3 apicaux des métatarses et l'entièreté de l'article

apical; palpes et éperons des tibias, pâles; pièces buccales brunâtres; partie membraneuse de l'hypopygium, brune; ailes absolument hyalines, laiteuses, à petites soies incolores; stigma hyalin, à peine jaunâtre, étroitement bordé de brun; nervation complètement incolore, sauf la partie pigmentée de la 2<sup>e</sup> abcisse de la cubitale; costale légèrement jaunâtre; métacarpe brun rougeâtre.

*Tête* : ligne faciale nettement plus courte que la transfaciale, l'implantation des antennes étant assez basse (fig. 233 et 234).

*Pattes III* : proportions : hanches, 14/28; fémurs, 14/39; tibias, 9/48; tarses : I, 25; II, 11; III, 8; IV, 6; V, 7.

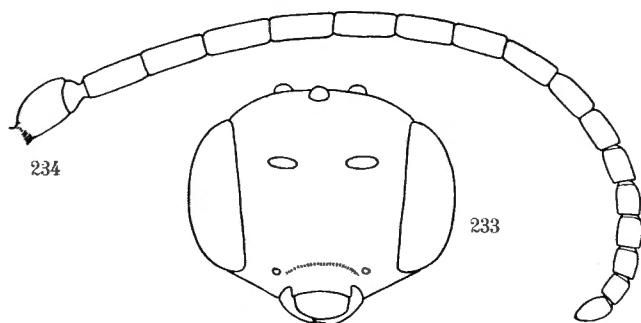


Fig. 233-234. — *Apanteles ghesquierei rufipes* ab. n. ♀.

Fig. 233. — Tête, vue de face. Fig. 234. — Antenne.

Vestiture de la tête et du thorax, plus forte que de coutume, constituée de soies incolores, particulièrement longues au sommet du mésonotum sur les lignes des notaulices, où elles sont apprimées et disposées en éventail.

Longueur : 3 mm.; ♂, inconnu.

DISTRIBUTION GÉOGRAPHIQUE : Ruhengeri, riv. Penge, Ruanda (alt. 1.800-1.825 m., 4-5.X.1934); 1 exemplaire ♀.

### Groupe S.

Premier tergite abdominal de forme variable; deuxième tergite comme dans le groupe U; propodeum toujours aréolé, aréole complète ou tout au moins très nettement présente apicalement; costules toujours présentes; valves de la tarière généralement longues et insérées au sommet des plaques oblongues.

#### 94. — *Apanteles nitidus* sp. n.

(Fig. 235-236.)

♀ : noire; pattes I et II depuis l'extrême apex des hanches (sauf les trois articles apicaux des tarses II qui sont enfumés), pattes III (sauf les hanches,

1/3 apical des tibias et tarses), rouge testacé; tarses III, brunâtres; palpes et éperons des tibias III, pâles; tegulae, sclérites axillaires et costale jusque près du stigma, jaune pâle testacé; costale ailleurs, bords antérieur et distal du stigma ainsi que le métacarpe, rouge brunâtre; partie membraneuse de l'hypopygium rougeâtre; ailes hyalines, à soies incolores ainsi que les nervures; stigma hyalin, très faiblement pigmenté, ainsi que la 1<sup>re</sup> abcisse de la radiale, transverso-cubitale et partie pigmentée de la 2<sup>e</sup> abcisse de la cubitale.

♀. *Tête* : ligne transfaciale plus grande que la faciale; face un peu proéminente médialement, brillante, à petite ponctuation (degré 1) assez dense, mais bien séparée; clypéus très faiblement différencié de la face; ostioles faciales beaucoup plus près de l'apex du clypéus que des yeux; vertex un peu moins, occiput un peu plus fortement ponctué que la face; espace oculo-ocellaire légèrement plus grand que la distance séparant les ocelles postérieurs (antennes brisées).

*Thorax* : mésonotum à forte ponctuation (au moins degré 4), bien séparée, profonde, cette ponctuation s'étalant largement à l'apex le long des lignes des notaulices mais laissant, au milieu, un étroit espace où la ponctuation est plus petite (degré 3) et plus superficielle ainsi que dans toute la partie médiane et les parties latérales, intervalles lisses et brillants, polis; sillon préscutellaire droit, étroit mais profond et faiblement crénelé : disque du scutellum très plat, un peu plus long que sa largeur basale, 2 fois plus large à la base qu'au sommet, très brillant, portant quelques pointillés (degré 2) bien marqués et espacés dans les 1/3 latéraux; partie lisse des axillae s'étendant jusqu'à la moitié de la largeur du disque et continuée presque jusqu'à la base de celui-ci par une partie à peine sculptée; mésopleures lisses et brillants, sauf une petite ponctuation antérieure, sans dépression cochléari-forme; suture méso-métopleurale petitement crénelée; métopleures lisses et brillants, sauf une fine sculpture très près du bord coxal, sillon médian lisse; propodeum brillant, à ponctuation distincte basalement aux costules, diminuant de force vers la base du propodeum; aréole tronquée et vaguement délimitée à l'apex par des carènes faibles, devenant rugueuses vers le milieu, dépourvue de carènes à la base, mais dessinée par une légère dépression et une surface plus lisse sans ponctuation, costules faibles, droites, tégument, apicalement à ces dernières, vaguement rugueux à lisse et brillant.

*Ailes* : 1<sup>re</sup> abcisse de la radiale insérée au stigma distinctement au delà du milieu, cette nervure et la transverso-cubitale régulièrement courbées, sans point de jonction discernable, leurs longueurs combinées environ 2 fois la largeur du stigma; sommet de la basale environ de la longueur de la partie apicale de la 1<sup>re</sup> abcisse de la cubitale et à peu près moitié moindre que la récurrente; partie pigmentée de la 2<sup>e</sup> abcisse de la cubitale, environ 1/3 plus courte que le sommet de la basale; stigma plus court que le métacarpe (fig. 235).

*Pattes III* : hanches très brillantes, portant quelques pointillés superficiels et de force moyenne sur la facette plane en dessus à la base, lisses sur une aire longitudinale à la face externe, ailleurs très petitement et éparsément ponctuées. Proportions : hanches, 16/32; fémurs, 13/44; tibias, 9/54; tarsi : I, 32; II, 14; III, 11; IV, 9; V, 11; épérons des tibias subégaux, le plus long un peu plus court que la moitié de la longueur des métatarses.

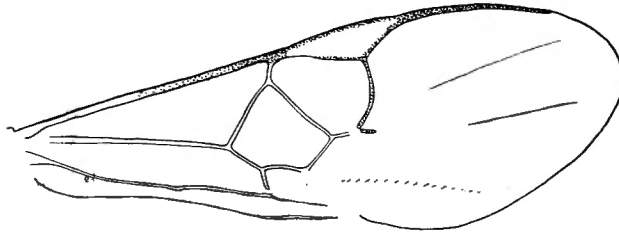


Fig. 235. — *Apanteles nitidus* sp. n. ♀, détail de la nervation de l'aile antérieure.

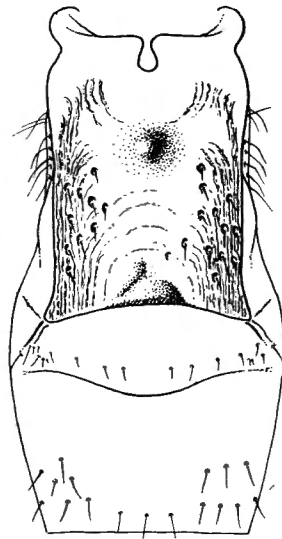


Fig. 236. — *Apanteles nitidus* sp. n. ♀, détail des trois premiers tergites abdominaux.

*Abdomen* (fig. 236) : tergite I brillant, excavé à la base, largement courbé au milieu et portant, un peu avant le milieu, une petite protubérance lisse et très brillante, tégument ruguleux près des bords latéraux, marqué de quelques pointillés latéralement dans les 2/3 apicaux environ, ailleurs à peu près lisse, longueur médiane du tergite 1,27 fois sa largeur apicale et 1,5 fois sa largeur basale (23 : 18 : 15), un peu élargi près de la base, à bords latéraux subparallèles, divergents près des angles apicaux qui sont, par suite, un peu

saillants, apex largement et fortement émarginé; tergite II poli, très brillant et lisse, sauf une rangée d'excessivement petits pointillés, sillons latéraux très courts, divergents, marqués seulement à la base, longueur médiane du tergite 2,25 fois plus courte que la largeur apicale du I, 2,62 fois plus courte que sa propre largeur apicale et 1,5 fois plus courte que la longueur médiane du III; 2<sup>e</sup> suture fine, sinuée; tergites III et suivants, brillants et lisses sauf quelques petits pointillés épars vers l'apex et latéralement; hypopygium membraneux sur sa ligne médiane à la face inférieure, à apex membraneux, très aigu et fendu; valves de la tarière plus longues que les tarsi III, environ de la longueur des tibias et métatarses III réunis, à pilosité assez forte.

Longueur : 3,2 mm.; ♂, inconnu.

DISTRIBUTION GÉOGRAPHIQUE : Ruhengeri, sources Kirii, Ruanda (alt. 1.800-1.825 m., 1.X.1934); 1 exemplaire holotype ♀.

AFFINITÉS : Cette espèce se place, dans la clef de WILKINSON, en même temps que l'espèce américaine *Ap. megathymi* RILEY, dont elle se sépare aisément; elle est très affine de *Ap. earterus* WILKN., dont elle possède également le stigma discalement hyalin, mais elle s'en différencie, notamment, par la coloration des fémurs postérieurs, la rugosité dans la partie médiane du propodeum et les valves de la tarière un peu plus longues.

95. — **Apanteles valvatus** sp. n.

(Fig. 237-239.)

♀ : noire; palpes, pattes I depuis les trochantelles, pattes II depuis l'extrême apex des fémurs (sauf l'article apical des tarsi), 3/5 basilaires des tibias et base des métatarses des pattes III, rouge-orange testacé; article apical des tarsi II enfumé; tarsi III brun noirâtre; éperons des tibias II et III pâles; tegulae et costale jaune pâle testacé; ailes hyalines, légèrement laiteuses, à soies incolores; métacarpe et stigma bruns, ce dernier marqué d'une faible éclaircie dans l'angle proximal; nervures sous le stigma faiblement pigmentées, toutes les autres incolores.

♀. *Tête* : face à peu près carrée, brillante, à très petite ponctuation; clypéus à peine différencié de la face; ostioles faciales plus près de l'apex du clypéus que des yeux; vertex satiné, plus imperceptiblement ponctué que la face; occiput satiné, plus densément ponctué que la face; espace oculo-ocellaire un peu plus grand que la distance séparant les ocelles postérieurs; (antennes brisées), 1<sup>er</sup> article du flagellum 3 fois plus long que large (12 : 4).

*Thorax* : mésonotum mat, à ponctuation (degré 3) étroitement placée, plus forte (degré 4) et plus profonde, presque rugueuse, le long des lignes des notaulices, pilosité assez longue apicalement et un peu apprimée; sillon préscutellaire droit, assez fortement crénelé; disque du scutellum plat, brillant et lisse, sauf quelques pointillés imperceptibles près des bords

latéraux; partie lisse des axillae étendue, dépassant la moitié de la longueur du disque du scutellum; mésopleures ponctués un peu moins densément que le mésonotum, lisse et brillant près de la base, cochléar à peine apparent; suture méso-métapleurale lisse; métapleures à peu près entièrement lisses, rugueux près du bord coxal, ponctués et à soies longues à la partie supérieure, sillon médian faiblement marqué; propodeum brillant, à petite ponctuation rugueuse, à soies longues, basalement aux costules, à peu près lisse apicalement à celles-ci et dans l'aréole, cette dernière à carènes fortes, arrondie à l'apex, presque en forme de U, carènes apicales droites et divergentes, basales un peu irrégulières et fermant l'aréole à peu près en arc de cercle au tiers basal du propodeum, à la base duquel elle est réunie par une courte carène longitudinale médiane; costules obliques antéro-postérieurement.

*Ailes* : 1<sup>re</sup> abcisse de la radiale insérée au stigma un peu au delà du milieu, plus longue que la largeur de celui-ci, plus du double de la longueur de la transverso-cubitale et légèrement incurvée, leur point de jonction un

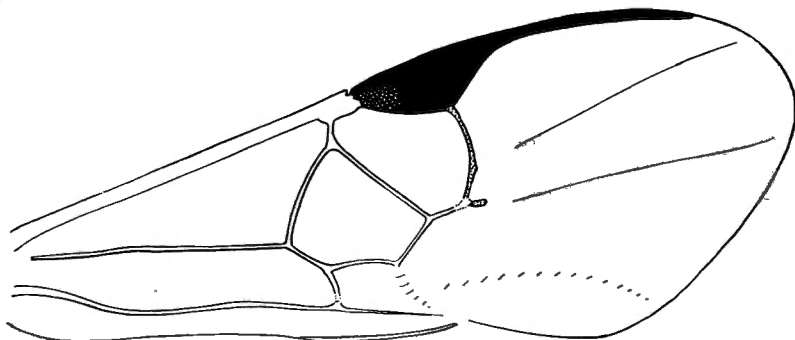


Fig. 237. — *Apanteles valvatus* sp. n. ♀, détail de la nervation de l'aile antérieure.

peu épaissi; partie pigmentée de la 2<sup>e</sup> abcisse de la cubitale très courte, environ égale à la 1/2 du sommet de la basale, un peu plus courte que la 1/2 de la partie apicale de la 1<sup>re</sup> abcisse de la cubitale, qui est elle-même égale aux 2/3 de la récurrente; stigma plus court que le métacarpe (fig. 237).

*Pattes III* : hanches mates, à ponctuation imperceptible, légèrement plus forte et un peu rugueuse sur la facette plane en dessus à la base. Proportions : hanches, 16/30; fémurs, 11/36; tibias, 9/44; tarses : I, 25; II, 10; III, 7; IV, 6; V, 8; le plus long éperon des tibias la 1/2 et le plus court le 1/3 de la longueur des métatarses.

*Abdomen* (fig. 238) : tergite I brillant, lisse et excavé dans la moitié basale, proéminent au milieu, ponctué (degré 3) un peu au delà du milieu, plus densément près de la proéminence, lisse vers l'apex, légèrement déprimé au milieu dans la moitié apicale; sa longueur médiane 1,8 fois ses

largeurs basale et apicale, qui sont égales, et 1,47 fois sa plus grande largeur située environ au tiers apical où il est courbé, ses bords latéraux sinués et divergents jusqu'à la plus grande largeur, convergents ensuite jusqu'à

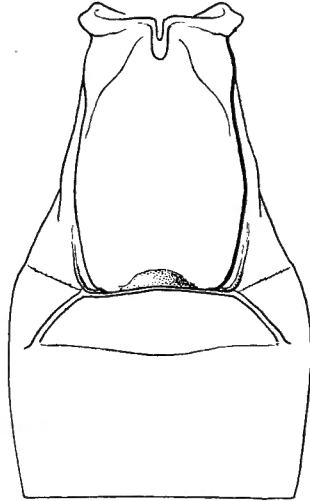


Fig. 238. — *Apanteles valvatus* sp. n. ♀, détail des trois premiers tergites abdominaux.

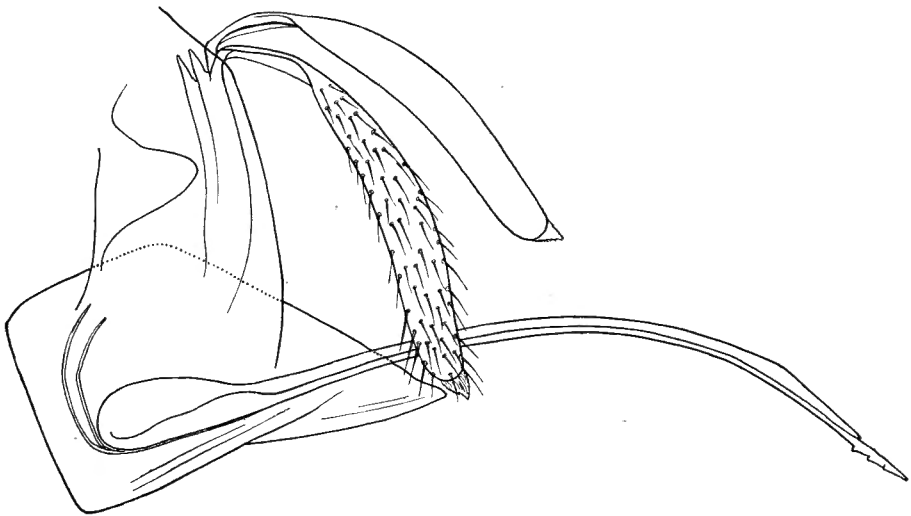


Fig. 239. — *Apanteles valvatus* sp. n., hypopygium et genitalia (détail partiel).

l'apex, celui-ci faiblement émarginé, à angles arrondis; tergite II, lisse, sauf quelques très petits pointillés dans la moitié apicale, ses sillons latéraux très divergents et faiblement courbés, partant des angles formés par

des expansions latérales à l'apex du I, sa longueur médiane la 1/2 de la largeur apicale du I, 3,66 fois plus courte que sa propre largeur apicale et environ la 1/2 de la longueur du III (6 : 12 : 22 : 12,5); 2° suture fine, légèrement sinuée; tergite III légèrement satiné, lisse sauf une petite ponctuation, absente dans un espace médian obtriangulaire à la base; hypopygium membraneux mais pas fortement, à apex pas tout à fait aigu; valves de la tarière particulièrement larges, environ 5 fois plus longues que larges, à peine plus courtes que les fémurs III; tarière fortement arquée (fig. 239).

Longueur : 3 mm.; ♂, inconnu.

DISTRIBUTION GÉOGRAPHIQUE : Ruhengeri, sources Kirii, Ruanda (alt. 1.800-1.825 m., 3.X.1934), holotype ♀ et 1 paratype; 2 exemplaires.

AFFINITÉS : Dans la clef de WILKINSON, cette espèce se place avec *Ap. coxalis* SZÉPL., de laquelle elle se différencie immédiatement par la sculpture et la forme du 2° tergite abdominal. Dans la clef de cet auteur des espèces indo-australiennes, elle coïncide avec l'espèce javanaise *Ap. parasae* ROHWER, à laquelle elle s'apparente par l'absence de sculpture à l'apex du 1<sup>er</sup> tergite, mais en diffère par ailleurs; elle se rapproche beaucoup plus de l'espèce éthiopienne *Ap. earterus* WILKN.

*Ap. valvatus* se caractérise par la forme et la sculpture du 1<sup>er</sup> tergite, les ailes légèrement laiteuses et la largeur des valves de la tarière.

a) **Apanteles valvatus rwindicus** s. sp. n.

Diffère de l'espèce par les caractères suivants :

♀ : pattes I rouge-orange testacé depuis le tiers basal des fémurs; tegulae noires.

♀. *Tête* : face portant une petite protubérance médiane brillante à la partie supérieure; clypéus différencié de la face par sa convexité.

*Thorax* : mésonotum brillant, à ponctuation plus profonde et plus espacée, très profonde le long des lignes des notaulices, qui sont striées près de l'apex et rugueuses; carènes divisant le sillon préscutellaire plus fortes; propodeum apparaissant plus rugueux que ponctué basalement aux costules et à soies courtes, vaguement et peu étroitement rugueux apicalement aux costules et dans l'aréole, celle-ci à carènes plus fortes, distinctement ouverte à la base, les carènes basales presque parallèles jusqu'à la base du propodeum; costules droites.

*Abdomen* : ponctuation du tergite I moins apparente, tégument satiné, rugueux médialement dans la moitié apicale, sans dépression médiane lisse; sillons du tergite II droits; 2° suture obsolète; (valves absentes, mais tarière aussi fortement arquée).

DISTRIBUTION GÉOGRAPHIQUE : Rwindi (alt. 1.000 m., 26.XI.1934); 1 exemplaire holotype ♀.

OBSERVATIONS : Le facies de cette sous-espèce est identique à celui de l'espèce, mais elle s'en différencie notablement par la ponctuation du mésonotum et la carénation du propodeum. Leurs lieux d'origine respectifs, très différents, permettent de considérer ce dernier spécimen comme appartenant à une race géographique.

96. — **Apanteles aethiopicus** WILKINSON.

*Apanteles aethiopicus* WILKINSON, Bull. Ent. Res., XXII, 1931, p. 81, ♂ ♀ ; PAOLI, *Prodr. Entom. Agrar, Som. ital.*, 1931-1933, p. 346; DE SAEGER, Rev. Zool. Bot. Afr., XXXV, 1941, p. 253.

DISTRIBUTION GÉOGRAPHIQUE : Uganda; Somalie Italienne; Congo Belge : Rutshuru (Kivu), Malambwe, Sakania, Lubombo, Lubumbashi, Elisabethville (Katanga méridional); collection DE WITTE : Kalondo, lac Ndaraga, Mokoto (alt. 1.750 m., 22-27.III.1934), 1 ♀ ; Luofu (alt. 1.700 m., 10.XII.1934), 1 ♂ ; Nyongera, près de Rutshuru (alt. 1.218 m., 17.VII.1935), 1 ♀ ; Ruhengeri, sources Kirii, Ruanda (alt. 1.800-1.825 m., VIII.1934), 3 ♀ ; Rutshuru, riv. Kanzarue (alt. 1.200 m., 15.VII.1935), 1 ♀ ; 7 exemplaires : 1 ♂, 6 ♀ ♀.

Hôtes : en Somalie : *Utetheisa pulchella* L. (Arctiidae), sur divers *Heliotropium*, *Antigastra catalaunalis* DUP. (Pyraustidae), sur *Sesamia indica*, ce dernier hôte également en Uganda et à Sierra Leone; en Uganda, renseigné aussi « ex ? Lasiocampide et Tachinides »; au Congo Belge : à Rutshuru, *Catalebeda* sp. (Lasiocampidae) sur le Copalier *Copaifera demeusei* (Légum.) et *Holocera angulata* AUR. (Ludiidae), sur *Basilicum polystachion* (Labiées), au Katanga, *Elaeodes prasinodes* PROUT (Noctuidae), *Achaea catella* GUÉN. (Noctuidae), *Saliunca homochroa* HOLL. (Zygaenidae), *Holocera angulata* AUR. (Ludiidae) et *Hamanumida daedalus* F. (Nymphalidae).

Cocons : blancs, dispersés en désordre, sans orientation déterminée, où parfois juxtaposés, en désordre également, avec quelques fils lâches les réunissant.

BIOLOGIE : Une chenille de *Holocera angulata* AUR., élevée par GHESQUIÈRE, à Rutshuru, a donné 392 exemplaires de cet *Apanteles*; les renseignements biologiques obtenus à l'occasion de cet élevage sont les suivants : sortie des larves, 14.III.1938; tissage du cocon, 15.III.1938; éclosion des adultes, 24.III.1938 (369 exemplaires); achèvement de l'éclosion, 25.III.1938 (23 exemplaires); durée de la nymphose, 9 à 10 jours.

97. — **Apanteles bellatulus** sp. n.

(Fig. 240-244.)

♂ ♀ : noirs; palpes, bords latéraux membraneux des tergites I, II et III et sternites de la base, jaune-rouge testacé; pattes, brun rougeâtre, parfois rouge testacé (sauf toutes les hanches, ainsi que les fémurs et tibias, parties franchement noires), fémurs et tibias I et II, plus clairs aux extrémités,

plus clairs également l'extrême apex des hanches I et II ainsi que les trochanters et trochantelles; tegulae, sclérites axillaires et légèrement la base de la costale, rougeâtre testacé; partie membraneuse de l'hypopygium, rouge testacé; éperons des tibias II et III, jaune pâle testacé; ailes légèrement enfumées, plus fortement dans la partie distale, à coloration un peu jaunâtre; stigma brun sombre, opaque, très faiblement éclairci dans l'angle proximal; nervation brune.

♂ ♀. *Tête* : ligne faciale plus courte que la transfaciale; face brillante, proéminente médialement, à ponctuation (degré 2) régulière, assez densément placée, plus densément sous les torules; clypéus différencié de la face; ostioles faciales beaucoup plus près de l'apex du clypéus que des yeux; espace oculo-malaire environ 1,5 fois la largeur de la base des mandibules; vertex brillant, à petite ponctuation (degré 1) assez dense; occiput et tempes ponctués comme la face, mais plus densément; stemmaticum ordinairement très petitement aciculé médialement; ocelles postérieurs un peu plus près l'un de l'autre que des yeux; antennes plus longues que le corps chez le ♂ (brisées chez les spécimens ♀ ♀); 1<sup>er</sup> article du flagellum un peu moins de 4 fois plus long que large chez la ♀, un peu plus court chez le ♂ (fig. 241).

*Thorax* : mésonotum un peu mat et à ponctuation (degré 3) dense à la partie antérieure, devenant plus brillant et à ponctuation progressivement plus forte et plus distancée vers l'apex, les pointillés vers l'apex (degré 5) forts, toutefois, un peu moins distancés que leur propre diamètre, mais bien marqués et un peu irrégulièrement placés, devenant rares près de l'apex, cette ponctuation est presque rugueuse antérieurement le long des lignes des notaulices qui sont à peine apparentes postérieurement; sillon préscutellaire droit, profond, divisé irrégulièrement par 4 ou 5 carènes; disque du scutellum assez plat, à apex tronqué, très brillant, lisse au milieu, légèrement ponctué près des bords latéraux qui sont un peu incurvés; mésopleures brillants, à forte ponctuation antérieure, lisses ailleurs sauf une petite aciculation transversale dans le cochléar; suture méso-métopleurale légèrement crénelée; métopleurales brillants, lisses antérieurement, vaguement sculptés à l'arrière, l'excavation située près du bord antérieur; propodeum brillant ou un peu mat, rugoso-ponctué ou rugueux basalement aux costules, rugueux apicalement et dans l'aréole, à rugules généralement transversales; aréole pentagonale à carènes apicales faibles et mal marquées, en forme de U à l'apex, à carènes assez fortes et droites à la base, où l'aréole est fermée en forme de  $\Lambda$  et reliée à la base du propodeum par une carène longitudinale médiane, cette base fortement échancrée, costules plus faibles que les carènes basales de l'aréole, plus fortes que les apicales, légèrement obliques (fig. 242).

*Ailes* : 1<sup>re</sup> abaisse de la radiale un peu plus courte que la largeur du stigma, juste plus courte que la transverso-cubitale et formant avec celle-ci un angle faible mais évident, leur point de jonction à peine épaissi; partie

apicale de la 1<sup>re</sup> abcisse de la cubitale environ égale aux  $\frac{2}{3}$  de la longueur de la transverso-cubitale, juste plus courte que la partie pigmentée de la 2<sup>e</sup> abcisse de la cubitale et un peu plus de la  $\frac{1}{2}$  de la récurrente; stigma plus court que le métacarpe (fig. 243).

*Pattes III* : hanches portant quelques forts pointillés groupés sur la face supérieure à la base, de très petits pointillés vers l'apex ainsi qu'une petite

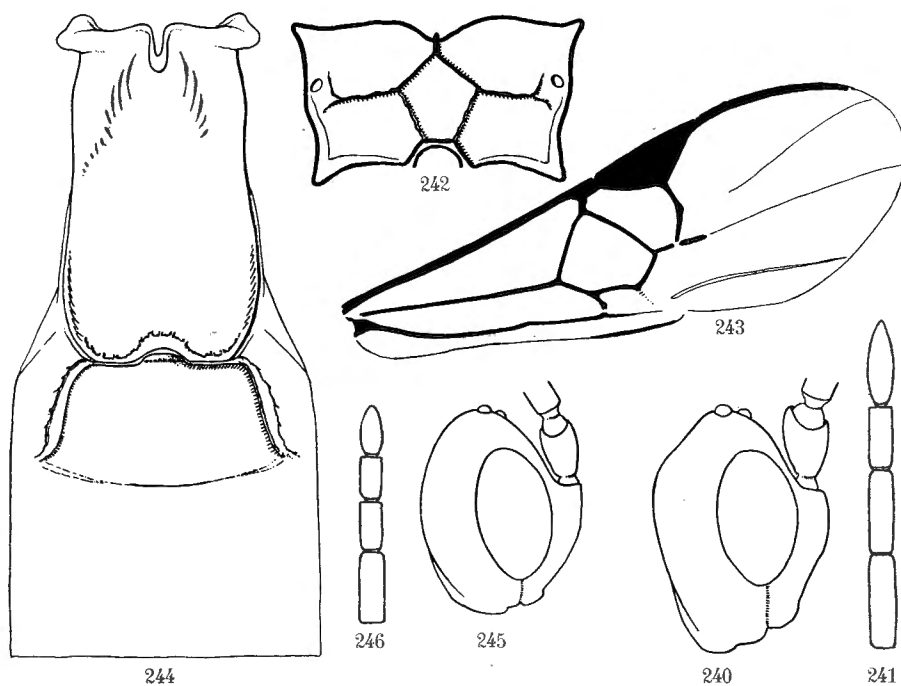


Fig. 240-244. — *Apanteles bellatulus* sp. n.

Fig. 240. — Tête du ♂, vue de profil. Fig. 241. — Articles apicaux de l'antenne ♂.

Fig. 242. — Schéma de l'aréolation du propodeum.

Fig. 243. — Détail de la nervation de l'aile antérieure.

Fig. 244. — Détail des trois premiers tergites abdominaux.

Fig. 245-246. — *Apanteles bellatulus simulator* ab. n.

Fig. 245. — Tête du ♂, vue de profil.

Fig. 246. — Articles apicaux de l'antenne ♂.

apiculation près de celui-ci, entièrement lisses et brillantes sur la face externe et petitement ponctuées sur la face inférieure. Proportions : ♂, hanches,  $\frac{22}{36}$ ; fémurs,  $\frac{14}{48}$ ; tibias,  $\frac{9}{58}$ ; tarses : I, 30; II, 13; III, 11; IV, 8; V, 10; le plus long éperon des tibias la  $\frac{1}{2}$  et le plus court le  $\frac{1}{3}$  de la longueur des métatarses.

*Abdomen* (fig. 244) : tergite I excavé à la base, lisse et brillant à l'extrême base, proéminent médialement et légèrement courbé au tiers apical, tégu-

ment, ailleurs, finement rugueux à rugoso-punctué vers l'apex, sa longueur médiane 2,5 fois sa largeur apicale, 2 fois sa largeur basale et 1,55 fois sa plus grande largeur située environ au 1/4 apical (28 : 11 : 14 : 18), ses bords latéraux peu sinués et faiblement divergents jusqu'au point le plus large, ensuite, largement incurvés jusqu'à l'apex échancré; tergite II très brillant, poli, présentant parfois une apparence d'aciculation très superficielle et quelques vagues pointillés latéralement vers l'apex, légèrement proéminent au milieu, ses sillons latéraux larges, bien marqués, courbés à la base, ensuite légèrement divergents, sa longueur médiane égale à la largeur apicale du I, près de la 1/2 de sa propre largeur apicale entre les sillons et 1,36 fois plus court que le III (11 : 11 : 21 : 15); 2<sup>e</sup> suture faiblement arquée vers l'arrière, très fine, presque obsolète; tergites III et suivants très brillants, polis, ne portant qu'une rangée apicale d'imperceptibles pointillés; chez le ♂, le tergite I est plus étroit, à bords latéraux presque parallèles, sa longueur médiane 2,27 fois ses largeurs apicale et basale et 1,78 fois sa plus grande largeur (25 : 11 : 11 : 14); hypopygium à développement membraneux, à apex aigu et fendu comme chez *Ap. fontinalis* (fig. 326), mais dépassant plus fortement l'extrémité de l'abdomen; valves de la tarière étroites, pas élargies à l'apex et environ de la longueur des tarses III.

Longueurs : ♂, 3,2 à 3,5 mm.; ♀, 3,8 mm.

DISTRIBUTION GÉOGRAPHIQUE : Kinyamahura, Djomba (alt. 1.800 m., 23.VII.1934), holotype ♀ et paratypes ♀ ♀; Burunga, Mokoto (alt. 2.000 m., 9-14, 15-16 et 17-19.III.1934); Nyakibumba, près de Kikere (alt. 2.250 m., 5.VII.1934), allotype ♂; Mubiliba, volcan Nyamuragira (alt. 2.000 m., 14-26.VI.1935); Mayumbu, volcan Nyamuragira (alt. 2.100 m., 14-26.VI.1935); vers Rweru, volcan Mikeno, forêt de Bambous (alt. 2.400 m., 12.VII.1934); vers Kamatembe (alt. vers 2.300 m., 7-23.I.1935); Kamatembe, forêt, riv. Bishakishaki, mont Kamatembe (alt. 2.100 m., 14-17.VI.1934); Ngesho (alt. 2.000 m., 3-6.IV.1934); 21 exemplaires : 19 ♂♂, 2 ♀♀.

OBSERVATIONS : Cette espèce se caractérise par la ponctuation du mésonotum, l'aréole pentagonale et pétiolée du propodeum et l'enfumure des ailes.

#### a) *Apanteles bellatulus simulator* ab. n.

Cette variante peut se différencier de l'espèce par les caractères repris au tableau comparatif suivant :

##### *Apanteles bellatulus* ♂.

Tête (vue de profil) longue (fig. 240).  
Espace oculo-malaire environ 1,5 fois la largeur basale des mandibules.  
Espace oculo-ocellaire 1,4 fois plus grand que la distance séparant les ocelles postérieurs.

##### *Apanteles bellatulus simulator* ♂.

Tête (vue de profil) courte (fig. 245).  
Espace oculo-malaire environ égal à la largeur basale des mandibules.  
Espace oculo-ocellaire 1,8 fois plus grand que la distance séparant les ocelles postérieurs.

*Apanteles bellatulus* ♂.

Antennes égales à la longueur du corps plus 1 fois tête + thorax (fig. 241).

Thorax pas aplati antérieurement.

Ponctuation bien séparée seulement à la partie apicale du dorsum du mésonotum.

Disque du scutellum distinctement ponctué près des bords latéraux.

Seules les carènes apicales de l'aréole du propodeum faibles et peu distinctes.

Costules situées au milieu du propodeum.

Propodeum rugoso-ponctué à rugueux basalement aux costules.

Tergite I fortement convexe médialement et à sculpture bien marquée.

Longueur médiane du tergite II égale à la largeur apicale du I.

Longueur : 3,2 à 3,5 mm.

*Apanteles bellatulus simulator* ♂.

Antennes égales à la longueur du corps plus 2 fois la tête (fig. 246).

Thorax un peu aplati antérieurement.

Ponctuation bien séparée sur tout le dorsum du mésonotum.

Disque du scutellum totalement dépourvu de ponctuation.

Toutes les carènes de l'aréole du propodeum, ainsi que les costules, faibles et peu distinctes.

Costules situées vers le tiers apical du propodeum.

Propodeum à peu près lisse basalement aux costules.

Tergite I à peine convexe médialement et à sculpture faible.

Longueur médiane du tergite II, 1,28 fois plus courte que la largeur apicale du I.

Longueur : 2,8 mm.

DISTRIBUTION GÉOGRAPHIQUE : vers Rweru, volcan Mikeno, forêt de Bambous (alt. 2.400 m., 3.VII.1934); 1 exemplaire holotype ♂.

OBSERVATIONS : Malgré la grande différence présentée par la conformation de la tête, je suis amené, pour le moment, à ne considérer cette forme que comme une aberration de *Ap. bellatulus*.

98. — *Apanteles wittei* sp. n.

(Fig. 247-250.)

♀ : noire; pattes I et II (excepté la base des hanches sur une longueur variable, parfois seulement l'extrême apex, et l'onychium), extrême apex des hanches et le restant des pattes III (sauf une enfumure apicale aux tibias et les tarsi, ceux-ci brunâtres) ainsi que la base de la costale, rouge testacé; palpes et éperons des tibias III, pâles; partie membraneuse de l'hypopygium, brun rougeâtre; ailes hyalines à soies colorées; stigma hyalin, à bord brun rougeâtre; nervures brun pâle, à peine colorées vers la base de l'aile, costale parfois presque entièrement décolorée.

♂ : semblable aux caractères décrits ci-dessus, excepté : toutes les hanches, tibias I sur la face supérieure, tibias II (sauf la face inférieure dans la moitié basale), trochanters, trochantelles, fémurs et moitié apicale des tibias des pattes III, tarsi II et III, noirs ou noir brunâtre; costale un peu moins testacée, stigma hyalin comme chez la ♀.

♀. Tête : ligne faciale plus courte que la transfaciale; face un peu renflée comme chez *Ap. pelops* (fig. 291), brillante, à petite ponctuation (degré 1)

densément placée, mais superficielle; clypéus faiblement différencié de la face; ostioles faciales beaucoup plus près de l'apex du clypéus que des yeux; vertex et occiput ponctués à peu près comme la face, le premier moins et le second plus densément ou tout au moins à ponctuation mieux marquée sur ce dernier; ocelles postérieurs plus près l'un de l'autre que des yeux; antennes de la longueur du corps; 1<sup>er</sup> article du flagellum 4 fois plus long que large, les deux articles préapicaux égaux (fig. 247).

*Thorax* : mésonotum assez plat, brillant, à ponctuation (degré 3) dense antérieurement, devenant ensuite plus forte (degré 5) et espacée, plus profonde et espacée, d'un peu moins que le diamètre des pointillés, le long des lignes des notaulices, légèrement plus superficielle et en moyenne plus espacée que le diamètre des pointillés au milieu, plus petite et plus dense (degré 4) près des bords latéraux, ponctuation totalement absente près de l'apex, les intervalles, entre la ponctuation, lisses et très brillants; sillon pré-scutellaire arqué, irrégulièrement et faiblement crénelé; disque du scutellum plat, entièrement lisse, poli, brillant, à apex tronqué, de moitié moins large que la largeur basale, à bords latéraux légèrement cintrés; mésopleures lisses et brillants, sauf une ponctuation antérieure superficielle, cochléar à peine apparent; suture méso-métapleurale distinctement crénelée; métapleurales lisses antérieurement, un peu rugueux près du bord coxal, à sillon médian lisse; propodeum brillant, lisse, sauf près des carènes et parfois un peu rugueux dans l'aréole et les aires apicales, aréole tronquée à l'apex, sa longueur médiane environ égale à sa largeur apicale, les carènes apicales parallèles, les carènes basales convergentes, parfois plus ou moins arrondies, leur point de jonction situé un peu avant le milieu du propodeum et relié à la base de celui-ci par une carène longitudinale médiane, costules situées au tiers apical du propodeum, parfois obliques postéro-antérieurement, toutes ces carènes faibles, irrégulières et mal marquées (fig. 248).

*Ailes* : 1<sup>re</sup> abcisse de la radiale un peu plus courte que la largeur du stigma et 1/4 plus longue que la transverso-cubitale avec laquelle elle ne forme qu'un angle faible, leur point de jonction peu distinct sinon par l'épaississement qu'elles forment à ce point; partie apicale de la 1<sup>re</sup> abcisse de la cubitale et partie pigmentée de la 2<sup>e</sup> abcisse, d'égale longueur, environ les 2/3 de la récurrente; stigma plus court que le métacarpe (fig. 249).

*Pattes III* : hanches brillantes, imperceptiblement ponctuées, virtuellement lisses sur les faces supérieure et externe, dépourvues de facette plane en dessus à la base. Proportions : hanches, 18/28; fémurs, 11/40; tibias, 8/50; tarsi : I, 25; II, 11; III, 9; IV, 6; V, 8; les éperons des tibias subégaux, le plus long près de la moitié de la longueur des métatarses.

*Abdomen* (fig. 250) : tergite I excavé à la base, courbé au milieu, modérément proéminent dans la partie médiane et assez plat vers l'apex, brillant. striolé longitudinalement à la base et latéralement jusqu'à l'apex, rugueux dans la partie médiane proéminente, sa longueur médiane 1,22 fois sa lar-

geur apicale et 1,46 fois sa largeur basale (22 : 18 : 15), ses bords latéraux droits et légèrement divergents jusqu'à l'apex faiblement émarginé au milieu, angles apicaux non arrondis; tergite II légèrement convexe au milieu, très brillant et entièrement lisse, sauf quelques rares petites soies apicales,

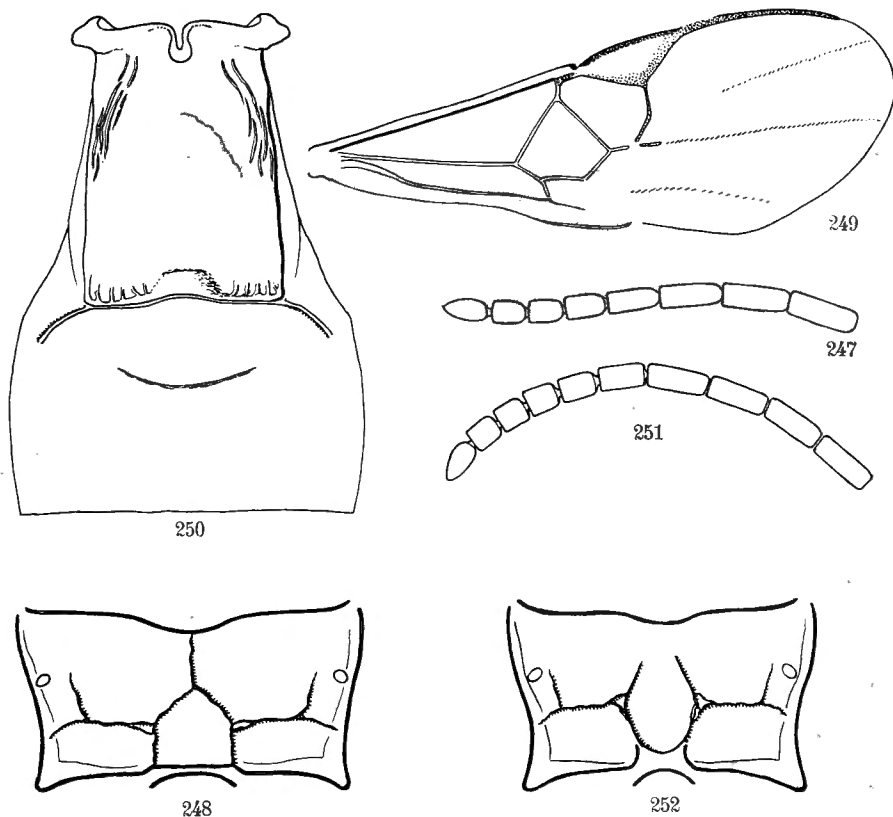


Fig. 247-250. — *Apanteles wittei* sp. n. ♀.

Fig. 247. — Sommet de l'antenne.

Fig. 248. — Schéma de l'aréolation du propodeum.

Fig. 249. — Détail de la nervation de l'aile antérieure.

Fig. 250. — Détail des trois premiers tergites abdominaux.

Fig. 251. — *Apanteles wittei anthracomerus* ab. n., sommet de l'antenne ♀.

Fig. 252. — *Apanteles wittei sake* ab. n., schéma de l'aréolation du propodeum.

peu distinctes, et les sillons latéraux, ceux-ci habituellement plus courts que la longueur médiane du tergite, très divergents et peu marqués, parfois le tégument présente quelques plissements superficiels à la base; longueur médiane du tergite 2,25 fois plus courte que la largeur apicale du I et 1,37 fois plus courte que la longueur médiane du III (8 : 18 : 11) : 2<sup>e</sup> suture absente latéralement, marquée seulement au milieu par un sillon mince, fortement

arqué et limitant la convexité discale du tergite II; tergite III brillant et lisse sauf une très petite ponctuation, très espacée, localisée latéralement dans la moitié apicale; hypopygium à apex aigu et à partie inférieure membraneuse peu développée; valves de la tarière plus longues que les fémurs III, mais un peu plus courtes que les tibias III chez le type (un autre spécimen possède des valves un peu plus longues que les tibias).

La longueur médiane du tergite II est variable, parfois très courte.

♂ : Concorde à la description ci-dessus, excepté les caractères suivants :

*Thorax* : aréolation du propodeum moins nettement marquée, à carènes faibles, ponctuation, basalement aux costules, plus longuement sétigère.

*Abdomen* : tergite I superficiellement rugueux, plus lisse vers l'apex, non aciculé latéralement, 1,66 fois plus long que ses largeurs apicale et basale (20 : 12 : 12), à bords latéraux parallèles; tergite II moins transverse, sa longueur médiane égale aux 2/3 de la largeur apicale du I et 1,37 fois plus courte que celle du III (8 : 12 : 11).

Longueur : 3 à 3,2 mm.

DISTRIBUTION GÉOGRAPHIQUE : Rweru, volcan Mikeno, forêt de Bambous (alt. 2.400 m., 26-27.VII.1934), holotype ♀, 1 paratype ♀; Nyabirehe, au pied du volcan Karisimbi, Ruanda (alt. 2.000 m., 22.II.1935); lac Kanyamenoni, vers le volcan Musule (alt. 2.300 m., 14.VIII.1934), allotype ♂, 1 paratype ♀; Ngesho (alt. 2.000 m., 3-6.IV.1934); volcan Visoke (alt. 2.800-3.300 m., 13-14.II.1935); 9 exemplaires : 2 ♂♂, 7 ♀♀.

AFFINITÉS : Cette espèce se place, dans la clef de WILKINSON, avec l'espèce éthiopienne *Ap. eros* WILKN., dont elle se différencie par de nombreux caractères et, en particulier, par la taille, la coloration et la longueur des valves de la tarière.

*Apanteles wittei*, est caractérisé par le léger aplatissement et la ponctuation du mésonotum, la forme et la sculpture du 1<sup>er</sup> tergite abdominal ainsi que l'absence de 2<sup>e</sup> suture, à peine esquissée au milieu. Ces caractères le rapprochent fortement de l'espèce malaise *Ap. baoris* WILKN., dont le stigma est également hyalin discalement et bordé de pigmentations; *Ap. wittei* en diffère, cependant, par la coloration des pattes, une ponctuation du mésonotum plus forte (ce caractère est, toutefois, sous la dépendance d'une interprétation personnelle — je n'ai pas vu le type de *Ap. baoris*), le disque du scutellum lisse, une sculpture un peu différente du propodeum et du 1<sup>er</sup> tergite abdominal, ainsi que la 2<sup>e</sup> suture probablement, dans sa diagnose WILKINSON ne donne aucune indication sur ce dernier caractère. Je note également, comme WILKINSON le fait pour *Ap. baoris*, une certaine variation dans les proportions du 1<sup>er</sup> tergite, mais sans que l'aspect général en soit particulièrement modifié. Il est très possible que *Ap. wittei* soit une race géographique de *Ap. baoris*, d'autant plus que l'hôte de ce dernier, l'Hes-

péride *Pelopidas mathias* MOORE (= *Parnara*) est répandu en Afrique. La comparaison avec le type de cette espèce serait nécessaire.

*Apanteles wittei* s'apparente également à l'espèce éthiopienne *Ap. earterus* WILKN., notamment par la forme du 2<sup>e</sup> tergite abdominal, il s'en sépare facilement, toutefois, par la sculpture du propodeum.

a) ***Apanteles wittei anthracomerus* ab. n.**

(Fig. 251.)

Les caractères de cette aberration sont ceux décrits pour l'espèce, excepté les suivants :

♀. *Coloration* : toutes les hanches et fémurs noirs; tarses des pattes I, stries sur la face supérieure des fémurs, moitié apicale des tibias et tarses des pattes II, tibias (sauf la base) et tarses des pattes III, brun noirâtre; ailes légèrement enfumées dans la moitié distale; costale brun foncé entièrement; stigma brun, opaque, marqué d'une éclaircie dans l'angle proximal, petite, mais bien distincte; nervures brun clair.

♀. *Tête* : face un peu plus fortement ponctuée; antennes plus distinctement épaissies distalement; 1<sup>er</sup> article du flagellum 4 fois plus long que large, articles préapicaux plus courts et subcarrés (fig. 251).

*Thorax* : ponctuation du mésonotum plus irrégulière en force et en espacement, parfois accompagnée d'une petite aciculation longitudinale intervallaire; les intervalles, en tout cas, jamais aussi brillants, ni polis; partie basale de l'aréole du propodeum plus longue, la carène longitudinale médiane reliant l'aréole à la base du propodeum, par suite, plus courte souvent très mal marquée, à peine distincte.

*Ailes* : 1<sup>re</sup> abcisse de la cubitale et transverso-cubitale d'égale longueur et formant un angle plus accusé, leur point de jonction plus discernable; sommet de la basale distinctement plus court que la partie pigmentée de la 2<sup>e</sup> abcisse de la cubitale; ailes moins amples.

*Pattes III* : hanches pourvues d'une facette plane en dessus à la base, portant quelques ponctuations bien séparées.

*Abdomen* : valves de la tarière un peu plus longues que les tarses III.

Longueur : 2,8 à 3,0 mm. : ♂, inconnu.

**DISTRIBUTION GÉOGRAPHIQUE** : Kinyamahura, Djomba (alt. 1.800 m., 23.VIII.1934), holotype ♀; Ngesho (alt. 2.000 m., 3-6.IV.1934), paratype; Kibga, volcan Visoke, Ruanda (alt. 2.400 m., 8-9.II.1935), paratype; vers Rweru, volcan Mikeno, forêt de Bambous (alt. 2.400 m., 26-27.VII.1934); Kanyabayongo, Kabasha (alt. 1.760 m., 7.XII.1934); Kalondo, lac Ndaraga, Mokoto (alt. 1.750 m., 22-27.III.1934); 7 exemplaires ♀ ♀.

**AFFINITÉS** : Par la coloration sombre des fémurs III, cette aberration se place, dans la clef de WILKINSON, avec l'espèce vitienne *Ap. platydrae* WILKN.

parasite du Gelechiide *Platyedra gossypiella* SAUND., mais l'éclaircie proximale du stigma et surtout l'apex du 1<sup>er</sup> tergite abdominal, distinctement plus large que la base, sont des caractères qui l'en séparent, sans aucun doute, de même que l'absence de sculpture sur le 2<sup>e</sup> tergite.

b) **Apanteles wittei sake** ab. n.

(Fig. 252.)

Semblable à l'aberration précédente, excepté les caractères suivants :

♀. *Coloration* : tarses des pattes I, rouge testacé; tibias à peine enfumés à l'apex; fémurs III plutôt brun noirâtre que noir; ailes hyalines, nervures à peine colorées sauf celles sous le stigma, éclaircie dans l'angle proximal de celui-ci, petite.

♀. *Thorax* : mésonotum à ponctuation plus petite (degré 4), régulière, les pointillés séparés par une distance moindre que leur propre diamètre, légèrement plus forts le long des lignes des notaulices, plus faibles et plus superficiels latéralement, ne laissant qu'une étroite bande lisse à l'apex; disque du scutellum marqué de quelques pointillés bien séparés près des bords latéraux; aréolation du propodeum différente, l'aréole est arrondie à l'apex, les carènes apicales un peu divergentes, les carènes basales ne se rejoignent pas et laissent ainsi l'aréole ouverte, aucune carène médiane ne relie celle-ci à la base du propodeum, tégument marqué de quelques ponctuations basalement aux costules, ailleurs ruguleux, à rugules peu étroitement placées, plus fines dans l'aréole (fig. 252).

♂ : semblable à la ♀ excepté les caractères suivants : propodeum à peu près lisse basalement aux costules, ponctuation extrêmement superficielle; hanches III dépourvues de facette plane en dessus à la base; tergite I 2 fois plus long que sa largeur apicale (20 : 10), ses bords latéraux un peu incurvés vers la moitié, rugueux-ruguleux dans la moitié apicale; longueur médiane du tergite II égale à la moitié de la largeur apicale du I et 2,4 fois plus courte que celle du III (5 : 10 : 12), ses sillons latéraux moins bien marqués.

Longueur : ♂, 2,7 mm.; ♀, 2,8 mm.

DISTRIBUTION GÉOGRAPHIQUE : Sake, lac Kivu (alt. 1.460 m., 19-22.II.1934), holotype ♀; Ngesho (alt. 2.000 m., 3-6.IV.1934); lac Magera (alt. 2.000 m., 27-28.II.1934); Tshengelero, près de Munagana (alt. 1.750 m., 21.VIII.1934); Kalondo, lac Ndaraga, Mokoto (alt. 1.750 m., 22-27.III.1934); Nyabirehe, au pied du volcan Karisimbi. Ruanda (alt. 2.000 m., 22.II.1935), allotype ♂; Kamatembe, forêt près de la rivière Bishakishaki (alt. 2.100 m., 14-17.IV.1934); 9 exemplaires : 6 ♂♂, 3 ♀♀.

AFFINITÉS : Les notables différences dans la ponctuation du mésonotum et dans l'aréolation du propodeum, pourraient faire admettre cette aberration comme une espèce différente, toutefois, tous les autres caractères et l'aspect général la rattachent bien à *Ap. wittei*.

Dans la clef de WILKINSON, cette aberration correspond à l'espèce éthiopienne *Ap. diparopsidis* LYLE, mais, chez celui-ci, le propodeum est subgranuleux et le 1<sup>er</sup> tergite abdominal, réticulé. *Apanteles wittei* ab. *sake* présente beaucoup plus d'affinité avec l'espèce vitienne *Ap. platydrae* WILKN., chez laquelle le mésonotum est beaucoup plus brillant et poli entre les punctuations, comme cela se présente chez *Ap. wittei*.

c) ***Apanteles wittei kamatembe* ab. n.**

Aberration semblable à l'espèce, à l'exception des caractères suivants :

♀. *Coloration* : ailes légèrement enfumées, stigma brun, opaque, marqué d'une petite éclaircie dans l'angle proximal; nervures brun clair; fémurs III parfois noircis sur la face supérieure; enfumure apicale des tibias III plus prononcée.

♀. *Thorax* : tégument du mésonotum moins brillant; carènes apicales de l'aréole du propodeum courtes, environ égales aux 2/3 de la largeur apicale de l'aréole, par suite, les costules sont situées distinctement plus près de l'apex, les carènes basales convergent jusqu'à la base du propodeum où elles ne paraissent, cependant, pas se rejoindre et où aucune trace de carène longitudinale médiane n'est présente, tégument distinctement ponctué basalement aux costules, ponctuation superficielle et largement espacée.

*Pattes III* : hanches pourvues d'une facette plane ponctuée, en dessus à la base.

*Abdomen* : valves de la tarière à peu près de la longueur des tarsi III.

Longueur : 2,9 mm.; ♂, inconnu.

DISTRIBUTION GÉOGRAPHIQUE : Kamatembe, riv. Bishakishaki (alt. 2.100 m., 11-22.IV.1934), holotype ♀; Ngesho (alt. 2.000 m., 3-6.IV.1934); vers Rweru, volcan Mikeno, forêt de Bambous (alt. 2.400 m., 3, 26-27.VII.1934); Munagana, Djomba (alt. 2.000 m., 23.VIII.1934); Nyabirehe (alt. 2.000 m., 22.II.1935); lac Magera (alt. 2.000 m., 6.III.1934); Kalondo, lac Ndaraga, Mokoto (alt. 1.750 m., 22-27.III.1934); Tshengelero, près de Munagana (alt. 1.750 m., 17.VIII.1934); 13 exemplaires ♀ ♀.

OBSERVATIONS : Un des exemplaires originaires de Kamatembe ainsi que celui de Ngesho ne sont pas exactement semblables à l'holotype; ils en possèdent la plupart des caractères généraux mais présentent de fortes différences dans l'aréolation du propodeum et la sculpture du 1<sup>er</sup> tergite abdominal.

AFFINITÉS : Cette aberration se rapproche fortement de *Ap. diparopsidis* LYLE, à laquelle elle correspond également dans la clef de WILKINSON, toutefois le propodeum ne peut être considéré comme subgranuleux, ni le 1<sup>er</sup> tergite abdominal comme réticulé.

99. — *Apanteles bitalensis* sp. n.

Espèce présentant une grande affinité avec *Ap. wittei* ab. *sake*, dont elle diffère par les caractères suivants :

♀ : mésonotum un peu terne; aréole du propodeum vaguement prolongée jusqu'à la base de celui-ci par deux carènes parallèles très faibles; tergite II marqué de fines stries transversales, arquées légèrement vers l'arrière, sa longueur médiane 3 fois plus courte que la largeur apicale du I et 1,66 fois plus courte que la longueur médiane du III (6 : 18 : 10); valves de la tarière plus longues que les tarse III, égales à la 1/2 de la longueur du corps.

Longueur : 3 mm.; ♂, inconnu.

DISTRIBUTION GÉOGRAPHIQUE : lac Bulero, Bitale (alt. 1.862 m., 10-11.1934); Rutshuru, riv. Musugereza (alt. 1.100 m., 10.VII.1935); Ruhengeri, sources Kirii, Ruanda (alt. 1.800-1.825 m., 31.VIII.1934 et 1.X.1934); 4 exemplaires ♀ ♀.

AFFINITÉS : L'observation faite à propos de *Ap. wittei* ab. *sake* est également valable pour cette espèce, qui se rapproche encore beaucoup plus de l'espèce vitienne *Ap. platydrae* WILKN. par le 2<sup>e</sup> tergite abdominal sculpté et la longueur des valves de la tarière.

100. — *Apanteles gandoensis* sp. n.

Espèce très voisine des aberrations de *Ap. wittei* à fémurs postérieurs sombres et à stigma marqué d'une éclaircie dans l'angle proximal.

♀ : noire; pattes I (sauf les hanches et une enfumure sur la face supérieure des fémurs), trochanters, trochantelles, vaguement l'apex des fémurs et le 1/3 basal des tibias des pattes II, environ le 1/3 basal des tibias et base des métatarses des pattes III, costale en grande partie, rouge testacé; pattes ailleurs (sauf les hanches) brun sombre; palpes jaune testacé; éperons des tibias pâles; ailes hyalines; stigma brun, opaque, marqué d'une éclaircie dans l'angle proximal; nervation jaune pâle.

♀. *Tête* : semblable à celle de *Ap. wittei*, mais le clypéus bien différencié de la face et les joues non renflées; articles apicaux du flagellum comme *Ap. wittei* ab. *anthracomerus* (fig. 251).

*Thorax* : mésonotum mat, à ponctuation (degré 3-4) assez régulière et étroitement placée, faiblement allongée, à peine plus forte le long des notaulices, courtement sétigère; sillon préscutellaire droit, mince, non crénelé; disque du scutellum assez plat, brillant et portant quelques rares pointillés très superficiels; mésopleures lisses et brillants, ponctués antérieurement, cochléar marqué d'une dépression longitudinale, pleures ailleurs comme décrit pour *Ap. wittei*; propodeum brillant, très superficiellement et éparsément ponctué dans la moitié basale, très faiblement

sculpté dans l'aréole et apicalement aux costules, aréole à peine plus large que longue, arrondie à la base et à l'apex, fermée vers le tiers basal du propodeum, costules un peu plus obliques antéro-postérieurement que chez *Ap. wittei*, de force moyenne comme les carènes de l'aréole.

*Ailes* : transverso-cubitale distinctement plus courte que la 1<sup>re</sup> abcisse de la radiale, mais plus longue que la partie apicale de la 1<sup>re</sup> abcisse de la cubitale, leur point de jonction marqué d'un court tronçon, le restant comme *Ap. wittei*.

*Pattes III* : hanches marquées de quelques petits pointillés rapprochés sur la facette plane en dessus à la base, virtuellement lisses sur la face externe. Proportions : hanches, 13/26; fémurs, 10/35; tibias, 8/42; tarsi : I, 20; II, 10; III, 7; IV, 6; V, 7; le plus long éperon des tibias la 1/2 et le plus court le 1/3 de la longueur des métatarses.

*Abdomen* : tergite I brillant et excavé à la base au milieu, légèrement proéminent au milieu et faiblement recourbé, assez mat et petitement rugoso-punctué ailleurs; sa longueur médiane à peine plus grande que sa largeur apicale et 1,5 fois sa largeur basale (18 : 17 : 12), ses bords latéraux droits, divergents de la base à l'apex, celui-ci largement échancré et à angles un peu aigus; tergite II brillant, portant une rangée de très petits pointillés espacés, son apex marqué à peine, au milieu, par une ligne déprimée et arquée vers l'arrière, ses sillons latéraux bien marqués, droits, fortement divergents, longueur médiane du tergite 3,4 fois plus courte que la largeur apicale du I et égale à la moitié de la longueur médiane du III (8 : 17 : 10); tergite III brillant comme les suivants, à petite ponctuation habituelle, localisée latéralement dans les 3/4 apicaux; hypopygium court, à prolongement apical aigu, non membraneux sur sa ligne médiane à la partie inférieure; valves de la tarière plus longues que les tarsi III, de la longueur des tibias et métatarses III réunis.

Longueur : 2,5 mm.; ♂, inconnu.

DISTRIBUTION GÉOGRAPHIQUE : lac Gando, volcan Karisimbi, Ruanda (alt. 2.400 m., 8.III.1935); 1 exemplaire holotype.

AFFINITÉS : Cette espèce se place, dans la clef de WILKINSON, en même temps que *Ap. diparopsidis* LYLE ♂, en admettant que le ♂ possède un stigma opaque, mais, peut en être séparée par la coloration des pattes, ainsi que la sculpture du propodeum et du 1<sup>er</sup> tergite abdominal.

#### 101. — *Apanteles vivax* sp. n.

(Fig. 253-256.)

♂ ♀ : noirs; palpes, pattes I et II (sauf les hanches), trochantelles, fémurs (sauf une enfumure apicale), 3/5 basiliaires des tibias, base des métatarses des pattes III, rouge testacé; trochanters III et hypopygium, brunâtres; tarsi III, rouge brunâtre; ailes légèrement enfumées; stigma brun, opaque, nervures plus pâles; bords latéraux membraneux des tergites I et

II, brun rougeâtre sombre; sternites de la base rougeâtres; tarsi I et II parfois plus sombres que le restant des pattes.

♂ ♀. *Tête* : ligne faciale plus courte que la transfaciale; face satinée à brillante, à petite ponctuation (degré 1), portant une très faible carène médiane, courte, à la partie supérieure; clypéus différencié de la face par sa convexité; ostioles faciales grandes, un peu plus près de l'apex du clypéus que des yeux; vertex et occiput ponctués comme la face; espace oculo-ocellaire égal à la distance séparant les ocelles postérieurs; antennes un peu plus longues que le corps (♀), environ 1/3 plus longues que le corps et effilées distalement (♂); 1<sup>er</sup> article du flagellum 3,5 fois plus long que large (♀) (14 : 4), 2,8 fois (♂) (14 : 5), les trois articles préapicaux subégaux (♀) (fig. 253 et 254).

*Thorax* : mésonotum faiblement brillant, à ponctuation (degré 3) assez mal définie, rugueuse le long des lignes des notaulices qui sont ponctuées-aciculées et élargies à l'apex, mais non confluentes, séparées par une ligne longitudinale médiane lisse et brillante; sillon préscutellaire droit, bien marqué, très faiblement crénelé; disque du scutellum aussi long que sa largeur basale, brillant, portant quelques rares petits pointillés, virtuellement lisse; mésopleures à ponctuation un peu rugueuse antérieurement, lisses ailleurs, excepté des stries transversales dans la partie antérieure du cochléar; métapleures lisses dans les 2/3 antérieurs, ponctués et rugueux dans le 1/3 postérieur, sillon situé au 1/3 antérieur et lisse; propodeum mat, vaguement et faiblement sculpté basalement aux costules, plus lisse et plus brillant dans l'aréole, cette dernière, nettement excavée, plus déprimée au milieu, en forme de V à l'apex, angle apical parfois peu aigu, carènes apicales très fortes, basales plus faibles, paraissant se rejoindre vers le 1/4 basal du propodeum sans former d'angle; aréole un peu plus large que longue, recevant les costules au 1/3 basal, celles-ci droites et faibles.

*Ailes* : 1<sup>re</sup> abcisse de la radiale égale à la largeur du stigma, double de la transverso-cubitale et formant avec celle-ci un angle bien marqué; partie apicale de la 1<sup>re</sup> abcisse de la cubitale et partie pigmentée de la 2<sup>e</sup> abcisse de même longueur, juste un peu plus longues que la transverso-cubitale et environ égales aux 2/3 de la récurrente; stigma plus court que le métacarpe (fig. 255).

*Pattes III* : hanches brillantes, à très petite ponctuation (degré 1) peu dense sur les faces supérieure et inférieure, imponctuées sur la face externe, facette plane en dessus à la base peu ou pas marquée; fémurs brillants, polis, à petite ponctuation superficielle et bien séparée. Proportions : hanches, 22/36; fémurs, 14/48; tibias, 10/60; tarsi : I, 30; II, 11; III, 9; IV, 7; V, 10; le plus long éperon la 1/2 et le plus court le 1/3 de la longueur des métatarses.

*Abdomen* (fig. 256) : tergite I excavé à la base, proéminent au milieu, du tiers basal au tiers apical, faiblement courbé à hauteur de ce dernier,